

การวิเคราะห์ท่อร์โมกราวิเมทริก และโครงสร้างของสเกลตติบภูมิที่เกิดบนเหล็กแผ่นแบบรีดร้อน  
ระหว่างม้วนเก็บและเย็นตัว

นางสาว เกตุนนิภา สุวรรณวิทย์

วิทยานิพนธ์นี้เป็นส่วนหนึ่งของการศึกษาตามหลักสูตรปริญญาวิศวกรรมศาสตรมหาบัณฑิต  
สาขาวิศวกรรมโลหการ ภาควิชาชีวกรรมโลหการ  
คณะวิศวกรรมศาสตร์ จุฬาลงกรณ์มหาวิทยาลัย  
ปีการศึกษา 2549  
ลิขสิทธิ์ของจุฬาลงกรณ์มหาวิทยาลัย

A THERMO-GRAVIMETRIC AND STRUCTURAL ANALYSIS OF THE TERTIARY SCALE FORMED  
ON COMMERCIAL HOT-ROLLED STEEL STRIP DURING COILING AND COOLING

Miss Ketnipha Sukwannawit

A Thesis Submitted in Partial Fulfillment of the Requirements  
for the Degree of Master of Engineering Program in Metallurgical Engineering  
Department of Metallurgical Engineering  
Faculty of Engineering  
Chulalongkorn University  
Academic Year 2006  
Copyright of Chulalongkorn University

หัวข้อวิทยานิพนธ์

การวิเคราะห์เทคโนโลยีกราฟิกและโครงสร้างของสเกลตติบูมที่เกิด

บนเหล็กแผ่นแบบวีดร้อน ระหว่างม้วนเก็บและเย็นตัว

โดย

นางสาว เกตันนิภา สุขวรรณวิทย์

สาขาวิชา

วิศวกรรมโลหการ

อาจารย์ที่ปรึกษา

อาจารย์ ดร. มากิน สุประดิษฐ์ ณ อุณหยา

อาจารย์ที่ปรึกษาร่วม

ดร. กฤชดา ประภากร

คณะกรรมการสาขาวิชาฯ จุฬาลงกรณ์มหาวิทยาลัย อนุมัติให้นับวิทยานิพนธ์ฉบับนี้เป็น<sup>1</sup>  
ส่วนหนึ่งของการศึกษาตามหลักสูตรปริญญาบัณฑิต

..... คณบดีคณะวิศวกรรมศาสตร์  
(ศาสตราจารย์ ดร. ดิเรก ลาวัณย์ศิริ)

คณะกรรมการสอบบัณฑิต

..... ประธานกรรมการ  
(รองศาสตราจารย์ ดร. ประสงค์ ศรีเจริญชัย)

..... อาจารย์ที่ปรึกษา  
(อาจารย์ ดร. มากิน สุประดิษฐ์ ณ อุณหยา)

..... อาจารย์ที่ปรึกษาร่วม  
(ดร. กฤชดา ประภากร)

..... กรรมการ  
(ผู้ช่วยศาสตราจารย์ ชาคร จาโรพิสิฐ)

เกตันนินกา สุขวรรณวิทย์ : การวิเคราะห์เทอร์โมกราฟิเมทริก และโครงสร้างของสเกลติดภูมิที่เกิดบนเหล็กแผ่นแบบรีดร้อน ระหว่างม้วนเก็บและเย็นตัว  
 (A THERMO-GRAVIMETRIC AND STRUCTURAL ANALYSIS OF THE TERTIARY SCALE FORMED ON COMMERCIAL HOT-ROLLED STEEL STRIP DURING COILING AND COOLING) อาจารย์ที่ปรึกษา: อาจารย์ ดร.มาริน สุประดิษฐ ณ อยุธยา  
 อาจารย์ที่ปรึกษาร่วม: ดร. กฤณา ประภากร, 112 หน้า

ในกระบวนการรีดร้อนสเกลติดภูมิเป็นสเกลชนิดที่จะไม่ถูกกำจัด อีกทั้งยังสามารถเปลี่ยนแปลงโครงสร้างกลาญเป็นสเกลชนิดอื่นขณะเย็นตัวภายหลังการม้วนเก็บ ซึ่งส่งผลต่อการควบคุมคุณภาพของเหล็กแผ่น ดังนั้นในงานวิจัยนี้จึงได้ทำการศึกษาผลของปัจจัยต่างๆ ได้แก่ (1) อัตราการเย็นตัว (2) อุณหภูมim้วนเก็บ (3) เวลาที่ใช้ในการเกิดปฏิกิริยาออกซิเดชัน และ (4) ตำแหน่งที่แตกต่างกันบนม้วนเหล็ก ต่อปริมาณออกไซด์สเกลที่เกิดบนผิวของเหล็กแผ่นรีดร้อนเกรด HR1 ระหว่างเย็นตัวในบรรยากาศ ภายหลังกระบวนการม้วนเก็บ โดยการใช้แบบจำลองทางคณิตศาสตร์เพื่อกำหนดสภาวะทางความร้อน เพื่อใช้ในการจำลองการเกิดออกไซด์สเกล ด้วยเทคนิคการวิเคราะห์เทอร์โมกราฟิเมทริก ภายใต้สภาวะเย็นตัวด้วยอัตราการเย็นตัวคงที่ และสภาวะอุณหภูมิกองที่ ข้อมูลที่ได้จากการทดลองจะถูกนำมาวิเคราะห์และใช้ในการสร้างสมการทำนายปริมาณสเกลที่ตำแหน่งที่สนใจต่อไป

ผลการวิจัยพบว่า ความหนาของชั้นออกไซด์สเกลที่เกิดภายใต้สภาวะเย็นตัวด้วยอัตราการเย็นตัวคงที่ มีความหนามากขึ้นเมื่อใช้อุณหภูมim้วนเก็บสูงขึ้น แต่ความหนาจะลดลงเมื่ออัตราการเย็นตัวสูงขึ้น ในขณะที่ความหนาของออกไซด์สเกลที่เกิดภายใต้สภาวะอุณหภูมิกองที่ มีความหนามากขึ้นเมื่ออุณหภูมิสูงขึ้น หรือเวลาในการเกิดปฏิกิริยาออกซิเดชันนานขึ้น ส่วนแบบจำลองทางคณิตศาสตร์ที่สร้างขึ้นนั้น สามารถใช้ในการคำนวณอุณหภูมิที่ตำแหน่งและเวลาต่างๆภายในม้วนเหล็กได้ โดยมีค่าความถูกต้องในระดับที่น่าพอใจ

ภาควิชา วิศวกรรมโลหการ  
 สาขาวิชา วิศวกรรมโลหการ  
 ปีการศึกษา 2549

ลายมือชื่อนิสิต.....  
 ลายมือชื่ออาจารย์ที่ปรึกษา.....  
 ลายมือชื่ออาจารย์ที่ปรึกษาร่วม.....

# # 4870226921: MAJOR METALLURGICAL ENGINEERING

KEY WORD: TERTIARY SCALE / THERMO-GRAVIMETRIC ANALYSIS / ISOTHERMAL OXIDATION / COOLING RATE / MATHEMATICAL MODEL

KETNIPHA SUKWANNAWIT: A THERMO-GRAVIMETRIC AND STRUCTURAL ANALYSIS OF THE TERTIARY SCALE FORMED ON COMMERCIAL HOT-ROLLED STEEL STRIP DURING COILING AND COOLING. THESIS ADVISOR: MAWIN SUPRADIST NA AYUDHAYA, Ph.D., THESIS CO-ADVISOR: KRITSADA PRAPAKORN, Ph.D., 112 pp.

Tertiary scale formed on the steel surface during and after finishing rolling is usually coiled with strip and undergo structural changes during cooling. These may affect the quality of steel surface and also affect the feasibility of the pickling process. In this work, the oxidation of hot-rolled steel strip HR1 grade under isothermal condition and under various coiling and cooling condition were studied by Thermo-gravimetric analysis technique, TGA. A simple 3D heat transfer model was formulated and was used to calculate cooling profiles at various positions in the coil. The measured coil outside cooling profiles were used to validate the model. The calculated results were then used as thermal conditions for the TGA experiments.

It was found that the thickness of oxide scale formed under continuous cooling increases with coiling temperature but the thickness substantially deceases when increasing cooling rate. It was also found that the oxide scale is thicker when isothermally formed in higher oxidation temperature or longer oxidation time. The derived kinetics expressions were used to predict the weight change or thickness of the scale. The results yield good agreement with the measured scale thickness from the hot rolled strip. The cooling curve calculated by mathematical model gives a good agreement with one observed from coil cooling process, which validated the model.

Department Metallurgical Engineering Student's signature.....

Field of study Metallurgical Engineering Advisor's signature .....

Academic year 2006 Co-advisor's signature.....

## กิตติกรรมประกาศ

งานวิจัยนี้สามารถดำเนินการลุล่วงไปได้ด้วยดีเนื่องจากความช่วยเหลือและคำแนะนำจากบุคคลหลายท่าน รวมทั้งความอนุเคราะห์การใช้เครื่องมือในการศึกษาวิจัยจากหลายองค์กร ตลอดจน บริษัท สาขาวิชาสตีลอนดัลสตรี จำกัด มหาชน และศูนย์ร่วมวิจัยโลหะและวัสดุศาสตร์ ที่ได้ให้ทุนสนับสนุนการศึกษาและการทำวิจัย ข้าพเจ้าขอกราบขอบพระคุณในความกรุณาของ อาจารย์ ดร. ดาวิน สุประดิษฐ์ อนุชญา ดร.กฤณา ประภากร และคณาจารย์ภาควิชาวิศวกรรมโลหการ ทุกท่าน ที่ประสิทธิ์ประสานทางวิชาความรู้ และเสียสละเวลาให้กำปรึกษาแนะนำแก่ข้าพเจ้าตลอดมา ขอขอบพระคุณบุคลากรในภาควิชาวิศวกรรมโลหการ และบุคลากรในศูนย์เทคโนโลยีโลหะและวัสดุแห่งชาติทุกท่าน รวมทั้งเพื่อนนิสิตในและนอกภาควิชาทุกคน ตลอดจนผู้ที่มีส่วนเกี่ยวข้องที่ ข้าพเจ้ามิได้อ่านนามในที่นี้ทุกท่าน

ท้ายที่สุดนี้ข้าพเจ้ากราบขอบพระคุณมารดาบิดา พี่ชาย และคุณยายผู้เป็นที่รักยิ่งของข้าพเจ้า ที่อบรมเลี้ยงดูและสั่งสอนข้าพเจ้าด้วยความรัก และคอยสนับสนุน ให้กำลังใจแก่ข้าพเจ้าตลอดมา คุณความดีและประโภชน์ยังคงพึงเกิดจากงานวิจัยชิ้นนี้ ข้าพเจ้าขอยกคุณความดีเหล่านั้นเป็นเครื่องบูชาพระคุณด้วยความเคารพยิ่ง

## สารบัญ

	หน้า
บทคัดย่อภาษาไทย .....	๑
บทคัดย่อภาษาอังกฤษ.....	๒
กิตติกรรมประกาศ.....	๓
สารบัญ.....	๔
สารบัญภาพ.....	๘
สารบัญตาราง.....	๙
บทที่	
1 บทนำ.....	1
1.1 ความสำคัญของงานวิจัย.....	1
1.2 วัตถุประสงค์ของงานวิจัย.....	3
1.3 ขอบเขตของงานวิจัย.....	3
1.4 ประโยชน์ที่คาดว่าจะได้รับ .....	4
2 การศึกษาข้อมูลเบื้องต้น .....	5
2.1 ความรู้เบื้องต้นเกี่ยวกับการเกิด ชนิด และ โครงสร้างของออกไซด์สเกล .....	5
2.2 ความรู้เบื้องต้นเกี่ยวกับการถ่ายเทความร้อน .....	7
2.3 กลไกการถ่ายเทความร้อนของม้วนเหล็กระหว่างการเย็นตัวภายหลังการม้วนเก็บ .....	9
2.4 แบบจำลองทางคณิตศาสตร์สำหรับศึกษาการเย็นตัวของม้วนเหล็ก.....	9
2.5 การวิเคราะห์เทอร์โมกราวิเมทริก.....	10
2.6 込んで式.....	10
2.7 แนวคิดเกี่ยวกับการเกิดปฏิกิริยา ขั้นตอนการเกิดปฏิกิริยา และขั้นกำหนดอัตรา .....	14
2.8 ปริมาณน้ำร้อนธรรมชาติ .....	16
3 วิธีการศึกษาวิจัย .....	26
3.1 เครื่องมือที่ใช้สำหรับการศึกษาวิจัย.....	27
3.2 ขั้นตอนการศึกษาวิจัย .....	29
3.2.1 ศึกษาผลของตำแหน่งที่แตกต่างกันบนม้วนเหล็กต่อความหนา ออกไซด์สเกล .....	29
3.2.2 เก็บข้อมูลอุณหภูมิระหว่างเย็นตัวของม้วนเหล็กจากโรงงาน .....	30
3.2.3 สร้างแบบจำลองทางคณิตศาสตร์ .....	31

## หน้า

3.2.4 การทดลองจำลองการเกิดออกไซด์สเกลด้วยการวิเคราะห์เทอร์โมกราฟิเมทริก .....	34
3.2.5 สร้างสมการทำนายปริมาณออกไซด์สเกล .....	37
4 ผลการวิเคราะห์ข้อมูล .....	39
4.1 การศึกษาผลของคำแหน่งที่แตกต่างกันบนม้วนเหล็กต่อความหนาออกไซด์สเกล ....	39
4.2 การเก็บข้อมูลอุณหภูมิระหว่างเย็นตัวของม้วนเหล็กจากโรงงาน .....	41
4.3 แบบจำลองทางคณิตศาสตร์ .....	45
4.3.1 ค่าสัมประสิทธิ์การถ่ายเทความร้อน .....	45
4.3.2 การใช้แบบจำลองเพื่อกำหนดสภาวะการทดลอง .....	49
4.4 การจำลองการเกิดออกไซด์สเกลด้วยการวิเคราะห์เทอร์โมกราฟิเมทริก .....	53
4.4.1 ออกแบบชุดน้ำยาให้สภาวะอุณหภูมิคงที่ .....	53
4.4.2 ออกแบบชุดน้ำยาให้สภาวะเย็นตัวด้วยอัตราการเย็นตัวคงที่ .....	62
4.5 คำนวณย้อนกลับเพื่อประเมินความถูกต้องของผลการทดลอง .....	70
4.6 สมการทำนายปริมาณสเกล .....	71
4.7 ผลการวิเคราะห์ออกไซด์สเกลที่ผิวของชิ้นงาน .....	77
4.6.1 วิเคราะห์ออกไซด์สเกลบนเหล็กแผ่นรีดร้อน เกรด HR1 .....	77
4.6.2 วิเคราะห์ออกไซด์สเกลบนเหล็กแผ่นรีดร้อน เกรด HR1 ที่ผ่านการจำลองการเกิดออกซิเดชันด้วยเทคนิค TGA.....	79
5 สรุปผลการวิจัยและข้อเสนอแนะ .....	87
5.1 สรุปผลการวิจัย .....	87
5.2 ข้อเสนอแนะ .....	88
เอกสารอ้างอิง .....	89
ภาคผนวก .....	91
ภาคผนวก ก .....	92
ภาคผนวก ข .....	94
ภาคผนวก ค .....	96
ภาคผนวก ง .....	97
ภาคผนวก จ .....	98
ภาคผนวก ฉ .....	110
ประวัติผู้เขียนวิทยานิพนธ์.....	112

## สารบัญภาพ

	หน้า
ภาพที่ 1.1 ภาพแสดงกระบวนการผลิตเหล็กแผ่นรีดร้อน .....	2
ภาพที่ 2.1 แผนภูมิสมดุลระหว่างเหล็กกับออกซิเจน .....	5
ภาพที่ 2.2 กลไกการเกิดออกไซด์สเกล .....	6
ภาพที่ 2.3 การชนกันของอนุภาคเพื่อสลายพันธะเก่า และสร้างพันธะใหม่ .....	14
ภาพที่ 2.4 พลังงานกระตุ้น .....	14
ภาพที่ 2.5 การแบ่งอิเลิมเนตสำหรับคำนวณการถ่ายเทความร้อน .....	17
ภาพที่ 2.6 อัตราการเย็นตัวที่ตำแหน่งกลางความหนา, รอยต่อระหว่างสเกลกับเหล็ก และผิวสเกล ของเหล็กแผ่นหนา 25.4 มิลลิเมตร ที่คำนวณจากแบบจำลอง .....	17
ภาพที่ 2.7 แผนภาพแสดงชนิดของสเกลที่เปลี่ยนไปเป็นฟักชั่นของอุณหภูมิม้วนเก็บ และอัตราการเย็นตัว .....	18
ภาพที่ 2.8 a), b), c) จำลองการเกิดสเกลที่อุณหภูมิ 1173, 1223, 1273°C ตามลำดับ เป็นเวลา 10 วินาที .....	19
ภาพที่ 2.9 การเปลี่ยนแปลงของสเกลอันเป็นผลมาจากการม้วนแตกต่างกัน .....	20
ภาพที่ 2.10 ความหนาสเกลกับรากที่สองของเวลา ที่อุณหภูมิ 800, 900 และ 1000°C .....	22
ภาพที่ 2.11 ความหนาสเกลกับรากที่สองของเวลา ที่อุณหภูมิ 800 ของชิ้นงานที่เตรียมผิว ด้วยการขัด ละอียด (จุดปอร์ง) กับชิ้นงานรีดร้อน (จุดทึบ) .....	23
ภาพที่ 2.12 รูปแบบการแบ่งอิเลิมเนตสำหรับแบบจำลองแบบ 2 มิติ ที่ความลึก z .....	24
ภาพที่ 2.13 น้ำหนักต่อพื้นที่ เทียบกับเวลาในการเกิดออกซิเดชันของโลหะผสม Haynes230 ที่อุณหภูมิ 800 °C .....	25
ภาพที่ 3.1 ขั้นตอนการทำงาน .....	26
ภาพที่ 3.2 เครื่องวิเคราะห์เทอร์โมกราวิเมทริกรุ่น Mettler-Toledo รุ่น TGA SDTA851 .....	28
ภาพที่ 3.3 ถ่ายใส่ชิ้นงานผลิตจากอลูมิเนียมออกไซด์ ความจุ 70 ไมโครลิตร และถังแก๊ส ต่อเข้ากับเครื่องวิเคราะห์เทอร์โมกราวิเมทริก .....	28
ภาพที่ 3.4 กล้องอินฟารेडรุ่น LAND Cyclop T135 .....	29
ภาพที่ 3.5 ตำแหน่งของชิ้นงานตัวอย่างบนแผ่นเหล็ก .....	30
ภาพที่ 3.6 ตำแหน่งสำหรับการวัดอุณหภูมิด้วย infrared gun(A, B, C, 4, 5, 6) และกล้องอินฟารेडจะทำการเก็บภาพภาคตัดขวางในระนาบ A, B, C .....	31

ภาพที่ 3.7 ชิ้นงานก่อนขัดดูดขนาดและกำจัดออกไซด์สเกล และชิ้นงานที่เตรียมเสร็จแล้ว ....	34
ภาพที่ 3.8 แผนภาพแสดงอุณหภูมิและบรรยายการควบคุมภายในเตาระหว่างการทดลองด้วย สภาวะออกซิเดชันที่อุณหภูมิกึ่งที่ .....	35
ภาพที่3.9 แผนภาพแสดงอุณหภูมิและบรรยายการควบคุมภายในเตาระหว่างการทดลอง ด้วยสภาวะอัตราการเย็นตัวคงที่ .....	36
ภาพที่4.1 กราฟความสัมพันธ์ระหว่างความหนาออกไซด์สเกลกับตำแหน่งบนม้วนเหล็ก.....	40
ภาพที่4.2 ภาพถ่ายความร้อนของม้วนเหล็กพร้อมระบุอุณหภูมิ ณ ตำแหน่งที่สนใจ ภายหลังการเย็นตัวไปเป็นเวลา 2ชั่วโมง 40นาที (160นาที), ถ่ายโดยกล้องอินฟารेडรุ่น LAND cyclop T135.....	41
ภาพที่4.3 กราฟความสัมพันธ์ระหว่างอุณหภูมิที่ตำแหน่ง 1, 3 และ5 กับเวลาที่ใช้ ในการเย็นตัว, วัดโดยกล้องอินฟารेडรุ่น LAND cyclop T135 .....	42
ภาพที่4.4 กราฟความสัมพันธ์ระหว่างอุณหภูมิที่ตำแหน่ง A, B และC กับเวลาที่ใช้ ในการเย็นตัว, วัดโดยinfrared gun .....	42
ภาพที่4.5 เปรียบเทียบอุณหภูมิของตำแหน่ง A, B และC(ตำแหน่งบนแกน x) กับตำแหน่งที่ห่างจากจุดศูนย์กลางเท่ากันในแกนy, (สีแดง)ค่าอุณหภูมิ ของตำแหน่งบนแกนy (สีน้ำเงิน)ค่าอุณหภูมิของตำแหน่งบนแกนx .....	43-44
ภาพที่4.6 ภาพจำลองอุณหภูมิ ณ ตำแหน่งต่างๆบนระนาบ z=0 ที่เวลา 180นาที .....	45
ภาพที่4.7 แผนภาพแสดงขั้นตอนการหาค่าสัมประสิทธิ์การถ่ายเทความร้อน .....	46
ภาพที่4.8 ภาพแสดงค่าสัมประสิทธิ์การถ่ายเทความร้อนที่เป็นฟังก์ชันกับอุณหภูมิ .....	47
ภาพที่4.9 กราฟความสัมพันธ์ระหว่างอุณหภูมิกับเวลา ณ ตำแหน่งA, B และC เปรียบเทียบระหว่างค่าจากการคำนวณ(น้ำเงิน) กับค่าจากการวัด(แดง) บนระนาบ z=0 โดยกำหนดอุณหภูมิม้วนเก็บเท่ากับ 560°C .....	48-49
ภาพที่4.10 กราฟอัตราการเย็นตัว (เส้นสีน้ำเงิน) และอุณหภูมิ (เส้นสีน้ำตาล) ของตำแหน่งA, B และ C บนระนาบ z=0, คำนวณโดยใช้อุณหภูมิม้วนเก็บ เท่ากับ 560 °C .....	50-51
ภาพที่4.11กราฟอัตราการเย็นตัวเฉลี่ย (คงที่ในช่วงเวลาหนึ่งๆ) ในลักษณะขั้นบันได ของตำแหน่งA, B และC บนระนาบ z=0, คำนวณโดยใช้อุณหภูมิม้วนเก็บ เท่ากับ 560 °C .....	52-53
ภาพที่4.12กราฟแสดงผลการวิเคราะห์ด้วยเทคนิคเทอร์โมกราวิเมทริก สำหรับสภาวะ Isothermal oxidation ที่อุณหภูมิ 700, 650, 600, 560, 500 และ400 °C .....	54

ภาพที่4.13a)-e) กราฟความสัมพันธ์ระหว่าง $W^n$ กับเวลา (t) ของการเกิดออกซิเดชันที่อุณหภูมิกึ่งที่เป็นเวลา 2 ชั่วโมง ที่อุณหภูมิเท่ากับ 400, 500, 560, 600 และ 650 ตามลำดับ .....	55-57
ภาพที่4.14 แสดงค่าคงที่ของปฏิกิริยา (k) ที่เป็นฟังก์ชันกับอุณหภูมิ .....	59
ภาพที่4.145a)-e) ภาพprocuringสร้างจุลภาคแสดงความหนาออกไซด์สเกลที่อุณหภูมิ $450^{\circ}\text{C}$ เป็นเวลา 2 และ 6 ชั่วโมง, $500^{\circ}\text{C}$ เป็นเวลา 2 และ 6 ชั่วโมง, $560^{\circ}\text{C}$ เป็นเวลา 2, 4 ชั่วโมง และ $600^{\circ}\text{C}$ เป็นเวลา 2, 6 ชั่วโมง ตามลำดับ, กำลังขยาย 1200เท่า.....	61-62
ภาพที่4.16แสดงเปอร์เซ็นต์โดยน้ำหนักที่เปลี่ยนไปเป็นฟังก์ชันของเวลาในการเกิดการออกซิเดชันภายใต้สภาวะ Non-isothermal ที่อัตราการเย็นตัว $0.6, 3.6, 9.0$ และ $10.4^{\circ}\text{C}/\text{min}$ .....	63
ภาพที่4.17a)-h) グラฟระหว่าง $(n-1)\ln W + \ln(dW/dT)$ กับ $1/T$ ของการจำลองการเกิดออกซิเดชันภายใต้สภาวะเย็นตัว ด้วยอัตราการเย็นตัวคงที่เท่ากับ $0.6, 1.8, 3.6, 5.4, 6.0, 7.2, 9.0$ และ $10.4^{\circ}\text{C}/\text{นาที}$ ตามลำดับ .....	64-67
ภาพที่4.18a)-c) เปรียบเทียบผลของอุณหภูมิม้วนเก็บต่อความหนาชั้นออกไซด์สเกลที่เกิดบนผิวชิ้นงานจำลองการเกิดออกซิเดชันภายใต้สภาวะการเย็นตัวด้วยอัตราการเย็นตัวคงที่ $3.6, 7.2, 9.0^{\circ}\text{C}/\text{นาที}$ จากอุณหภูมิ $560, 630$ และ $700^{\circ}\text{C}$ (กำลังขยาย 1200 เท่า) .....	68-69
ภาพที่4.19 กราฟความสัมพันธ์ระหว่างความหนาของชั้นออกไซด์สเกลกับอัตราการเย็นตัว และ อุณหภูมิม้วนเก็บ(CT) .....	70
ภาพที่4.20 กราฟระหว่างน้ำหนักต่อหน่วยพื้นที่ (W) ที่เปลี่ยนไปเมื่อเวลาในการออกซิเดชันเพิ่มขึ้น .....	74
ภาพที่4.19กราฟความสัมพันธ์ระหว่างความหนาของชั้นออกไซด์สเกลกับอัตราการเย็นตัว และ อุณหภูมิม้วนเก็บ .....	67
ภาพที่4.21ชนิดของ oxide บริเวณขอบแผ่น .....	77
ภาพที่4.22ชนิดของ oxide บริเวณ $1/4$ ความกว้างของแผ่น .....	78
ภาพที่4.23ชนิดของ oxide บริเวณกึ่งกลางแผ่น .....	78
ภาพที่4.24ชนิดของออกไซด์สเกลบนเหล็กแผ่นที่เย็นตัวจากอุณหภูมิ $560^{\circ}\text{C}$ ด้วยอัตราการเย็นตัว $0.6^{\circ}\text{C}/\text{นาที}$ , fixed angle = 1 .....	79

ภาพที่ 4.25 ชนิดของออกไซด์สเกลบนเหล็กแผ่นที่เย็นตัวจากอุณหภูมิ $560^{\circ}\text{C}$ ด้วยอัตราการเย็นตัว $0.6^{\circ}\text{C}/\text{นาที}$ , fixed angle = 3 .....	80
ภาพที่ 4.26 ชนิดของออกไซด์สเกลบนเหล็กแผ่นที่เย็นตัวจากอุณหภูมิ $560^{\circ}\text{C}$ ด้วยอัตราการเย็นตัว $0.6^{\circ}\text{C}/\text{นาที}$ , fixed angle = 5 .....	80
ภาพที่ 4.27 ชนิดของออกไซด์สเกลบนเหล็กแผ่นที่เย็นตัวจากอุณหภูมิ $560^{\circ}\text{C}$ ด้วยอัตราการเย็นตัว $6^{\circ}\text{C}/\text{นาที}$ , fixed angle = 1 .....	81
ภาพที่ 4.28 ชนิดของออกไซด์สเกลบนเหล็กแผ่นที่เย็นตัวจากอุณหภูมิ $560^{\circ}\text{C}$ ด้วยอัตราการเย็นตัว $6^{\circ}\text{C}/\text{นาที}$ , fixed angle = 3 .....	81
ภาพที่ 4.29 ชนิดของออกไซด์สเกลบนเหล็กแผ่นที่เย็นตัวจากอุณหภูมิ $560^{\circ}\text{C}$ ด้วยอัตราการเย็นตัว $6^{\circ}\text{C}/\text{นาที}$ , fixed angle = 5 .....	82
ภาพที่ 4.30 ชนิดของออกไซด์สเกลบนเหล็กแผ่นที่เย็นตัวจากอุณหภูมิ $560^{\circ}\text{C}$ ด้วยอัตราการเย็นตัว $10.4^{\circ}\text{C}/\text{นาที}$ , fixed angle = 1 .....	82
ภาพที่ 4.31 ชนิดของออกไซด์สเกลบนเหล็กแผ่นที่เย็นตัวจากอุณหภูมิ $560^{\circ}\text{C}$ ด้วยอัตราการเย็นตัว $10.4^{\circ}\text{C}/\text{นาที}$ , fixed angle = 3 .....	83
ภาพที่ 4.32 ชนิดของออกไซด์สเกลบนเหล็กแผ่นที่เย็นตัวจากอุณหภูมิ $560^{\circ}\text{C}$ ด้วยอัตราการเย็นตัว $10.4^{\circ}\text{C}/\text{นาที}$ , fixed angle = 5 .....	83
ภาพที่ 4.33 ชนิดของออกไซด์สเกลบนเหล็กแผ่นที่ออกชิเดชันที่อุณหภูมิกิงที่ $500^{\circ}\text{C}$ , fixed angle = 1 .....	84
ภาพที่ 4.34 ชนิดของออกไซด์สเกลบนเหล็กแผ่นที่ออกชิเดชันที่อุณหภูมิกิงที่ $500^{\circ}\text{C}$ , fixed angle = 3 .....	84
ภาพที่ 4.35 ชนิดของออกไซด์สเกลบนเหล็กแผ่นที่ออกชิเดชันที่อุณหภูมิกิงที่ $600^{\circ}\text{C}$ , fixed angle = 1 .....	85
ภาพที่ 4.36 ชนิดของออกไซด์สเกลบนเหล็กแผ่นที่ออกชิเดชันที่อุณหภูมิกิงที่ $600^{\circ}\text{C}$ , fixed angle = 3 .....	85
ภาพที่ 4.37 ชนิดของออกไซด์สเกลบนเหล็กแผ่นที่ออกชิเดชันที่อุณหภูมิกิงที่ $600^{\circ}\text{C}$ , fixed angle = 5 .....	86
ภาพที่ ๑ก ภาพแสดงรูปจำลองม้วนเหล็กในแบบ 3 มิติ (Domain), จุดต่อ และอิลิเมนต์ .....	92
ภาพที่ ๑ก กราฟแสดงค่า Thermal conductivity ที่เป็น function กับอุณหภูมิ .....	96
ภาพที่ ๑จ ภาพถ่ายความร้อนของม้วนเหล็กพร้อมระบุอุณหภูมิ .....	98
ภาพที่ ๒จ ความสัมพันธ์ระหว่างอุณหภูมิกับเวลา ณ ตำแหน่ง A เปรียบเทียบระหว่าง ค่าจากการคำนวณ (น้ำเงิน) กับค่าจากการวัด (แดง) .....	105

## สารบัญตาราง

	หน้า
ตารางที่ 3.1 รากตุ่นในเหล็กแผ่นเรียบอ่อนเกรด HR1.....	29
ตารางที่ 3.2 สมบัติทางกายภาพและความร้อนของเหล็ก และค่าคงที่ของม้วนเหล็กที่ศึกษา ...	33
ตารางที่ 4.1 ความหนาเฉลี่ยของออกไซด์สเกลที่ตำแหน่ง H1-5, M1-5 และ T1-5 .....	39
ตารางที่ 4.2 แสดงค่าคงที่ปฏิกริยา (ความชัน, k), ln k และสัมประสิทธิ์การตัดสินใจ ( $R^2$ ).....	58
ตารางที่ 4.3 พลังงานกระตุ้น, ค่าคงที่ และค่าคงที่ปฏิกริยาของแต่ละอัตราการเย็นตัว (k) .....	68
ตารางที่ 4.4 คำนวณหน้าหักที่เพิ่มขึ้นเทียบกับผลจากการทดลองของอัตราการเย็นตัว (Non-isothermal) .....	70
ตารางที่ 4.5 คำนวณหน้าหักที่เพิ่มขึ้นเทียบกับผลจากการทดลองของอัตราการเย็นตัว (Isothermal).....	71
ตารางที่ 4.6 รูปแบบการเย็นตัวในลักษณะขั้นบันไดของอัตราการเย็นตัวคงที่ในช่วงเวลาหนึ่งๆ ของตำแหน่ง A .....	72
ตารางที่ 4.7 ตารางแสดงการคำนวณหน้าหักที่เปลี่ยนไปต่อหน่วยพื้นที่ ของ การเย็นตัวตำแหน่ง A แบบที่ 1 .....	72
ตารางที่ 4.8 ตารางแสดงการคำนวณหน้าหักที่เปลี่ยนไปต่อหน่วยพื้นที่ ของ การเย็นตัวตำแหน่ง A แบบที่ 2 .....	73
ตารางที่ 4.9 รูปแบบการเย็นตัวในลักษณะขั้นบันไดของอัตราการเย็นตัวคงที่ในช่วงเวลาหนึ่งๆ ของตำแหน่ง C .....	75
ตารางที่ 4.10 ตารางแสดงการคำนวณค่าหน้าหักที่เปลี่ยนไปต่อหน่วยพื้นที่ ของรูปแบบการเย็นตัวในตำแหน่ง C แบบที่ 1.....	75
ตารางที่ 4.11 ตารางแสดงการคำนวณหน้าหักที่เปลี่ยนไปต่อหน่วยพื้นที่ ของ การเย็นตัวตำแหน่ง C แบบที่ 2.....	76
ตารางที่ ๑๙ แสดงความหนาสเกลก่อนการเคลือย จากการทดลอง 4.1 .....	94-95
ตารางที่ ๑๐ Thermal conductivity ที่เป็นฟังก์ชันกับอุณหภูมิ .....	96
ตารางที่ ๑๑ เปรียบเทียบตำแหน่ง 1 กับ 8.....	99-100
ตารางที่ ๒๒ เปรียบเทียบตำแหน่ง 3 กับ 7.....	101-102
ตารางที่ ๓๒ เปรียบเทียบตำแหน่ง 5 กับ 6.....	103-104
ตารางที่ ๔๒ ตำแหน่ง A เปรียบเทียบระหว่างค่าจากการคำนวณ กับค่าจากการวัด .....	105
ตารางที่ ๕๒ ตำแหน่ง B เปรียบเทียบระหว่างค่าจากการคำนวณ กับค่าจากการวัด .....	106

## หน้า

ตารางที่ ๖จ ตำแหน่ง C เปรียบเทียบระหว่างค่าจากการคำนวณ กับค่าจากการวัด .....	106
ตารางที่ ๗จ การเย็บตัวที่ตำแหน่ง A.....	107
ตารางที่ ๘จ การเย็บตัวที่ตำแหน่ง B.....	108
ตารางที่ ๙จ การเย็บตัวที่ตำแหน่ง C.....	109

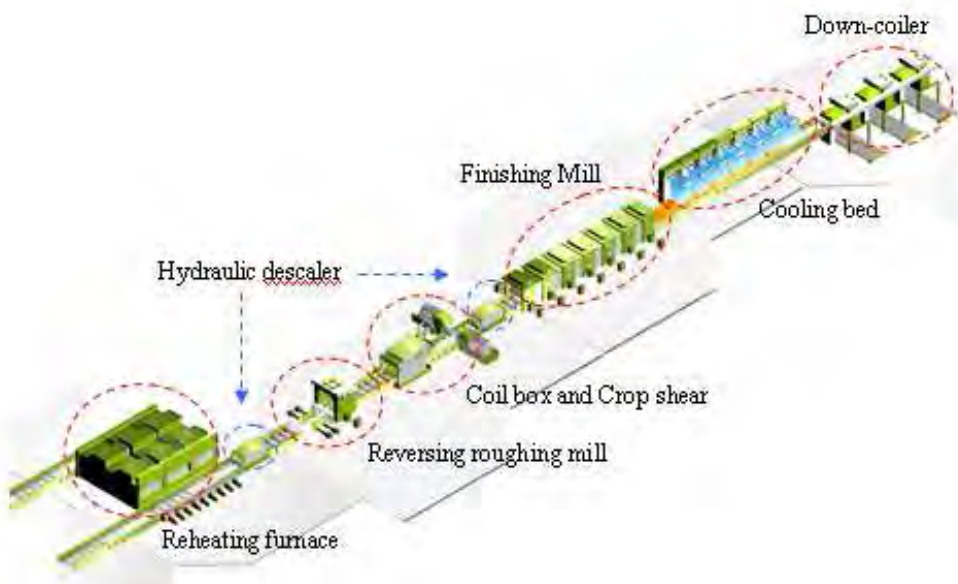
## บทที่ 1

### บทนำ

#### 1.1 ความสำคัญของงานวิจัย

ในกระบวนการผลิตเหล็กแผ่นรีดร้อนประกอบไปด้วยขั้นตอนหลักหลายขั้นตอน ได้แก่ อบเหล็กแท่งแบบ(Slab) ในเตาเผา (Reheating furnace) ที่ให้ความร้อนอย่างต่อเนื่องจนถึงอุณหภูมิ 1250-1300 องศาเซลเซียส ซึ่งเป็นอุณหภูมิที่เหมาะสมสำหรับการรีดเป็นเวลา 3-4 ชั่วโมง จากนั้น เหล็กแท่งแบบที่มีอุณหภูมิตามต้องการจะถูกทำความสะอาดผ่านเครื่องน้ำแรงดันสูง (Hydraulic descaler) เพื่อกำจัดออก ไซด์สเกลปูนภูมิ (Primary scale) ที่เกิดขึ้นที่ผิวเหล็กแท่ง แบบที่สัมผัสกับอากาศในขณะที่มีอุณหภูมิสูง จากนั้นเหล็กแท่งแบบที่กำจัดออก ไซด์สเกลปูนภูมิ ออกแล้วถูกรีดเพื่อลดความหนาด้วยเครื่องรีดหยาบ (Reversing roughing mill) และลดความกว้างด้วยเครื่องรีดขอบ (Vertical edger) โดยจะถูกรีดกลับไปมา 5-7 ครั้ง เพื่อให้ได้ความหนา และความกว้างที่เหมาะสมสำหรับกระบวนการต่อไป เหล็กแท่งแบบที่ถูกรีดแล้วนี้เรียกว่าเหล็กแผ่นหนา (Steel bar) เนื่องจากเหล็กแผ่นหนาที่ถูกรีดนี้จะยาวขึ้น และบางลงเมื่อเทียบกับเหล็กแท่งแบบ ทำให้พื้นที่ผิวสัมผัสกับอากาศเพื่อถ่ายเทความร้อนมากขึ้น อุณหภูมิของเหล็กแผ่นหนาจึงไม่สม่ำเสมอ ตลอดทั้งแผ่น ดังนั้นเครื่องม้วนพั๊ก (Coil box) จึงมีหน้าที่ในการม้วนเหล็กแผ่นหนาเพื่อลดพื้นที่ผิว และทำให้เหล็กแผ่นหนามีอุณหภูมิสม่ำเสมอทั้งแผ่นจากการถ่ายเทความร้อนแก่กัน (Heat conduction) เครื่องตัด (Crop shear) ทำหน้าที่ตัดส่วนหัว และปลายของเหล็กแผ่นหนาซึ่งเป็นบริเวณที่สูญเสียความร้อนมากกว่าบริเวณอื่น จากนั้นผ่านเครื่องนีดln้ำแรงดันสูงเพื่อกำจัดออก ไซด์สเกลทุติภูมิ (Secondary scale) ก่อนเข้าสู่กระบวนการต่อไป เครื่องรีดละเอียด (Finishing mill) ทำหน้าที่รีดลดความหนาของเหล็กแผ่นหนาเป็นเหล็กแผ่นบาง (Strip) ที่มีความหนาตามต้องการ จากนั้นเหล็กแผ่นบางจะผ่านเครื่องระบายความร้อนด้วยน้ำ (Cooling bed) เพื่อลดอุณหภูมิ และรักษาโครงสร้างทางโลหะที่ยาร่วมทั้งสมบัติทางกายภาพของเหล็กแผ่นบาง หลังจากนั้นเหล็กแผ่นบางจะถูกม้วนด้วยเครื่องม้วนเหล็กแผ่น (Down-coiler) รัดด้วยแถบเหล็ก (Strapping band) แล้วนำไปพักรอให้อุณหภูมิลดลงเท่ากับบรรยายกาศปกติ เป็นผลิตภัณฑ์เหล็กแผ่นรีดร้อนชนิดม้วน (Hot rolled coil)<sup>[1]</sup>

ออกไซด์สเกลที่เกิดขึ้นในแต่ละขั้นตอนมีชื่อเรียกต่างกันไป ได้แก่ ออกไซด์สเกลปูนภูมิ และออกไซด์สเกลทุติภูมิ ซึ่งถูกกำจัดโดยการนีดln้ำแรงดันสูงก่อนจะเข้าสู่กระบวนการตัดไป และออกไซด์สเกลตติภูมิ (Tertiary scale) ซึ่งเกิดระหว่าง และภายหลังกระบวนการรีดละเอียดแต่จะไม่ถูกกำจัดทั้งยังถูกม้วนไปพร้อมกับผลิตภัณฑ์เหล็กแผ่นรีดร้อนอยู่ภายในม้วนเหล็ก และระหว่างการเย็บตัวของม้วนเหล็ก ออกไซด์สเกลชนิดนี้จะเกิดการเปลี่ยนแปลงโครงสร้างต่างๆกันไปอีกด้วย



ภาพที่ 1.1 ภาพแสดงกระบวนการผลิตเหล็กแผ่นรีดร้อน<sup>[1]</sup>

เนื่องจากผลิตภัณฑ์เหล็กแผ่นรีดร้อนอาจส่งขายเป็นผลิตภัณฑ์เหล็กแผ่นรีดร้อน หรือผ่านกระบวนการรีดเย็นเป็นผลิตภัณฑ์เหล็กแผ่นรีดเย็น ออกไซด์สเกลติดภูมิจึงส่งผลเสียได้ทั้งต่อคุณภาพของผิวผลิตภัณฑ์เหล็กแผ่นรีดร้อนเอง หรือเพิ่มภาระในการกำจัดออกที่กระบวนการรีดผิวเรียบ (Skin-pass) และกระบวนการล้างผิวเหล็กด้วยสารละลายกรด (Pickling process) ดังนั้นเพื่อปรับปรุงคุณภาพผิวของผลิตภัณฑ์เหล็กแผ่นรีดร้อน และลดภาระการกำจัดออกไซด์สเกลที่กระบวนการรีดเย็น การศึกษาการเกิด ชนิด และโครงสร้างของออกไซด์สเกลที่ตำแหน่งต่างๆ ภายในม้วนเหล็กรวมถึงปัจจัยที่ส่งผลต่อการเกิด ชนิด และโครงสร้างของออกไซด์สเกลติดภูมิ เป็นสิ่งสำคัญที่จะช่วยในการปรับปรุงสภาพของกระบวนการรีดร้อน และช่วยในการกำหนด สภาวะที่เหมาะสมของกระบวนการล้างผิวเหล็กด้วยสารละลายกรด รวมถึงสามารถนำผลวิเคราะห์ ของข้อมูลไปสร้างสมการทำนายความหนาของออกไซด์สเกลที่ตำแหน่ง และเวลาต่างๆ อีกด้วย

เพื่อศึกษาการเกิด ชนิด และโครงสร้างของออกไซด์สเกล รวมถึงผลของอุณหภูมิ เวลา และอัตราการเย็นตัว ต่อปริมาณของออกไซด์สเกลที่เกิดขึ้น จึงทำการทดลองจำลองการเกิดออกไซด์สเกลด้วยการวิเคราะห์เทอร์โมกราวิเมทริก (Thermal gravimetric analysis) ประกอบการตรวจสอบโครงสร้างจุลภาค ดังนั้นจึงมีความจำเป็นต้องทราบค่าอุณหภูมิ และอัตราการเย็นตัวที่ตำแหน่งต่างๆ ในม้วนเหล็ก เพื่อนำไปใช้เป็นสภาวะศึกษาด้วยเครื่องเทอร์โมกราวิเมทริก ซึ่งข้อจำกัดของการวัดอุณหภูมิโดยตรงอย่างหนึ่งก็คือ สามารถวัดอุณหภูมิได้เฉพาะผิวด้านนอก ผิวด้านใน และขอบด้านข้างของม้วนเหล็กเท่านั้น แต่ไม่สามารถวัดอุณหภูมิที่ตำแหน่งภายในม้วนเหล็กได้ จึงต้องสร้างแบบจำลองทางคณิตศาสตร์ (Mathematical Model) โดยระบุข้อมูลวิธีไฟฟ้าในต

อัลิเมนต์ เพื่อใช้ในการจำลองการเย็บตัวของม้วนเหล็กในช่วงกระบวนการม้วนเก็บ และเย็บตัวในบรรยายกาศ ทำให้สามารถระบุค่าอุณหภูมิ และอัตราการเย็บตัวที่ตำแหน่งต่างๆภายในม้วนเหล็กได้

ด้วยการวิเคราะห์เทอร์โมกราฟิเมทริกประกอบกับข้อมูลอุณหภูมิ และอัตราการเย็บตัวที่ได้จากแบบจำลองทางคณิตศาสตร์ และการตรวจสอบโครงสร้างจุลภาค ทำให้สามารถศึกษาผลของอุณหภูมิ อัตราการเย็บตัว และเวลาต่อปริมาณของออกไซด์สเกลที่เกิดขึ้น รวมทั้งสามารถนำผลวิเคราะห์ของข้อมูลไปใช้สร้างสมการทำนายปริมาณออกไซด์สเกลที่เกิดขึ้นที่ตำแหน่ง และเวลาต่างๆ ระหว่างการม้วนเก็บ และเย็บตัวในบรรยายกาศ โดยใช้เวลา และค่าใช้จ่ายน้อยกว่าการศึกษาในกระบวนการจริง

## 1.2 วัตถุประสงค์ของงานวิจัย

- 1.2.1 เพื่อศึกษาความรู้เกี่ยวกับกระบวนการเกิดออกไซด์สเกล ชนิด และโครงสร้างของออกไซด์สเกล ทั้งในเชิงทฤษฎี และในกระบวนการผลิตเหล็กแผ่นรีดร้อน
- 1.2.2 สร้างแบบจำลองทางคณิตศาสตร์ที่สามารถระบุค่าอุณหภูมิ และอัตราการเย็บตัวที่ตำแหน่งต่างๆภายในม้วนเหล็ก เพื่อใช้ในการกำหนดสภาพการทดลองเทอร์โมกราฟิเมทริก (Thermo-gravimetric analysis)
- 1.2.3 ศึกษาผลของ อุณหภูมิม้วนเก็บ อัตราการเย็บตัว และเวลาต่อปริมาณของออกไซด์สเกลที่เกิดขึ้น โดยทำการทดลองจำลองการเกิดออกไซด์สเกลด้วยการวิเคราะห์เทอร์โมกราฟิเมทริก
- 1.2.4 สร้างสมการทำนายปริมาณของออกไซด์สเกลที่เกิดขึ้น ระหว่างการเย็บตัวภายหลังการม้วนเก็บที่ตำแหน่ง และเวลาที่สนใจ

## 1.3 ขอบเขตของงานวิจัย

งานวิจัยนี้จะทำการศึกษาเกิด ชนิดของออกไซด์สเกล และปริมาณของออกไซด์สเกลติดいくนิที่เกิดขึ้นบนผิวของชิ้นงานเหล็กแผ่นรีดร้อนเกรด HR1 ระหว่างการม้วนเก็บ และเย็บตัวในบรรยายกาศภายหลังการม้วนเก็บ โดยมีขอบเขตการศึกษาวิจัย ดังนี้

- 1.3.1 ศึกษา และเก็บข้อมูลเกี่ยวกับชนิด และโครงสร้างของออกไซด์สเกลติดいくนิ จากงานวิจัยก่อนหน้า และชิ้นงานจริงจากโรงงาน
- 1.3.2 เก็บข้อมูลจริงจากโรงงานในส่วนของอุณหภูมิของม้วนเหล็ก ระหว่างการเย็บตัวในบรรยายกาศภายหลังม้วนเก็บ รวมถึงเงื่อนไขเริ่มต้น และเงื่อนไขขอบเขตที่จำเป็น สำหรับการสร้างแบบจำลองทางคณิตศาสตร์

- 1.3.3 สร้างแบบจำลองทางคณิตศาสตร์ (Mathematical Model) โดยระบุเบนวิธีไฟในตัวอัลิเมนต์ที่สามารถระบุค่าอุณหภูมิ และอัตราการเย็นตัวที่ดำเนินต่อไปภายใต้ความชื้นที่ต่างๆ ในการทดสอบโดยใช้ตัวอย่างตัวอย่างที่ได้รับ
- 1.3.4 จำลองการเกิดออกไซด์สเกลด้วยการวิเคราะห์เทอร์โมกราฟิก (TGA) โดยใช้ผลจากการคำนวณเป็นตัวกำหนดสภาพการทดสอบ (1) การเย็นตัวด้วยอัตราการเย็นตัวคงที่ (Non-isothermal oxidation) และ (2) สภาวะอุณหภูมิคงที่ (Isothermal oxidation)
- 1.3.5 สร้างสมการทำนายปริมาณออกไซด์สเกล ที่เกิดขึ้นระหว่างการเย็นตัวภายหลังการม้วนเก็บ ที่ดำเนินต่อไปในเวลาที่สนใจของม้วนเหล็กที่มีเงื่อนไขเริ่มต้น และเงื่อนไขของเศษเดียวกันกับข้อมูลจริงจากโรงงาน โดยใช้ผลวิเคราะห์ของข้อมูลจากการทดสอบ

#### 1.4 ประโยชน์ที่คาดว่าจะได้รับ

- 1.4.1 ได้รับความรู้ความเข้าใจเกี่ยวกับการเกิด ชนิด โครงสร้าง และการเปลี่ยนแปลงของสเกลติดいくกิมในกระบวนการม้วนเก็บ และเย็นตัว
- 1.4.2 ทราบถึงปัจจัยต่างๆ ที่มีผลต่อปริมาณสเกลติดいくกิมที่เกิดขึ้นบนผิวเหล็กแผ่น
- 1.4.3 ได้แบบจำลองทางคณิตศาสตร์ (Mathematical Model) ที่สามารถระบุค่าอุณหภูมิ และอัตราการเย็นตัวที่ดำเนินต่อไปภายใต้ความชื้นที่ต่างๆ
- 1.4.4 สามารถใช้การวิเคราะห์เทอร์โมกราฟิก เพื่อจำลองการเกิดออกซิเดชันได้
- 1.4.5 สร้างสมการสำหรับทำนายน้ำหนักที่เพิ่มขึ้น หรือความหนาของออกไซด์สเกลที่เกิดขึ้นภายใต้สภาพการรีดต่างๆ กัน

## บทที่ 2

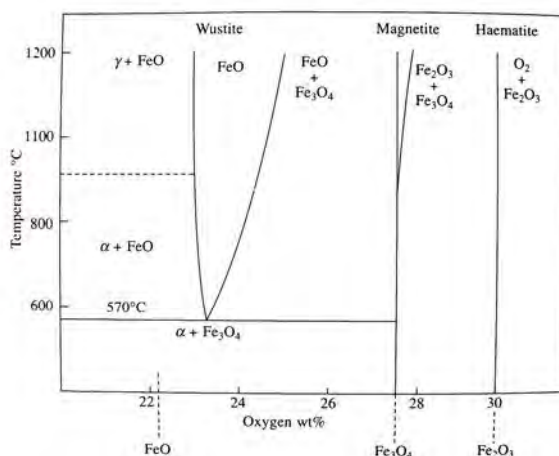
### การศึกษาข้อมูลเบื้องต้น

เพื่อกำหนดแนวทางในการวิจัย การศึกษาข้อมูลเบื้องต้นทั้งในภาคทฤษฎี และงานวิจัยที่ได้รับการตีพิมพ์จึงมีความสำคัญเป็นอย่างมาก ในบทนี้ได้กล่าวถึงความรู้เบื้องต้นเกี่ยวกับการเกิดชนิด และโครงสร้างของออกไซด์สเกล, กลไกการถ่ายเทความร้อนจากม้วนเหล็ก, โปรแกรมคอมพิวเตอร์ที่ใช้สำหรับสร้างแบบจำลองทางคณิตศาสตร์, เทคนิคเทอร์โมกราฟิเมทริกซึ่งเป็นเทคนิคที่ใช้ในการวิจัย และจนผลศาสตร์ของการเกิดออกไซด์สเกลซึ่งจะใช้ในการคำนวณค่าคงที่การเกิดปฏิกิริยาและสร้างสมการทำนายปริมาณออกไซด์สเกลต่อไป รวมทั้งได้รวบรวมงานวิจัยที่คล้ายคลึงกับงานวิจัยชิ้นนี้ไว้ในตอนท้ายของบทอีกด้วย

#### 2.1 ความรู้เบื้องต้นเกี่ยวกับการเกิด ชนิด และโครงสร้างของออกไซด์สเกล

##### 2.1.1 แผนภูมิสมดุลระหว่างเหล็กกับออกซิเจน

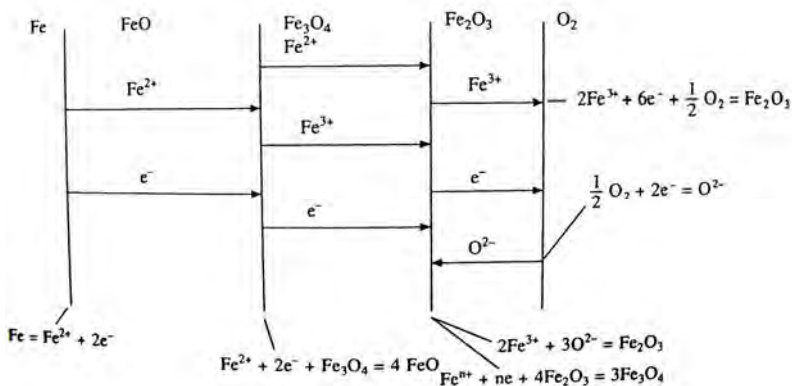
จากภาพที่ 2.1 แสดงแผนภูมิสมดุลระหว่างเหล็กกับออกซิเจน สเกลที่เกิดที่อุณหภูมิสูงกว่า  $570^{\circ}\text{C}$  ประกอบไปด้วย เอมาタイト, แมกนีไทต์ และวูสタイト เมื่ออุณหภูมิลดลงอย่างช้าๆ ใกล้สภาวะสมดุล วูสタイトซึ่งไม่เสถียรที่อุณหภูมิต่ำกว่า  $570^{\circ}\text{C}$  จะเกิดปฏิกิริยาโดย (*Eutectoid reaction*) เปลี่ยนเฟสกลาญเป็นเหล็กแอลฟ่า ( $\alpha\text{-Fe}$ ) และแมกนีไทต์ จากนั้นระหว่างการเย็บตัวถ้าปริมาณออกซิเจนในแมกนีไทต์เพิ่มสูงขึ้น โดยการทำปฏิกิริยาระหว่างแมกนีไทต์กับออกซิเจน แมกนีไทต์อาจถูกออกซิไดซ์ (*Oxidize*) กลาญเป็นเอมาタイト ดังภาพที่ 2.1



ภาพที่ 2.1 แผนภูมิสมดุลระหว่างเหล็กกับออกซิเจน [2], [3]

### 2.1.2 กลไกการเกิดออกไซด์สเกล

กลไกการเกิดออกไซด์สเกลบนเหล็กบริสุทธิ์ที่อุณหภูมิสูงกว่า 570 °C สามารถอธิบายได้ด้วยกลไกการแพร่ของอะตอมเหล็ก, ออกซิเจน อิเล็กตรอน-ไฮด (Electron hole) และช่องว่างในผลึก (Vacancy) จากภาพที่ 2.2 ที่ผิวอยต่อของเหล็กกับวัสดุตัวเป็น อิออน ตามสมการ (ก)



ภาพที่ 2.2 กลไกการเกิดออกไซด์สเกลของเหล็ก ที่อุณหภูมิสูงกว่า 570 °C [2]

จากนั้นอิออนของเหล็ก และอิเล็กตรอนซึ่งเคลื่อนที่ผ่านชั้นวัสดุตัวเป็นโดยอาศัยช่องว่างในผลึก และอิเล็กตรอน-ไฮดตามลำดับ จะรีดิวช์ (Reduce) แมgnีไทต์ที่ผิวอยต่อระหว่างชั้นวัสดุตัวเป็นแมgnีไทต์ กับแมgnีไทต์ ตามสมการ (ข) เป็นกลไกการเพิ่มความหนาของชั้นวัสดุตัวเป็น



อิออนของเหล็ก และอิเล็กตรอนที่มากเกินสำหรับปฏิกิริยา (ข) จะเคลื่อนที่ต่อไปผ่านชั้นแมgnีไทต์จนถึงผิวอยต่อระหว่างชั้นแมgnีไทต์ กับHEMA タイト และเกิดปฏิกิริยารีดักชันเปลี่ยนHEMA タイトเป็นแมgnีไทต์ตามสมการ (ค) ซึ่งเป็นการเพิ่มความหนาของชั้นแมgnีไทต์



อิออนของเหล็กสามารถเคลื่อนที่ในชั้นHEMA タイトได้โดยอาศัย iron ion vacancies ร่วมกับอิเล็กตรอน ไปเกิดปฏิกิริยากับออกซิเจนที่ผิวค้างนอกซึ่งติดกับอากาศ และเกิดเป็นHEMA タイトที่หนาขึ้น ตามสมการ (จ)



ในขณะเดียวกัน ออกซิเจนที่ผิวอยต่อระหว่างชั้นHEMA タイト กับอากาศ สามารถแตกตัวเป็นอิออนของออกซิเจน และเคลื่อนที่ขึ้นกลับเข้าไปผ่านชั้นHEMA タイト และทำปฏิกิริยากับ

อิออนของเหล็ก และอิเล็กตรอนที่มากเกินสำหรับปฏิกิริยาในสมการ (ค) เกิดเป็นเขม่าได้ตามสมการ (จ)



## 2.2 ความรู้เบื้องต้นเกี่ยวกับการถ่ายเทความร้อน

กลไกการถ่ายเทความร้อน มีอยู่ 3 วิธี คือ การนำความร้อน (Conduction), การพาความร้อน (Convection) และการแผ่รังสีความร้อน (Radiation) ดังนี้

### 2.2.1 การนำความร้อน

ปรากฏการณ์ที่พลั้งงานความร้อนถ่ายเทภายในวัตถุหนึ่งๆ (ตัวกลางที่อยู่นิ่ง) หรือระหว่างวัตถุสองชิ้นที่สัมผัสกัน โดยอาศัยการสั่นสะเทือนของโมเลกุลโดยมีทิศทางของเคลื่อนที่ของพลั้งงานความร้อนจากบริเวณที่มีอุณหภูมิสูงไปยังบริเวณที่มีอุณหภูมิต่ำกว่า สมการที่อธิบายกลไกการนำความร้อนได้แก่ กฎของฟูเรียร์ (Fourier's law) ดังนี้

$$q_x = -k \left( \frac{dT}{dx} \right) \quad (2.1)$$

เมื่อ  $q_x$  คือ พลักดันความร้อนในทิศทาง  $x$ , [ $\text{J/m}^2 \text{s}$ ]

$k$  คือ ค่าการนำความร้อน, [ $\text{W/m } ^\circ\text{C}$ ]

$$\left( \frac{dT}{dx} \right) \text{ คือ ความแตกต่างของอุณหภูมิระหว่างสองบริเวณในทิศทาง } x$$

พลักดันความร้อนจะแปรผันตามความแตกต่างของอุณหภูมิระหว่างสองบริเวณ และค่าการนำความร้อน ดังสมการที่ 2.1 หรือสามารถเขียนในรูปสมการการถ่ายเทความร้อนพิกัดคาร์ทีเซียน (Heat flow equation, Fourier's second law) ซึ่งใช้ในการคำนวณการถ่ายเทความร้อนของม้วนเหล็กในงานวิจัยนี้ ดังนี้

$$\rho C_p \frac{dT}{dt} = k \left( \frac{\partial^2 T}{\partial x^2} + \frac{\partial^2 T}{\partial y^2} + \frac{\partial^2 T}{\partial z^2} \right) \quad (2.2)$$

เมื่อ  $\frac{\partial T}{\partial t}$  คือ อัตราการเปลี่ยนแปลงอุณหภูมิเทียบกับเวลา

$\rho$  คือ ความหนาแน่นของวัสดุ

$C_p$  คือ ความจุความร้อน

$k$  ค่าการนำความร้อน, [ $\text{W/m } ^\circ\text{C}$ ]

### 2.2.2 การพารความร้อน

ปรากฏการณ์ที่พลังงานความร้อนเกิดการถ่ายเทจากผิวัตถุไปยังของใหม่ หรือตัวกลางที่มีการเคลื่อนที่รอบผิวัตถุดังกล่าว การคำนวณพลักซ์ความร้อนสามารถทำได้โดยอาศัยความสัมพันธ์ตามสมการของนิวตัน (Newton's law of cooling/heating) ซึ่งใช้เป็นเงื่อนไขข้อบ่งบอกของการคำนวณการถ่ายเทความร้อนจากม้วนเหล็ก ดังนี้

$$q_s = h(T_s - T_f) \quad (2.3)$$

เมื่อ  $q_s$  คือ พลักซ์ความร้อนที่ผิวัตถุ  
 $h$  ค่าสัมประสิทธิ์การถ่ายเทความร้อน (หมายถึงพลังงานความร้อนที่วัตถุส่งผ่านไปยังของใหม่ต่อหน่วยพื้นที่ต่อหน่วยอุณหภูมิ), [W/m<sup>2</sup> °C]  
 $T_s, T_f$  คือ อุณหภูมิของผิวัตถุ และอุณหภูมิของของใหม่ตามลำดับ

### 2.2.3 การแผ่รังสีความร้อน

ปรากฏการณ์การถ่ายเทความร้อน โดยการปลดปล่อยพลังงานออกมายังรูปคลื่นแม่เหล็กไฟฟ้า ผ่านตัวกลางหรือบรรยากาศ สามารถอธิบายกลไกการแผ่รังสีความร้อนเป็นความสัมพันธ์ระหว่างพลักซ์ความร้อนกับความแตกต่างของอุณหภูมิกำลังสี่ (Stefan-Boltzmann law) ดังสมการที่ 2.4 และสามารถหาค่าสัมประสิทธิ์การถ่ายเทความร้อนแบบการแผ่รังสีความร้อน <sup>[4]</sup> ได้จากความสัมพันธ์ในสมการที่ 2.5

$$q_{rad} = \varepsilon\sigma(T_s^4 - T_{surr}^4) \quad (2.4)$$

$$h_r = \frac{q_{rad}}{T_s - T_{surr}} = \sigma\varepsilon\left(\frac{T_s^4 - T_{surr}^4}{T_{1s} - T_{surr}}\right) \quad (2.5)$$

เมื่อ  $q_{rad}$  คือ พลักซ์ความร้อนของการแผ่รังสีความร้อน  
 $\varepsilon$  ค่าสัมประสิทธิ์การแผ่รังสีความร้อน  
 $\sigma$  ค่าคงที่ Stefan-Boltzmann มีค่า  $5.6703 \times 10^{-8} \text{ W/m}^2 \text{ °C}^4$   
 $T_s$  คือ อุณหภูมิที่ผิวของวัตถุ  
 $T_{surr}$  คือ อุณหภูมิของสิ่งแวดล้อม  
 $h_r$  ค่าสัมประสิทธิ์การถ่ายเทความร้อนแบบการแผ่รังสีความร้อน

### 2.3 กลไกการถ่ายเทความร้อนของม้วนเหล็กระหว่างการเย็นตัวภายในหลังการม้วนเก็บ

การเย็นตัวของม้วนเหล็กประกอบด้วยการถ่ายเทความร้อนทั้ง 3 แบบ แตกต่างกันในแต่ละ ตำแหน่งของม้วนเหล็ก กล่าวคือ การถ่ายเทความร้อนภายในเนื้อเหล็กแผ่นเป็นแบบการนำความร้อน ในขณะที่ผิวค้างนอก, ผิวค้างใน, ช่องอากาศระหว่างชั้นเหล็ก (Air gap) และค้างข้างของ ม้วนเหล็กที่สัมผัสกับอากาศจะเกิดการถ่ายเทความร้อนแบบการพาความร้อน และม้วนเหล็กเป็น วัตถุร้อนซึ่งเกิดการถ่ายเทความร้อนแบบการแผ่รังสีความร้อน

ในการศึกษานี้จะสนใจกลไกการถ่ายเทความร้อนในรูปแบบการนำความร้อนแบบ 3 มิติ, การพาความร้อน และการแผ่รังสีความร้อน โดยใช้สัมประสิทธิ์การถ่ายเทความร้อนรวม ( $h_{total}$ ,  $h_t$ ) ซึ่งเป็นการรวมสัมประสิทธิ์การถ่ายเทความร้อนแบบการพาความร้อน ( $h$ ) เพิ่กับ สัมประสิทธิ์การถ่ายเทความร้อนแบบการแผ่รังสีความร้อน <sup>[4]</sup> ( $h_r$ )

$$h_t = h + h_r \quad (2.6)$$

### 2.4 แบบจำลองทางคณิตศาสตร์สำหรับศึกษาการเย็นตัวของม้วนเหล็ก (Mathematical model)

ในการศึกษารูปแบบการเย็นตัวของม้วนเหล็ก โดยสร้างแบบจำลองทางคณิตศาสตร์ (Mathematical model) ด้วยโปรแกรม Flex PDE สมการที่เกี่ยวข้องกับปัญหาได้แก่สมการที่ 2.1-2.4 ใน การศึกษานี้จะสนใจกลไกการถ่ายเทความร้อนในรูปแบบการนำความร้อน, การพาความร้อน และการแผ่รังสีความร้อนโดยใช้สัมประสิทธิ์การถ่ายเทความร้อนรวม ( $h_{total}$ ) ซึ่งสมการหลักที่ใช้ใน โปรแกรม Flex PDE ได้แก่

$$\rho C_p \frac{dT}{dt} = k \left( \frac{\partial^2 T}{\partial x^2} + \frac{\partial^2 T}{\partial y^2} + \frac{\partial^2 T}{\partial z^2} \right) \quad \text{และ} \\ q_s = h_{total} (T_s - T_f) \quad \text{เงื่อนไขขอบเขต}$$

เมื่อ  $\frac{\partial T}{\partial t}$  คือ อัตราการเปลี่ยนแปลงอุณหภูมิเทียบกับเวลา

$\rho$  คือ ความหนาแน่นของวัสดุ

$C_p$  คือ ความจุความร้อน

$k$  คือ ค่าการนำความร้อน, [W/m °C]

$q_s$  คือ พลังซึ่ความร้อนที่ผิวตู้

$h$  คือ ค่าสัมประสิทธิ์การถ่ายเทความร้อน (หมายถึงพลังงานความร้อนที่ วัตถุส่งผ่านไปยังของใหม่ต่อหน่วยพื้นที่ต่อหน่วยอุณหภูมิ), [W/m<sup>2</sup> °C]

$T_s, T_f$  คือ อุณหภูมิของผิวตู้ และอุณหภูมิของของใหม่ตามลำดับ

ข้อมูลที่ต้องใช้ในการสร้างแบบจำลองทางคณิตศาสตร์ได้แก่ ขนาดของม้วนเหล็ก, ค่าคงที่ของวัสดุ (ความหนาแน่น, ความจุความร้อน, ความสามารถในการนำความร้อน), เงื่อนไขขอบเขต (Boundary condition), เงื่อนไขเริ่มต้น (Initial condition; อุณหภูมิเริ่มต้นในการศึกษา ในที่นี้หมายถึงอุณหภูมim้วนเก็บ; Coiling temperature และอุณหภูมิอากาศโดยรอบ) เพื่อใช้ในการสร้างรูปจำลองของม้วนเหล็ก ประกอบการหาค่าสัมประสิทธิ์การถ่ายเทความร้อนเพื่อกำหนณในสมการที่ 2.2 โดยมีสมการที่ 2.3 เป็นเงื่อนไขขอบเขต และแสดงผลในรูปของกราฟความสัมพันธ์ระหว่างอุณหภูมิกับเวลา และกราฟความสัมพันธ์ระหว่างอัตราการเย็นตัวกับเวลา ณ ตำแหน่งต่างๆ ในแบบจำลอง

## 2.5 การวิเคราะห์เทอร์โมกรา维เมทริก (Thermo-gravimetric analysis)

วิธีการทดลองที่นิยมใช้เพื่อศึกษาしながらลดลงของการเกิดออกไซด์สเกลของโลหะจากการเปลี่ยนแปลงของน้ำหนัก มี 2 แบบ ได้แก่ การเก็บข้อมูลแบบต่อเนื่อง (Continuous method) และ การเก็บข้อมูลเฉพาะก่อนและหลังการทดลอง (Discontinuous method) ซึ่งวิธีการหลังนี้สามารถทำได้ง่าย และไม่ต้องใช้อุปกรณ์ที่มีเทคโนโลยีสูง โดยการชั่งน้ำหนักชิ้นงานก่อนทำการทดลอง และชั่งน้ำหนักชิ้นงานอีกครั้งหนึ่งภายหลังการทดลอง แล้วนำน้ำหนักที่เปลี่ยนแปลงไป ซึ่งมีข้อเสียอยู่บ้าง คือ ได้ข้อมูลเพียง 2 ค่าต่อการทดลอง และไม่อาจทราบได้ว่าการเปลี่ยนแปลงของน้ำหนักระหว่างที่เกิดการออกซิเดชันอยู่นั้นมีรูปแบบของการเพิ่มหรือลดเป็นอย่างไร ดังนั้นวิธีการที่สะดวก และมีประสิทธิภาพมากกว่าอย่างการวิเคราะห์เทอร์โมกรา维เมทริก (Thermo-gravimetric analysis) จึงมีบทบาทในการทดลองสาขาานีมากขึ้น<sup>[5]</sup>

วิธีการวิเคราะห์เทอร์โมกรา维เมทริกที่มีหลักการพื้นฐาน คือ การวัดน้ำหนักที่เปลี่ยนไปเมื่ออุณหภูมิเปลี่ยนไป (เกิดปฏิกิริยาการเกิดออกไซด์สเกล) จุดเด่นของวิธีการนี้ คือ ชิ้นงานขนาดเล็กจึงเย็นตัวเร็ว ประหยัดพลังงาน และเวลาทำให้สามารถศึกษาได้หลายสภาวะ สภาวะที่นิยมศึกษา แม่งเป็น 2 แบบ ได้แก่ การศึกษาการเกิดสเกลที่อุณหภูมิกคงที่ (Isothermal oxidation) และวัดน้ำหนักที่เปลี่ยนไปเป็นฟังก์ชันกับเวลา ซึ่งนิยมสำหรับการศึกษาการเกิดสเกลของโลหะ<sup>[5]</sup> แบบที่สอง คือ ศึกษาในสภาวะเย็นตัวอย่างต่อเนื่อง (Non-isothermal oxidation) จากนั้นนำข้อมูลน้ำหนักที่เปลี่ยนไปเมื่อเวลา และอุณหภูมิเปลี่ยนไปมาสร้างเป็นความสัมพันธ์เพื่อศึกษาしながらลดลงของการเกิดออกไซด์สเกลต่อไป

## 2.6 しながらลดลงของการเกิดสเกล (Kinetics of oxidation)

เนื่องจากการศึกษาเฉพาะพลศาสตร์ความร้อน (Thermodynamics) อย่างเดียวไม่เพียงพอสำหรับการวิเคราะห์อัตราการเกิดออกไซด์สเกล ดังนั้นการศึกษาしながらลดลงของการเกิดออกไซด์สเกล (Kinetics of oxidation) จึงมีความสำคัญสำหรับการวิเคราะห์อัตราการเกิดปฏิกิริยา

วิธีที่นิยมใช้ในการศึกษาจลนพลศาสตร์ของการเกิดออกไซด์สเกลของโลหะได้แก่ วิธีการวิเคราะห์เทอร์โมกราฟิก (Thermo-gravimetric analysis)

ความสัมพันธ์ระหว่างอัตราการเกิดปฏิกิริยา กับเวลา หรือ กฎอัตรา (Rate law) ที่พบบ่อยมี 4 ประเภท<sup>[2],[3]</sup> ได้แก่

#### 2.6.1 แบบเส้นตรง

graf ความสัมพันธ์ระหว่างอัตราการเกิดปฏิกิริยา กับเวลา เป็นสมการเส้นตรง เกิดกับปฏิกิริยาที่ผิวหรืออยู่ต่อระหัวงเฟส เช่น สภาวะคงที่ของการเกิดออกไซด์สเกลที่ผิวอยู่ต่อของโลหะกับออกไซด์สเกล กระบวนการแพร่ผ่านชั้นป้องกัน (Protective layer)

$$W^{n-1} [dW/dt] = k_n \quad (2.7)$$

อนthrิเกรต เมื่อ  $n = 1$

$$W = k_n t + C \quad (2.7.1)$$

เมื่อ  $W$  คือ น้ำหนักที่เพิ่มขึ้นต่อหน่วยพื้นที่  
 $t$  คือ เวลา  
 $k_n$  ค่าคงที่การเกิดปฏิกิริยา

#### 2.6.2 แบบพาราโบลิก (Parabolic oxidation)

เป็นลักษณะที่พบมากในโลหะและโลหะผสมที่อุณหภูมิค่อนข้างสูง โดยอัตราการเกิดปฏิกิริยาเปรียกพันกับความหนาของออกไซด์สเกล และน้ำหนักของออกไซด์สเกลที่เพิ่มขึ้น แบบพาราโบลิก อนธิบายได้ด้วยสมการที่ 2.7.2 (อนthrิเกรตสมการที่ 2.7 เมื่อ  $n = 2$ )

$$W[dW/dt] = k_n \quad (2.7.2)$$

เมื่อ  $W$  คือ น้ำหนักที่เพิ่มขึ้นต่อหน่วยพื้นที่  
 $t$  คือ เวลา  
 $k_n$  ค่าคงที่การเกิดปฏิกิริยา

$$k_n = B \exp(-Q/RT) \quad (2.8)$$

เมื่อ  $B$  คือ ค่าคงที่  
 $t$  คือ อุณหภูมิ (K)  
 $Q$  คือ พลังงานกระตุ้น (activation energy)  
 $R$  ค่าคงที่ของกําซ (gas constant) มีค่าเท่ากับ 8.314 J/mol K

สำหรับสภาวะการเกิดสเกลที่อุณหภูมิคงที่ จากสมการที่ 2.7 สร้างกราฟความสัมพันธ์ระหว่างน้ำหนักที่เพิ่มขึ้นกับเวลา (W vs. t) หรือน้ำหนักที่เพิ่มขึ้นกับรากที่สองของเวลา(W vs.  $t^{1/2}$ ) ของแต่ละอุณหภูมิ จะได้กราฟเส้นตรงที่มีความชันเท่ากับค่าคงที่การเกิดปฏิกิริยา (k) ดังนั้นเมื่อทำการพลักย์และบวกน้ำหนักนี้กับอุณหภูมิอื่นๆ ก็จะได้ค่าคงที่การเกิดปฏิกิริยาที่อุณหภูมิต่างๆ จากสมการที่ 2.8 นำค่าค่าคงที่การเกิดปฏิกิริยา (k) ที่อุณหภูมิต่างๆ มาสร้างกราฟระหว่างลอการีทึมธรรมชาติของค่าคงที่การเกิดปฏิกิริยา กับอินเวอร์สของอุณหภูมิ ( $\ln k$  กับ  $1/T$ ) จะได้กราฟเส้นตรงที่มีความชันเท่ากับ  $-Q/R$  ความสัมพันธ์นี้สามารถทำให้หาค่าพลังงานกระตุ้นของการเกิดปฏิกิริยา (Activation energy, Q) ได้<sup>[8]</sup>

สำหรับสภาวะอัตราการเย็นตัวคงที่ (Non-isothermal oxidation) อุณหภูมิที่เวลาใดๆ (T) ใช้บายได้ดังสมการ

$$T = at + b \quad \text{หรือ} \quad dT = a \, dt \quad (2.9)$$

เมื่อ  $a$  กือ อัตราการเย็นตัว

$b$  กือ อุณหภูมิเริ่มต้น

เมื่อแทนค่าสมการที่ 2.8 และความสัมพันธ์ของอุณหภูมิตามสมการที่ 2.9 ลงในสมการที่ 2.7 แล้วจัดรูปจะได้ความสัมพันธ์ดังสมการต่อไปนี้

$$W^{n-1} \left( \frac{dW}{dt} \right) = k_n \quad (2.7)$$

$$k_n = B \exp \left( \frac{-Q}{RT} \right) \quad (2.8)$$

$$dT = adt \quad (2.9)$$

แทนสมการที่ 2.8 และ 2.9 ลงใน สมการที่ 2.7 แล้วจัดรูป

$$W^{n-1} \left( \frac{dW}{dT/a} \right) = B \exp \left( \frac{-Q}{RT} \right)$$

$$W^{n-1} \left( \frac{dW}{dT} \right) = \frac{B}{a} \exp \left( \frac{-Q}{RT} \right) \quad (A)$$

take ln สมการ A

$$(n-1)\ln W + \ln \left( \frac{dW}{dT} \right) = \frac{-Q}{RT} + \ln \frac{B}{a} \quad (2.10)$$

สร้างกราฟระหว่าง  $(n-1) \ln W + \ln [dW/dT]$  กับ  $1/T$  ในสมการที่ 2.10 จะได้กราฟเส้นตรง ที่มีความชันเป็น  $-Q/R$  และสามารถหาค่าคงที่  $B$  ได้จากจุดตัดแกน จากนั้นนำค่า  $B$  และ  $-Q/R$  แทนลงในสมการที่ 2.7 เพื่อหาค่า  $k_n$

### 2.6.3 แบบลอการิทึม (Logarithmic law)

พบในกรณีการเกิดออกไซด์สเกลที่อุณหภูมิค่อนข้างต่ำ<sup>[5]</sup> มีลักษณะเฉพาะ คือ อัตราการเกิดปฏิกิริยาเร็วในช่วงแรก และลดลงอย่างต่อเนื่อง อธิบายได้ด้วยสมการ

$$W = k_n \log t + A \quad \text{หรือ} \quad W^{-1} = k_n' \log t + B \quad (2.11)$$

เมื่อ  $W$  คือ น้ำหนักที่เพิ่มขึ้นต่อหน่วยพื้นที่  
 $t$  คือ เวลา  
 $k_n, k_n'$  คือ ค่าคงที่การเกิดปฏิกิริยา

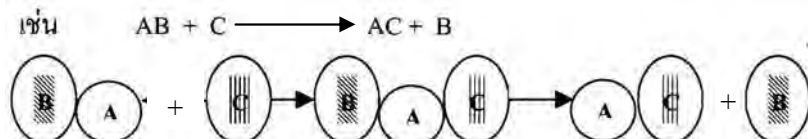
### 2.6.4 แบบผสม (Combination)

ปฏิกิริยาการเกิดสเกลในโลหะบางประเภทมีอัตราการเกิดปฏิกิริยาเป็นแบบผสม เช่น แบบผสมระหว่างแบบลอการิทึม และแบบพาราโบลิก (Cubic law อธิบายด้วยสมการที่ 2.7 โดยใช้ค่า  $n = 3$ ) เกิดที่อุณหภูมิต่ำ โดยปฏิกิริยาเป็นไปตามลอการิทึมในตอนแรก และเปลี่ยนเป็นพาราโบลิกในเวลาดังมา และแบบผสมระหว่างแบบเส้นตรงกับ แบบพาราโบลิก โดยปฏิกิริยาเป็นไปตามแบบเส้นตรงในตอนแรก และเปลี่ยนเป็นพาราโบลิกในภายหลัง เช่น การเกิดสเกลบนโลหะ ช่วงแรกปฏิกิริยาดำเนินไปอย่างรวดเร็ว โดยมีการปฏิกิริยาระหว่างอะตอมเหล็กกับอะตอมออกซิเจนเป็นขั้นกำหนดอัตราการเกิดปฏิกิริยา (Reaction control process) เกิดปฏิกิริยาระหว่างอะตอมของออกซิเจนและอะตอมของเหล็กที่ผิวระหว่างเหล็ก กับอากาศ เกิดเป็นชั้นออกไซด์กันระหว่างเนื้อเหล็กกับอากาศไว้ และทำให้อัตราการเกิดปฏิกิริยาลดลงภายหลังซึ่งมีการแพร่เป็นขั้นกำหนดอัตราการเกิดปฏิกิริยา (Diffusion control process)<sup>[5],[9]</sup> ในทางกลับกันปฏิกิริยาการเกิดสเกลบนผิวของชิ้นที่มีรอยแตกขนาดเล็ก (Microcracks) จะเป็นแบบพาราโบลิกแล้วเปลี่ยนเป็นแบบเส้นตรง (ปฏิกิริยาเร็วขึ้น) ในภายหลัง อันเป็นผลจากการที่กําชสามารถแทรกซึมผ่านรอยแตกขนาดเล็กที่ผิวลงไปทำปฏิกิริยากับโลหะเกิดสเกลขึ้นอย่างรวดเร็ว

## 2.7 แนวคิดเกี่ยวกับการเกิดปฏิกิริยา ขั้นตอนการเกิดปฏิกิริยา และขั้นกำหนดอัตรา

ปฏิกิริยาเคมีจะเกิดขึ้นภายในได้เงื่อนไข 3 ประการ ดังนี้<sup>[20]</sup>

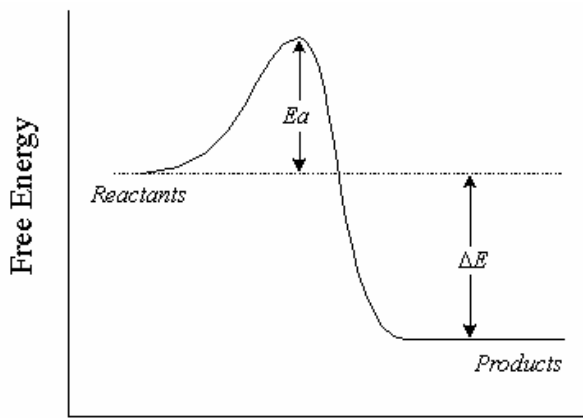
- การชนกันของอนุภาคของสารตั้งต้น อนุภาคอาจเป็นโมเลกุล อะตอม หรือไอออน การชนกันที่เหมาะสมของอนุภาคจะทำให้เกิดปฏิกิริยาเคมี
- ทิศทางการชน การชนกันของอนุภาคต้องอยู่ในทิศทางที่เหมาะสมเพื่อให้พันธะเก่า ถลายตัว และเกิดพันธะใหม่ ปฏิกิริยาจึงจะเกิดขึ้น



ภาพที่ 2.3 การชนกันของอนุภาคที่สามารถก่อให้เกิดการถลายพันธะเก่า และสร้างพันธะใหม่

- พลังงาน อนุภาคของสารที่เข้าทำปฏิกิริยาต้องมีพลังงานเพียงพอในการทำให้พันธะเก่าที่ยึดเหนี่ยวอนุภาคไว้เข้าด้วยกันถลายตัวพลังงานนี้ต้องมีค่าอย่างน้อยที่สุดเท่ากับพลังงานกระตุ้นสำหรับการเกิดปฏิกิริยา (Activation energy, พลังงานก่อ起มัมต์)

Activation Energy หรือพลังงานกระตุ้น ( $E_a$ ) คือ พลังงานที่น้อยที่สุดที่เกิดจากการชนกันของอนุภาคแล้วทำให้เกิดปฏิกิริยา มีหน่วยเป็น kcal/mol หรือ kJ/mol จากภาพที่ 2.4  $\Delta E$  คือ พลังงานที่เกิดจากการเกิดปฏิกิริยา มีค่าเป็นลบเมื่อเป็นปฏิกิริยาเคมี พลังงาน และมีค่าเป็นบวกเมื่อเป็นปฏิกิริยาดูดพลังงาน



ภาพที่ 2.4 พลังงานกระตุ้น

ลักษณะสำคัญของพลังงานกระตุ้น

- ปฏิกิริยาต่างชนิดกัน จะมีพลังงานกระตุ้นต่างกัน
- ปฏิกิริยาที่มีค่าพลังงานกระตุ้นต่ำ จะเกิดปฏิกิริยาง่ายกว่าปฏิกิริยาที่มีพลังงานกระตุ้นสูง
- พลังงานกระตุ้นไม่เกี่ยวข้องกับอัตราการเกิดปฏิกิริยาเคมี กล่าวคือ ค่าพลังงานกระตุ้นจะสูงหรือต่ำก็ได้เมื่อค่าอัตราการเกิดปฏิกิริยาต่ำ

ขั้นตอนหลักในการเกิดปฏิกิริยาการเกิดออกไซด์สเกลที่ผิวชิ้นงาน ประกอบด้วยขั้นตอนหลัก ได้แก่

1. อะตอมออกซิเจนเคลื่อนที่ในอากาศที่ผิวเหล็ก และอะตอมเหล็กเคลื่อนที่ในเนื้อเหล็กมาซึ้งผิวอยต่อระหว่างเหล็กกับอากาศ
2. เกิดการ sorption อะตอมออกซิเจนที่ผิวเหล็ก
3. เกิดปฏิกิริยาออกซิเดชันระหว่างอะตอมเหล็กกับอะตอมออกซิเจนที่ผิวอยต่อระหว่างเหล็กกับอากาศ เกิดเป็นขั้นออกไซด์สเกลกันระหว่างเหล็กกับอากาศ
4. อะตอมของออกซิเจนเคลื่อนที่ผ่านขั้นออกไซด์สเกลที่เกิดขึ้นเพื่อเข้าทำปฏิกิริยาออกซิเดชันกับอะตอมของเหล็ก

ซึ่งในทางทฤษฎี ขั้นตอนทั้งหมดที่กล่าวมาสามารถเป็นขั้นกำหนดอัตราการเกิดปฏิกิริยาได้ทั้งสิ้น แต่โดยทั่วไปแล้วขั้นกำหนดอัตราการเกิดปฏิกิริยา จะจัดเป็น 1 ใน 2 ประเภท อันได้แก่ Surface control/ Reaction control หรือ Diffusion/ Transport control

### 1. Surface Controlled Reactions

ปฏิกิริยา Dissolution และ Precipitation จัดเป็นปฏิกิริยาที่มีขั้นกำหนดอัตราการเกิดปฏิกิริยาแบบ surface controlled ซึ่งลักษณะโดยทั่วไปของขั้นกำหนดอัตราการเกิดปฏิกิริยาแบบนี้คือ มีอัตราการ dissolution มากกว่าอัตราการแพร่ และมักพบว่ามีพลังงานกระตุ้นสำหรับการเกิดปฏิกิริยา 12-17 kcal/mol หรืออยู่ในช่วง 50-72 kJ/mol และสูงกว่าพลังงานกระตุ้นสำหรับปฏิกิริยาที่เป็นลักษณะ diffusion control

### 2. Diffusion control

เมื่ออัตราการแพร่ของอะตอมออกซิเจนผ่านขั้นออกไซด์สเกลมีค่าต่ำกว่าอัตราการเกิดปฏิกิริยาออกซิเดชันที่ผิวแล้ว จะเกิดสภาวะอิ่มตัวยิ่งขึ้นของอะตอมออกซิเจนที่ผิว และอัตราการเกิดปฏิกิริยาจะขึ้นอยู่กับความเร็วในการแพร่ของอะตอมออกซิเจนผ่านขั้นออกไซด์สเกล ลักษณะดังกล่าวเนี้ยจัดเป็นปฏิกิริยาที่มีการแพร่เป็นขั้นกำหนดอัตราการเกิดปฏิกิริยา ซึ่งมีค่าพลังงานกระตุ้นสำหรับการเกิดปฏิกิริยาประมาณ 5 kcal/mol หรือประมาณ 20 kJ/mol เมื่อเทียบกับปฏิกิริยาที่มีขั้นกำหนดอัตราการเกิดปฏิกิริยาแบบ surface controlled แล้วจะเห็นว่ามีค่าพลังงานกระตุ้นที่ต่ำกว่ามาก

### 3. แบบผสม

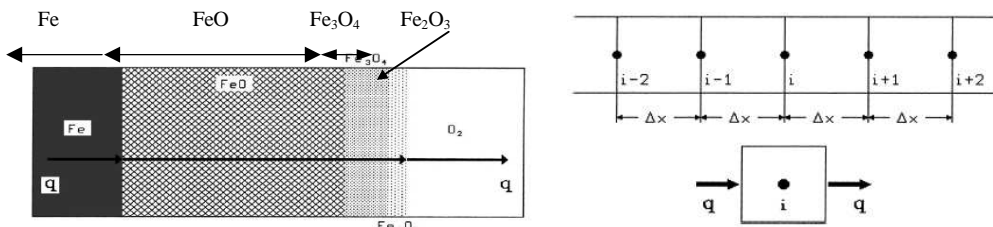
ในการณ์ที่พลังงานกระตุ้นสำหรับการเกิดปฏิกิริยาอยู่ในช่วงระหว่าง 5-12 kcal/mol หรือ 20-50 kJ/mol จะถือว่าเป็นปฏิกิริยาที่มีทั้ง Surface Controlled Reactions และ Diffusion control เป็นขั้นกำหนดอัตราการเกิดปฏิกิริยา เช่น ปฏิกิริยาการเกิดออกไซด์สเกลมี Surface Controlled Reactions เป็นขั้นกำหนดอัตราการเกิดปฏิกิริยาในช่วงแรก และ Diffusion control เป็นขั้นกำหนด

อัตราภายในหลังการเกิดออกไซด์สเกลที่มีความหนาในระดับที่ทำให้อัตราการแพร่ซึ่กันระหว่างอัตราการเกิดปฏิกิริยาระหว่างอะตอมออกซิเจนกับอะตอมเหล็ก

## 2.8 ปริทรรศน์วรรณกรรม (Literature review)

ในกระบวนการผลิตเหล็กแผ่นรีดร้อนประกอบไปด้วยขั้นตอนหลักหลายขั้นตอน ออกไซด์สเกลที่เกิดขึ้นในแต่ละขั้นตอนมีชื่อเรียกต่างกันไป ได้แก่ ออกไซด์สเกลปฐมภูมิ (Primary scale) เกิดขึ้นในเตาเผา (Reheating furnace) อันเป็นผลของบรรยายกาศในเตาที่ເອີ້ນດັບຕ່າງກົນ ตามนี้ออกไซด์สเกลปฐมภูมิจึงมีความหนา 2-3 มิลลิเมตร โดยประมาณ อย่างไรก็ตาม ออกไซด์สเกลปฐมภูมิจะถูกกำจัดด้วยเครื่องฉีดน้ำแรงดันสูงที่ทางออกจากเตา ออกไซด์สเกลทุติยภูมิ (Secondary scale) เกิดขึ้นในช่วงกระบวนการรีดขยาย (Roughing rolling) มีความหนาตั้งแต่ 10-20 ไมโครเมตร [5] และจะถูกกำจัดทิ้งในระหว่างกระบวนการรีดขยายโดยระบบฉีดน้ำแรงดันสูงที่ติดตั้งที่แท่นรีดขยาย และภายหลังเสร็จสิ้นกระบวนการรีดขยาย โดยระบบฉีดน้ำแรงดันสูงก่อนจะส่งเหล็กแท่งแบบที่ถูกรีดแล้วสู่กระบวนการรีดละเอียด ออกไซด์สเกลตติยภูมิ (Tertiary scale) เกิดระหว่าง และภายหลังกระบวนการรีดละเอียดซึ่งจะไม่ถูกกำจัดทิ้งยังถูกม้วนไว้พร้อมกับผลิตภัณฑ์เหล็กแผ่นรีดร้อน อยู่ภายในม้วนเหล็ก และระหว่างการเย็บตัวของม้วนเหล็ก ออกไซด์สเกลชนิดนี้จะเกิดการเปลี่ยนแปลงโครงสร้างต่างๆกันไป โดยขึ้นอยู่กับอุณหภูมimวันเก็บ (Coiling temperature), อัตราการเย็บตัว (Cooling rate) และปริมาณออกซิเจน ดังนั้นจึงมีผู้สนใจศึกษาผลของอุณหภูมิรีดละเอียด, อุณหภูมิการม้วน, อัตราการเย็บตัว, ปริมาณออกซิเจน รวมถึงปัจจัยอื่นๆที่มีต่อโครงสร้างออกไซด์สเกล รวมถึงกระบวนการที่ทำให้เกิดการเปลี่ยนแปลงโครงสร้างของออกไซด์สเกล โดยเฉพาะอย่างยิ่งกับออกไซด์สเกลตติยภูมิ

ในปี 1999 Martín Torres และ Rafael Colás<sup>[10]</sup> สร้างแบบจำลองสำหรับการนำความร้อนผ่านชั้นออกไซด์สเกลของเหล็กแผ่นรีดร้อนระหว่างการรีด ในช่วงอุณหภูมิ 1200 ถึง 900 °C โดยคิดการถ่ายเทความร้อนใน 1 มิติ และสมมติให้รอยต่อของออกไซด์สเกลแต่ละชั้นไม่มีรูพรุน หรือช่องว่างระหว่างรอยต่อ แบบจำลองสร้างขึ้นโดยวิธีไฟนิตดิฟเฟอเรนซ์ (Finite difference) โดยใช้จำนวน 60 อิลิเมนต์ แบ่งเป็นชั้นของเหล็กที่มีความหนาเท่ากับครึ่งหนึ่งของความหนาเหล็กแผ่น โดยสมมติให้การถ่ายเทความร้อนมีลักษณะสมมาตรทั้งด้านบน และด้านล่างของเหล็กแผ่น เท่ากับ 20 อิลิเมนต์, ชั้นวูสไต์ (FeO) 36 อิลิเมนต์, ชั้นแมกนีไทด์ ( $Fe_3O_4$ ) 3 อิลิเมนต์ และไฮมาไทต์ ( $Fe_2O_3$ ) 1 อิลิเมนต์

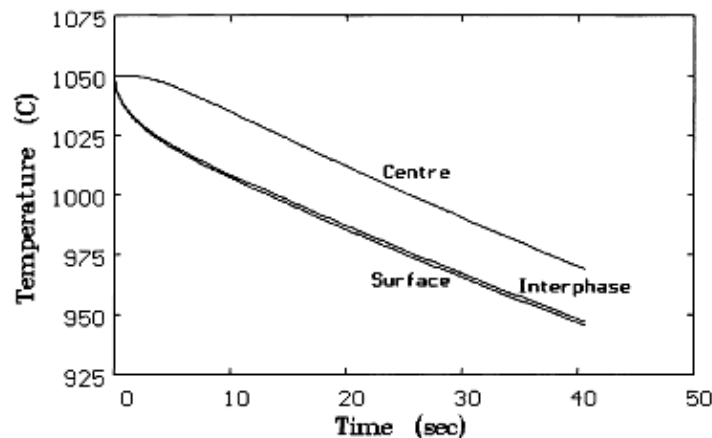


ภาพที่ 2.5 การแบ่งอลิเม้นต์สำหรับคำนวณการถ่ายเทความร้อน

สมการที่ใช้ในแบบจำลองประกอบด้วยสมการการนำความร้อนใน 1 มิติ, สมการการพาความร้อน และสมการการแพร่รังสีความร้อน ซึ่งใช้เป็นเงื่อนไขข้อมูล ดังนี้

$$\frac{dT}{dt} = \alpha \frac{d^2T}{dx^2} \quad \text{และ} \quad \frac{q}{A} = h(T_s - T_\infty) \quad \text{และ} \quad \frac{q}{A} = \varepsilon\sigma(T_s^4 - T_\infty^4) \quad (2.12)$$

ภายหลังจากการกำหนดเงื่อนไขเริ่มต้น และค่าคงที่ที่จำเป็นสำหรับแบบจำลอง (ใช้ค่าสมบัติทางกายภาพของออกไซด์สเกลคงที่ไม่ขึ้นกับอุณหภูมิ แต่สมบัติทางกายภาพของเหล็กเป็นฟังก์ชันของอุณหภูมิ) จะสามารถคำนวณค่าอุณหภูมิที่เวลาต่างๆ บนตำแหน่งต่างๆ ในชั้นออกไซด์สเกล และในเหล็กแผ่นได้ ดังตัวอย่าง

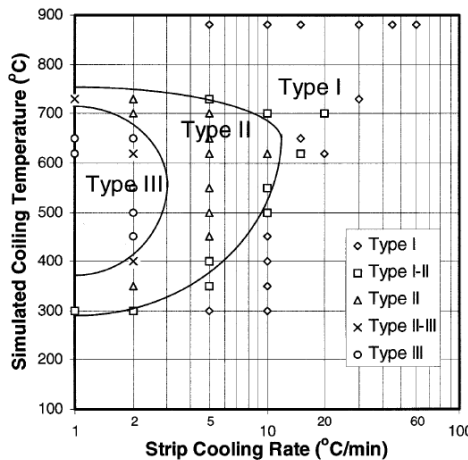


ภาพที่ 2.6 อัตราการเย็นตัวที่ตำแหน่งกลางความหนา, ระยะต่อระหว่างออกไซด์สเกลกับเหล็ก และผิวออกไซด์สเกล ของเหล็กแผ่นหนา 25.4 มิลลิเมตร ที่คำนวณจากแบบจำลอง

Martín Torres และ Rafael Colás สรุปว่าแบบจำลองนี้มีความแม่นยำเมื่อใช้กับออกไซด์สเกลที่มีความหนามาก เช่นออกไซด์สเกลปฐมภูมิ (Primary scale) แต่มีความซับซ้อนมากเกินไป เมื่อใช้กับออกไซด์สเกลบาง

ในปี 1999 R.Y. Chen และ W.D. Yuen <sup>[11]</sup> ได้ทำการศึกษาผลของอุณหภูมิม้วนเก็บ และอัตราการเย็นตัวต่อการเปลี่ยนแปลงโครงสร้างของออกไซด์สเกลติดภูมิ ที่อยู่ต่อระหว่างวุสไทด์

กับผิวเหล็ก ภายใต้สภาวะเย็นตัวแบบต่อเนื่อง (Continuous cooling) โดยใช้ชินงานเหล็กแผ่นรีดเย็น 0.06% คาร์บอน, 0.25% แมงกานีส หนา 0.8 มิลลิเมตร ทำการจำลองการเกิดออกซิเดชันในเตาอินฟารेक โดยใช้อุณหภูมิการม้วนเก็บในช่วง 300-730 °C อัตราการเย็นตัว 1-60 องศาเซลเซียสต่อนาที (°C/min) จากการศึกษาสามารถแบ่งชนิดของออกไซด์สเกลที่เกิดจากการเปลี่ยนแปลงของวุสไต์ได้เป็นประเภทต่างๆ

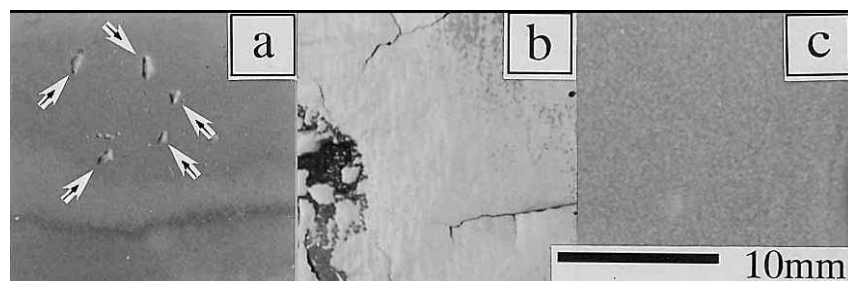


ภาพที่ 2.7 แผนภาพแสดงชนิดของออกไซด์สเกลที่เปลี่ยนไปเป็นฟังก์ชันของอุณหภูมimวันเก็บและอัตราการเย็นตัว

- ชนิด I ประกอบด้วยวุสไต์เหลือค้าง (retained wustite) และตะกอนของแข็งของแมgnีไต์(magnetite precipitate) ภายในวุสไต์ พบร่องอกไชด์สเกลชนิดนี้มักเกิดจากการม้วนเก็บที่อุณหภูมิต่ำ และอัตราการเย็นตัวสูง
- ชนิด II ประกอบด้วยวุสไต์เหลือค้าง, ตะกอนของแข็งของแมgnีไต์ ภายในวุสไต์ และชั้นแมgnีไต์แบบต่อเนื่องที่ รอยต่อของชั้nwusไต์กับเหล็ก
- ชนิด I-II ประกอบด้วยวุสไต์เหลือค้าง, ตะกอนของแข็งของแมgnีไต์ ภายในวุสไต์, magnetite nuclei ที่รอยต่อของชั้nwusไต์กับเหล็ก
- ชนิด III เป็นออกไชด์สเกลชนิดที่เกิดจากม้วนเก็บที่อุณหภูมิสูงและอัตราการเย็นตัวต่ำ ประกอบด้วยโครงสร้างแบบ magnetite-iron eutectoid ที่เกิดจากการเปลี่ยนแปลงวุสไต์ และตะกอนของแข็งของแมgnีไต์ ทั้งแบบที่ต่อเนื่องเป็นชั้นที่รอยต่อของชั้nwusไต์กับเหล็ก และที่ภายในวุสไต์ โครงสร้างลักษณะนี้เป็นโครงสร้างที่ยากต่อกระบวนการถังผิวเหล็กด้วยสารละลายกรด
- ชนิด II-III ประกอบด้วยโครงสร้างแบบเดียวกับ Type III แต่ยังคงมีวุสไต์เหลือค้าง เช่นเดียวกับ Type II ออกไชด์สเกลชนิดนี้เกิดจากการม้วนเก็บที่อุณหภูมิต่ำ และอัตราการเย็นตัวต่ำ

จากผลการศึกษา R.Y. Chen และ W.D. Yuen ได้เสนอแนวคิดใหม่ว่ากระบวนการเกิดนิวเคลียสของแมกนีไടต์ที่ร้อยต่อร้อยละหัวงูสไต์กับผิวเหล็กเป็นลักษณะผสม กล่าวคือในสภาวะการเย็นตัวแบบต่อเนื่องขณะที่อุณหภูมิต่ำกว่า  $570^{\circ}\text{C}$  ส่วนของงูสไต์ที่อยู่ติดกับเหล็กจะเกิดภาวะอิ่มตัวยิ่งขวดของทั้งเหล็ก และออกซิเจน (Supersaturated of iron and oxygen) แต่การเกิดการตกตะกอนของแข็งของเหล็ก (Iron precipitation) นั้นเกิดได้ยากกว่าการตกตะกอนของแข็งของแมกนีไടต์ (Magnetite precipitation) ประกอบกับลักษณะทางกายภาพของออกไซด์สเกลกับเหล็กที่อยู่ติดกันอย่างดี ดังนั้นจะต้องมีการเกิดจากภาวะอิ่มตัวยิ่งขวดจึงเลือกที่จะเติม (Deposit) ลงบนเหล็ก (แทนการเกิดการตกตะกอนของแข็งของเหล็ก) ซึ่งส่งผลให้เกิดลักษณะ oxygen enrichment ที่ดำเนินการตัดเข้าไป และจะเห็นได้ว่านำมาให้เกิดการตกตะกอนของแข็งของแมกนีไടต์ที่ร้อยต่อร้อยละหัวงูสไต์กับผิวเหล็ก การโตของตะกอนของแข็งของแมกนีไടต์ก่อให้เกิดการหลักละลายของเหล็กออก ดังนั้นกระบวนการแพร่ของอะตอมเหล็ก จึงจัดเป็นตัวควบคุมการโตของตะกอนของแข็งของแมกนีไടต์ อัตราการเย็นตัวที่ช้า ส่งผลให้เกิดแมกนีไടต์แบบเป็นชั้นต่อเนื่อง ในขณะที่อัตราการเย็นตัวเร็วทำให้อะตอมเหล็กแพร่ไม่ทันจึงไม่เกิดแมกนีไടต์แบบเป็นชั้นต่อเนื่อง พบร่องตะกอนของแข็งของแมกนีไടต์เท่านั้น

ในปี 2001 Taro KIZU, Yasunobu NAGATAKI และคณะ<sup>[12]</sup> ศึกษาผลของอุณหภูมิการเกิดปฏิกิริยาออกซิเดชัน (Oxidation temperature) และส่วนผสมทางเคมีของเหล็ก ต่อความติดแน่น (adhesion) ของออกไซด์สเกลบนผิวเหล็กกล้าคาร์บอนตัวในอากาศที่อุณหภูมิ  $1173\text{-}1323^{\circ}\text{C}$  และเวลา 3-100 วินาที



ภาพที่ 2.8 a), b), c) จำลองการเกิดสเกลที่อุณหภูมิ  $1173, 1223, 1273^{\circ}\text{C}$  ตามลำดับ เป็นเวลา 10 วินาที

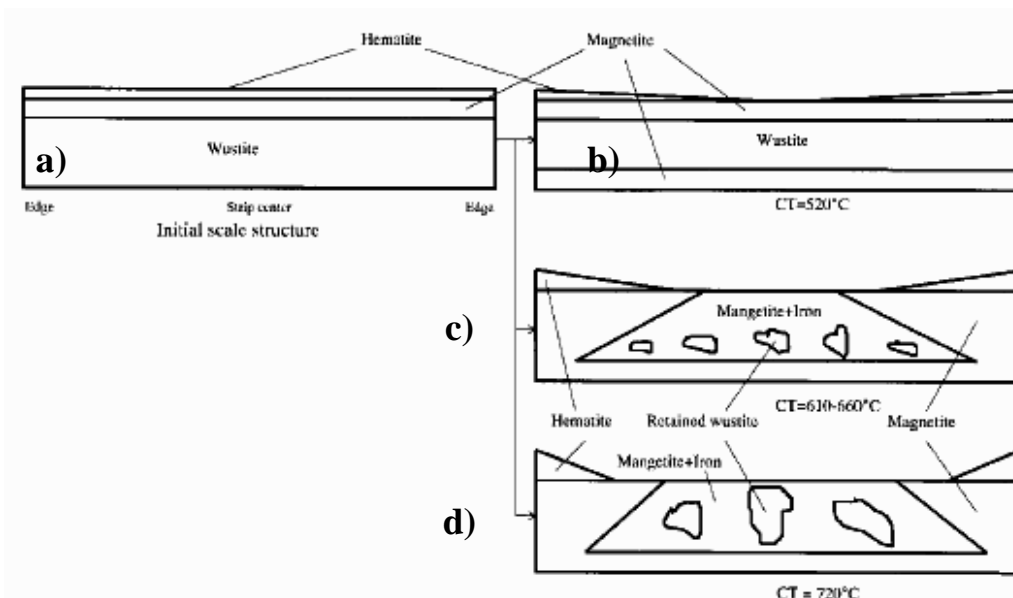
จากการศึกษาจำลองการเกิดออกไซด์สเกล โดยใช้เหล็กกล้าคาร์บอนตัวที่มีปริมาณฟอสฟอรัส 0.05 เปอร์เซ็นต์โดยน้ำหนัก (% by weight) ที่อุณหภูมิ  $1173, 1223$  และ  $1273^{\circ}\text{C}$  เป็นเวลา 10 วินาที พบร่วมกับอุณหภูมิ  $1223^{\circ}\text{C}$  จะเกิดการโป่งพอง (blistering) ที่ร้อยต่อของออกไซด์สเกลกับเหล็กได้มากที่สุด และอุณหภูมนี้จะเพิ่มขึ้นเมื่อปริมาณฟอสฟอรัส และแมงกานีสเพิ่มขึ้น ในขณะที่ซิลิคอนจะทำให้อุณหภูมนี้ต่ำลง

โดยใช้เหล็กกล้าคาร์บอนตัวที่มีปริมาณฟอสฟอรัส 0.05 เปอร์เซ็นต์โดยน้ำหนัก (% by weight) ที่อุณหภูมิ  $1173, 1223$  และ  $1273^{\circ}\text{C}$  เป็นเวลา 10 วินาที พบร่วมกับอุณหภูมิ  $1223^{\circ}\text{C}$  จะเกิดการโป่งพอง (blistering) ที่ร้อยต่อของออกไซด์สเกลกับเหล็กได้มากที่สุด และอุณหภูมนี้จะเพิ่มขึ้นเมื่อปริมาณฟอสฟอรัส และแมงกานีสเพิ่มขึ้น ในขณะที่ซิลิคอนจะทำให้อุณหภูมนี้ต่ำลง

Taro KIZU, Yasunobu NAGATAKI และคณะ สรุปว่าการโป่งพองระหว่างรอยต่อออกไซด์สเกลกับเหล็กเกิดจากการเพิ่มขึ้นของแรงที่พยาختแยกชั้นออกไซด์สเกลออกจากเหล็ก อันเป็นผลมาจากการเพิ่มขึ้นของผลึกที่จัดเรียงตัวในรูนาบ {111} และ {110} บนรูนาบ {100} ของวูสไทด์ และการลดลงของแรงติดแน่นระหว่างชั้นออกไซด์สเกลกับเหล็ก อันเป็นผลมาจากการเกิดก๊าซคาร์บอนมอนอกไซด์ หรือการสลายตัวของ  $\text{Fe}_3(\text{PO}_4)_2$

ในปี 2001 R.Y. Chen และ W.D. Yuen<sup>[13]</sup> ทำการศึกษาผลของอุณหภูมim้วนเก็บในช่วง 520-720 °C และปริมาณออกซิเจน ต่อโครงสร้างของออกไซด์สเกลที่เกิดบนเหล็กแผ่นรีดร้อน คาร์บอนต่ำ 0.06% คาร์บอน ที่ตำแหน่งกึ่งกลางความยาวของม้วนเหล็ก (Mid coil) เทียบกับ โครงสร้างออกไซด์สเกลที่ได้จากชิ้นงานภายหลังการม้วนเก็บทันที (Initial oxide scale)

R.Y. Chen และ W.D. Yuen ศึกษาผลของปริมาณออกซิเจน โดยจำลองการเกิดปฏิกิริยาออกซิเดชันที่ตำแหน่งของโดยเย็นตัวในบรรยายศาสตร์ และจำลองการเกิดปฏิกิริยาออกซิเดชันที่ตำแหน่งกึ่งกลางม้วนเหล็ก ภายใต้สภาวะการเย็นตัวในบรรยายศาสตร์ในไตรเจนบริสุทธิ์ (High Pure Nitrogen 99.99%) ชิ้นงานที่เป็น Initial oxide scale ตัดจากตำแหน่ง 3-4 เมตร ถัดจากส่วนปลายของความยาวม้วนเหล็ก (tail end) ทันทีภายหลังการม้วน และทำให้เย็นในบรรยายศาสตร์จนมีอัตราการเย็นตัวมากกว่า 30 °C/min



ภาพที่ 2.9 แผนภาพการเปลี่ยนแปลงของสเกลอันเป็นผลมาจากการม้วนแตกต่างกัน

จากการศึกษาพบว่า โครงสร้างสเกลที่ได้จากชิ้นงานภายหลังการม้วนทันที (ภาพที่ 2.7a) ประกอบด้วยออกไซด์สเกล 3 ชั้น ได้แก่ เอมาไทต์, แมกนีไทต์ และวูสไทด์

R.Y. Chen และ W.D. Yuen สรุปว่า ที่ตำแหน่งขอบความหนาของชั้นอนออกไซด์สเกล เพิ่มขึ้นเมื่ออุณหภูมิการม้วนเก็บเพิ่มขึ้น ที่อุณหภูมim 520°C (ภาพที่2.7b) โครงสร้างประกอบด้วย เสมาไトイต์, แมกนีไทต์ และวูสไトイต์ ในขณะที่ชั้นที่มีอุณหภูมิการม้วนเก็บ 610-720 °C (ภาพที่2.9c), 2.9d) โครงสร้างประกอบด้วย เสมาไトイต์ที่ชั้นนอก และแมกนีไทต์ที่ชั้นใน

ที่ตำแหน่งกึ่งกลางซึ่งปริมาณออกซิเจนต่ำกระบวนการออกซิเดชันเกิดขึ้น โดยการถ่ายตัวของออกไซด์สเกลชนิดที่มีปริมาณออกซิเจนสูง ไปเป็นออกไซด์สเกลชนิดที่ปริมาณออกซิเจนต่ำกว่า ภาพที่2.9c) ที่อุณหภูมิ 570-660 °C ทั้งเอมาไトイต์ และแมกนีไทต์ ถ่ายตัวเป็นวูสไトイต์ และเมื่ออุณหภูมิลดต่ำกว่า 570 °C วูสไトイต์เกิดการเปลี่ยนแปลงเป็น magnetite-iron eutectoid และวูสไトイต์เหลือค้าง

สำหรับกรณีที่อุณหภูมิการม้วนสูงมาก (720 °C) ไม่เพียงเฉพาะเอมาไトイต์ และแมกนีไทต์ เท่านั้นที่ถ่ายตัว วูสไトイต์จะสูญเสียออกซิเจน และเกิดสภาพ iron enrichment ซึ่ง วูสไトイต์สภาพนี้มีความเสถียรสูงจึงคงเหลือเป็นวูสไトイต์เหลือค้าง ภายหลังอุณหภูมิลดต่ำกว่า 570 °C ดังนั้นภาพที่ 2.9d) จึงมีปริมาณวูสไトイต์เหลือค้างมากกว่าภาพที่2.9c)

ในปี 2002 R.Y. Chen และ W.D. Yuen <sup>[14]</sup> ทำการศึกษาผลของเวลา และอุณหภูมิต่ออักษะออกไซด์สเกลในกระบวนการออกซิเดชันภายใต้สภาวะอุณหภูมิกองที่ (Isothermal oxidation 450-900°C) ในสภาพที่อากาศเคลื่อนที่ผ่านชั้นงานตลอดเวลา (flow air) และอากาศนิ่ง (zero flow air; limit oxygen supply) รวมทั้งศึกษานิodic และโครงสร้างของออกไซด์สเกลที่เกิดขึ้นในกระบวนการออกซิเดชันในสภาวะการเย็นตัวต่อเนื่อง (Continuous cooling oxidation ในช่วง อุณหภูมิ 520-720 °C) ใช้ชั้นงานเหล็กแผ่นรีดร้อนการ์บอนตัว (0.055% คาร์บอน, 0.012% ซิลิคอน)

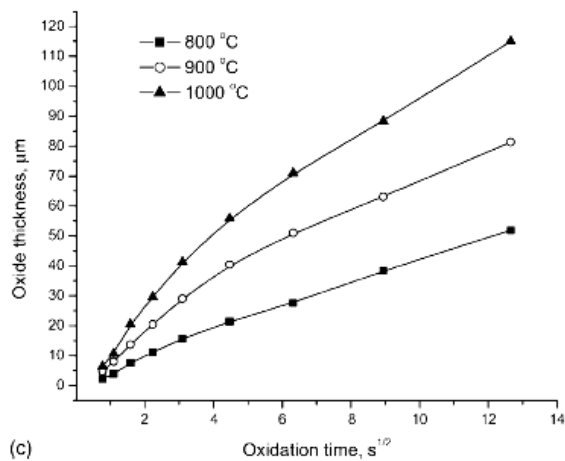
จากการศึกษาพบว่า โครงสร้างที่ได้จากการออกซิเดชันในสภาวะอุณหภูมิกองที่ 880-900 °C เป็นเวลา 12 วินาที และเย็นตัวด้วยอัตรา 15-60 °C/min ในอากาศนิ่งประกอบด้วย เสมาไトイต์, แมกนีไทต์ และวูสไトイต์ เหมือนกับโครงสร้างที่ได้จากการกระบวนการออกซิเดชันของเหล็กบริสุทธิ์ ต่างกันเพียงเล็กน้อยที่สัดส่วนของแมกนีไทต์ต่qwss ไトイต์ที่มีมากกว่าในเหล็กบริสุทธิ์ เมื่อเวลาในการออกซิเดชันในสภาวะอุณหภูมิกองที่ 880-900 °C เพิ่มขึ้นเป็น 200 วินาที พบว่าความสามารถในการเกาะติดของออกไซด์สเกลลดลง และออกไซด์สเกลมีการหลุดออกไปในบางส่วน ทำให้มีโครงสร้างออกไซด์สเกล และความหนาไม่สม่ำเสมอ

สำหรับสภาวะอุณหภูมิกองที่ การออกซิเดชันในอากาศนิ่งทำให้ได้ออกไซด์สเกลที่มีการติดแน่นดี เนื่องจากปริมาณออกซิเจนที่จำกัดทำให้ความเป็นไปได้ที่จะเกิดซ่องว่างในผลึก และก้าช คาร์บอนอนออกไซด์ (CO) น้อยกว่าแบบสภาพที่อากาศเคลื่อนที่ผ่านชั้นงานตลอดเวลา (flow air)

ซึ่งเชื่อว่าเป็นผลจากการแยกตัวของรอยต่อระหว่างออกไซด์สเกลกับเหล็กจากการสะสมของช่องว่างในผลึก

จากการทดลองศึกษาชนิด และโครงสร้างของออกไซด์สเกลที่เกิดขึ้นในกระบวนการออกซิเดชันในสภาวะการเย็นตัวต่อเนื่อง พบว่าชั้นเสมาタイトมีอัตราการโตสูงสุดในช่วงอุณหภูมิ 660-720 °C และน้อยลงในช่วง 610-660 °C และน้อยมากในช่วงอุณหภูมิต่ำกว่า 610 °C แต่ยังไม่มีคำอธิบายปรากฏการณ์นี้

ในปี 2004 Weihua Sun\*, A.K. Tieu และคณะ<sup>[9]</sup> ศึกษาการเกิดออกไซด์สเกลบนเหล็กกล้าคาร์บอนต่ำชนิดแผ่นในกระบวนการรีครีอัน โดยการจำลองสภาวะการรีดในระหว่างกระบวนการรีดคละเอี้ยด (Finishing mill) ด้วยเครื่อง Thermo-mechanical simulator; GLEEBLE-3500 ที่อุณหภูมิคงที่เท่ากับ 800, 900 และ 1000 °C และเวลา 0.6-160 วินาที



ภาพที่ 2.10 ความหนาของออกไซด์สเกลกับเวลาที่สองของเวลา ที่อุณหภูมิ 800, 900 และ 1000 °C

Weihua Sun\*, A.K. Tieu และคณะ ทำการสร้างกราฟความสัมพันธ์ระหว่างความหนาของออกไซด์สเกล กับเวลาของแต่ละอุณหภูมิด้วยลักษณะความสัมพันธ์แบบเส้นตรง, พาราโบลิก และลอการิทึม พบว่าอัตราการเพิ่มขึ้นของความหนาในช่วง 20 วินาทีแรกเป็นไปอย่างรวดเร็ว ในขณะที่อัตราการเพิ่มขึ้นของความหนาภายในช่วง 20 วินาที มีแนวโน้มที่จะเป็นความสัมพันธ์แบบพาราโบลิก<sup>[5]</sup> โดย Weihua Sun\*, A.K. Tieu และคณะ อธิบายว่าในช่วงแรกที่ออกไซด์สเกลขึ้นบางอยู่นั้น การแพร่ของอะตอมเหล็กและออกซิเจนเป็นไปอย่างรวดเร็ว ดังนั้นการเพิ่มขึ้นของความหนาของออกไซด์สเกลจึงเป็นไปอย่างรวดเร็ว หลังจากนั้นเมื่อออกไซด์สเกลมีความหนามากขึ้น ความเพิ่มขึ้นของอะตอมลดลง ทำให้อัตราการถ่ายเทอะตอมเพื่อทำปฏิกิริยาเกิดเป็นออกไซด์สเกลกึ่ดลงด้วย อัตราการเพิ่มความหนาของออกไซด์สเกลจึงเป็นไปตามความสัมพันธ์แบบพาราโบลิก

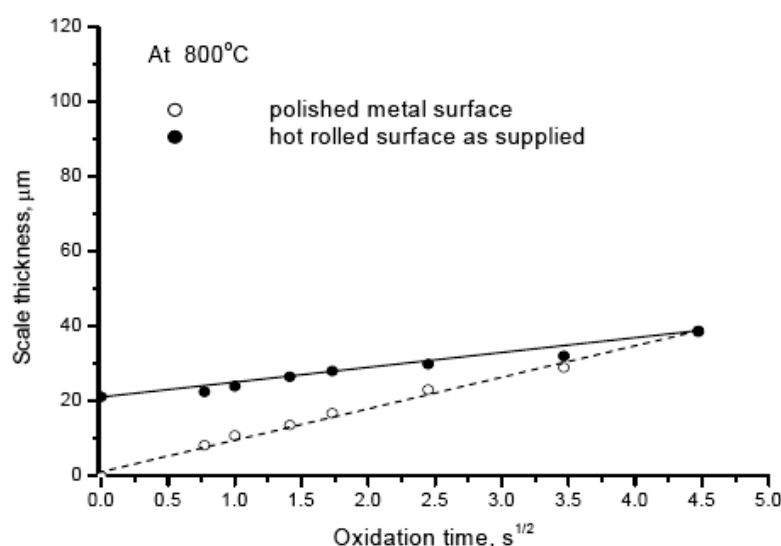
Weihua Sun<sup>[15]</sup> ศึกษาการเกิดออกซิเดชันของเหล็กกล้า低碳 (Mild steel) ที่อุณหภูมิ 800, 900 และ 1000°C เป็นเวลา 0.6-160 วินาที พนวจการเกิดปฏิกิริยาเป็นแบบพาราโบลิก คือในช่วงแรกมีอัตราการเกิดปฏิกิริยาเร็ว และช้าลงในภายหลัง และหาความสัมพันธ์ระหว่างความหนาสเกลกับเวลาและอุณหภูมิได้เท่ากับ

$$\text{ความหนาออกไซด์สเกล (ไมโครเมตร)} = 884.45(\sqrt{t})\exp(-5638.27/T)$$

จากนั้นได้ทำการทดลองศึกษาผลของการออกไซด์สเกลที่เกิดขึ้นก่อนบนผิวชิ้นงาน ต่ออัตราการเกิดปฏิกิริยา โดยใช้ชิ้นงานเหล็กร้อนเป็นตัวแทนผิวที่มีออกไซด์สเกลเกิดขึ้นก่อน และชิ้นงานที่ผ่านการขัดละเอียดเป็นตัวแทนชนิดไม่มีออกไซด์สเกล ทำการทดลองที่อุณหภูมิ 800-1000 °C เป็นเวลา 20 วินาที ผลการทดลองแสดงให้เห็นว่าชิ้นงานที่มีออกไซด์สเกลเกิดขึ้นก่อน แล้วจะมีอัตราการเกิดปฏิกิริยาต่ำกว่าชิ้นงานที่ไม่มีออกไซด์สเกลเกิดขึ้นก่อน (20.95=ความหนาออกไซด์สเกลที่เกิดขึ้นก่อน)

$$\text{ความหนาสเกลเมื่อออกไซด์ (ไมโครเมตร)} = (1.12 \times 10^5(\sqrt{t})\exp(-11102.71/T)) + 20.95$$

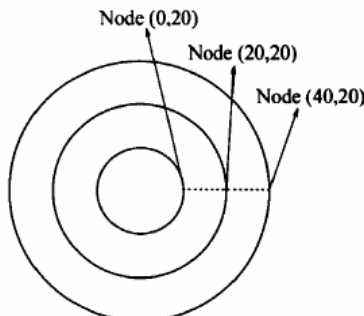
$$\text{ความหนาสเกลไม่มีออกไซด์ (ไมโครเมตร)} = 2948.46(\sqrt{t})\exp(-6290.26/T)$$



ภาพที่ 2.11 ความหนาออกไซด์สเกลกับ rapport ที่สองของเวลา ที่อุณหภูมิ 800 ของชิ้นงานเตรียมผิวค้าย การขัด ละเอียด (จุดโปรด) กับชิ้นงานรีดร้อน (จุดทึบ)

ในปี 2006 Jiefeng Cheng, Zhengdong Liu และคณะ<sup>[15]</sup> ศึกษาผลของการออกหภูมิก่อนการม้วนเก็บ, ขนาดของม้วนเหล็ก, ชนิดของเหล็ก ได้แก่ เหล็กกล้าคาร์บอน 0.09%C และเหล็กกล้าสแตนเลส 15-22wt% Cr, 8-15wt% Ni และวิธีการเย็บตัว ต่อการเปลี่ยนแปลงอุณหภูมิที่ดำเนินต่อๆ กันของม้วนเหล็กขณะเย็บตัวภายหลังการม้วนเก็บ โดยการสร้างแบบจำลองด้วยโปรแกรม Q-CSP รวมทั้งได้ทำการพัฒนาให้แบบจำลองมีประสิทธิภาพมากขึ้นโดยการใช้ค่าสมบัติทางกายภาพ

และความร้อนของเหล็กได้แก่ ความหนาแน่น, ความจุความร้อน และความสามารถในการนำความร้อนของวัสดุ แบบเป็นฟังก์ชันกับอุณหภูมิ



ภาพที่ 2.12 รูปแบบการแบ่งอิลิเมนต์สำหรับแบบจำลองแบบ 2 มิติ ที่ความลึก z

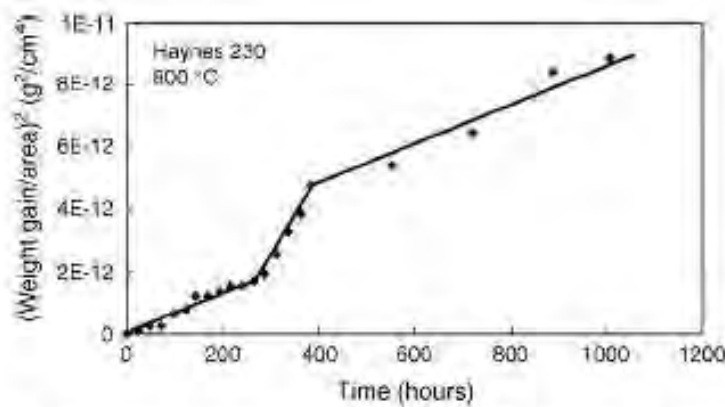
แบบจำลองนี้คิดการถ่ายเทความร้อนใน 2 มิติ ได้แก่ ในทิศศูนย์ของม้วนเหล็ก ( $r$ ) และทิศแนวแกนของม้วนเหล็ก ( $z$ ) โดยสมการที่เกี่ยวข้องได้แก่ สมการการนำความร้อนใน 2 มิติ และสมการการพาความร้อนที่ใช้เป็นเงื่อนไขขอบเขต ดังนี้

$$\rho C_p \frac{\partial T}{\partial t} = k_r \left( \frac{\partial^2 T}{\partial r^2} + \frac{1}{r} \frac{\partial T}{\partial r} \right) + k_z \frac{\partial^2 T}{\partial z^2} \quad \text{และ} \quad -k \frac{\partial T}{\partial y} = h(T - T_\infty) \quad (2.13)$$

ผลการศึกษาของ Jiefeng Cheng, Zhengdong Liu และคณะพบว่า การเย็บตัวของม้วนเหล็กโดยใช้น้ำและอากาศร่วมกันมีประสิทธิภาพมากที่สุด เมื่อเทียบกับการเย็บตัวในอากาศปกติ และการอัดอากาศ (Forced air) และความแตกต่างของอุณหภูมิที่ส่วนหัว (Head) กับส่วนปลาย (Tail) ของม้วนเหล็กก่อนการม้วนเก็บมีผลต่ออัตราการเย็บตัวภายหลังการม้วนเก็บ อีกทั้งขนาดของม้วนเหล็กก็ส่งผลต่ออัตราการเย็บตัวเช่นกัน โดยม้วนเหล็กที่มีขนาดเล็กกว่า (รัศมีน้อยกว่า) มีอัตราการเย็บตัวที่สูงกว่าในทุกตำแหน่ง และเมื่อศึกษาโดยกำหนดให้ปัจจัยอื่นคงที่ พบร่วมกับการเย็บตัวสูงกว่าเหล็กกล้าสเตนเลส [8], [15], [16]

Li Jian <sup>a</sup> และคณะ <sup>[6]</sup> ได้ทำการศึกษาจนผลศาสตร์ของการเกิดออกซิเดชันของโลหะผสม Haynes230 ในบรรดาอากาศที่อุณหภูมิ 650 และ 850 °C โดยใช้การวิเคราะห์เทอร์โมกราฟิเมทริก พบว่าอัตราการเพิ่มขึ้นของนำหนักต่อพื้นที่แบ่งได้เป็น 3 ช่วง โดยที่ในแต่ละช่วงเป็นไปตามความสัมพันธ์ลักษณะพาราโบลิก และมีค่าคงที่ปัญกิริยา และพลังงานกระตุ้นแตกต่างกันในแต่ละช่วง Li Jian <sup>a</sup> และคณะอธิบายว่าค่าคงที่ปัญกิริยา และพลังงานกระตุ้นที่แตกต่างกันนี้เป็นผลมาจากการเกิดชั้นออกไซด์ที่ต่างชนิดกัน กล่าวคือในช่วงแรกการแพร่ของอะตอมของโครเมียมผ่านชั้นโครเมียมออกไซด์ เป็นตัวกำหนดอัตรา แต่ในช่วงหลังอัตราการเกิดปัญกิริยาเร็วขึ้นเนื่องจากอัตราการเกิดปัญกิริยาถูกกำหนดโดยการแพร่ของอะตอมของแมงกานีส ผ่านชั้นโครเมียม

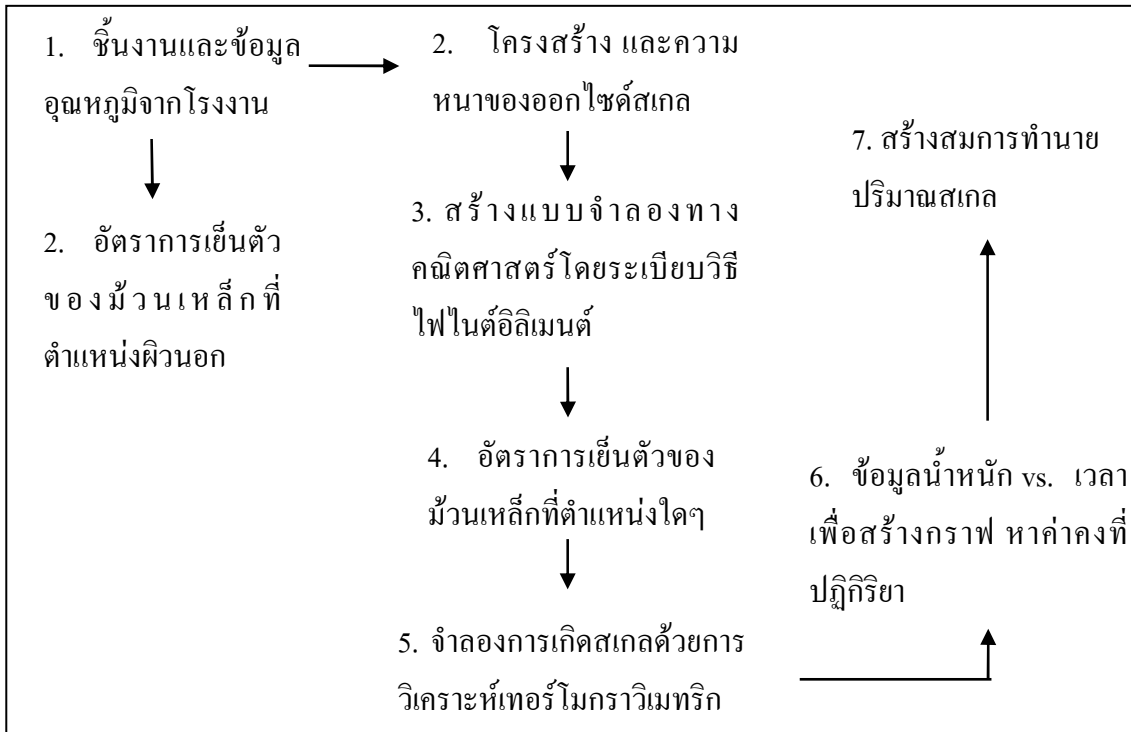
ออกไซด์เพื่อเกิดเป็น  $MnCr_2O_4$  และอัตราการเกิดปฏิกิริยาลดลงอีกครั้งหนึ่งในช่วงสุดท้ายเนื่องจากปริมาณอะตอมของแมงกานีสที่จำกัด ดังนั้นการแพร่ของอะตอมของโครเมียมจึงกลับมาเป็นขั้นกำหนดอัตราอีกครั้งหนึ่ง



ภาพที่ 2.13 นำหนักต่อพื้นที่ เทียบกับเวลาในการเกิดออกซิเดชันของโลหะผสม Haynes230 ที่อุณหภูมิ  $800\text{ }^{\circ}\text{C}$

### บทที่ 3

#### วิธีการศึกษาวิจัย



ภาพที่ 3.1 ขั้นตอนการทำงาน

ภายหลังการศึกษาข้อมูลเบื้องต้นในบทที่ 2 ในบทนี้จะเป็นการศึกษาวิจัยเพื่อศึกษาผลของ (1) อัตราการเย็นตัว (2) อุณหภูมim้วนเก็บ (3) เวลาที่ใช้ในการเกิดออกซิเดชัน และ (4) ตำแหน่งที่แตกต่างกันบนม้วนเหล็ก ต่อปริมาณออกไซด์สเกลที่เกิดบนผิวของเหล็กแผ่นรีดร้อนในกระบวนการออกซิเดชันในบรรยายกาศ จากภาพที่ 3.1 วิธีการศึกษาวิจัยเริ่มจากการเก็บข้อมูลอุณหภูมิระหว่างเย็นตัวภายหลังม้วนเก็บ ของม้วนเหล็กแผ่นรีดร้อนที่มีอุณหภูมim้วนเก็บเท่ากับ  $560^{\circ}\text{C}$  เพื่อใช้เป็นค่าอ้างอิงในการประเมินความถูกต้องของค่าที่คำนวณได้จากแบบจำลองทางคณิตศาสตร์ ซึ่งสร้างขึ้นโดยใช้โปรแกรม Flex PDE เพื่อวิเคราะห์ปัญหาการถ่ายเทความร้อนของม้วนเหล็กด้วยสมการการถ่ายเทความร้อน จากนั้นใช้ค่าที่คำนวณได้จากแบบจำลองทางคณิตศาสตร์เพื่อกำหนดสภาพะในการทดลองจำลองการเกิดออกไซด์สเกลด้วยเทคนิคเทอร์โมกราวิเมทริก ข้อมูลที่ได้จากการทดลองจะถูกนำมาใช้ในการหาค่าคงที่การเกิดปฏิกิริยา และใช้ในการสร้างสมการทำงานปริมาณออกไซด์สเกลต่อไป

### 3.1 เครื่องมือที่ใช้สำหรับการศึกษาวิจัย

#### 3.1.1 โปรแกรม FlexPDE

ด้วยข้อจำกัดในการวัดอุณหภูมิจากม้วนเหล็กที่สามารถวัดได้เฉพาะที่ผิวด้านนอก จึงมีความจำเป็นต้องสร้างแบบจำลองทางคณิตศาสตร์ (Mathematical Model) โดยระบบวิธีไฟฟ้าโนต์อิเล็กเมนต์ เพื่อศึกษาปรากฏการณ์ที่เกิดขึ้นจริงของการเย็บตัวของม้วนเหล็กในช่วงกระบวนการม้วนเก็บ และเย็บตัวในบรรยายกาศเพื่อรับน้ำอุณหภูมิและอัตราการเย็บตัวที่ดำเนินต่อๆ กันในม้วนเหล็ก เครื่องมือที่ใช้ในการสร้างแบบจำลองทางคณิตศาสตร์นี้ ได้แก่ โปรแกรม FlexPDE โปรแกรมดังกล่าวเป็นโปรแกรมที่ใช้ในการวิเคราะห์ปัญหาที่อยู่ในรูปแบบสมการเชิงอนุพันธ์ย่อย (Partial Differential Equation) ด้วยวิธีไฟฟ้าโนต์อิเล็กเมนต์ (Finite Element Method) FlexPDE เป็นโปรแกรมที่เขียนขึ้นโดยภาษา C และได้มีการนำเสนอดังต่อไป 1998 ด้วยการประยุกต์ใช้กับปัญหาที่เกี่ยวกับความร้อน และปัญหาเกี่ยวกับแม่เหล็กไฟฟ้า โปรแกรมดังกล่าวมี 2 เวอร์ชันคือ เวอร์ชัน Professional และเวอร์ชันสำหรับบุคคลทั่วไป ซึ่งมีข้อแตกต่างกันเล็กน้อย กล่าวคือเวอร์ชันสำหรับบุคคลทั่วไป จะมีการจำกัดจำนวนสมการอยู่ที่ 5 สมการ และจำนวนอิเล็กเมนต์สูงสุดอยู่ที่ 1500 อิเล็กเมนต์สำหรับปัญหา 3 มิติ ส่วนเวอร์ชัน Professional ไม่มีข้อจำกัดใดๆ ทั้งสิ้น

โปรแกรมนี้ให้ผู้ใช้เป็นผู้กำหนดสมการที่เกี่ยวข้องกับปัญหาที่ต้องการศึกษา รวมทั้งเงื่อนไขเริ่มต้น เงื่อนไขขอบเขต และป้อนข้อมูลค่าคงที่ต่างๆ เอง โดยหลักการในการแก้ปัญหาเริ่มที่สมการเชิงอนุพันธ์ย่อยที่เกี่ยวข้องกับปัญหาการถ่ายเทความร้อน ได้แก่ สมการการถ่ายเทความร้อน (Fourier's second law) แบบ 3 มิติ และเงื่อนไขขอบเขตซึ่งกำหนดโดยสมการการพากความร้อน (Newton's law of cooling) ตามที่ได้กล่าวไว้แล้วในบทที่ 2 หลังจากที่โปรแกรมได้คำนวณหาผลเฉลยจากการอินทริเกรตแล้ว โปรแกรมสามารถแสดงผลการคำนวณออกมาในรูปแบบกราฟ (Graphics) ได้ ซึ่งจะสะดวกต่อการวิเคราะห์ผลที่เกิดขึ้น

#### 3.1.2 เครื่องวิเคราะห์เทอร์โมกราวิเมทริก

เครื่องวิเคราะห์เทอร์โมกราวิเมทริกเป็นเครื่องมือที่ใช้ในการวิเคราะห์การเกิดปฏิกิริยาที่เกี่ยวข้องกับการเปลี่ยนแปลงน้ำหนัก หรือสารที่ทำปฏิกิริยา โดยวัดการเปลี่ยนแปลงน้ำหนักของวัสดุตัวอย่างเมื่อได้รับความร้อน ภายใต้บรรยายกาศที่สามารถควบคุมได้ ข้อมูลจะแสดงในรูปของกราฟระหว่างน้ำหนักของวัสดุแสดงในแกนตั้ง กับเวลา หรือ อุณหภูมิในแกนนอน เครื่องวิเคราะห์เทอร์โมกราวิเมทริกโดยทั่วไปประกอบด้วยส่วนสำคัญ 4 ส่วน ได้แก่ (1) ส่วนวัดน้ำหนัก (Balance) (2) เตาเผาให้ความร้อน (Furnace) (3) ส่วนวัดอุณหภูมิ (Thermocouple) และ (4) ส่วนควบคุมบรรยายกาศภายในระบบ (Gas controller)



ภาพที่ 3.2 เครื่องวิเคราะห์เทอร์โมกราฟิเมทริกรุ่น Mettler-Toledo รุ่น TGA SDTA851



ภาพที่ 3.3 (ซ้าย) ถ้วยใส่ชิ้นงานผลิตจากอลูมิเนียมออกไซด์ ความจุ 70 µl ไมโครลิตร และ (ขวา) ถังแก๊สต่อเข้ากับเครื่องวิเคราะห์เทอร์โมกราฟิเมทริก สามารถเลือกใช้บรรยายกาศได้หลายชนิดสำหรับการทดลอง

เนื่องจากปฏิกรรมการเกิดออกไซด์สเกลจะทำให้น้ำหนักของเหล็กเปลี่ยนไป ดังนั้นจึงนำเทคนิคการวิเคราะห์เทอร์โมกราฟิเมทริก (Thermal gravimetric analysis) มาทำการทดลอง จำลองการเกิดออกไซด์สเกล เพื่อศึกษาผลของอุณหภูมิ และอัตราการเย็นตัวต่ออัตราการเกิดปฏิกรรมการเกิดออกไซด์ โดยใช้เครื่องวิเคราะห์เทอร์โมกราฟิเมทริกของบริษัท Mettler-Toledo รุ่น TGA SDTA851 (ภาพที่ 3.2) ซึ่งสามารถจำลองการเกิดออกไซด์สเกลในสภาวะที่กำหนด (สภาวะที่ต้องการศึกษา ซึ่งได้มาจากการคำนวณของแบบจำลองทางคณิตศาสตร์) เช่น อุณหภูมิ, เวลา, อัตราการเย็นตัว, ลักษณะบรรยายกาศ และบันทึกข้อมูลน้ำหนักที่เปลี่ยนไปเป็นพังค์ชั่นของอุณหภูมิ และเวลา

#### รายละเอียดของเครื่อง Mettler Toledo รุ่น TGA SDTA 851

- ความละเอียดการแสดงค่าอุณหภูมิชิ้นงาน 0.1 °C
- ช่วงอุณหภูมิการทำงาน: อุณหภูมิห้อง ถึง 1100 °C ด้วยความแม่นยำ ±0.3 °C
- อัตราการให้ความร้อนและเย็นตัว: 0.1 to 200 °C/นาที
- ขนาดของชิ้นงาน: เส้นผ่านศูนย์กลาง (หรือเส้นทแยงมุม) ≤ 3 มิลลิเมตร และหนา ≤ 4 มิลลิเมตร
- น้ำหนักของชิ้นงาน: 0-500 mg. (มิลลิกรัม) ด้วยความละเอียดในการแสดงผล 0.0001 mg.
- บรรยายกาศ: N<sub>2</sub>, O<sub>2</sub>, Ar, He (HP grade), Air (zero grade; 21% O<sub>2</sub>)

### 3.1.3 กล้องอินฟราเดครุ่น LAND CYCLOPS T135



ภาพที่ 3.4 กล้องอินฟราเดครุ่น LAND Cyclop T135

ใช้ในการเก็บข้อมูลอุณหภูมิระหว่างเย็บตัวภายในหลังการม้วนเก็บของม้วนเหล็ก ใช้ถ่ายภาพวัตถุร้อนและแปลงสัญญาณเป็นค่าอุณหภูมิ

## 3.2 ขั้นตอนการศึกษาวิจัย

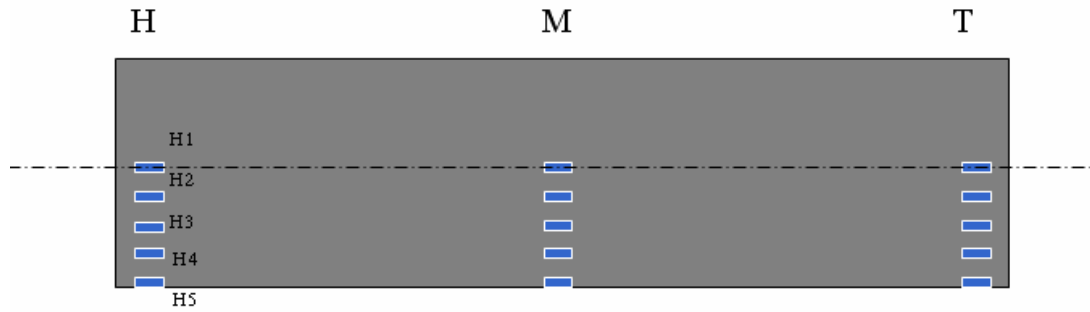
### 3.2.1 ศึกษาผลของตำแหน่งที่แตกต่างกันบนม้วนเหล็กต่อความหนาอกไชด์สเกล

#### 3.2.1.1 การเตรียมชิ้นงานสำหรับการทดลอง

ตารางที่ 3.1 ชาตผสมในเหล็กแผ่นรีดร้อนเกรด HR1 (wt %)

%C	%Si	%S	%P	%Mn	%Ni	%Cr	%Mo
0.06	0.02	0.01	0.01	0.25	0.055	0.008	0.005
%V	%Cu	%Ti	%As	%Sn	%Al	%B	%Nb
0	0.026	0.003	0.000	0.000	0.032	0.0002	0

การวิจัยครั้งนี้ได้รับความอนุเคราะห์ชิ้นงานตัวอย่างจาก บริษัท สหวิริยาสตีล อินดัสตรี จำกัด (มหาชน) ชิ้นงานที่ใช้เป็นชิ้นงานเหล็กแผ่นรีดร้อน ส่วนผสมแสดงในตารางที่ 3.1 ตัดชิ้นงานขนาด 1x2 เซนติเมตร (cm.) จากส่วนต้น (Head) ส่วนกลาง (Middle) และส่วนปลาย (Tail) ของความยาวม้วนเหล็ก บริเวณละ 5 ตำแหน่ง เรียงลำดับจากขอบด้านนอก (edge) ถึงกึ่งกลางของความกว้างแผ่นเหล็ก (center) (ภาพที่ 3.4)



ภาพที่ 3.5 ตำแหน่งของชิ้นงานตัวอย่างบนแผ่นเหล็ก

จากนั้น mount ชิ้นงาน และทำการกำหนดชื่อสำหรับชิ้นงานแต่ละตำแหน่ง ดังนี้ ชิ้นงานส่วนหัวตำแหน่งกึ่งกลางความกว้างใช้ชื่อ H1 และชิ้นงานส่วนหัวตำแหน่งขอบใช้ชื่อ H5 และกำหนดชื่อในลักษณะเดียวกันสำหรับชิ้นงานส่วนกลาง และส่วนปลาย (M1, M2...M5 และ T1, T2...T5)

### 3.2.1.2 การทดลอง และวิเคราะห์ผลการทดลอง

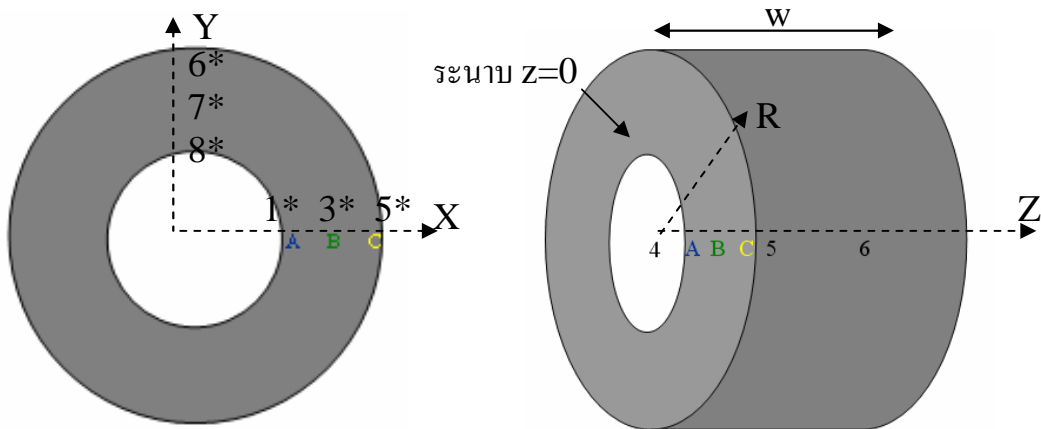
เพื่อศึกษาโครงสร้างจุลภาค และวัดความหนาของชั้นอนออกไซด์สเกลที่เกิดบนผิวของชิ้นงานเหล็กแผ่นรีดร้อน ในหัวข้อนี้ได้กล่าวถึงวิธีการเตรียมผิวชิ้นงานเพื่อศึกษาเรื่องคังกล่าวโดยเริ่มจากการขัดชิ้นงานด้วยกระดาษทรายเบอร์ 220, 320, 600, 800, 1000 และ 1200 ตามลำดับ โดยหมุนชิ้นงานเป็นมุม  $45^\circ$  กับแนวเดิมทุกครั้งก่อนเปลี่ยนเบอร์กระดาษทราย<sup>[15]</sup> จากนั้นตรวจสอบโครงสร้างจุลภาคด้วยกล้องจุลทรรศน์แสงที่ต่อกับกล้องดิจิตอล และทำการถ่ายภาพโครงสร้างจุลภาคชิ้นงานละ 5 ภาพ เพื่อใช้ในการวัดความหนาออกไซด์สเกลบนชิ้นงาน

เพื่อให้ความหนาที่วัดได้สามารถใช้เป็นตัวแทนความหนาสำหรับตำแหน่งนั้นๆ ได้อย่างเหมาะสม จึงวัดความหนาของออกไซด์สเกลภาพละ 5 จุด แล้วทำการหาค่าเฉลี่ยของความหนาชั้นอนออกไซด์สเกล และสร้างกราฟความสัมพันธ์ระหว่างความหนาชั้นสเกลกับตำแหน่งชิ้นงาน เพื่อวิเคราะห์ผลต่อไป

### 3.2.2 เก็บข้อมูลอุณหภูมิระหว่างเย็บตัวของม้วนเหล็กจากโรงงาน

#### 3.2.2.1 แหล่งข้อมูล

การวิจัยครั้งนี้ได้รับความอนุเคราะห์ทางด้านข้อมูลจาก บริษัท สาหร่ายสตีล อินดัสตรี จำกัด (มหาชน) การเก็บข้อมูลเริ่มจากเลือกม้วนเหล็กจากสายการผลิตที่มีลักษณะตามที่ต้องการได้แก่ อุณหภูมิม้วนเก็บ  $560^\circ\text{C}$  จำนวน 2 ม้วน จากนั้นกำหนดตำแหน่งที่จะทำการวัดอุณหภูมิบนม้วนเหล็ก (ภาพที่ 3.5) และเตรียมเครื่องมือสำหรับการวัดอุณหภูมิ



ภาพที่ 3.6 ตำแหน่งสำหรับการวัดอุณหภูมิด้วย infrared gun (A, B, C, 4, 5, 6) และกล้องอินฟารेड ทำการเก็บภาพภาคตัดขวางในระนาบ A, B, C

เมื่อม้วนเหล็กที่ต้องการออกจาก down coiler จึงใช้กล้องอินฟารेड และ infrared gun สำหรับการวัดอุณหภูมิแต่ละม้วนเหล็ก โดยทำการวัดตั้งแต่ม้วนเหล็กออกจาก down coiler ทันที และวัดทุกๆ ทุก 2 นาทีในครึ่งชั่วโมงแรกแล้ววัดทุก 5 นาทีต่อไปอีก 2 ชั่วโมงครึ่ง สำหรับกล้องอินฟารेड และวัดทุกๆ 5 นาทีระหว่างการเย็บตัวในบรรยายกาศจนครบเวลา 3 ชั่วโมง สำหรับ infrared gun

### 3.2.2.2 การวิเคราะห์และจัดการข้อมูล

ภายหลังการเก็บข้อมูลอุณหภูมิระหว่างการเย็บตัวของม้วนเหล็กแล้ว จึงนำค่าอุณหภูมิที่ตำแหน่งต่างๆ มาสร้างกราฟระหว่างอุณหภูมิกับเวลาที่การเกิดออกซิเดชัน โดยกำหนดให้เวลาเริ่มต้น ( $t = 0$ ) อุณหภูมิมีค่าเท่ากับ  $560^{\circ}\text{C}$  และเย็บลงเรื่อยๆ จนครบ 3 ชั่วโมง ทำในลักษณะเดียวกันจนครบทุกตำแหน่ง จากนั้นเปรียบเทียบกราฟที่ได้จากเครื่องมือทั้งสองชนิด และเปรียบเทียบอุณหภูมิของตำแหน่งในระยะรัศมีเดียวกัน ได้แก่ เปรียบเทียบตำแหน่ง 1\* กับ 8\*, 3\* กับ 7\* และ 5\* กับ 6\* โดยการหาค่าสัมประสิทธิ์การตัดสินใจ (Coefficient of determination,  $R^2$ ) ของข้อมูลคู่หนึ่งๆ ถ้า  $R^2$  มีค่าใกล้ 1 แปลว่าอุณหภูมิมีค่าใกล้เคียงกัน เพื่อยืนยันสมมติฐานว่ามีสมมาตรของอุณหภูมิในแนวรัศมี

### 3.2.3 สร้างแบบจำลองทางคณิตศาสตร์

#### 3.2.3.1 ขอบเขตของการศึกษา

ในการสร้างแบบจำลองทางคณิตศาสตร์ (Mathematical Model) โดยระบบวิธีไฟนิต เอลิเมนต์ ได้เลือกใช้โปรแกรม Flex PDE เพื่อจำลองการเย็บตัวของม้วนเหล็กในช่วงกระบวนการม้วนเก็บ และเย็บตัวในบรรยายกาศเพื่อรับค่าอุณหภูมิ และอัตราการเย็บตัวที่ตำแหน่งต่างๆ ภายในม้วนเหล็ก โดยมีสมมติฐานของการศึกษา ได้แก่

- A. ม้วนเหล็กที่พิจารณาไม่ลักษณะเป็นเนื้อตัน สมมัติตามเกณฑ์ Z (ภาพที่ 3.5)
- B. ม้วนเหล็กมีการถ่ายเทความร้อนซึ่งอธิบายด้วยสมการการถ่ายเทความร้อนแบบ 3 มิติ
- C. ค่าสัมประสิทธิ์การถ่ายเทความร้อน ( $h$ ) ที่ใช้ในเงื่อนไขข้อมูลแบบ Heat flux เป็นค่าสัมประสิทธิ์การถ่ายเทความร้อนที่รวมผลของการพากความร้อน และการแผ่รังสีความร้อน

### 3.2.3.2 สมการที่เกี่ยวข้อง เงื่อนไขเริ่มต้น และเงื่อนไขข้อมูลเขต

สำหรับการนำสมการการถ่ายเทความร้อนมาประยุกต์ใช้กับการคำนวณการเย็นตัวของม้วนเหล็ก การเขียนสมการในรูปพิกัดคาร์ทีเซียนมีความสะดวกต่อการเขียนคำสั่งเพื่อแสดงผลมากกว่าการใช้ระบบพิกัดทรงกระบอก สมการการถ่ายเทความร้อนที่ใช้สำหรับการคำนวณโดยโปรแกรม Flex PDE อยู่ในรูปทั่วไป ดังนี้

$$\rho C_p \frac{dT}{dt} = k \left( \frac{\partial^2 T}{\partial x^2} + \frac{\partial^2 T}{\partial y^2} + \frac{\partial^2 T}{\partial z^2} \right) \quad (3.1)$$

เมื่อ  $\rho$  คือ ความหนาแน่นของโลหะ  
 $C_p$  คือ ความจุความร้อน  
 $k$  คือ ค่าการนำความร้อน, [W/m °C]

ในการแก้สมการที่ 3.1 ซึ่งอยู่ในรูปของการกระจายตัวของอุณหภูมิที่เปลี่ยนแปลงไปตามเวลา จะต้องมีการกำหนดเงื่อนไขเริ่มต้น และเงื่อนไขข้อมูลเขต สำหรับเงื่อนไขเริ่มต้นที่เวลา  $t=0$  กำหนดให้อุณหภูมิของม้วนเหล็กมีค่าเท่ากับอุณหภูมim ม้วนเก็บ ( $560$  °C)

$$t = 0, R_n < x < R, T(x) = T_c \quad (3.2)$$

เมื่อ  $R_n$  คือ รัศมีของแผ่นเหล็กชั้นในสุด  
 $R$  คือ รัศมีของแผ่นเหล็กชั้นนอกสุด ซึ่งมีค่าเท่ากับ  $R_n +$  จำนวนชั้นแผ่นเหล็ก\*ความหนาของแผ่นเหล็ก  
 $T_c$  คือ อุณหภูมim ม้วนเก็บ

สำหรับการกำหนดเงื่อนไขข้อมูลที่บีบiron สมมัติ Z (ระยะแปร่ครึ่งหน้ากว้างของม้วนเหล็ก) ถือว่าไม่มีการถ่ายเทความร้อน

$$z = w/2, \frac{\partial T}{\partial z} = 0 \quad (3.3)$$

เมื่อ  $w$  คือ ความกว้างของแผ่นเหล็ก

สำหรับการกำหนดเงื่อนไขของเขตของผิวค้างนอก ด้านใน และด้านข้าง (สัมผัสอากาศ) กำหนดโดยสมการของนิวตัน (Newton's law of cooling/ heating) ดังนี้

$$x = R_n, -k \frac{\partial T}{\partial x} = h(T - T_{in}) \quad (3.4)$$

$$x = R, -k \frac{\partial T}{\partial x} = h(T - T_{out}) \quad (3.5)$$

$$z = 0, -k \frac{\partial T}{\partial z} = h(T - T_{out}) \quad (3.6)$$

ภายหลังจากการกำหนดข้อมูลเบื้องต้นที่จำเป็นต่อการคำนวณการเปลี่ยนแปลงอุณหภูมิที่ตำแหน่ง และเวลาต่างๆ อันได้แก่ สมบัติทางกายภาพและทางความร้อนของวัสดุที่เกี่ยวข้อง (แสดงในตารางที่ 3.2) เงื่อนไขเริ่มต้น และเงื่อนไขของเขตดังที่กล่าวมาแล้ว โปรแกรมจะทำการคำนวณค่าการเปลี่ยนแปลงอุณหภูมิต่อไป

ตารางที่ 3.2 สมบัติทางกายภาพและความร้อนของเหล็ก และค่าคงที่ของม้วนเหล็กที่ศึกษา

Thermal conductivity <sup>[17]</sup>	$-2.4176(\text{Temp}) + 4153.5$ [W/m °C]
Density	7880 [kg/m <sup>3</sup> ]
Specific heat	452 [J/kg °C]
coil width	1.2 [m.]
steel thickness	3.2 [mm.]
inner diameter of coil	0.74 [m.]

วิธีการคำนวณค่า Thermal conductivity แสดงในภาคผนวก ค

### 3.2.3.3 การประเมินความถูกต้องของแบบจำลอง

เนื่องจากค่าความจุความร้อน ( $C_p$ ) ความหนาแน่นของเหล็กกล้า ( $\rho$ ) และค่าการนำความร้อน ( $k$ ) ที่ใช้ในสมการการถ่ายเทความร้อน (สมการที่ 3.1) สามารถหาได้จากหนังสืออ้างอิง <sup>[17]</sup> แต่สัมประสิทธิ์การถ่ายเทความร้อน ( $h$ , heat transfer coefficient) ที่ใช้ในเงื่อนไขของเขตแบบ Heat flux ในแบบจำลองทางคณิตศาสตร์นี้เป็นฟังก์ชันของ รูปร่าง และขนาดของวัตถุ ที่มีการถ่ายเทความร้อน, ตัวกลางในการพารามิเตอร์นี้เป็นค่า  $h$  ที่เหมาะสมกับลักษณะการถ่ายเทความร้อนของม้วนเหล็กในงานวิจัยนี้ด้วย

วิธีการหาค่า  $h$  ที่เหมาะสมทำโดยอาศัยหลักการ trial and error โดยสร้างฟังก์ชันค่า  $h$  ที่มีความสัมพันธ์กับอุณหภูมิในแบบจำลองทางคณิตศาสตร์ เพื่อใช้กับแบบจำลองทางคณิตศาสตร์

และสั่งให้แบบจำลองคำนวณอุณหภูมิ ณ ตำแหน่ง A, B และ C เพื่อนำมาเปรียบเทียบกับ อุณหภูมิในตำแหน่งเดียวกันที่วัดได้จริงจากหัวข้อ 3.2.2.2 โดยใช้ค่า  $R^2$  ใน การพิจารณา ถ้าค่า  $R^2$  ในทุกตำแหน่งมีค่ามากกว่า 0.85 ให้ถือว่าฟังก์ชันค่า  $h$  นั้นมีความเหมาะสมสำหรับรูปแบบ การถ่ายเทความร้อนของม้วนเหล็กในงานวิจัยนี้ และจะใช้ฟังก์ชันค่า  $h$  นั้นสำหรับแบบจำลอง ทางคณิตศาสตร์ตลอดการวิจัย แต่ถ้าค่า  $R^2$  ในตำแหน่งใดตำแหน่งหนึ่งมีค่าน้อยกว่า 0.85 ให้ ปรับตัวคุณในฟังก์ชันค่า  $h$  แล้วทำซ้ำจนกว่าจะได้ค่า  $h$  ในทุกตำแหน่งมากกว่า 0.85

### 3.2.3.4 การใช้แบบจำลองเพื่อกำหนดสภาวะการทดลอง

เมื่อได้ค่า  $h$  ที่เหมาะสมสำหรับลักษณะการถ่ายเทความร้อนของม้วนเหล็กในงานวิจัยนี้ แล้ว แบบจำลองทางคณิตศาสตร์ที่สร้างขึ้นจะถือว่ามีความน่าเชื่อถือ และสามารถใช้ในการ คำนวณอุณหภูมิ และอัตราการเย็นตัวที่ตำแหน่งต่างๆของม้วนเหล็ก เพื่อใช้ในการกำหนด สภาวะการทดลองจำลองการเกิดออกไซด์สเกลด้วยการวิเคราะห์เทอร์โมกราวิเมทริก โดยจะ ใช้การเขียนคำสั่งด้วยภาษา C ให้โปรแกรมทำการคำนวณอัตราการเย็นตัวที่  $R_n < x < R$  บน ระนาบ  $z = 0$  และ  $z = w/2$  เทียบกับเวลา

เนื่องจากรูปแบบการเย็นตัวของม้วนเหล็กในความเป็นจริงเป็นการเย็นตัวแบบต่อเนื่อง (อัตราการเย็นตัวลดลงอย่างต่อเนื่องเมื่อเวลาผ่านไป, Continuous cooling) แต่การวิเคราะห์ เทอร์โมกราวิเมทริกมีข้อจำกัด คือ ไม่สามารถจำลองรูปแบบการเย็นตัวแบบต่อเนื่องได้ ดังนั้น จึงต้องใช้รูปแบบการเย็นตัวที่เกิดจากการเคลื่อนย้ายอัตราการเย็นตัวในช่วงเวลาหนึ่งๆ ซึ่งอัตราการ เย็นตัวเคลื่อนย้ายนี้จะใช้เป็นตัวแทนอัตราการเย็นตัวของทั้งช่วงเวลาที่คิดนั้น โดยประเมินความ ถูกต้องของอัตราการเย็นตัวเคลื่อนย้ายโดยหาค่า  $R^2$  ของอัตราการเย็นตัวแบบต่อเนื่องที่คำนวณ โดยแบบจำลองทางคณิตศาสตร์ กับอัตราการเย็นตัวเคลื่อนย้าย ณ ช่วงเวลาเดียวกัน และใช้ชุดของ อัตราการเย็นตัวเคลื่อนย้ายเหล่านี้เป็นสภาวะสำหรับการจำลองการเกิดออกไซเดชันภายในตัว ด้วยอัตราการเย็นตัวคงที่สำหรับการทดลองในขั้นต่อไป

## 3.2.4 การทดลองจำลองการเกิดออกไซด์สเกลด้วยการวิเคราะห์เทอร์โมกราวิเมทริก

### 3.2.4.1 การเตรียมชิ้นงานสำหรับการวิเคราะห์เทอร์โมกราวิเมทริก

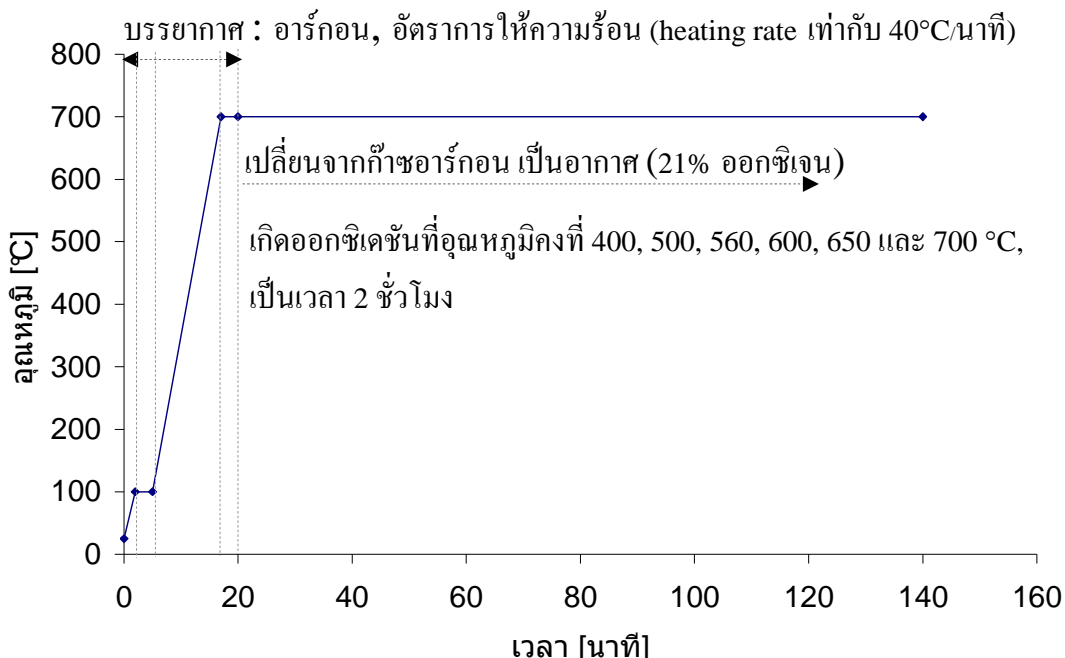


ภาพที่ 3.7 (ซ้าย) ชิ้นงานก่อนขัดดูดขนาด และกำจัดออกไซด์สเกล (ขวา) ชิ้นงานที่เตรียมเสร็จแล้ว

ชิ้นงานที่ใช้ในการทดลองจำลองการเกิดออกไซด์สเกล ด้วยการวิเคราะห์เทอร์โมกราฟิเมทริก เป็นชิ้นงานเหล็กแผ่นรีดร้อนซึ่งมีออกไซด์สเกลที่เกิดขึ้นระหว่างกระบวนการรีดร้อนปักกลุ่มผิวอยู่ ประกอบกับข้อจำกัดของการวิเคราะห์ด้วยเครื่องวิเคราะห์เทอร์โมกราฟิเมทริกรุ่น Mettler-Toledo รุ่น TGA SDTA851 ที่สามารถใช้ชิ้นงานที่มีน้ำหนักมากที่สุดไม่เกิน 500 mg. จึงทำให้ต้องเตรียมชิ้นงานที่มีขนาดและน้ำหนักที่เหมาะสม รวมทั้งกำจัดออกไซด์สเกลที่ปักกลุ่มผิวอยู่ด้วย โดยขั้นตอนการเตรียมชิ้นงานเริ่มด้วยการตัดชิ้นงานเหล็กแผ่นรีดร้อนขนาด  $5 \times 5 \times 3.2 \text{ mm}^3$  จำนวนมาก จากนั้นบดด้วยกระดาษทรายเบอร์ 600 เพื่อกำจัดออกไซด์สเกลที่มีอยู่ก่อนหน้าออกໄไป และเพื่อลดขนาดให้ได้ชิ้นงานสุดท้ายที่มีขนาดประมาณ  $2 \times 2 \times 3 \text{ mm}^3$  (กว้างที่ 3.7 กลุ่มขวา) และมีน้ำหนักไม่เกิน 500 mg. เก็บชิ้นงานที่เตรียมแล้วในวดฝาปิดที่บรรจุอุทิลแอลกอฮอล์ 99.5% หรือห่อชิ้นงานด้วยสำลี และเก็บในถุงพลาสติกที่บรรจุสารดูดความชื้น และดูดอากาศออกจนหมด

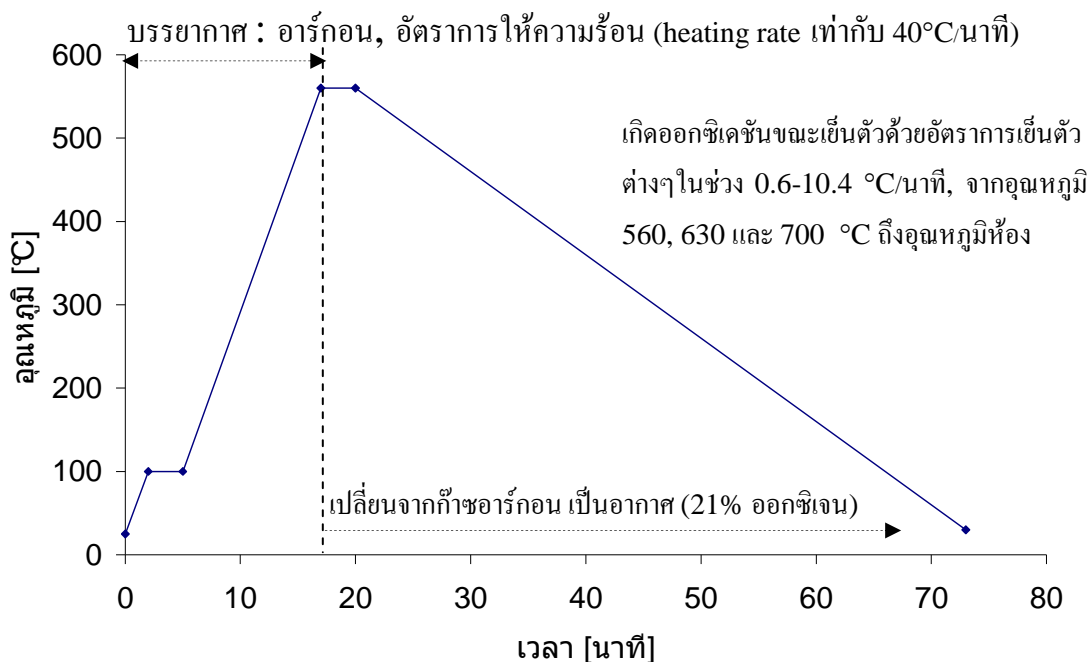
#### 3.2.4.2 สภาพแวดล้อมในการทดลอง : ศึกษาผลของอัตราการเย็นตัว, อุณหภูมิม้วนเก็บเวลา ต่อการเกิดออกซิเดชัน

ทำการศึกษาโดยแบ่งเป็นสภาพการการเกิดออกซิเดชันที่อุณหภูมิคงที่ (Isothermal oxidation) และการเกิดออกซิเดชันขณะเย็นตัวด้วยอัตราการเย็นตัวคงที่ (Non-isothermal oxidation) ดังนี้



ภาพที่ 3.8 แผนภาพแสดงอุณหภูมิและบรรยากาศความคุมภายในเตาระหว่างการทดลองด้วยสภาพออกซิเดชันที่อุณหภูมิคงที่

ภาพที่ 3.8 แสดงอุณหภูมิและบรรยายกาศความคุณภาพในเตาระหว่างการทดลองสภาวะการเกิดออกซิเดชันที่อุณหภูมิกึ่งที่ ในช่วงที่ 1 เป็นช่วงที่ให้ความร้อนด้วยอัตราการให้ความร้อน  $40\text{ }^{\circ}\text{C}/\text{min}$  จาก  $25\text{ }^{\circ}\text{C}$  ถึง  $100\text{ }^{\circ}\text{C}$  จากนั้นช่วงที่ 2 คงอุณหภูมิ  $100\text{ }^{\circ}\text{C}$  เป็นเวลา 3 นาที จากนั้นให้ความร้อนด้วยอัตราการให้ความร้อน  $40\text{ }^{\circ}\text{C}/\text{min}$  จาก  $100\text{ }^{\circ}\text{C}$  ถึง อุณหภูมิที่ต้องการศึกษา ได้แก่  $700, 650, 600, 560, 500$  และ  $400\text{ }^{\circ}\text{C}$  และคงอุณหภูมนี้ไว้เป็นเวลา 3 นาที เพื่อให้ชิ้นงานมีอุณหภูมิสม่ำเสมอทั่วทั้งชิ้น ก่อนที่จะสลับจากก๊าซอาร์กอนเป็นอากาศ (Air 21% ออกซิเจน, High pure grade) และคงอุณหภูมนี้ไว้เป็นเวลา 2 ชั่วโมง



ภาพที่ 3.9 แผนภาพแสดงอุณหภูมิและบรรยายกาศความคุณภาพในเตาระหว่างการทดลองด้วยสภาวะอัตราการเริ่มตัวคงที่

ภาพที่ 3.9 แสดงอุณหภูมิและบรรยายกาศความคุณภาพในเตาระหว่างการทดลองด้วยสภาวะอัตราการเริ่มตัวคงที่ โดยมีรูปแบบการให้ความร้อนและคงอุณหภูมิเหมือนกับการทดลองแบบ Isothermal oxidation แต่ศึกษาอุณหภูมิม้วนเก็บต่างๆ กัน 3 อุณหภูมิ ได้แก่  $560, 630$  และ  $700\text{ }^{\circ}\text{C}$  และภายในหลังจากการคงอุณหภูมิที่อุณหภูมิศึกษานาน 3 นาที แล้วจะทำการสลับก๊าซอาร์กอนเป็นอากาศ (Air 21% ออกซิเจน, High pure grade) พร้อมกับการเริ่มตัวจากอุณหภูมิศึกษาด้วยอัตราการเริ่มตัว  $0.6, 1.8, 5.4, 6.0, 7.2, 9.0$  และ  $10.4\text{ }^{\circ}\text{C}/\text{นาที}$  ซึ่งอัตราการเริ่มตัวเหล่านี้ได้จากการคำนวณในหัวข้อ 3.2.3.4

### 3.2.4.3 การวิเคราะห์และจัดการข้อมูล

ภายหลังการทดลองในหัวข้อ 3.2.4.2 เครื่องวิเคราะห์เทอร์โมกราฟิเมทริกจะเก็บผลการทดลองในรูปของเปอร์เซ็นต์โดยน้ำหนักต่อเวลา ดังนั้นเพื่อการศึกษาจนผลศาสตร์ของการเกิดออกไซซ์สเกล และหาค่าคงที่การเกิดปฏิกิริยา จึงต้องแปลงข้อมูลดังกล่าวให้เป็นน้ำหนักที่เปลี่ยนไปจากการเกิดออกซิเดชันต่อพื้นที่ที่เกิดออกซิเดชัน ( $W$ , weight change per area) กับ rak ที่สองของเวลาที่ใช้ในการเกิดออกซิเดชัน (นับเวลา  $t=0$  ทันทีภายหลังการสลับ瓦ล์ว้าจากอาร์กอนเป็นอากาศ) และสร้างกราฟระหว่าง  $W$  กับ  $t^{1/2}$  สำหรับการทดลองแบบ Isothermal oxidation

ในส่วนของสภาวะ Non-isothermal oxidation ให้ทำการสร้างกราฟระหว่าง  $(n-1) \ln W + \ln [dW/dT]$  กับ  $1/T$  (สมการที่ 2.7) โดยที่ใช้  $n=2$  ทำในลักษณะเดียวกันนี้จนครบถ้วน สภาวะที่ทำการทดลอง บันทึกผลเพื่อวิเคราะห์ต่อไป

### 3.2.4.4 ตรวจสอบโครงสร้างจุลภาค

เมื่อการทดลองเสร็จสิ้นในแต่ละสภาวะ ต้องทำการเก็บชิ้นงานโดยกำหนดด้านอ้างอิงบนชิ้นงานแล้วเขียนรายละเอียดของสภาวะนั้นกำกับไว้ จากนั้นนำไป mount โดยให้ด้านอ้างอิงอยู่ตำแหน่งเดียวกันทุกครั้ง ขั้นชิ้นงานที่ mount แล้วด้วยกระดาษทรายเบอร์ 400, 600, 800, 1000 และ 1200 ตามลำดับ โดยหมุนชิ้นงาน 45 องศา ทุกครั้งก่อนเปลี่ยนเบอร์กระดาษทราย จากนั้นตรวจสอบโครงสร้างจุลภาค วัดความหนาของออกไซซ์สเกล และทำการหาค่าเฉลี่ยของความหนาสำหรับแต่ละสภาวะ บันทึกผล และสร้างเป็นกราฟระหว่างความหนา กับอัตราการเย็นตัว หรือ ความหนากับอุณหภูมิในการทดลอง Isothermal oxidation

## 3.2.5 สร้างสมการทำนายปริมาณออกไซซ์สเกล

ภายหลังการวิเคราะห์และจัดการข้อมูลในหัวข้อ 3.2.4.3 และได้ความสัมพันธ์ระหว่างน้ำหนักที่เพิ่มขึ้นต่อหน่วยพื้นที่ กับเวลาในการเกิดออกซิเดชัน ของทั้งแบบ Isothermal oxidation และ Non-isothermal oxidation ดังมีรูปที่ 3.8 และ 3.9 ตามลำดับ จากนั้นสร้างสมการเพื่อทำนายปริมาณออกไซซ์สเกลที่เกิดขึ้น โดยอาศัยความสัมพันธ์ตามสมการที่ 3.8-3.12 ของการทดลองทั้งแบบ Isothermal oxidation และ Non-isothermal oxidation ร่วมกับกราฟอัตราการเย็นตัวแบบขั้นบันได จากข้อ 3.2.3.4 ดังจะกล่าวในผลการทดลองบทที่ 4 หัวข้อ 4.5 สมการทำนายปริมาณออกไซซ์สเกล<sup>[5]</sup>

$$W_{total} = \sum W_n \quad (3.7)$$

$$W = k_n^* t^{1/2} \quad (3.8)$$

$$W^2 = k_n t \quad (3.9)$$

$$k_n = B_n \exp\left(\frac{-Q_n}{RT}\right) \quad (3.10)$$

$$W_{total} = \sum \left[ B_n t^{1/2} \exp\left(\frac{-Q_n}{RT}\right) \right] \quad (3.11)$$

$$W_{total} = \sum \left[ B_n t \exp\left(\frac{-Q_n}{RT}\right) \right]^{1/2} \quad (3.12)$$

เมื่อ  $n$  คือ อัตราการเย็นตัว [ $^{\circ}\text{C}/\text{min}$ ] หรือ แต่ละอุณหภูมิกองที่ สำหรับการสร้างสมการทำงานยปริมาณออกไซด์สเกลแบบ Non-isothermal oxidation และ Isothermal oxidation ตามลำดับ

$B_n$  คือ ค่าคงที่ของแต่ละอัตราการเย็นตัว หรือ แต่ละอุณหภูมิกองที่ สำหรับการสร้างสมการทำงานยปริมาณออกไซด์สเกลแบบ Non-isothermal oxidation และ Isothermal oxidation ตามลำดับ

$Q_n$  คือ พลังงานกระตุ้น (activation energy) ของแต่ละอัตราการเย็นตัว หรือ แต่ละอุณหภูมิกองที่ สำหรับการสร้างสมการทำงานยปริมาณออกไซด์สเกลแบบ Non-isothermal oxidation และ Isothermal oxidation ตามลำดับ

$T$  คือ อุณหภูมิเฉลี่ยของแต่ละช่วงที่กำหนดให้มีอัตราการเย็นตัวคงที่ หรือ กำหนดให้อุณหภูมิกองที่ สำหรับการสร้างสมการทำงานยปริมาณออกไซด์สเกลแบบ Non-isothermal oxidation และ Isothermal oxidation ตามลำดับ

$t$  คือ ช่วงเวลาที่กำหนดให้มีอัตราการเย็นตัวคงที่ หรือกำหนดให้มี อุณหภูมิกองที่ สำหรับการสร้างสมการทำงานยปริมาณออกไซด์สเกลแบบ Non-isothermal oxidation และ Isothermal oxidation ตามลำดับ

## บทที่ 4

### ผลการวิเคราะห์ข้อมูล

ภายหลังทำการทดลองตามวิธีการศึกษาวิจัยในบทที่ 3 จะได้ผลการทดลองซึ่งสามารถใช้วิเคราะห์ และอธิบายเพื่อให้บรรลุจุดประสงค์ของงานวิจัย อันได้แก่ การอธิบายผลของ (1) อัตราการเย็นตัว (2) อุณหภูมิม้วนเก็บ (3) เวลาที่ใช้ในการเกิดออกซิเดชัน และ (4) ตำแหน่งที่แตกต่างกันบนม้วนเหล็ก ต่อปริมาณออกไซด์สเกลที่เกิดบนผิวของเหล็กแผ่นรีดร้อนในกระบวนการออกซิเดชันในบรรยายกาศ รวมถึงได้แบบจำลองทางคณิตศาสตร์ที่สามารถคำนวณอุณหภูมิ และอัตราการเย็นตัวที่ตำแหน่งต่างๆบนม้วนเหล็กระหว่างการเย็นตัว และได้สมการทำนายปริมาณออกไซด์สเกล ซึ่งในบทนี้จะแสดงผลการทดลองในรูปของตาราง รูปแสดงโครงสร้างจุลภาค และกราฟความสัมพันธ์เพื่อความสะดวกในการอ่านข้อมูล

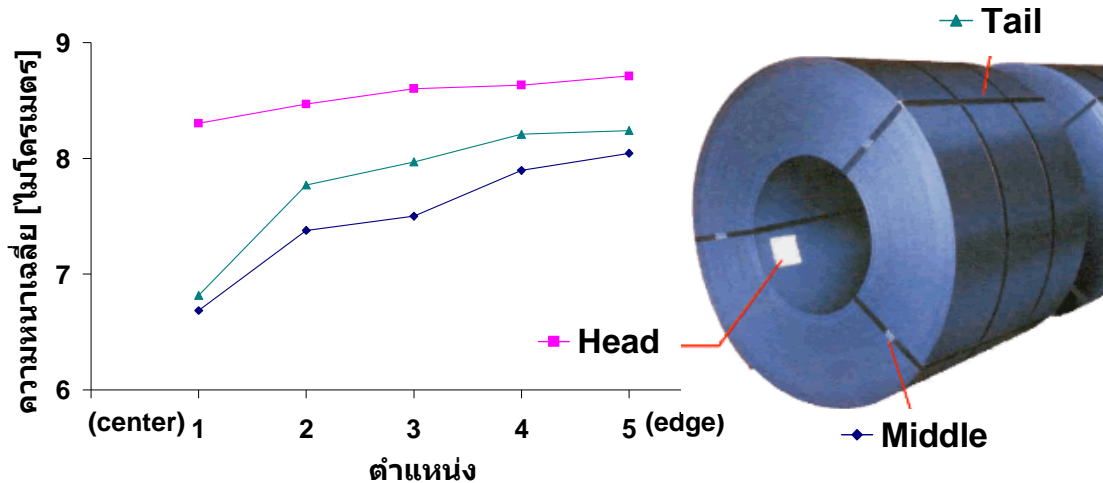
#### 4.1 ผลการศึกษาตำแหน่งที่แตกต่างกันบนม้วนเหล็กต่อความหนาของออกไซด์สเกล

ภายหลังการกำหนดตำแหน่งต่างๆบนม้วนเหล็กแผ่นที่ต้องการศึกษาความหนาของออกไซด์สเกลดังที่ได้กล่าวไว้ในหัวข้อที่ 3.2.1.1 แล้ว จึงทำการตัดชิ้นงานจากตำแหน่งเหล่านี้ทั้งหมด 15 ชิ้น ผลการตรวจวัดความหนาของออกไซด์สเกลของชิ้นงานก่อนและหลังในภาคผนวก ข และตารางที่ 4.1 แสดงค่าเฉลี่ยของความหนาของออกไซด์สเกลในแต่ละตำแหน่ง ดังนี้

ตารางที่ 4.1 ความหนาเฉลี่ยของออกไซด์สเกลที่ตำแหน่ง H1-5, M1-5 และ T1-5 (ไมโครอน)

	ส่วนต้น (Head, H)	ส่วนกลาง (Middle, M)	ส่วนปลาย (Tail, T)
1 (กึ่งกลางแผ่น, center)	8.31	6.69	6.82
2	8.47	7.38	7.77
3	8.60	7.50	7.97
4	8.63	7.90	8.21
5 (ขอบแผ่น, edge)	8.71	8.04	8.24

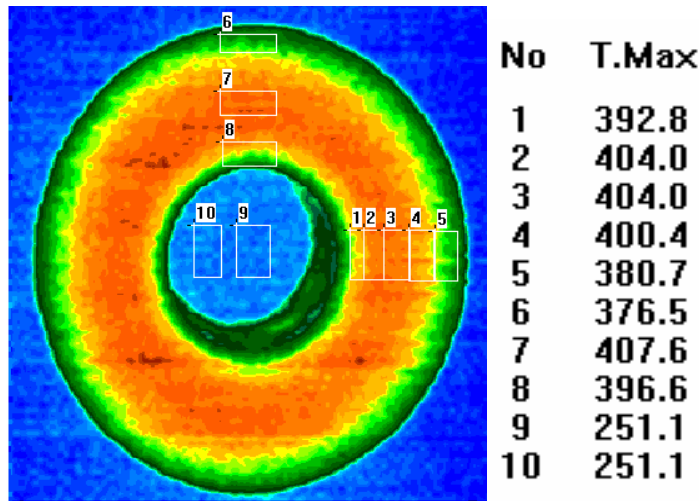
จากผลการทดลองพบว่าที่ตำแหน่งต่างกันบนม้วนเหล็ก จะมีความหนาของออกไซด์สเกลที่แตกต่างกัน โดยออกไซด์สเกลของชิ้นงานที่ได้จากส่วนต้น (Head) มีความหนามากกว่าออกไซด์สเกลบนชิ้นงานส่วนปลาย (Tail) และมากกว่าออกไซด์สเกลบนชิ้นงานส่วนกลาง (Middle) ตามลำดับ ในทุกๆตำแหน่ง และความหนาของออกไซด์สเกลมีแนวโน้มที่จะเพิ่มขึ้นเมื่อชิ้นงานอยู่ใกล้ขอบ (edge) หากขึ้น หรืออยู่กันทั้งส่วนต้น ส่วนกลาง และส่วนปลาย ดังแสดงในภาพที่ 4.1



ภาพที่ 4.1 กราฟความสัมพันธ์ระหว่างความหนาอกไชด์สเกลกับตำแหน่งบนม้วนเหล็ก

จากภาพที่ 4.1 วิเคราะห์ปัจจัยด้านอุณหภูมิขณะเย็นตัวของแต่ละตำแหน่ง จะพบว่า ส่วนกลางเป็นส่วนที่มีอุณหภูมิสูงที่สุด รองลงมาได้แก่ส่วนต้น และส่วนปลายมีอุณหภูมิต่ำที่สุด เนื่องจากปฏิกิริยาออกซิเดชันเป็นปฏิกิริยาซึ่งมีการแพร่ของอะตอมเหล็ก และออกซิเจนเป็นขั้น ก้าหนดอัตรา และการแพร่ของอะตอมเหล็กและออกซิเจนมีค่าสูงที่อุณหภูมิสูง ดังนั้นตำแหน่งที่มี อุณหภูมิสูงอัตราการเกิดปฏิกิริยาจึงสูงตามไปด้วย อย่างไรก็ตามตำแหน่งที่พิจารณาในนี้มีปริมาณ ออกซิเจนไม่เท่ากัน กล่าวคือปริมาณออกซิเจนในส่วนกลางซึ่งอยู่ภายในม้วนเหล็กที่ม้วนตัวแน่น มี น้อยกว่าในส่วนต้น และส่วนปลายซึ่งสัมผัสกับอากาศมากกว่า ดังนั้นแม้ว่าส่วนกลางจะมีอุณหภูมิ สูงหมายความกับการเกิดออกซิเดชัน แต่ปริมาณอะตอมออกซิเจนไม่เพียงพอต่อการเกิดปฏิกิริยา กับ อะตอมเหล็ก การ โถ หรือ เปลี่ยนแปลงโครงสร้างของออกไชด์สเกลจึงเกิดขึ้นจากการสลายตัวของ ออกไชด์สเกลที่มีสัดส่วนของออกซิเจนต่อเหล็กมากที่สุด เพื่อชดเชยอะตอมของออกซิเจนเพียงอย่าง เดียว ซึ่งเมื่อเทียบกับส่วนต้นซึ่งมีอุณหภูมิต่ำกว่าเล็กน้อยแต่มีปริมาณออกซิเจนเพียงพอตลอดเวลา ทำให้การ โถ ขึ้นของออกไชด์สเกลเป็นไปอย่างต่อเนื่อง ดังนั้นออกไชด์สเกลในส่วนต้นจึงหนากว่า ส่วนกลาง และส่วนปลาย ตามลำดับ และสามารถอธิบายความหนาของออกไชด์สเกลที่ตำแหน่ง 1 (ขอบ) – 5 (กึ่งกลาง) ได้ในลักษณะเดียวกันกล่าวคือ ที่ตำแหน่ง 1 หรือต่อไปจะเรียกว่าตำแหน่ง ขอบ จะมีลักษณะ edge drop ซึ่งทำให้ตำแหน่งขอบบางกว่าตำแหน่งถัดเข้าไปจนถึงกึ่งกลางแผ่น เป็นผลให้ที่ตำแหน่งของขอบสัมผัสกับอากาศ (ออกซิเจน) มากกว่าตำแหน่งอื่น ในขณะที่ตำแหน่ง 5 หรือต่อไปจะเรียกว่าตำแหน่งกึ่งกลาง ซึ่งแม้ว่าจะมีอุณหภูมิที่สูงกว่าตำแหน่งของขอบแต่ปริมาณ ออกซิเจนที่จำกัดเนื่องจากม้วนเหล็กที่ม้วนตัวแน่นจึงทำให้ความหนาของออกไชด์สเกลน้อยกว่าใน ตำแหน่งของนั้นเอง

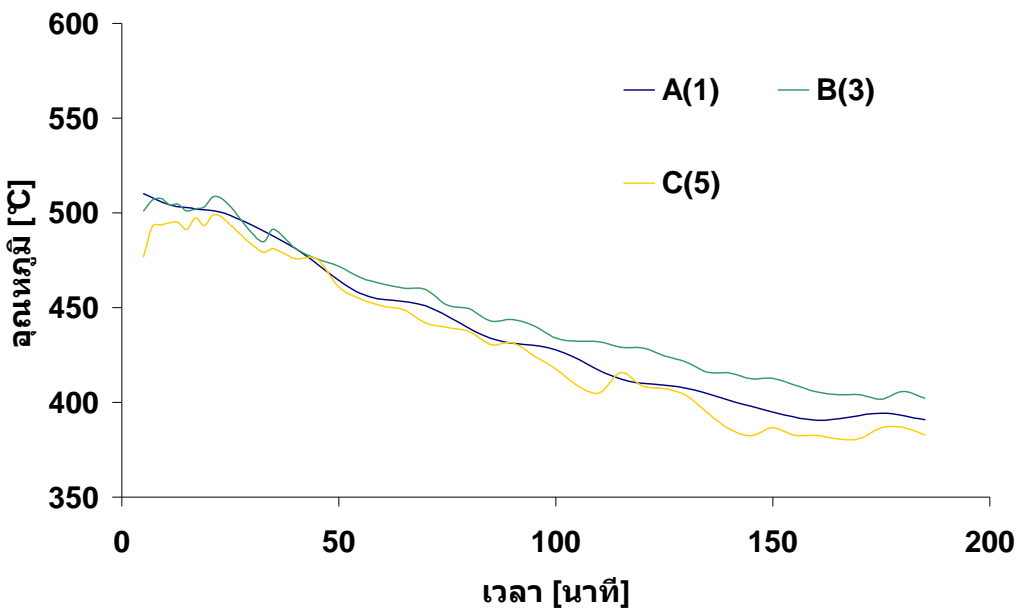
#### 4.2 ผลการเก็บข้อมูลอุณหภูมิระหว่างเย็บตัวของม้วนเหล็กจากโรงงาน



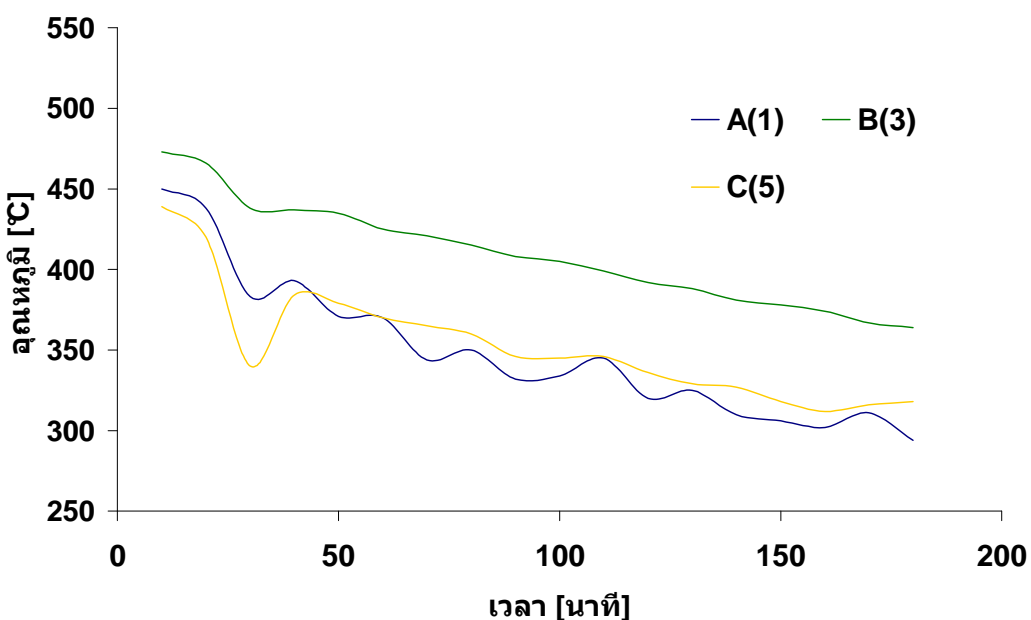
ภาพที่ 4.2 ตัวอย่างภาพถ่ายความร้อนของม้วนเหล็กพร้อมระบุอุณหภูมิ ณ ตำแหน่งที่สนใจ ภายหลังการเย็บตัวไปเป็นเวลา 2 ชั่วโมง 40นาที (160นาที), ถ่ายโดยกล้องอินฟราเรดรุ่น LAND cyclop T135

ภายหลังการวัดอุณหภูมิด้วยกล้องอินฟราเรด และ infrared gun ในตำแหน่งที่กำหนดไว้ดังที่กล่าวไปแล้วในบทที่ 3 ผลกระทบล้องอินฟราเรดแสดงในลักษณะภาพถ่ายวัตถุร้อนดังแสดงในภาพที่ 4.2 โดยมีทั้งหมด 43 ภาพ ที่เวลาทันทีภายหลังออกจาก down coiler และทุกๆ 2 นาที ในครึ่งชั่วโมงแรก และทุกๆ 5 นาที จนครบเวลา 3 ชั่วโมง ระหว่างการเย็บตัวในบรรยายกาศ ซึ่งแต่ละภาพระบุอุณหภูมิ ณ ตำแหน่งที่สนใจ เช่นกรอบสี่เหลี่ยมที่มีหมายเลข 1, 3 และ 5 กำกับอยู่ในภาพที่ 4.2 ซึ่งต่อไปจะเรียกว่าตำแหน่ง A, B และ C ตามลำดับ เป็นต้น ส่วน infrared gun ได้ค่าเป็นตัวเลขแสดงอุณหภูมิที่ตำแหน่ง A, B และ C ตำแหน่งละ 36 ค่า (วัดทุกๆ 5 นาที เป็นเวลา 3 ชั่วโมง) เมื่อนำข้อมูลอุณหภูมิในตำแหน่ง A, B และ C ของภาพถ่ายความร้อนแต่ละภาพมาสร้างกราฟระหว่างอุณหภูมิกับเวลาในการเย็บตัว จะมีลักษณะดังแสดงในภาพที่ 4.3 ขณะเดียวกันเมื่อสร้างกราฟระหว่างอุณหภูมิที่ได้จาก infrared gun ในตำแหน่ง A, B และ C กับเวลาในการเย็บตัวจะมีลักษณะดังภาพที่ 4.4

จากการพบว่าอุณหภูมิในตำแหน่ง A, B และ C ของภาพที่ 4.4 มีค่าลดลงแล้วกลับเพิ่มขึ้นอย่างรวดเร็วที่เวลา 30 นาที ซึ่งน่าจะเป็นความผิดพลาดจากการวัด ในขณะที่อุณหภูมิในตำแหน่ง A, B และ C ของภาพที่ 4.3 มีความละเอียดมากกว่า (ภาพที่ 4.3 ใช้ข้อมูล 43 จุด ในขณะที่ภาพที่ 4.4 ใช้ข้อมูล 36 จุด) และมีการแก่วงของข้อมูลที่น้อยกว่า ดังนั้นจึงตัดสินใจใช้อุณหภูมิในตำแหน่ง A, B และ C ของภาพที่ 4.4 ซึ่งวัดได้จากการถ่ายภาพเป็นข้อมูลอ้างอิงสำหรับการตรวจสอบความถูกต้องของแบบจำลองทางคณิตศาสตร์ที่สร้างขึ้น

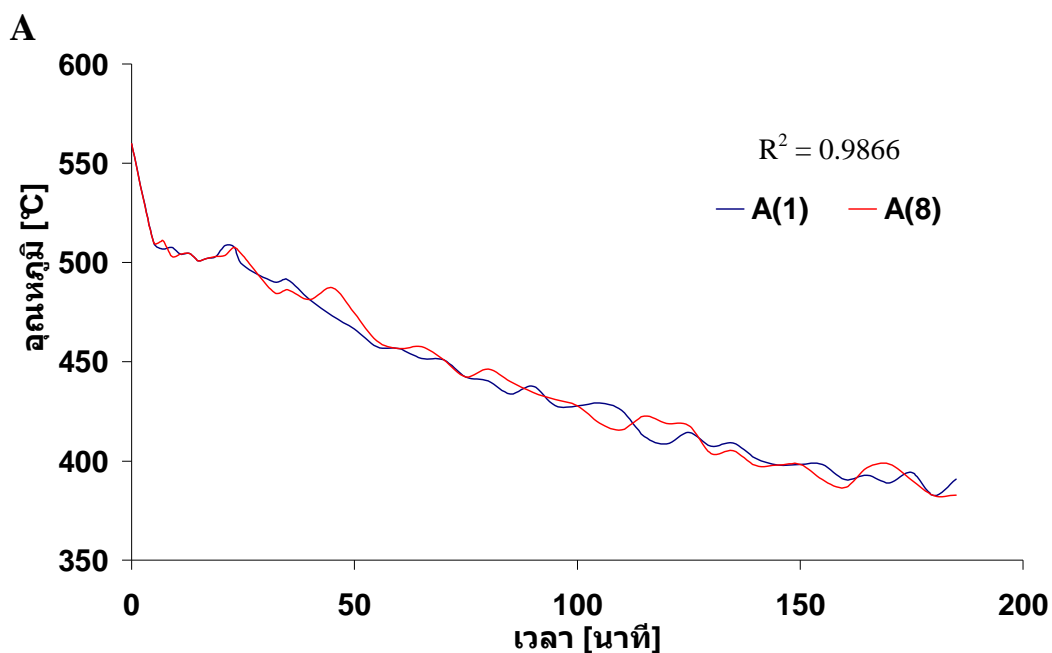


ภาพที่ 4.3 กราฟความสัมพันธ์ระหว่างอุณหภูมิที่ต่ำแห่งนง 1, 3 และ 5 (หรือต่อไปนี้จะเรียกว่า ต่ำแห่งนง A, B และ C ตามลำดับ) กับเวลาที่ใช้ในการเย็นตัว, วัดโดยกล้องอินฟราเรดรุ่น LAND cyclop T135

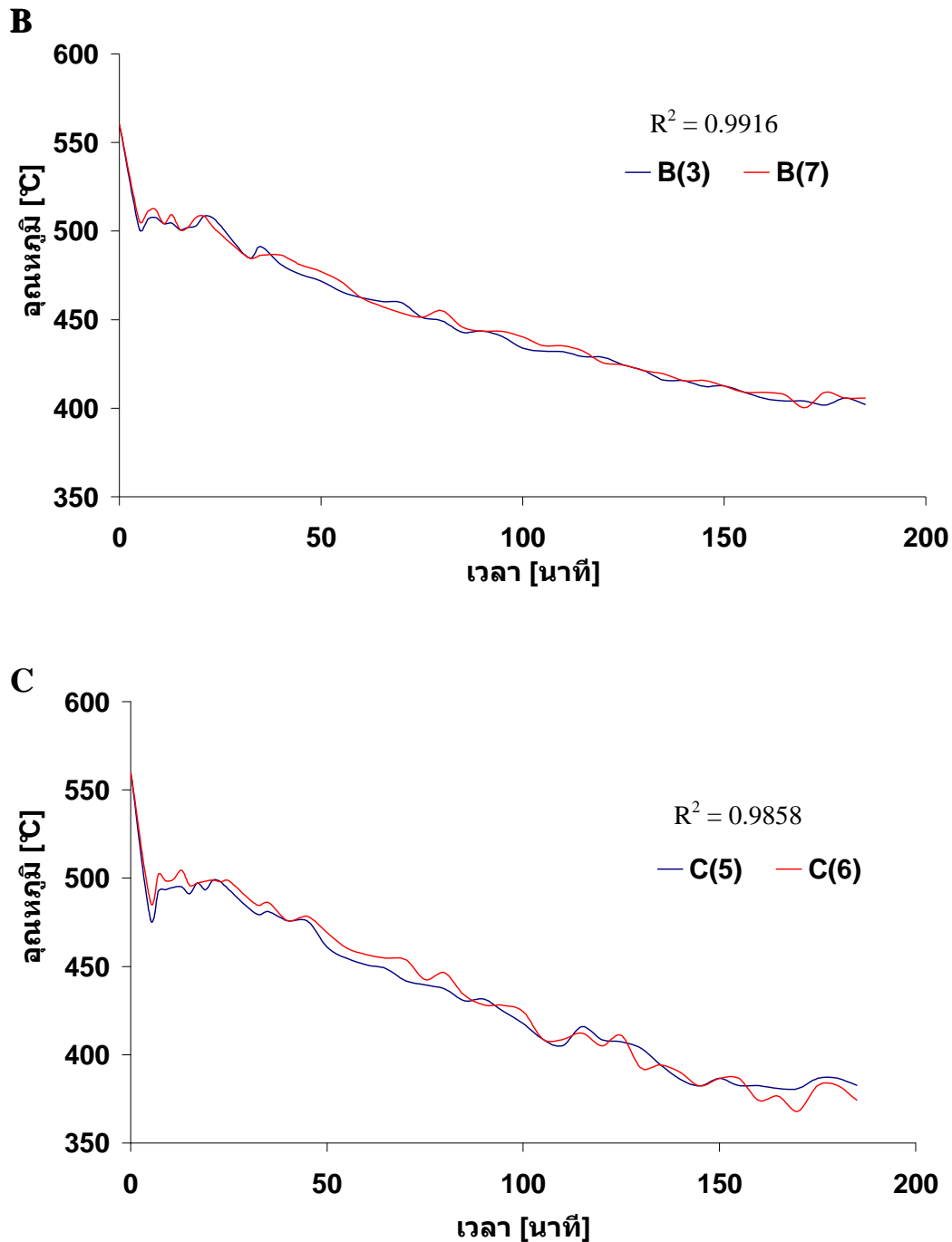


ภาพที่ 4.4 กราฟความสัมพันธ์ระหว่างอุณหภูมิที่ต่ำแห่งนง A, B และ C กับเวลาที่ใช้ในการเย็นตัว, วัดโดย infrared gun

ผลของการทดลองเพื่อยืนยันสมมติฐานว่า ม้วนเหล็กมีสมมataรในการถ่ายเทความร้อนในแนวรัศมี โดยการเปรียบเทียบอุณหภูมิของตำแหน่งในระยะรัศมีเดียวกัน ได้แก่ เปรียบเทียบตำแหน่ง 1 กับ 8, 3 กับ 7 และ 5 กับ 6 (ในภาพที่ 4.2) และหาค่าสัมประสิทธิ์การตัดสินใจ (Coefficient of determination,  $R^2$ ) ของข้อมูลคู่หนึ่งๆ พนว่าค่า  $R^2$  สำหรับตำแหน่ง 1 กับ 8 มีค่าเท่ากับ 0.9866, ตำแหน่ง 3 กับ 7 มีค่าเท่ากับ 0.9916 และตำแหน่ง 5 กับ 6 มีค่าเท่ากับ 0.9858 ดังแสดงในภาพที่ 4.5 เส้นสีน้ำเงินคือค่าของตำแหน่งในแกนตั้ง (6, 7 และ 8) และเส้นสีแดงคือค่าของตำแหน่งในแกนนอน (1, 3 และ 5) จากค่า  $R^2$  ทำให้เชื่อถือได้ว่าม้วนเหล็กมีสมมataรตามแกนรัศมีจริง ดังนั้นไม่ว่าตำแหน่งในม้วนเหล็กที่สนใจนั้นจะอยู่ในแนวแกนตั้งหรือแกนนอน ถ้าอยู่ในระยะรัศมีที่เท่ากันย่อมมีอุณหภูมิ และอัตราการเย็นตัวเท่ากัน

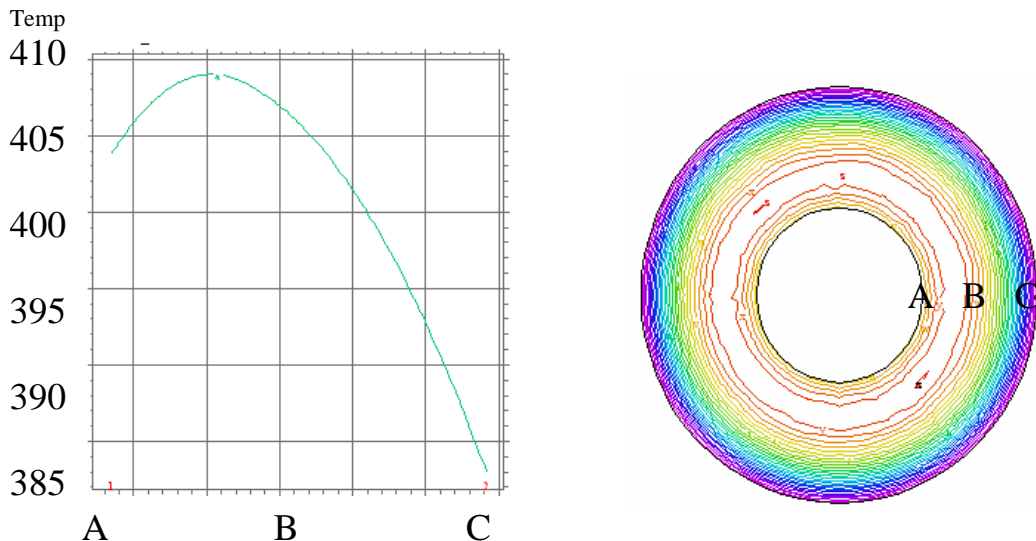


ภาพที่ 4.5 เปรียบเทียบอุณหภูมิของตำแหน่ง A, B และ C (ตำแหน่งบนแกน x) กับตำแหน่งที่ห่างจากจุดศูนย์กลางเท่ากันในแกน y, (สีแดง) ค่าอุณหภูมิของตำแหน่งบนแกน y (สีน้ำเงิน) ค่าอุณหภูมิของตำแหน่งบนแกน x



ภาพที่ 4.5 เปรียบเทียบอุณหภูมิของตำแหน่ง A, B และ C (ตำแหน่งบนแกน x) กับตำแหน่งที่ห่างจากจุดศูนย์กลางเท่ากันในแกน y, (สีแดง) ค่าอุณหภูมิของตำแหน่งบนแกน y (สีน้ำเงิน) ค่าอุณหภูมิของตำแหน่งบนแกน x

### 4.3 แบบจำลองทางคณิตศาสตร์



ภาพที่4.6 ภาพจำลองอุณหภูมิ ณ ตำแหน่งต่างๆบนระยะ  $z=w/2$  ที่เวลา 180นาที

แบบจำลองทางคณิตศาสตร์ที่สร้างขึ้นสามารถคำนวณและแสดงผลทั้งในรูปกราฟ ความสัมพันธ์ และข้อมูลตัวเลขดังแสดงในภาพที่4.6 ซึ่งต้องทำการหาค่าสัมประสิทธิ์การถ่ายเท ความร้อนที่เหมาะสมกับรูปแบบการถ่ายเทความร้อนของม้วนเหล็กในงานวิจัยนี้ก่อน แบบจำลอง จึงจะสามารถคำนวณแสดงผลที่มีความน่าเชื่อถือ

#### 4.3.1 ค่าสัมประสิทธิ์การถ่ายเทความร้อน

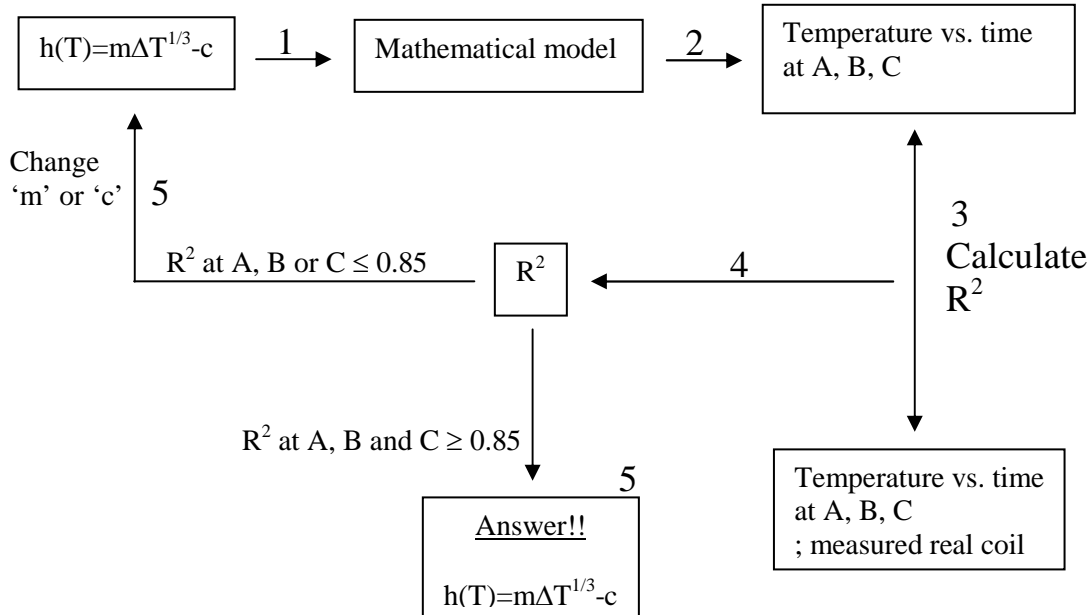
เนื่องจากมีผู้เสนอค่าสัมประสิทธิ์การถ่ายเทความร้อนที่มีลักษณะเป็นฟังก์ชันกับ อุณหภูมิที่เปลี่ยนไป<sup>[3]</sup> ดังสมการ

$$h_m = 1.31\Delta T^{1/3} \quad [W/m^2 \text{ } ^\circ C] \quad (4.1)$$

เมื่อ  $h_m$  คือ สัมประสิทธิ์การถ่ายเทความร้อน

$\Delta T$  คือ ความแตกต่างระหว่างอุณหภูมิที่ผิวของวัสดุร้อนกับอากาศ

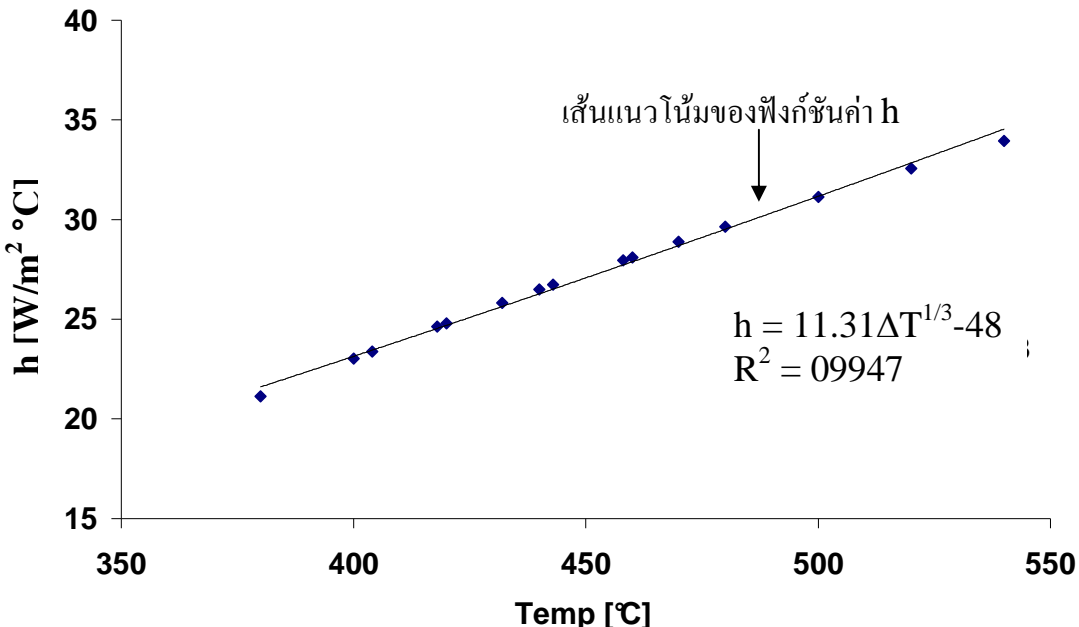
ดังนั้นจึงได้ลองใช้ค่าสัมประสิทธิ์การถ่ายเทความร้อน ( $h$ ) ดังกล่าวกับแบบจำลองทาง คณิตศาสตร์ แต่พบว่าค่าสัมประสิทธิ์การถ่ายเทความร้อนนี้ไม่เหมาะสมกับรูปแบบการถ่ายเท ความร้อนของม้วนเหล็กในงานวิจัย กล่าวคือ ค่า  $R^2$  ที่ได้จากการเปรียบเทียบอุณหภูมิที่ ตำแหน่ง A, B และ C ของผลจากการคำนวณโดยแบบจำลองทางคณิตศาสตร์ กับอุณหภูมิจริง มีค่าไม่เหมาะสม



ภาพที่ 4.7 แผนภาพแสดงขั้นตอนการหาค่าสัมประสิทธิ์การถ่ายเทความร้อน

ดังนั้นจึงต้องสร้างฟังก์ชันค่าสัมประสิทธิ์การถ่ายเทความร้อนขึ้น โดยอาศัยรูปแบบ  
ความสัมพันธ์ในลักษณะเดียวกับสมการที่ 4.1 แต่เปลี่ยนค่าคงที่ซึ่งขั้นตอนการหาค่า  
สัมประสิทธิ์การถ่ายเทความร้อนแสดงในภาพที่ 4.7 มีขั้นตอนดังต่อไปนี้

1. กำหนดสมการ  $h(T) = m\Delta T^{1/3} - c$  ใช้ค่า  $m_n$  และ  $c_n$
2. นำฟังก์ชัน  $h$  ดังกล่าวไปใช้ในแบบจำลองทางคณิตศาสตร์ พร้อมทั้งเขียนคำสั่งให้  
แบบจำลองทางคณิตศาสตร์คำนวณอุณหภูมิที่ตำแหน่ง A, B และ C ในระหว่างเย็นตัว
3. หาค่า  $R^2$  ของอุณหภูมิที่ตำแหน่ง A, B และ C จากการคำนวณโดยแบบจำลองทาง  
คณิตศาสตร์ กับอุณหภูมิจริง
4. ถ้า  $R^2$  สำหรับทุกตำแหน่ง A, B และ C มีค่ามากกว่า 0.85 ให้ใช้ฟังก์ชัน  $h(T)=m_n\Delta T^{1/3}-c_n$
5. ถ้า  $R^2$  ในตำแหน่ง A, B หรือ C ตำแหน่งใดตำแหน่งหนึ่งมีค่าน้อยกว่า 0.85 ให้กลับไปที่  
ขั้นตอนที่ 1 และเปลี่ยนค่า  $m_n$  หรือ  $c_n$

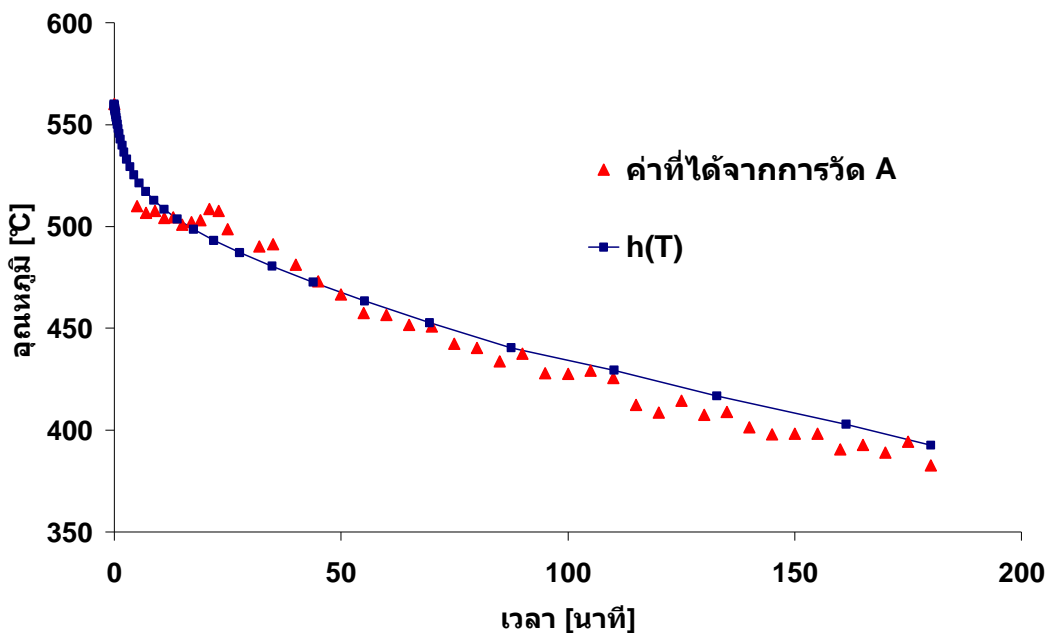
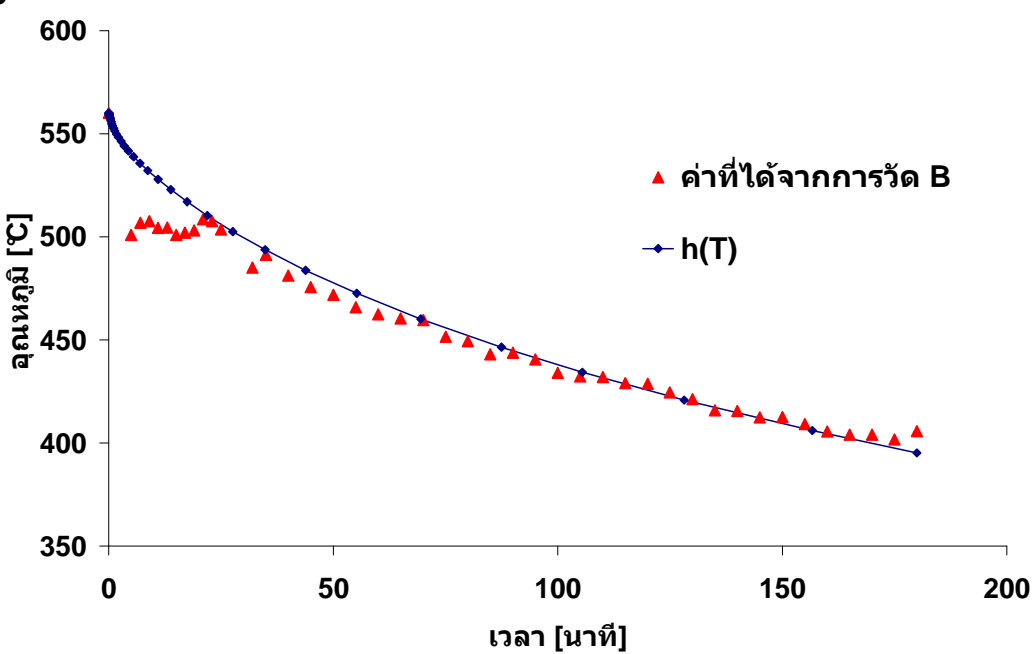


ภาพที่ 4.8 ภาพแสดงค่าสัมประสิทธิ์การถ่ายเทความร้อนที่เป็นฟังก์ชันกับอุณหภูมิ

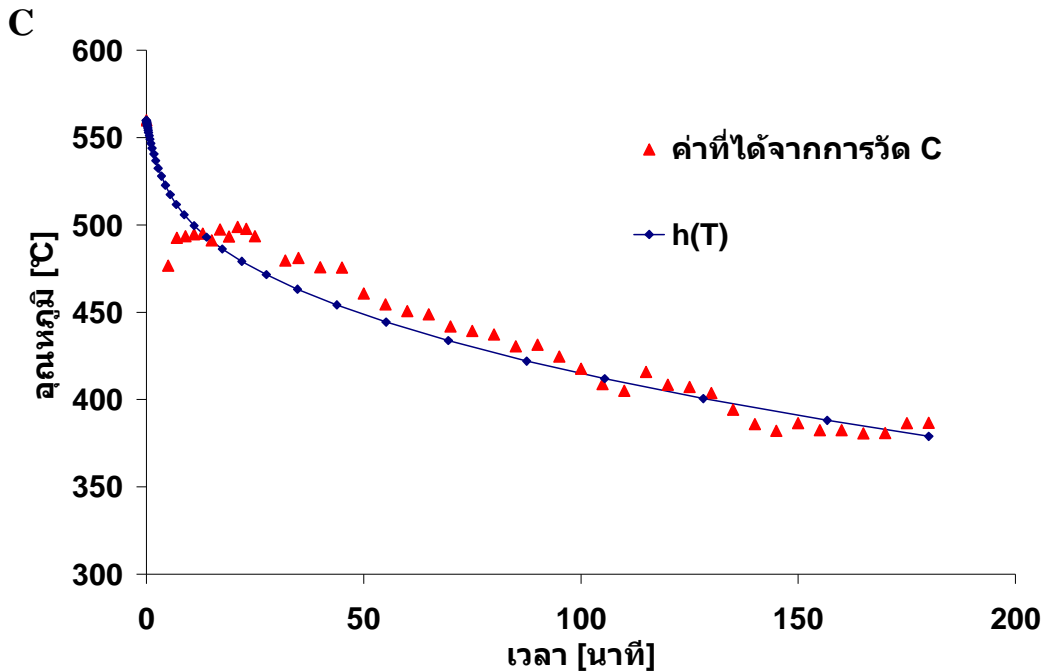
ภายหลังการ trial and error หลายครั้งจึงได้  $R^2$  ของตัวแหน่ง A, B และ C เท่ากับ 0.9702, 0.8617 และ 0.8885 ตามลำดับ (ตารางแสดงค่าสำหรับการคำนวณ  $R^2$  แสดงในภาคผนวก ฯ) เมื่อ  $R^2$  ของทุกตัวแหน่งมีค่ามากกว่าหรือเท่ากับ 0.85 แล้วฟังก์ชัน  $h$  ที่ใช้ในการคำนวณรอบนี้จึงถือว่าเหมาะสมสมสำหรับรูปแบบการถ่ายเทความร้อนของม้วนเหล็กในงานวิจัยนี้ ซึ่งมีค่าเท่ากับ (ดังภาพที่ 4.8)

$$h(T) = 11.31\Delta T^{1/3} - 48 \quad [\text{W}/\text{m}^2 \text{ } ^\circ\text{C}]$$

ภาพที่ 4.9 A-C แสดงความสัมพันธ์ระหว่างอุณหภูมิกับเวลา ณ ตัวแหน่ง A, B และ C ตามลำดับ เปรียบเทียบระหว่างค่าที่ได้จากการคำนวณ (เส้นสีน้ำเงิน) ด้วยแบบจำลองทางคณิตศาสตร์ โดยใช้ค่าสัมประสิทธิ์การถ่ายเทความร้อนที่เป็นฟังก์ชันกับอุณหภูมิ และมีค่าเท่ากับ  $h(T) = 11.31\Delta T^{1/3} - 48$   $[\text{W}/\text{m}^2 \text{ } ^\circ\text{C}]$  กับค่าที่ได้จากการวัด (จุดสีแดง) บนระนาบ  $z=0$  โดยกำหนดอุณหภูมิม้วนเก็บเท่ากับ  $560^\circ\text{C}$

**A****B**

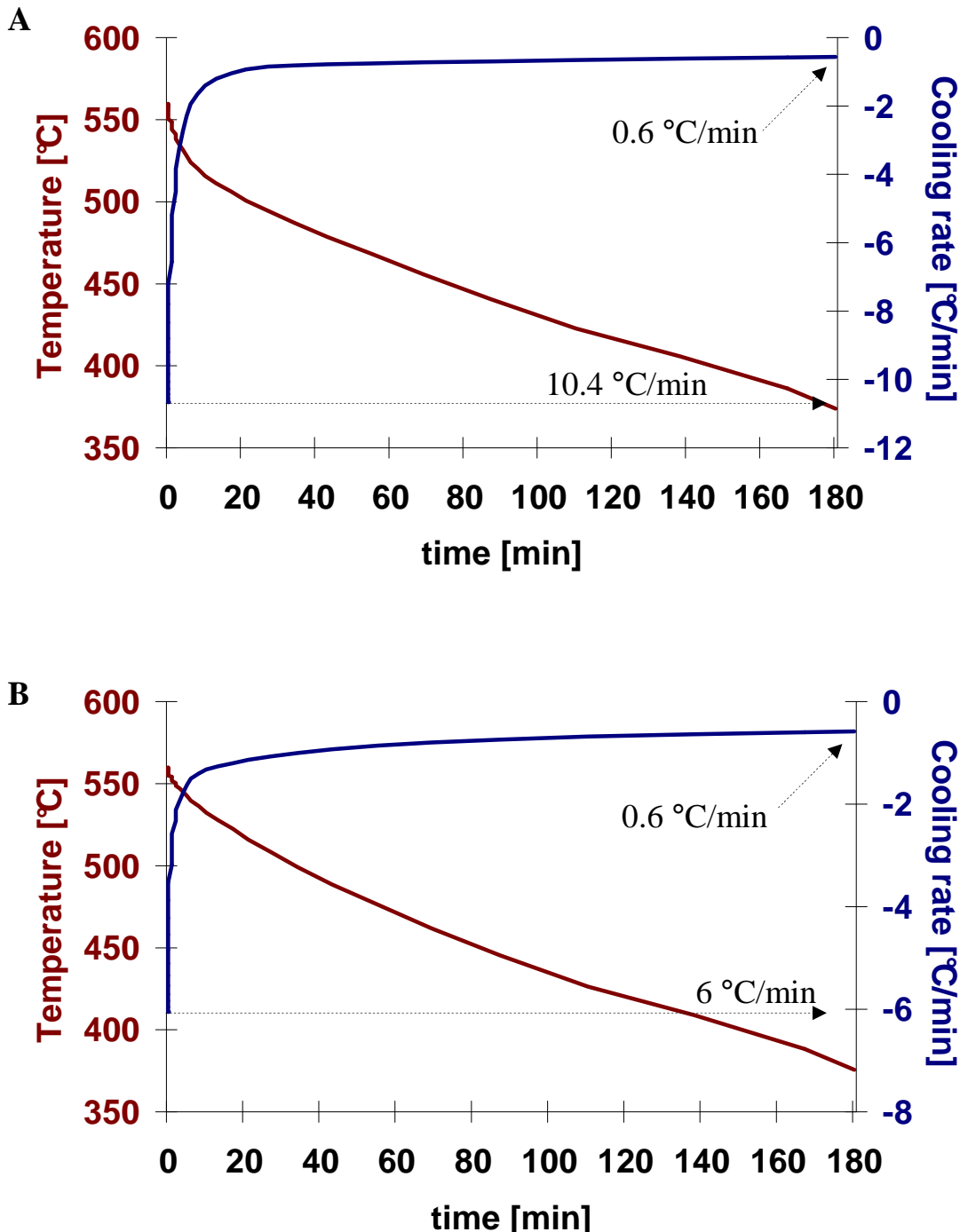
ภาพที่ 4.9 กราฟแสดงความสัมพันธ์ระหว่างอุณหภูมิกับเวลา ณ ตำแหน่ง A และ B เปรียบเทียบระหว่างค่าจากการคำนวณ (น้ำเงิน) กับค่าจากการวัด (แดง) บนระนาบ  $z=0$  โดยกำหนดอุณหภูมิมีวนเก็บเท่ากับ  $560^{\circ}\text{C}$



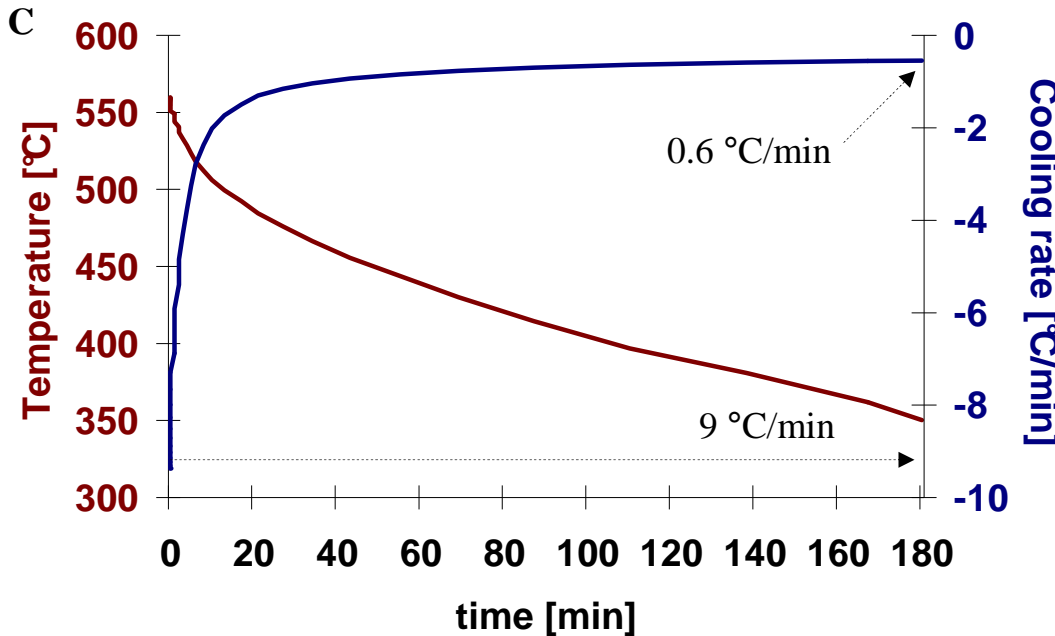
ภาพที่ 4.9 กราฟแสดงความสัมพันธ์ระหว่างอุณหภูมิกับเวลา ณ ตำแหน่ง C เปรียบเทียบระหว่างค่าจากการคำนวณ (นำเงิน) กับค่าจากการวัด (แดง) บนระนาบ  $z=0$  โดยกำหนดอุณหภูมิม้วนเก็บเท่ากับ  $560^{\circ}\text{C}$

#### 4.3.2 แบบจำลองเพื่อการกำหนดสภาพการทดลอง

หลังจากที่ได้ค่า  $h$  ที่เหมาะสมกับรูปแบบการเย็นตัวของม้วนเหล็กในงานวิจัยนี้แล้ว จึงใช้ค่าสั่งให้แบบจำลองคำนวณอุณหภูมิ และอัตราการเย็นตัวของตำแหน่ง A, B และ C เพื่อใช้ค่าอัตราการเย็นตัวในที่ 3 ตำแหน่งกำหนดช่วงอัตราการเย็นตัวคงที่สำหรับทำการทดลอง จำลองการเกิดออกไซด์สเกลด้วยเทคนิคเทอร์โมกราวิเมทริกแบบ Non-isothermal จากภาพที่ 4.10 A, B และ C พบร้าอัตราการเย็นตัวของตำแหน่ง A อยู่ในช่วง  $0.6\text{-}10.4\text{ }^{\circ}\text{C}/\text{min}$  ในขณะที่อัตราการเย็นตัวที่ตำแหน่ง B และ C อยู่ในช่วง  $0.6\text{-}6\text{ }^{\circ}\text{C}/\text{min}$  และ  $0.6\text{-}9\text{ }^{\circ}\text{C}/\text{min}$  ตามลำดับ

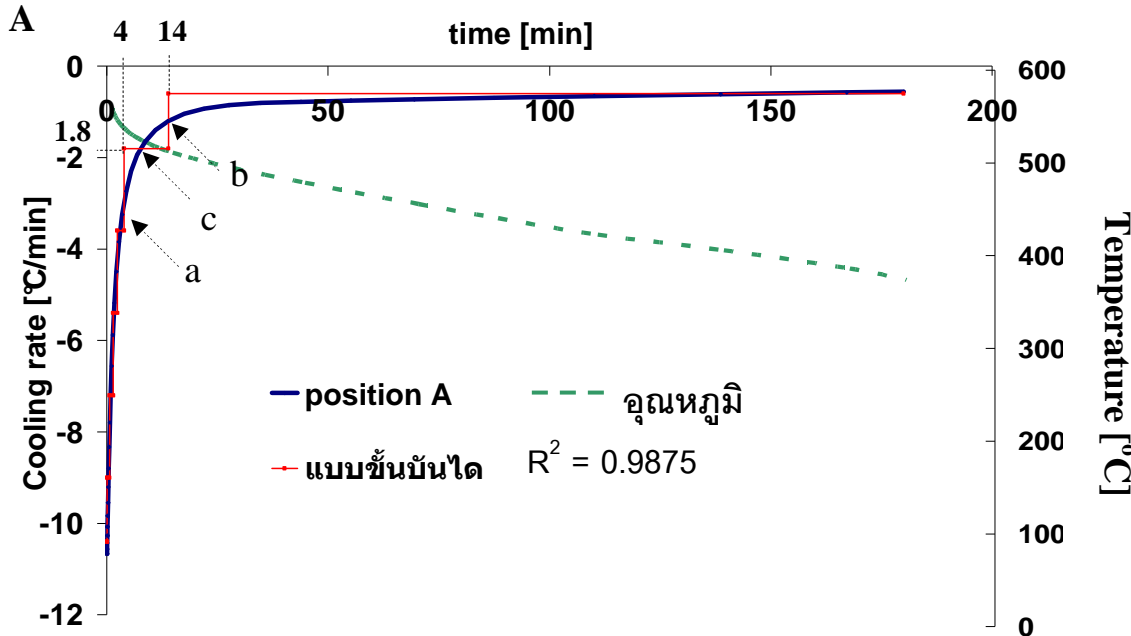


ภาพที่ 4.10 กราฟอัตราการเย็นตัว (เส้นสีน้ำเงิน) และอุณหภูมิ (เส้นสีน้ำตาล) ของตำแหน่ง A และ B บนระนาบ  $z=0$ , คำนวณโดยใช้อุณหภูมิม้วนเก็บเท่ากับ  $560\text{ }^{\circ}\text{C}$



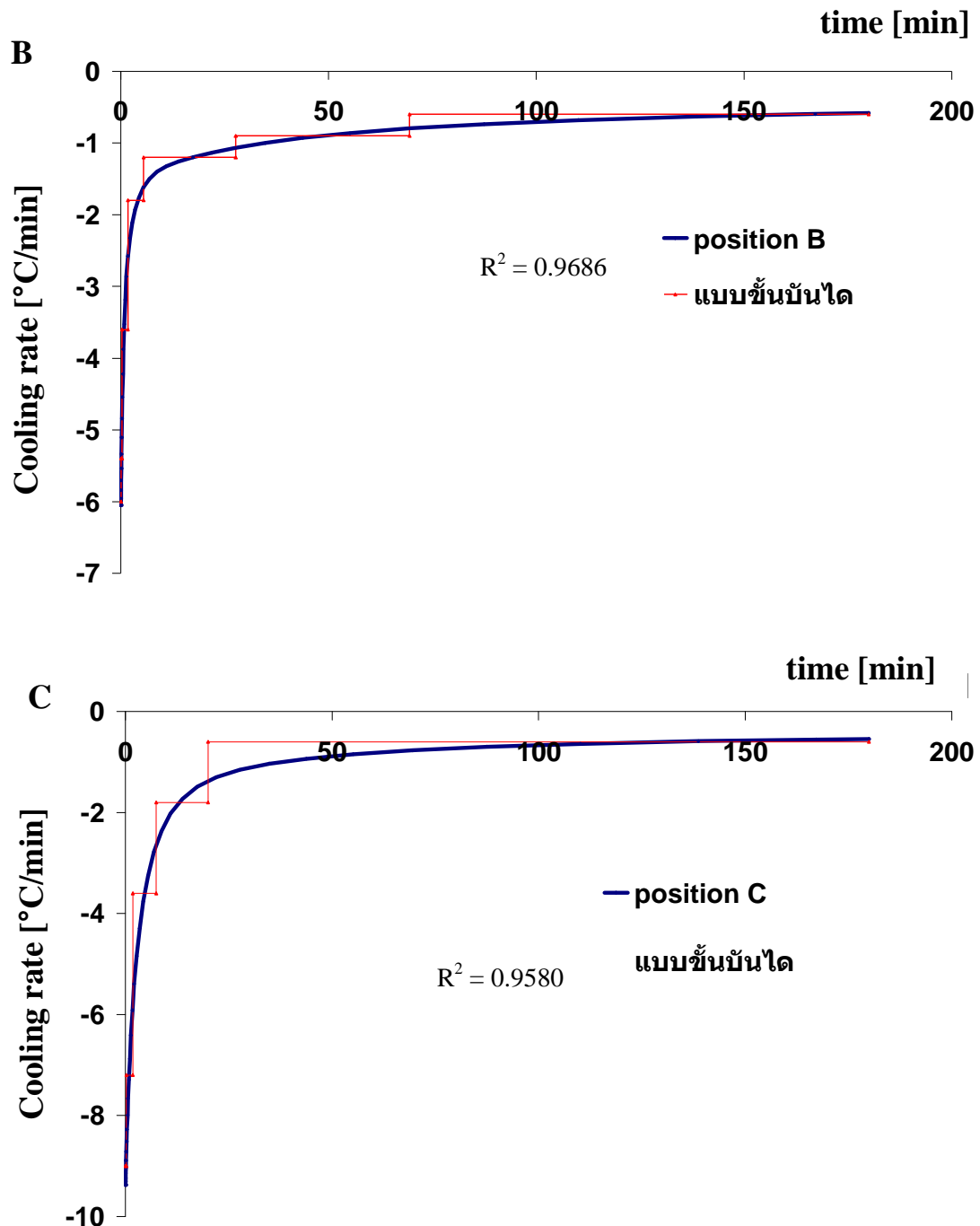
ภาพที่ 4.10 กราฟอัตราการเย็นตัว (เส้นสีน้ำเงิน) และอุณหภูมิ (เส้นสีน้ำตาล) ของตำแหน่ง C บน  
ระยะ z=0, คำนวณโดยใช้อุณหภูมิม้วนเก็บเท่ากับ 560 °C

เนื่องจากรูปแบบการเย็นตัวของม้วนเหล็กในความเป็นจริงเป็นการเย็นตัวแบบต่อเนื่อง (อัตราการเย็นตัวคงอย่างต่อเนื่องเมื่อเวลาผ่านไป, Continuous cooling) แต่การวิเคราะห์เทอร์โมกราวิเมทริกมีข้อจำกัด คือ ไม่สามารถจำลองรูปแบบการเย็นตัวแบบต่อเนื่องได้ ดังนั้น จึงต้องใช้รูปแบบการเย็นตัวที่เกิดจากการเยลลี่อัตราการเย็นตัวในช่วงเวลาหนึ่งๆ ซึ่งอัตราการเย็นตัวเฉลี่ยนี้จะใช้เป็นตัวแทนอัตราการเย็นตัวของทั้งช่วงเวลาที่คิดนั้น โดยประเมินความถูกต้องของอัตราการเย็นตัวเฉลี่ยได้โดยหาค่า  $R^2$  ของอัตราการเย็นตัวแบบต่อเนื่องที่คำนวณโดยแบบจำลองทางคอมพิวเตอร์ กับอัตราการเย็นตัวเฉลี่ย ณ ช่วงเวลาเดียวกัน ดังแสดงในภาพที่ 4.11 A, B และ C



ภาพที่ 4.11 กราฟอัตราการเย็นตัวเฉลี่ย (คงที่ในช่วงเวลาหนึ่งๆ) ในลักษณะขั้นบันได ของตำแหน่ง A บนระนาบ  $z=0$ , คำนวณโดยใช้อุณหภูมิม้วนเก็บเท่ากับ  $560\text{ }^{\circ}\text{C}$

ภาพที่ 4.11A พิจารณาส่วนของเส้นโค้ง (สีน้ำเงิน) ab ทุกๆ จุดบนส่วนของเส้นโค้งนี้จะ มีอัตราการเย็นตัวแบบต่อเนื่อง (อ่านค่าได้จากแกน y) และส่วนของเส้นโค้งนี้ครอบคลุม ช่วงเวลา 4-14 นาที เส้นตรงสีแดงซึ่งตัดกับส่วนของเส้นโค้ง ab คืออัตราการเย็นตัวเฉลี่ยใน ช่วงเวลา 4-14 นาที โดยมีค่าอัตราการเย็นตัวเฉลี่ยเท่ากับ  $1.8\text{ }^{\circ}\text{C}/\text{min}$  และจุด c คือ จุดกึ่งกลาง ของช่วงเวลาที่มีอัตราการเย็นตัวเฉลี่ยคงที่ และเป็นจุดตัวแทนสำหรับการหาค่าอุณหภูมิเฉลี่ย ในช่วงที่มีอัตราการเย็นตัวคงที่นั้น ดังนั้นในการหาค่า  $R^2$  จะใช้การเทียบค่าอัตราการเย็นตัว แบบต่อเนื่องทุกค่าบนส่วนของเส้นโค้ง ab กับค่าอัตราการเย็นตัวเฉลี่ย  $1.8\text{ }^{\circ}\text{C}/\text{min}$  และทำ เช่นเดียวกันนี้กับทุกช่วงและทุกตำแหน่ง (A, B และ C) จะได้ค่า  $R^2$  สำหรับตำแหน่ง A, B และ C เท่ากับ  $0.9875, 0.9686$  และ  $0.9580$  ตามลำดับ ซึ่งถือว่าเป็นค่าที่ยอมรับได้ ดังนั้นชุด ของอัตราการเย็นตัวเฉลี่ยเหล่านี้จึงนำไปใช้เป็นสภาวะสำหรับการจำลองการเกิดออกซิเดชัน ภายในตัวค้าง อัตราการเย็นตัวคงที่ได้

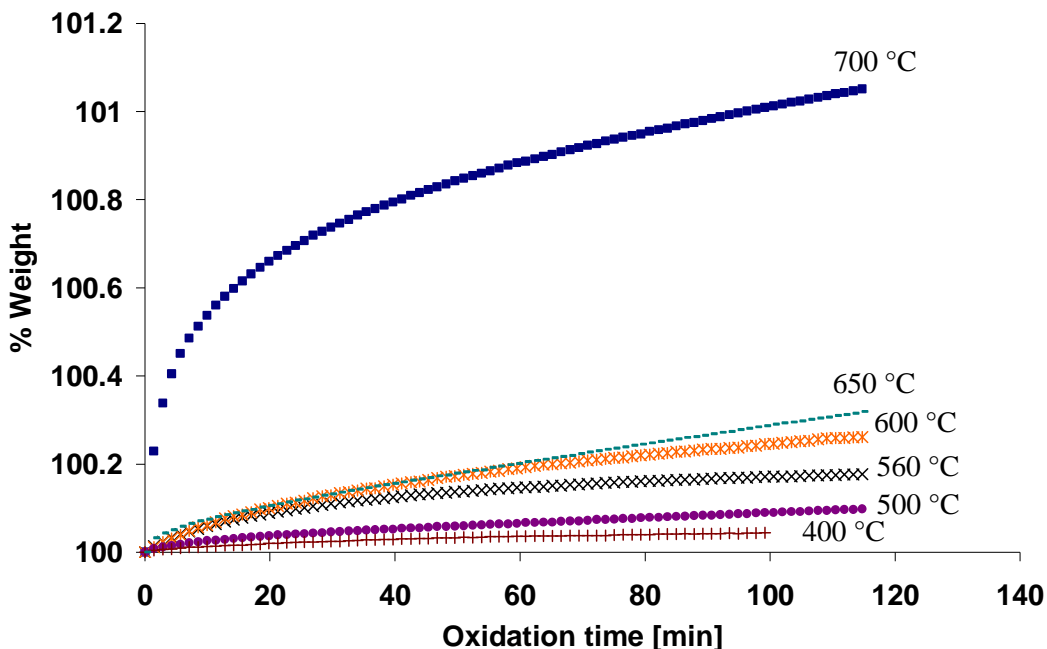


ภาพที่ 4.11 กราฟอัตราการเย็นตัวเฉลี่ย (คงที่ในช่วงเวลาหนึ่งๆ) ในลักษณะขั้นบันได ของตำแหน่ง B และ C บนระนาบ  $z=0$ , คำนวณโดยใช้อุณหภูมิม้วนเก็บเท่ากับ  $560\text{ }^\circ\text{C}$

#### 4.4 ผลการจำลองการเกิดออกไซด์สเกลด้วยการวิเคราะห์เทอร์โมกราวิเมทริก

##### 4.4.1 ออกซิเดชันภายใต้สภาวะอุณหภูมิคงที่ (Isothermal oxidation)

ในงานวิจัยนี้ได้ทำการทดลองจำลองการเกิดออกไซด์สเกล ภายใต้สภาวะอุณหภูมิคงที่ (Isothermal oxidation) ที่อุณหภูมิ  $700, 650, 600, 560, 500$  และ  $400\text{ }^\circ\text{C}$  โดยที่ผลการทดลองแสดงในรูปของเบือร์เซ็นต์โดยหนักต่อเวลา (% W/ oxidation time) ดังแสดงในภาพที่ 4.12



ภาพที่ 4.12 กราฟแสดงผลการวิเคราะห์ด้วยเทคนิคเทอร์โมกราฟเมทริก สำหรับสภาวะ Isothermal oxidation ที่อุณหภูมิ 700, 650, 600, 560, 500 และ 400 °C, (% W vs. oxidation time)

จากผลการทดลองในภาพที่ 4.12 พบว่า เปอร์เซ็นต์โดยน้ำหนักของชิ้นงานจะเพิ่มขึ้น เมื่อเวลาในการเกิดออกซิเดชันเพิ่มขึ้น หรือ อุณหภูมิในการเกิดออกซิเดชันเพิ่มขึ้น

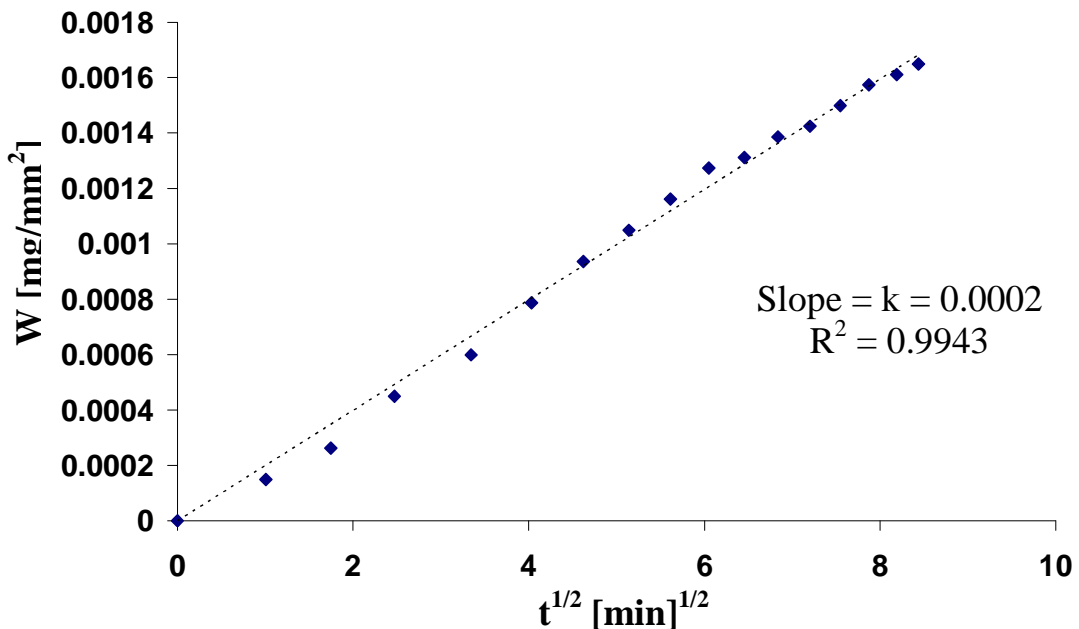
เพื่อการศึกษาจานวนพลาสต์ของการเกิดออกไซซ์สเกล และหาค่าคงที่การเกิดปฏิกิริยา จึงต้องแปลงข้อมูลในรูปของเปอร์เซ็นต์โดยน้ำหนักต่อเวลา (% W/ oxidation time) ให้เป็น น้ำหนักที่เปลี่ยนไปจากการเกิดออกซิเดชันต่อพื้นที่ที่เกิดออกซิเดชัน (W, weight change per area) กับรากที่สองของเวลาที่ใช้ในการเกิดออกซิเดชัน (นับเวลา t=0 ทันทีภายหลังการสลับวาร์ก้าชาจากอาร์กอนเป็นอากาศ) ดังนี้

$$\%W \xrightarrow{\frac{\text{คุณค่าว่ายน้ำหนักเริ่มต้น}}{\text{หารด้วยพื้นที่ผิวที่เกิด}} \rightarrow W}$$

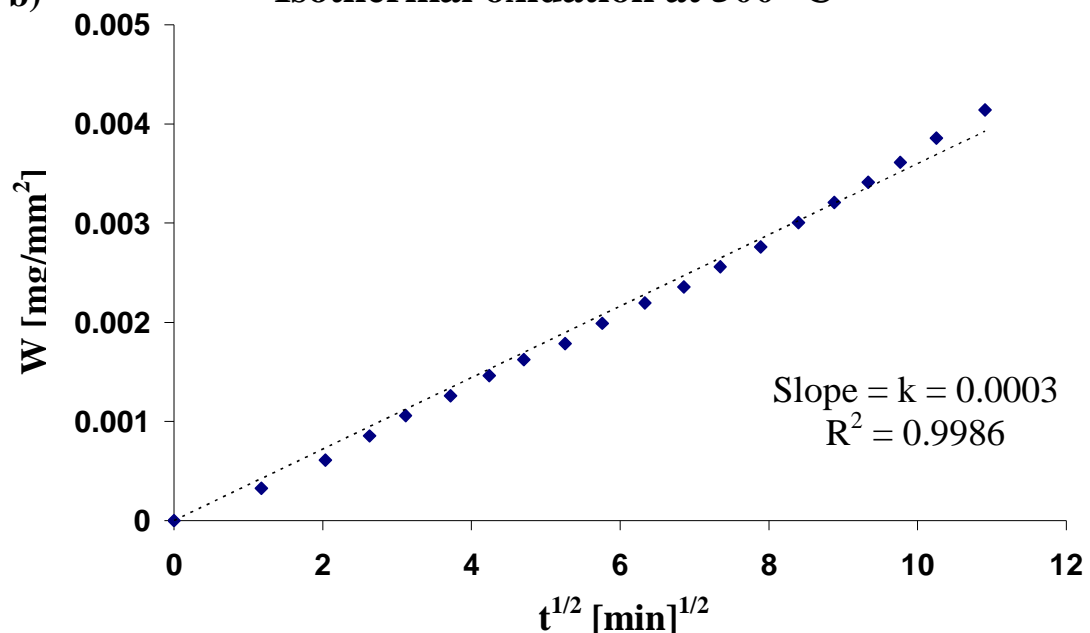
การออกซิเดชัน

หลังการแปลงข้อมูลที่อยู่ในรูปร้อยละของน้ำหนักต่อเวลาให้เป็น น้ำหนักที่เปลี่ยนไปจากการเกิดออกซิเดชันต่อพื้นที่ที่เกิดออกซิเดชัน (W, weight change per area) กับรากที่สองของเวลาที่ใช้ในการเกิดออกซิเดชัน แล้วสร้างกราฟระหว่าง W กับ  $t^{1/2}$  จะได้กราฟเส้นตรงที่มีความชันเท่ากับค่าคงที่ปฏิกิริยาออกซิเดชันที่อุณหภูมนั้น ( $k(T)$ ) ดังแสดงในภาพที่ 4.13 a-f

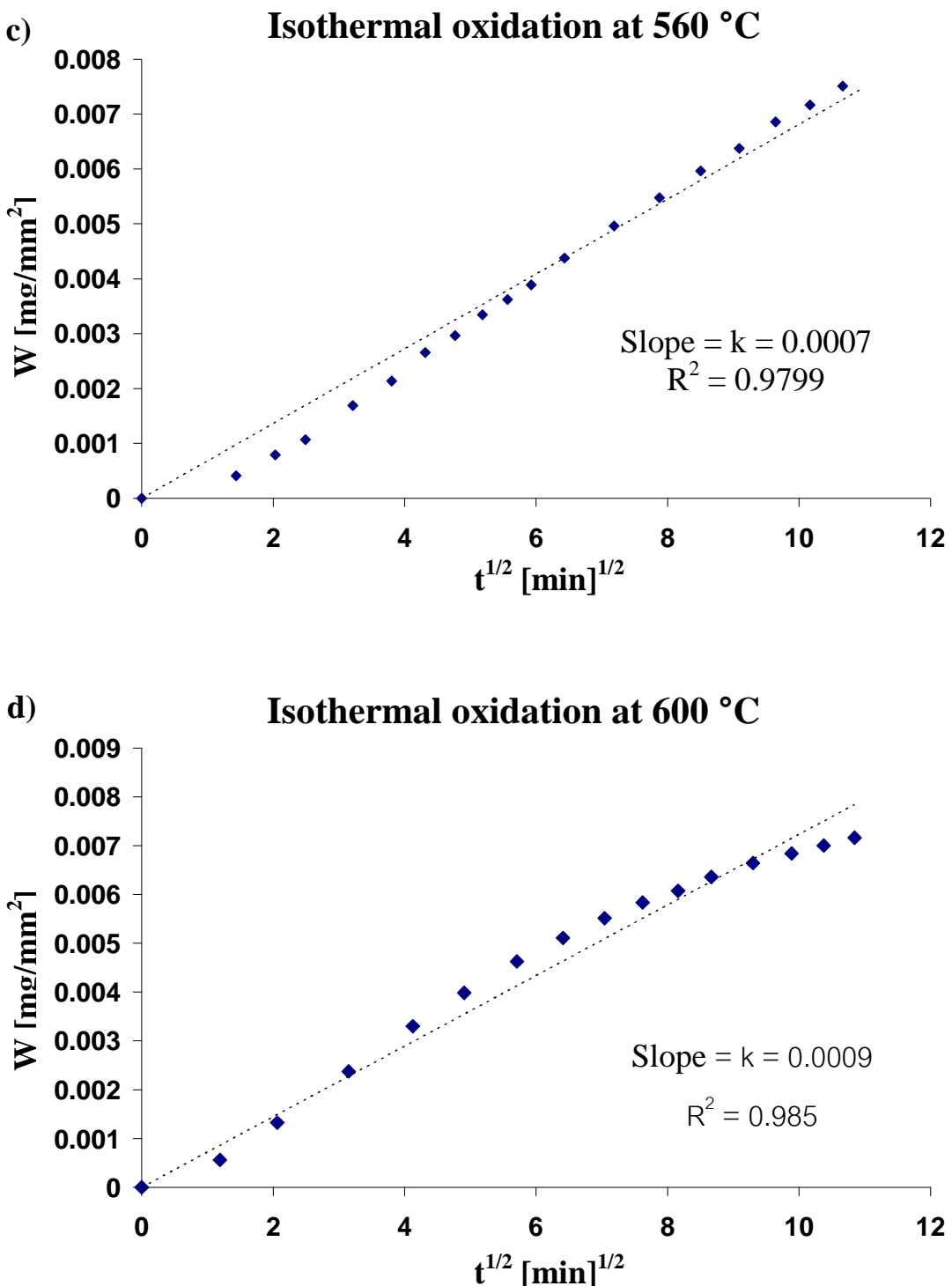
a)

**Isothermal oxidation at 400 °C**

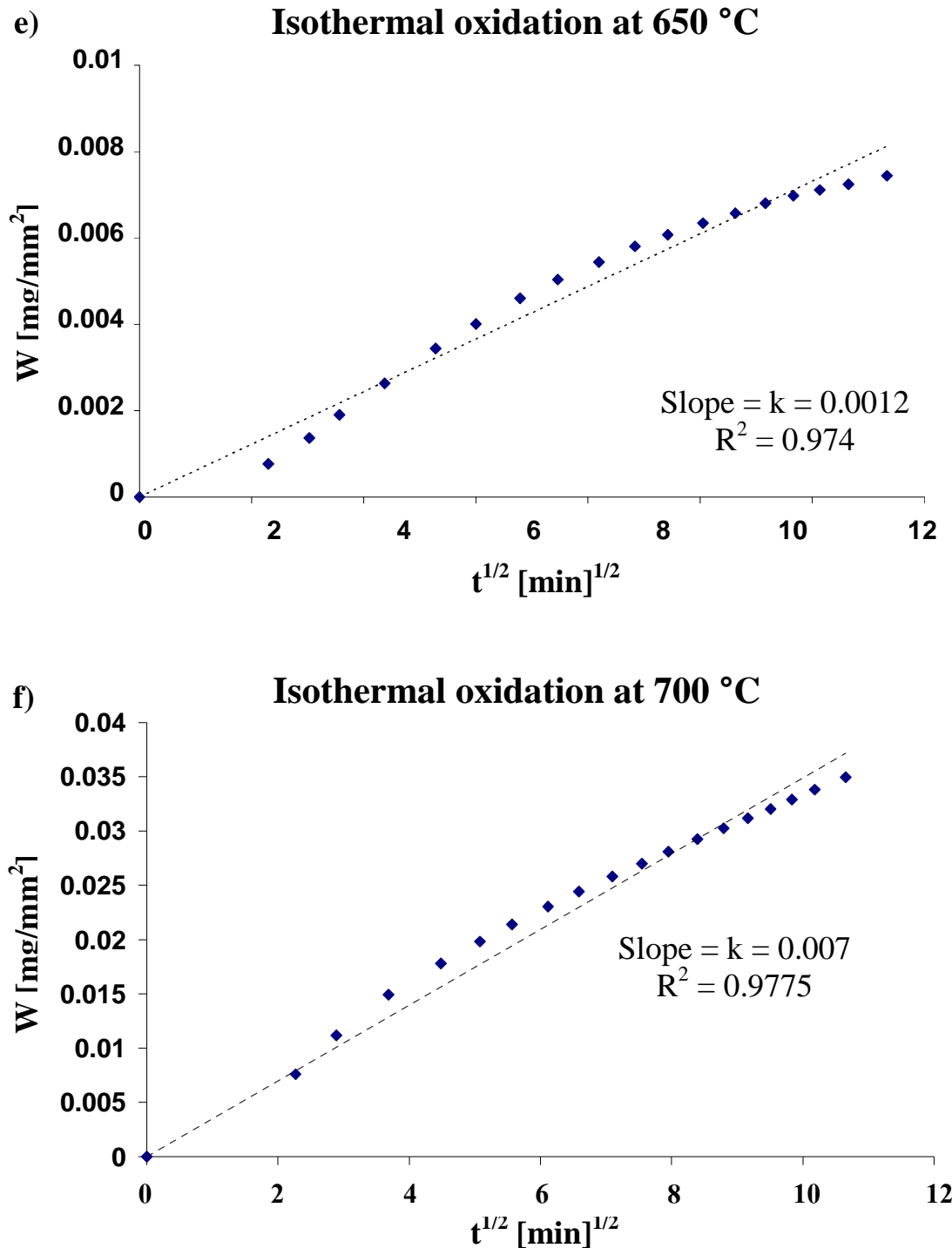
b)

**Isothermal oxidation at 500 °C**

ภาพที่ 4.13 a)-e) กราฟความสัมพันธ์ระหว่าง W กับรากที่สองของเวลา ( $t^{1/2}$ ) ของการเกิดออกซิเดชันที่อุณหภูมิคงที่เป็นเวลา 2-3 ชั่วโมง ที่อุณหภูมิเท่ากับ 400, 500, 560, 600, 650 และ 700 ตามลำดับ



ภาพที่ 4.13 a)-e) กราฟความสัมพันธ์ระหว่าง  $W$  กับรากที่สองของเวลา ( $t^{1/2}$ ) ของการเกิดออกซิเดชันที่อุณหภูมิกองที่เป็นเวลา 2-3 ชั่วโมง ที่อุณหภูมิเท่ากับ 400, 500, 560, 600, 650 และ 700 ตามลำดับ



ภาพที่ 4.13 a)-e) กราฟความสัมพันธ์ระหว่าง  $W$  กับรากที่สองของเวลา ( $t^{1/2}$ ) ของการเกิดออกซิเดชันที่อุณหภูมิกองที่เป็นเวลา 2-3 ชั่วโมง ที่อุณหภูมิเท่ากับ 400, 500, 560, 600, 650 และ 700 ตามลำดับ

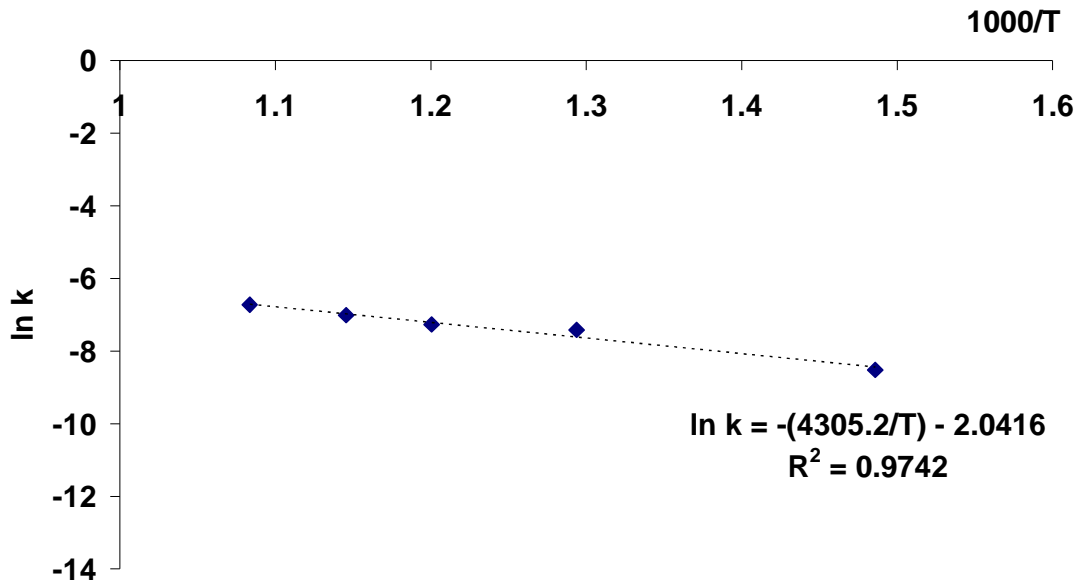
ตารางที่ 4.2 แสดงค่าคงที่ปฏิกิริยา (ความชัน, k),  $\ln k$  และสัมประสิทธิ์การตัดสินใจ ( $R^2$ )

Temp		1000/T [1/K]	Slope, k [mg/mm <sup>2</sup> min <sup>-0.5</sup> ]	$\ln k$	$R^2$
[°C]	[K]				
700	973	1.027749	0.007	-4.96185	0.9775
650	923	1.083424	0.0012	-6.72543	0.974
600	873	1.145475	0.0009	-7.01312	0.985
560	833	1.20048	0.0007	-7.26443	0.9894
500	773	1.293661	0.0006	-7.41858	0.999
500	773	1.293661	0.0003	-8.11173	0.9986
400	673	1.485884	0.0002	-8.51719	0.9943

พิจารณาตารางที่ 4.2 ซึ่งรวมผลการทดลองจะพบว่าเมื่อสร้างกราฟระหว่าง W กับ รากที่สองของเวลาแล้ว ได้กราฟที่มีลักษณะเป็นเส้นตรง ซึ่งยืนยันได้จากค่าสัมประสิทธิ์การตัดสินใจ ( $R^2$ ) ที่มีค่าใกล้เคียง 1 แปลว่าการเกิดออกซิเดชันที่อุณหภูมิทดลองนี้เป็นไปตาม parabolic law คืออัตราการเกิดปฏิกิริยาในช่วงแรกสูง และลดลงในช่วงหลัง

$$\begin{aligned} k(T) &= k_B \exp\left(\frac{-Q}{RT}\right) \\ \ln k &= \ln k_B - \frac{Q}{RT} \\ \ln k &= \left(\frac{-Q}{R}\right) \frac{1}{T} + \text{Const.} \end{aligned} \quad (4.2)$$

เนื่องจากการเกิดออกซิเดชันที่อุณหภูมิ 400-700 °C มีลักษณะแบบพาราโบลิก และสามารถหาค่าคงที่ปฏิกิริยาการเกิดออกซิเดชันได้จากความชันของกราฟระหว่าง W กับ  $t^{1/2}$  เช่นเดียวกัน ดังนั้นถ้าสร้างกราฟระหว่างลอการิทึมของค่าคงที่ปฏิกิริยาของแต่ละ อุณหภูมิ ( $\ln k$ ) กับ  $1/T$  ดังสมการที่ 4.2 แล้วจะได้กราฟเส้นตรงที่แสดงความสัมพันธ์ระหว่าง ค่าคงที่ปฏิกิริยา กับ อุณหภูมิ ดังแสดงในภาพที่ 4.14 และมีค่าความชันเท่ากับ  $-Q/R$  และ เนื่องจากกราฟเป็นเส้นตรง จึงสามารถใช้ในการคำนวณค่าคงที่ของปฏิกิริยาออกซิเดชันที่ อุณหภูมิอื่นๆ ในช่วง 400-700 °C หรือ เวลาที่ต่างจากสภาพะที่ทำการทดลองได้



ภาพที่ 4.14 แสดงค่าคงที่ของปฏิกิริยา ( $k$ ) ซึ่งเป็นฟังก์ชันกับอุณหภูมิ

ภายหลังการสร้างกราฟความสัมพันธ์ระหว่าง  $\ln k$  กับ  $1/T$  สำหรับการเกิดออกซิเดชันระหว่างอุณหภูมิ  $400-700\text{ }^\circ\text{C}$  จะได้ความสัมพันธ์ระหว่างค่าคงที่ปฏิกิริยา กับ อุณหภูมิ เท่ากับ  $\ln k = -6270.9/T + 0.58$  เป็นความสัมพันธ์เชิงเส้น และมีค่า  $R^2$  เท่ากับ 0.7924 ซึ่งเมื่อทำการคำนวณหาค่า  $k$  เพื่อเป็นการตรวจสอบความถูกต้องของสมการอกเหน์จากการพิจารณาด้วยค่า  $R^2$  เช่น ที่อุณหภูมิ  $600\text{ }^\circ\text{C}$  คำนวณค่า  $k$  ได้เท่ากับ  $0.0014\text{ mg/mm}^2\text{ min}^{0.5}$  ซึ่งต่างจากค่าที่ได้จากการทดลองที่มีค่าเท่ากับ  $0.0009\text{ mg/mm}^2\text{ min}^{0.5}$  ถึง 55% ดังนั้นความสัมพันธ์ดังกล่าวจึงไม่น่าจะถูกต้อง

จากการศึกษาข้อมูลเบื้องต้นพบว่า มีผู้เสนอแนวคิดเกี่ยวกับค่าพลังงานgrade ที่ได้จากการทดลองในช่วงอุณหภูมิที่แตกต่างกัน<sup>[5], [8]</sup> กล่าวคือค่าพลังงานgrade ที่ช่วงอุณหภูมิ  $700-1250\text{ }^\circ\text{C}$  มีความแตกต่างกับค่า  $Q$  ที่ช่วงอุณหภูมิต่ำกว่า  $700\text{ }^\circ\text{C}$  ซึ่งจะทำให้สมการที่ใช้สำหรับหาค่า  $k$  ที่ช่วงอุณหภูมนั้นๆ แตกต่างกัน ดังนั้นจึงได้ทำการสร้างกราฟความสัมพันธ์ระหว่าง  $\ln k$  กับ  $1/T$  โดยตัดข้อมูลที่  $700\text{ }^\circ\text{C}$  ออก จะได้ความสัมพันธ์เชิงเส้น  $\ln k = -4305.2/T - 2.0416$  และมีค่า  $R^2$  เท่ากับ 0.9742 ซึ่งเมื่อคำนวณค่า  $k$  เพื่อเป็นการตรวจสอบความถูกต้องของสมการที่อุณหภูมิ  $600\text{ }^\circ\text{C}$  ได้ค่า  $k$  เท่ากับ  $0.00094\text{ mg/mm}^2\text{ min}^{0.5}$  ซึ่งต่างจากค่าที่ได้จากการทดลองที่มีค่าเท่ากับ  $0.0009\text{ mg/mm}^2\text{ min}^{0.5}$  เพียง 4.4% สมการนี้จึงมีความน่าเชื่อถือ และสามารถใช้ในการคำนวณค่า  $k$  ในช่วงอุณหภูมิ  $400-600\text{ }^\circ\text{C}$  ได้ในระดับเป็นที่น่าพอใจ และเมื่อจัดรูปสมการใหม่จะได้

$$k [\text{mg/mm}^2\text{ min}^{0.5}] = 0.13 \exp(-4305.2/T)$$

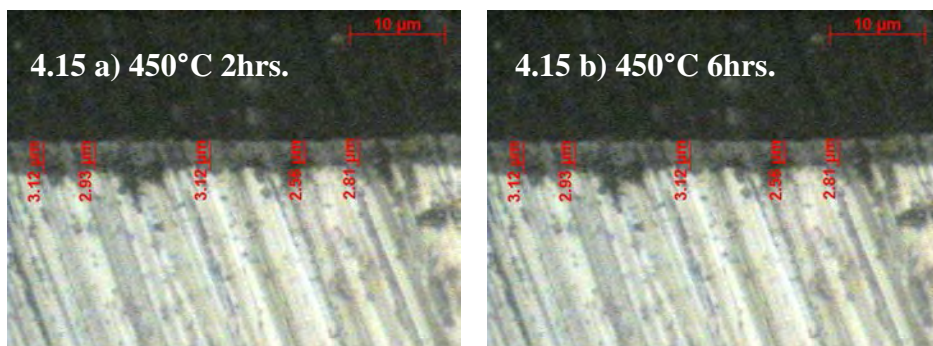
จากภาพที่ 4.14 จะเห็นว่าค่าคงที่ปฏิกิริยานีค่าเพิ่มขึ้น อัตราการเกิดปฏิกิริยาเริ่วขึ้นเมื่ออุณหภูมิสูงขึ้น หรือค่าคงที่ปฏิกิริยาแปรผันตรงกับอุณหภูมิ และสามารถหาผลลัพธ์งานกระตุ้น (Q) ได้เท่ากับ  $35793.43 \text{ J/mol}$  เมื่อเปรียบเทียบกับผลการทดลองของ Weihua Sun<sup>[5]</sup> ซึ่งทำการศึกษาการเกิดออกซิเดชันของเหล็กกล้า laminate (Mild steel) ที่อุณหภูมิ  $800-1000^\circ\text{C}$  และหาค่าพลังงานกระตุ้นได้เท่ากับ  $46876.58 \text{ J/mol}$  หรือ ผลการทดลองอื่นๆ<sup>[8]</sup> ซึ่งศึกษาการเกิดออกซิเดชันของเหล็กกล้า laminate ที่อุณหภูมิ  $700-1250^\circ\text{C}$  และได้ค่าพลังงานกระตุ้นเท่ากับ  $143246 \text{ J/mol}$  หรือ ในกรณีศึกษาการเกิดออกซิเดชันของเหล็กบริสุทธิ์<sup>[8]</sup> ที่อุณหภูมิ  $700-1250^\circ\text{C}$  เปรียบเทียบกับที่อุณหภูมิ  $600-1250^\circ\text{C}$  ที่ได้ค่าพลังงานกระตุ้นที่แตกต่างกันเป็น  $169452 \text{ J/mol}$  และ  $170000 \text{ J/mol}$  ตามลำดับ ซึ่งน่าจะเป็นเพราะออกไซด์สเกลที่เกิดขึ้นในช่วงอุณหภูมิที่ทำการทดลองต่างกันเป็นออกไซด์สเกลต่างชนิดกัน หรือมีกลไกการเกิดออกไซด์สเกลที่ต่างกันจึงส่งผลให้ค่าพลังงานกระตุ้นของการเกิดออกซิเดชันแตกต่างกัน

จากการศึกษาข้อมูลเบื้องต้นพบว่าปฏิกิริยาที่มีพลังงานกระตุ้นต่ำกว่า  $20 \text{ kJ/mol}$  จัดเป็นปฏิกิริยาที่มีขั้นกำหนดอัตราแบบ diffusion control และปฏิกิริยาที่มีพลังงานกระตุ้นอยู่ระหว่าง  $50-72 \text{ kJ/mol}$  จัดเป็นปฏิกิริยาที่มีขั้นกำหนดอัตราแบบ reaction control ในงานวิจัยนี้ได้ตั้งสมมติฐานให้การเกิดออกไซด์สเกลในสภาวะ isothermal oxidation มีความสัมพันธ์ของน้ำหนักที่เพิ่มขึ้นกับเวลาเป็นแบบพาลาโนบิลิก ซึ่งจัดเป็นลักษณะของปฏิกิริยาที่มีขั้นกำหนดอัตราแบบ diffusion control แต่จากการทดลองจะพบว่าพลังงานกระตุ้นสำหรับปฏิกิริยาการเกิดออกไซด์สเกลภายใต้สภาวะ Isothermal oxidation ที่อุณหภูมิ  $400-600^\circ\text{C}$  ให้ค่าพลังงานกระตุ้นเท่ากับ  $35.793 \text{ kJ/mol}$  ( $35793.43 \text{ J/mol}$ ) มากกว่าพลังงานกระตุ้นสำหรับ diffusion control ซึ่งน่าจะเกิดจากลักษณะการเกิดปฏิกิริยาออกซิเดชันในการทดลองนี้ไม่ได้เป็น diffusion control ตลอดทั้งช่วงเวลาที่เกิดการออกซิเดชัน แต่อาจจะเป็นลักษณะที่เกิดเป็น reaction control ในช่วงแรกของการเกิดออกซิเดชัน กล่าวคือช่วงที่เริ่มเกิดการออกซิเดชันออกไซด์สเกลที่เกิดขึ้นมีความหนาไม่มากจะต้องของออกซิเจนจึงใช้เวลาในการแพร่ผ่านชั้นออกไซด์สเกลน้อย ดังนั้น diffusion rate จึงน่าจะมีค่ามากกว่า reaction rate ซึ่งส่งผลให้ปฏิกิริยาในช่วงแรกเป็นแบบ reaction control และภายในหลังเมื่อออกไซด์สเกลหนาขึ้นจะต้องของออกซิเจนใช้เวลาในการแพร่ผ่านชั้นออกไซด์สเกลนานขึ้น diffusion rate จึงมีค่าต่ำกว่า reaction rate ปฏิกิริยาในช่วงหลังจึงเป็นแบบ diffusion control ดังนั้นเมื่อเราคำนวณค่าพลังงานกระตุ้นตลอดช่วงการเกิดออกซิเดชันจึงทำให้พลังงานกระตุ้นที่คำนวณได้มีค่ามากกว่าที่ควรจะเป็น

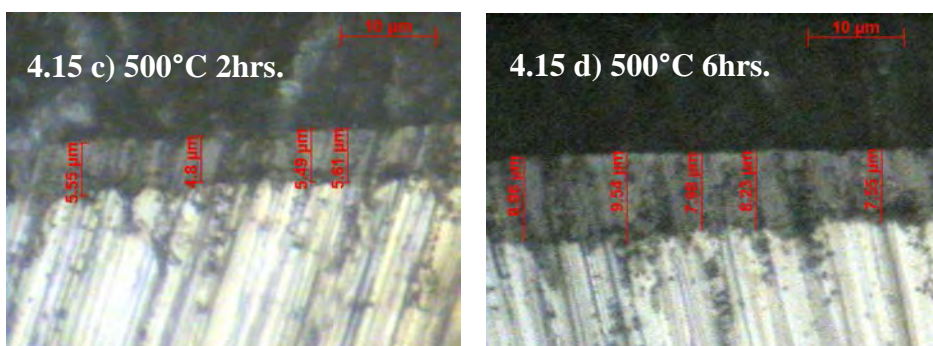
ภายหลังทำการทดลอง นำชิ้นงานมาตรวจสอบโครงสร้างจุลภาค และวัดความหนาของชั้นออกไซด์สเกลที่เกิดบนผิวดวงชิ้นงานด้วยกล้องจุลทรรศน์แสง ที่กำลังขยาย  $1200$  เท่า

ภาพแสดงโครงสร้างจุลภาค และความหนาของออกไซด์สเกลแสดงในภาพที่ 4.15 a)-h) จากการวัดความหนาออกไซด์สเกลพบว่า ความหนาของออกไซด์สเกลมากขึ้นเมื่ออุณหภูมิในการเกิดออกซิเดชันมากขึ้น ซึ่งอธิบายได้จากค่าคงที่ปฏิกิริยาที่เพิ่มขึ้นเมื่ออุณหภูมิสูงขึ้น (ภาพที่ 4.14 ดังนั้นเมื่อค่าคงที่ปฏิกิริยาสูงขึ้นอัตราการเกิดปฏิกิริยาจะมากขึ้นด้วย จึงเป็นเหตุผลที่ทำให้ความหนาของชั้นออกไซด์สเกลเพิ่มขึ้น และความหนาของออกไซด์สเกลมากขึ้นเมื่อเวลาในการเกิดออกซิเดชันมากขึ้น เพราะอัตราในการเกิดปฏิกิริยา ( $k(T)$ ) สำหรับแต่ละอุณหภูมิมีแนวโน้มเพิ่มขึ้น (ความชันของกราฟเป็นบวก) เมื่อเวลาในการเกิดออกซิเดชันมากขึ้น ดังแสดงในภาพที่ 4.15 a)-e) ซึ่งใช้อธิบายว่าเมื่อเวลาในการเกิดออกซิเดชันมากขึ้นออกไซด์สเกล จึงหนาขึ้น

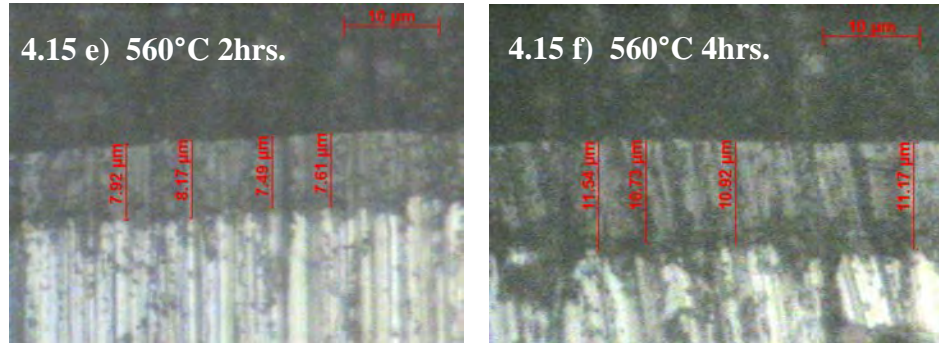
แต่เนื่องจากออกไซด์สเกลจะมีค่าความเกาะติดกับผิวเหล็ก (Adhesion) แย่ลงเมื่ออุณหภูมิ หรือ เวลาในการเกิดออกซิเดชันมากขึ้น ทำให้ออกไซด์สเกลหลุดออกอย่างง่าย ดังนั้น จะเห็นว่าในภาพที่ 4.15 g) ออกไซด์สเกลมีลักษณะไม่สมบูรณ์มีส่วนที่หลุดออกเป็นช่วงๆ และถังเกตเห็นແบรร่องลึกตื้นๆ แห่นอกไซด์สเกล ซึ่งน่าจะเป็นร่องที่เกิดจากชั้นออกไซด์สเกลหลุดออกขณะนำชิ้นงานออกจากเตา หรือ ระหว่าง mount และภาพที่ 4.15 h) ไม่ปรากฏออกไซด์สเกลเลยเนื่องจากออกไซด์สเกลที่เกิดขึ้นหลุดออกขณะนำชิ้นงานออกจากเตา



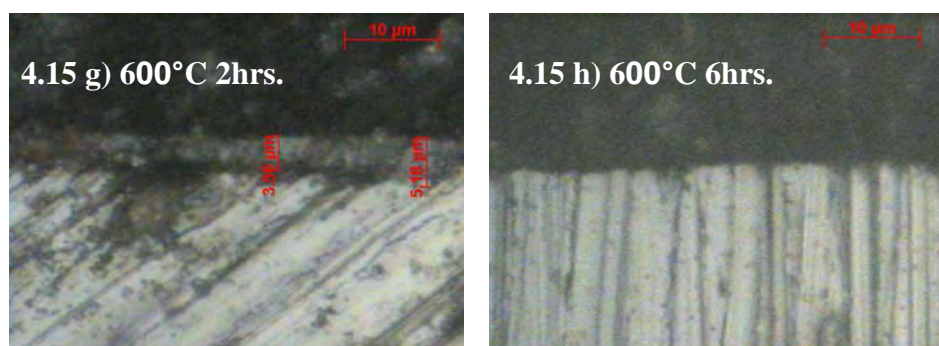
ภาพที่ 4.15 a), b) ภาพโครงสร้างจุลภาคแสดงความหนาของออกไซด์สเกลที่อุณหภูมิ  $450^{\circ}\text{C}$  เป็นเวลา 2 และ 6 ชั่วโมง ตามลำดับ, กำลังขยาย 1200 เท่า



ภาพที่ 4.15 c), d) ภาพโครงสร้างจุลภาคแสดงความหนาของออกไซด์สเกลที่อุณหภูมิ  $500^{\circ}\text{C}$  เป็นเวลา 2 และ 6 ชั่วโมง ตามลำดับ, กำลังขยาย 1200 เท่า



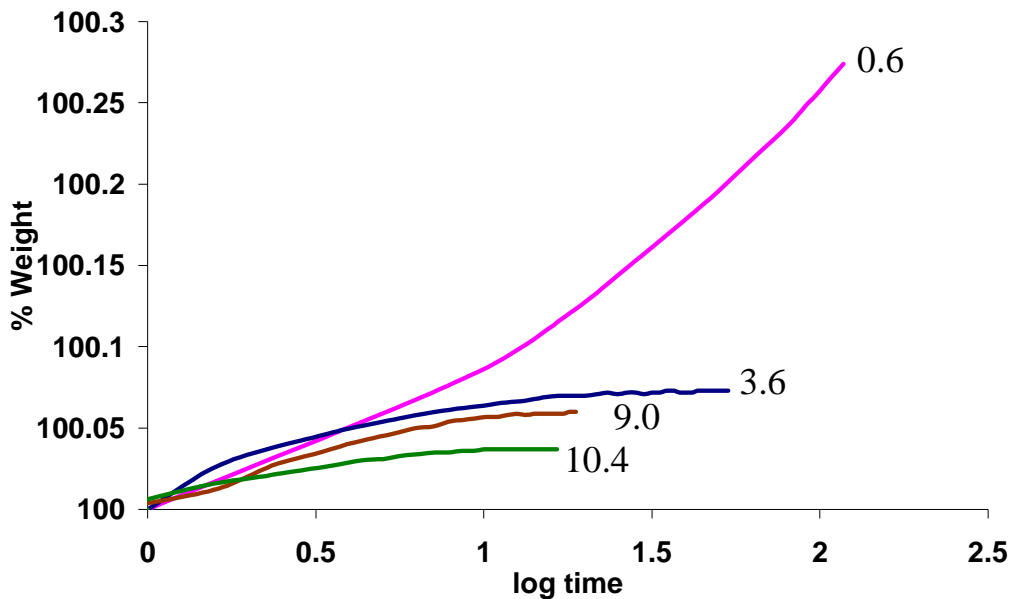
ภาพที่ 4.15 e), f) ภาพโครงสร้างชุลภาคแสดงความหนาออกไซด์สเกลที่อุณหภูมิ 560 °C เป็นเวลา 2 และ 4 ชั่วโมง ตามลำดับ, กำลังขยาย 1200 เท่า



ภาพที่ 4.15 e)-h) ภาพโครงสร้างชุลภาคแสดงความหนาออกไซด์สเกลที่อุณหภูมิ 600 °C เป็นเวลา 2 และ 6 ชั่วโมง ตามลำดับ, กำลังขยาย 1200 เท่า

#### 4.4.2 ออกซิเดชันภายใต้สภาวะเย็นตัวด้วยอัตราการเย็นตัวคงที่ (Non-isothermal oxidation)

ในงานวิจัยนี้ได้ทำการทดลองจำลองการเกิดออกไซด์สเกล ภายใต้สภาวะเย็นตัวด้วยอัตราการเย็นตัวคงที่ที่ 0.6, 1.8, 5.4, 6.0, 7.2, 9.0 และ 10.4 °C/min จากอุณหภูมิ 560, 630 และ 700 °C ผลการทดลองแสดงในรูปของเปอร์เซ็นต์โดยน้ำหนักต่อเวลา (%W/oxidation time) ภาพที่ 4.16 แสดงเปอร์เซ็นต์โดยน้ำหนักที่เปลี่ยนไปเป็นพังก์ชันของเวลาในการเกิดการออกซิเดชันภายใต้สภาวะ Non-isothermal ที่อัตราการเย็นตัวต่างๆ (เพื่อความสะดวกในการแสดงผลของแต่ละอัตราการเย็นตัวในกราฟเดียวกัน จึงเปลี่ยนแกนเวลา ให้เป็น log time ซึ่งสามารถมาตราส่วนแกนเวลาลง และลดความแตกต่างของเวลาที่ใช้ในการเย็นตัวของแต่ละอัตราการเย็นตัวจาก 17.22 เท่า เหลือเพียง 1.72 เท่า)

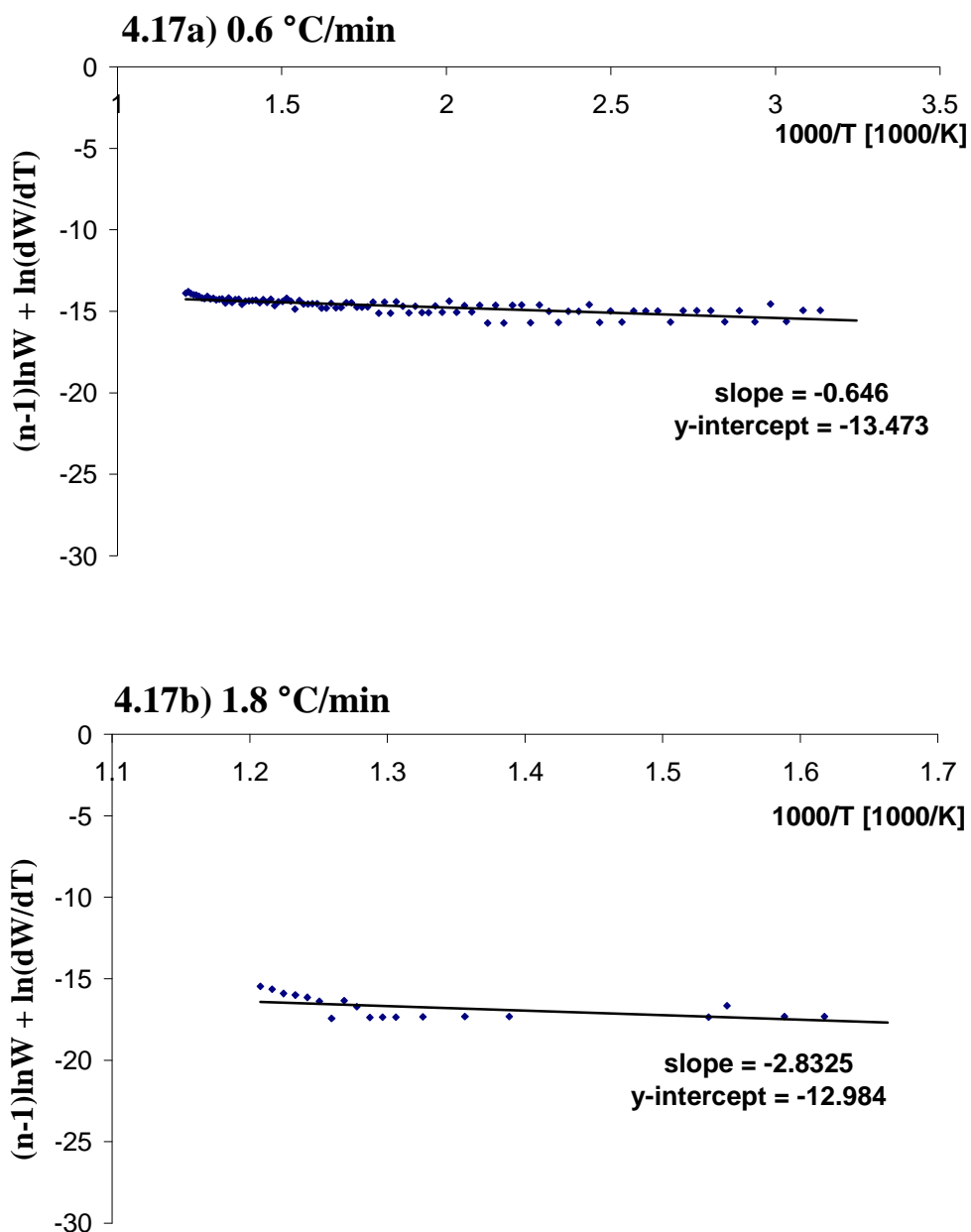


ภาพที่ 4.16 แสดงเปอร์เซ็นต์โดยน้ำหนักที่เปลี่ยนไปเป็นฟังก์ชันของเวลาในการเกิดการออกซิเดชันภายในสภาวะ Non-isothermal ที่อัตราการเย็นตัว 0.6, 3.6, 9.0 และ  $10.4\text{ }^{\circ}\text{C/min}$

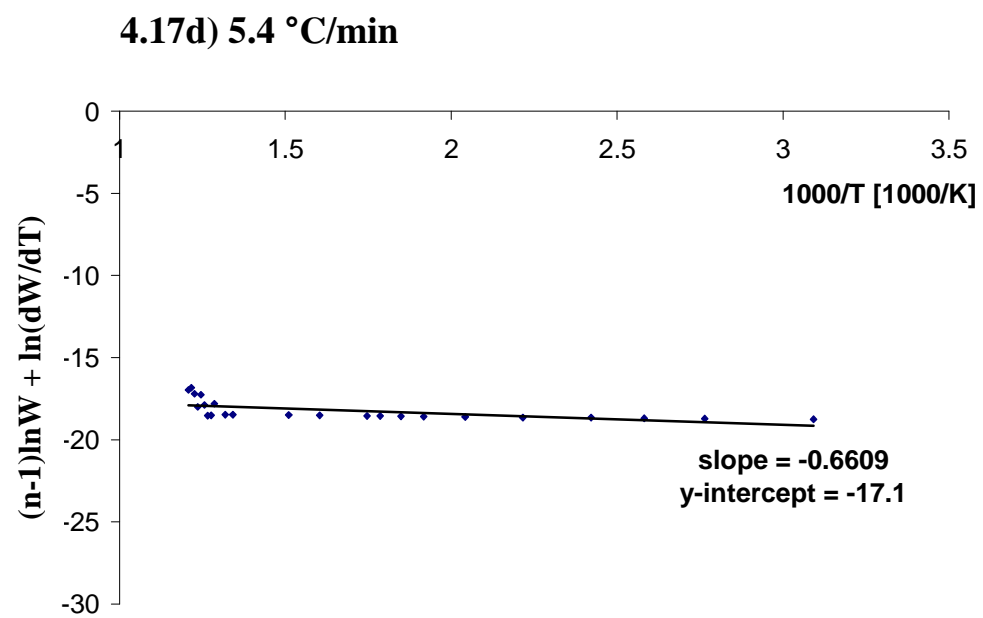
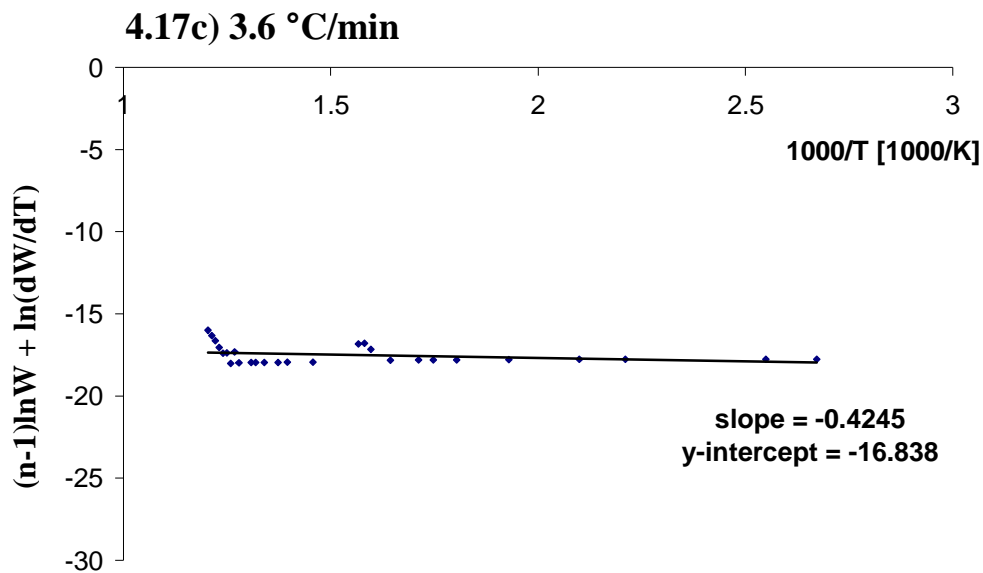
จากภาพที่ 4.16 พบว่าเบอร์เซ็นต์โดยน้ำหนัก (%Weight) ของชิ้นงานเพิ่มขึ้นเมื่อเวลาในการเกิดออกซิเดชันผ่านไปสำหรับทุกอัตราการเย็นตัว และเบอร์เซ็นต์โดยน้ำหนัก (%Weight) ของชิ้นงานลดลงเมื่อใช้อัตราการเย็นตัวสูงขึ้น

$$\begin{array}{c}
 \text{คุณด้วยน้ำหนักเริ่มต้น} \\
 \text{หารด้วยพื้นที่ผิวที่เกิดการ} \\
 \text{ออกซิเดชัน} \\
 \hline
 \frac{dW}{dT} = \frac{W_2 - W_1}{T_1 - T_2}
 \end{array}
 \xrightarrow{\text{n=2 , parabolic}}
 \begin{array}{c}
 \text{หาค่าลอกการีทึมธรรมชาติ} \\
 \text{ของ } W \\
 \hline
 \frac{dW}{dT} \xrightarrow{\text{ของ } \frac{dW}{dT}} \ln(dW/dT)
 \end{array}
 + (n-1)\ln W = (n-1)\ln W + \ln(dW/dT)$$

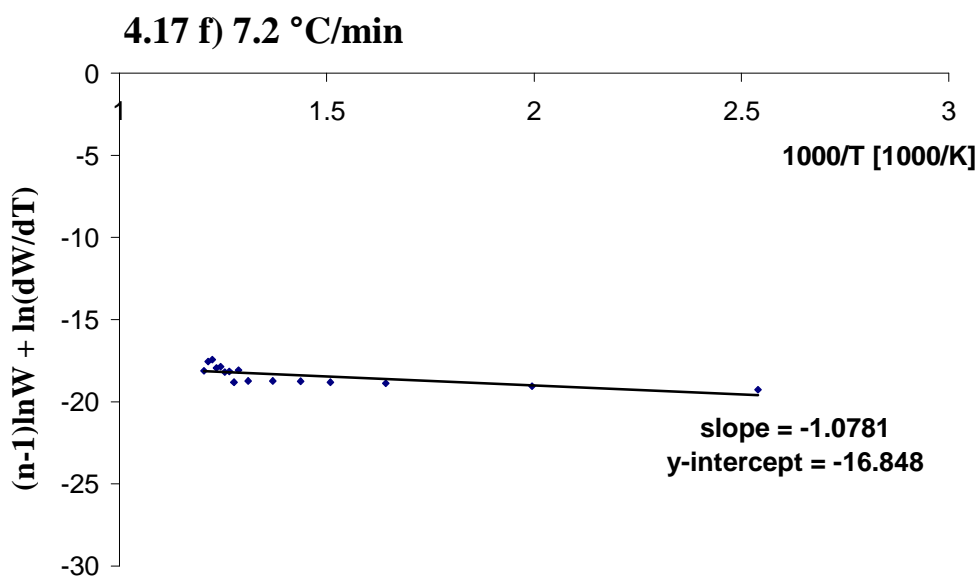
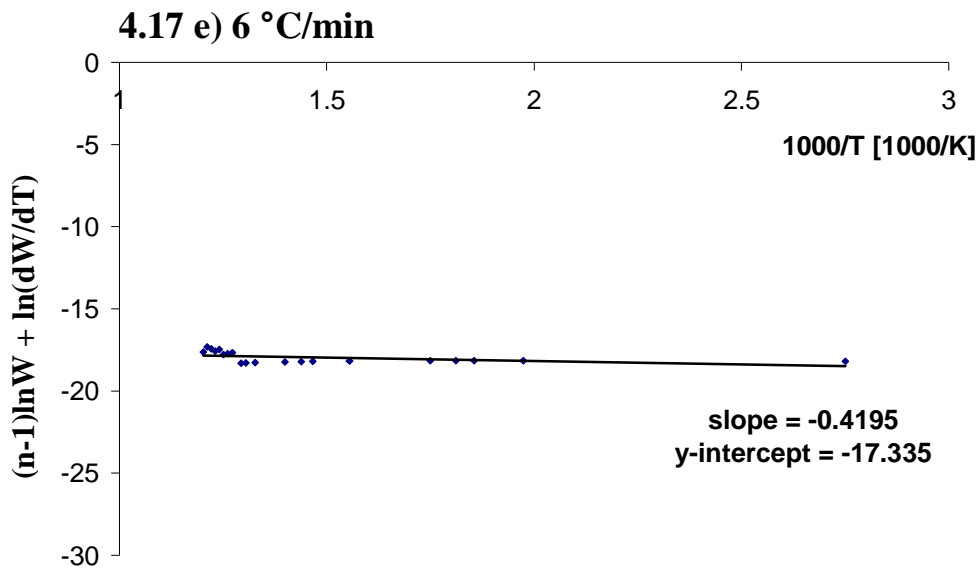
เพื่อการศึกษาจานวนผลศาสตร์ของการเกิดออกไซด์สเกล และหาค่าคงที่การเกิดปฏิกิริยา จึงต้องแบ่งปันข้อมูลในรูปของเปอร์เซ็นต์โดยหน่วยต่อเวลา (%W/ oxidation time) ให้อยู่ในรูป  $(n-1)\ln W + \ln(dW/dT)$  กับ  $1/T$  (จากสมการที่ 2.7) โดยมีขั้นตอนดังแสดงในแผนภาพด้านบน ซึ่งภายหลังการสร้างกราฟตามความสัมพันธ์นี้แล้วจะได้กราฟที่มีลักษณะดังแสดงในภาพที่ 4.17a-h) โดยมีค่าความชันเท่ากับ  $-Q/R$  และจุดตัดแกน y เท่ากับ  $\ln B/a$



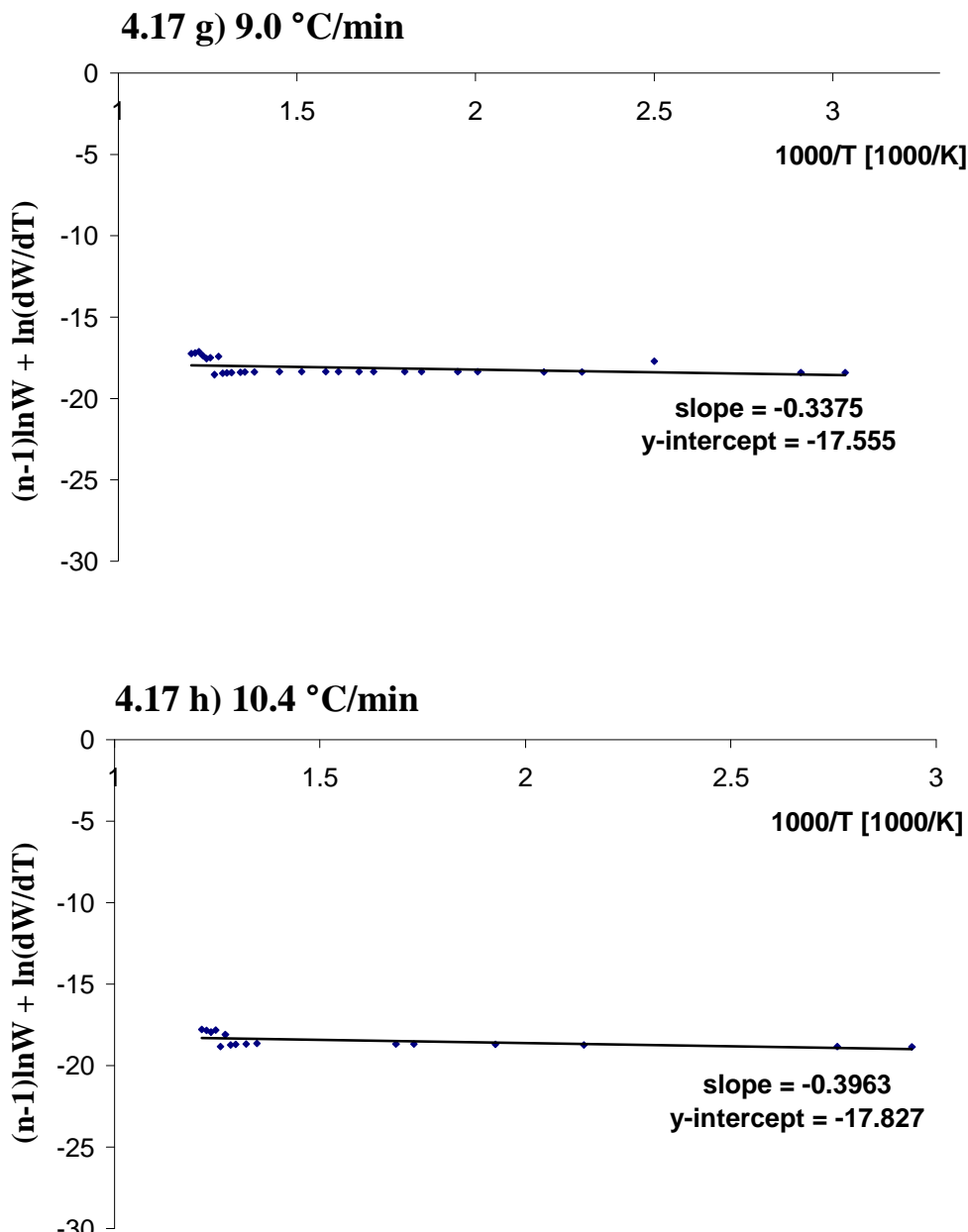
ภาพที่ 4.17 a), b) กราฟระหว่าง  $(n-1)\ln W + \ln(dW/dT)$  กับ  $1/T$  ของการจำลองการเกิดออกซิเดชันภายในไฟฟ้าเชิงตัวค้ายอตราชารเย็นตัวคงที่เท่ากับ  $0.6, 1.8 \text{ } ^\circ\text{C}/\text{min}$



ภาพที่ 4.17 c) และ d) กราฟระหว่าง  $(n-1)\ln W + \ln(dW/dT)$  กับ  $1/T$  ของการจำลองการเกิดออกซิเดชันภายในตัวอย่างอัตราการเย็นตัวคงที่เท่ากับ 3.6 และ 5.4 °C/min ตามลำดับ



ภาพที่ 4.17 e) และ f) กราฟระหว่าง  $(n-1)\ln W + \ln(dW/dT)$  กับ  $1/T$  ของการจำลองการเกิดออกซิเดชันภายในตัวอย่างอัตราการเย็นตัวคงที่เท่ากับ 6 และ 7.2 °C/min ตามลำดับ



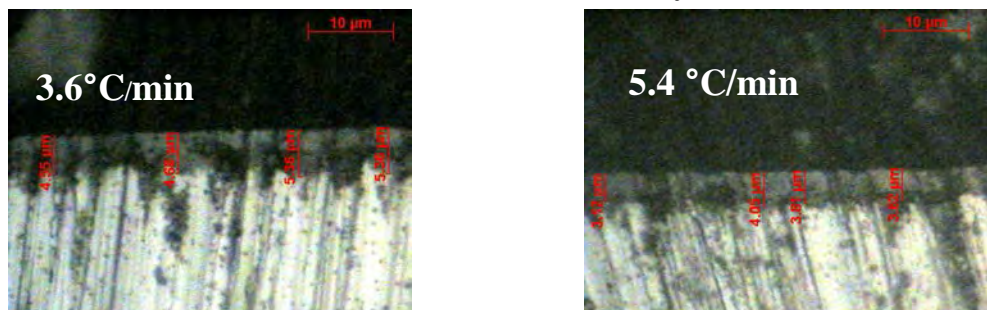
ภาพที่ 4.17 g), h) กราฟระหว่าง  $(n-1) \ln W + \ln (dW/dT)$  กับ  $1/T$  ของการจำลองการเกิดออกซิเดชันภายในไส้กระเบื้องด้วยอัตราการเย็นตัวคงที่เท่ากับ 9, 10.4 °C/min

จากภาพที่ 4.17 a)-h) พบว่าสามารถคำนวณค่าพลังงานحرดตุน ( $Q$ ) ได้จากนำค่าความชันคูณด้วยค่าคงที่ของกําช ( $R = 8.314 \text{ J/mol}$ ) และหาค่าคงที่  $B$  ได้โดยการคูณอัตราการเย็นตัวด้วย  $e^{y\text{-intercept}} (\exp(y\text{-intercept}))$  ซึ่งทั้งค่า  $Q$  และ  $B$  สามารถนำไปใช้ในสมการค่าคงที่ปฏิกิริยาสำหรับแต่ละอัตราการเย็นตัว  $k = B \exp(-Q/RT)$  (ค่าคงที่ปฏิกิริยานี้ใช้สำหรับความสัมพันธ์ระหว่าง  $W^2$  กับ  $t$ ,  $W^2=kt$ ) ดังแสดงผลการคำนวณของทุกอัตราการเย็นตัวจากอุณหภูมิเริ่มต้น 560 °C ดัง ในตารางที่ 4.3

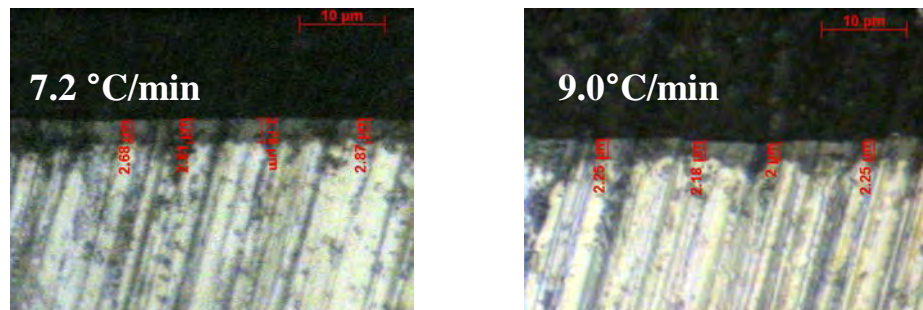
ตารางที่ 4.3 พลังงานกระตุ้น, ค่าคงที่ (B) และค่าคงที่ปฏิกิริยา ( $k$  (cooling rate)) สำหรับชิ้นงานที่เย็นตัวจากอุณหภูมิ 560, 630 และ 700 °C

initial temperature (CT), °C	cooling rate (a), °C/min	-Q/R slope	$\ln(B/a)$ y-intercept	B
560	0.6	-646	-13.473	8.45088E-07
	1.8	-2832.5	-12.984	4.13421E-06
	3.6	-424.5	-16.838	1.75248E-07
	5.4	-660.9	-17.1	2.02282E-07
	6	-629.6	-16.491	4.13239E-07
	7.2	-1078.1	-16.848	3.47008E-07
	9	-337.5	-17.555	2.13896E-07
	10.4	-396.3	-17.827	1.88307E-07
630	3.6	-1877.3	-14.922	1.19058E-06
	7.2	-1218	-17.929	1.17724E-07
	9	-1168.5	-16.183	8.43441E-07
	12.6	-759.7	-18.503	1.16043E-07
700	3.6	-699.1	-14.798	1.34776E-06
	9	-3506.2	-12.45	3.52595E-05

ภาพหลังทำการทดลอง นำชิ้นงานมาตรวจสอบโครงสร้างจุลภาค และวัดความหนาของชั้นออกไซด์สเกลที่เกิดบนผิวของชิ้นงานด้วยกล้องจุลทรรศน์แสง ที่กำลังขยาย 1200 เท่า ภาพแสดงโครงสร้างจุลภาค และความหนาของออกไซด์สเกลแสดงในภาพที่ 4.18 และ 4.18 a)-c) จากภาพพบว่าความหนาของออกไซด์สเกลลดลงเมื่ออัตราการเย็นตัวสูงขึ้น (จุดข้อมูลมีแนวโน้มลดลง สำหรับทุกๆ อุณหภูมิเริ่มต้น, CT และอุณหภูมิสุดท้าย, final ดังแสดงในภาพที่ 4.18) ซึ่งเป็นผลมาจากการเย็นตัวสูงทำให้เวลาในการเกิดออกซิเดชันน้อยลง อะตอมของเหล็ก และอะตอมของออกซิเจนมีเวลาในการเคลื่อนที่ผ่านแต่ละชั้นของสเกลที่เกิดขึ้นก่อนน้อย จึงทำให้มีโอกาสน้อยที่จะได้สเกลที่มีความหนา ในทางกลับกันความหนาของออกไซด์สเกลเพิ่มขึ้นเมื่ออุณหภูมิมีเวกันเพิ่มขึ้น (ความหนาของออกไซด์สเกลที่เย็นตัวจาก CT 700 °C สูงกว่า CT 630 °C และ CT 560 °C สำหรับทุกๆ อัตราการเย็นตัว, แสดงในภาพที่ 4.19) อธิบายได้จากค่าคงที่ปฏิกิริยาซึ่งเป็นฟังก์ชันกับอุณหภูมิ โดยที่อุณหภูมิสูงค่าคงที่ปฏิกิริยาจะมีค่าสูงนั่นหมายถึงอัตราการเกิดปฏิกิริยาที่มีค่าสูงด้วย เช่นกัน ที่อุณหภูมิเริ่มต้นสูงค่าคงที่ปฏิกิริยาที่อุณหภูมิขณะนั้นก็มีค่าสูง ดังนั้นโอกาสที่จะได้ออกไซด์สเกลที่มีความหนามากก็มากกว่าสภาพะที่เริ่มต้นที่อุณหภูมิต่ำกว่า



ภาพที่ 4.18 โครงสร้างจุลภาคแสดงความหนาชั้นของออกไซด์สเกลที่เกิดบนผิวชิ้นงานจากการเกิดออกซิเดชันภายใต้สภาพการเย็นตัวด้วยอัตราการเย็นตัวคงที่ 3.6, 5.4 °C/min จากอุณหภูมิ 560 °C



ภาพที่ 04.18 โครงการสร้างชุดภาคแสดงความหนาหันออกไชด์สเกลที่เกิดบนผิวชิ้นงานจำลองการเกิดหันออกชิเดชันภายใต้สภาวะการเย็นตัวด้วยอัตราการเย็นตัวคงที่  $7.2, 9.0 \text{ } ^\circ\text{C/min}$  จากอุณหภูมิ  $560 \text{ } ^\circ\text{C}$  (กำลังขยาย  $1200$  เท่า)

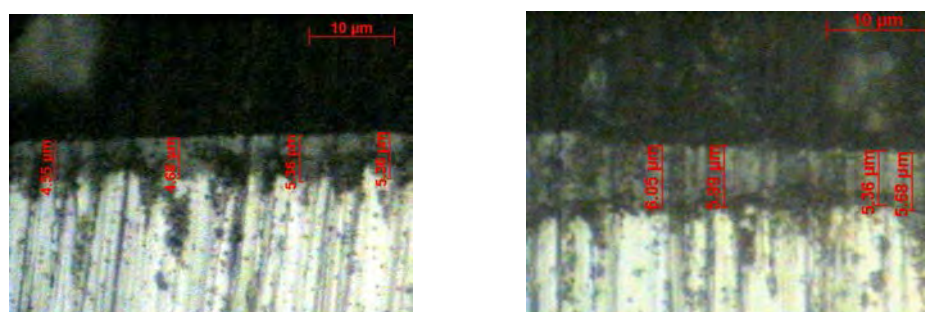


Fig4.18a) Cooling rate =  $3.6 \text{ } ^\circ\text{C/min}$ , (x1200)

ช้าๆ : Cooled from  $560 \text{ } ^\circ\text{C}$  to  $30 \text{ } ^\circ\text{C}$

ไวๆ : Cooled from  $630 \text{ } ^\circ\text{C}$  to  $30 \text{ } ^\circ\text{C}$

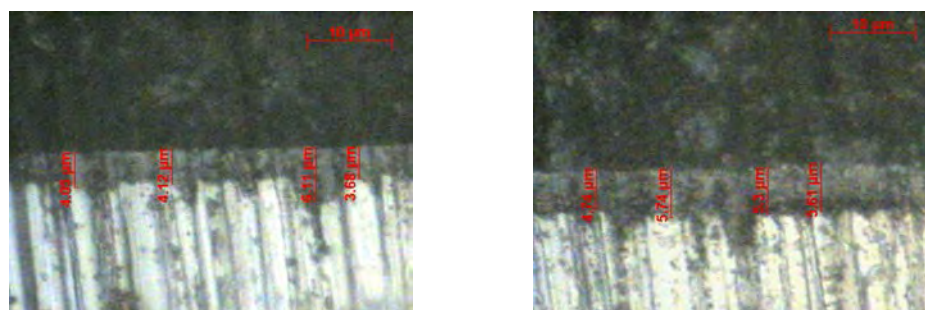


Fig4.18 b) Cooling rate =  $7.2 \text{ } ^\circ\text{C/min}$ , (x1200)

ช้าๆ : Cooled from  $560 \text{ } ^\circ\text{C}$  to  $30 \text{ } ^\circ\text{C}$

ไวๆ : Cooled from  $630 \text{ } ^\circ\text{C}$  to  $30 \text{ } ^\circ\text{C}$

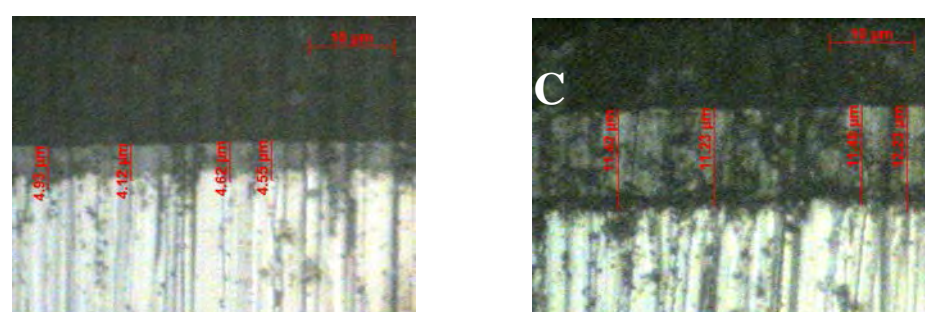
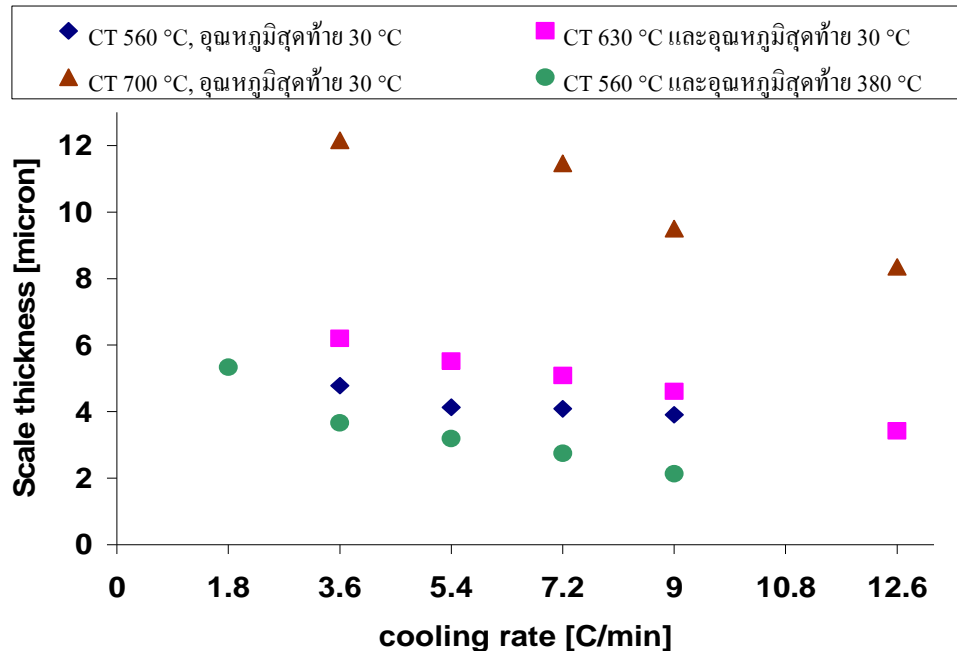


Fig4.18 c) Cooling rate =  $9.0 \text{ } ^\circ\text{C/min}$ , (x1200)

B : Cooled from  $560 \text{ } ^\circ\text{C}$  to  $30 \text{ } ^\circ\text{C}$

C : Cooled from  $700 \text{ } ^\circ\text{C}$  to  $30 \text{ } ^\circ\text{C}$



ภาพที่ 4.19 กราฟความสัมพันธ์ระหว่างความหนาของชั้นออกไซด์สเกลกับอัตราการเย็นตัว และ อุณหภูมิม้วนเก็บ (CT)

#### 4.5 คำนวณย้อนกลับเพื่อประเมินความนำเชื้อถือของผลการทดลอง

ภายหลังการทดลองจำลองการเกิดออกไซด์สเกลด้วยเทคนิคเทอร์โมกราฟิเมทริกทั้งแบบ Isothermal และ Non-isothermal oxidation แล้ว จะได้ค่าคงที่ปฏิกิริยาของแต่ละการทดลอง ซึ่งสามารถนำมาใช้ในการคำนวณย้อนกลับหาหนาแนกที่เพิ่มขึ้นจากการเกิดออกไซด์สเกลในการทดลองนั้นๆ ได้ จากตารางที่ 4.3 และ 4.4 พบร่วมกับผลการคำนวณย้อนกลับมีค่าใกล้เคียงกับผลการทดลองจริง ดังนั้นจึงสามารถนำค่าคงที่ปฏิกิริยาเหล่านี้ไปใช้ในการสร้างสมการทำนายปริมาณออกไซด์สเกลในหัวข้อถัดไปได้

ตารางที่ 4.4 ใช้ค่า  $k = B \exp(-Q/RT)$  ของแต่ละอัตราการเย็นตัวคำนวณหนาแนกที่เพิ่มขึ้น เทียบ กับผลจากการทดลองของอัตราการเย็นตัวนั้นๆ (Non-isothermal)

cooling rate [°C/min]	W [mg/mm <sup>2</sup> ]	
	TGA	Calculate
0.6	0.01335	0.0156
1.8	0.00397	0.0035
3.6	0.00319	0.0036
5.4	0.00195	0.00252
7.2	0.00158	0.00197
9	0.00214	0.00259

ตารางที่ 4.5 ใช้สมการ  $k = 0.13 \exp(-4305.2/T)$  คำนวณหน้าหนักที่เพิ่มขึ้น เทียบกับผลจากการทดลอง (Isothermal)

Temp		Oxidation time [min]	W [mg/mm <sup>2</sup> ]	
[°C]	[K]		TGA	Calculate
500	773	120	0.00231	0.005429303
	773	360	0.01458	0.009403828
560	833	120	0.01024	0.008108987
	833	180	0.009	0.009931441
600	873	120	0.00716	0.010275678
	873	360	0.01248	0.017797996

#### 4.6 สมการทำนายปริมาณสเกล

$$W = k_n^* t^{1/2} \quad (4.3.1)$$

$$W^2 = k_n t \quad (4.3.2)$$

$$W_{total} = \Sigma(W_n) \quad (4.4)$$

$$W_{total} = \sum \left[ B_n t^{1/2} \exp\left(\frac{-Q_n}{RT}\right) \right] \quad (4.5.1)$$

$$W_{total} = \sum \left[ B_n t \exp\left(\frac{-Q_n}{RT}\right) \right]^{1/2} \quad (4.5.2)$$

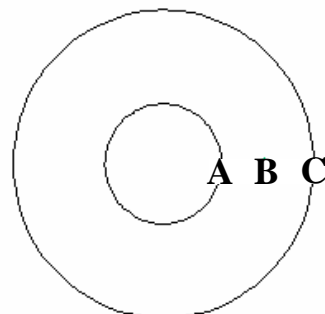
จากความสัมพันธ์ระหว่างปริมาณออกไซด์สเกลที่เกิดขึ้นกับเวลาในสมการที่ 4.3 (4.3.1 สำหรับการทดลองแบบ Isothermal oxidation และ 4.3.2 สำหรับการทดลองแบบ Non-isothermal oxidation) และสมการที่ 4.4-4.5 (4.5.1 สำหรับการทดลองแบบ Isothermal oxidation และ 4.5.2 สำหรับการทดลองแบบ Non-isothermal oxidation) ซึ่งปริมาณออกไซด์สเกลทั้งหมดที่เกิดขึ้นระหว่างการเย็นตัว มีค่าเท่ากับรวมของปริมาณออกไซด์สเกลที่เกิดขึ้นในแต่ละช่วงเวลา (ภาพที่ 4.11A) ดังนั้นจึงสามารถสร้างสมการทำนายปริมาณออกไซด์สเกลทั้งหมดที่เกิดขึ้นระหว่างการเย็นตัวภายหลังการม้วนเก็บจนถึงถึง ณ อุณหภูมิที่สนใจได้ โดย

1. ใช้อุณหภูมิเฉลี่ย (จุด c จากภาพที่ 4.11A) ของแต่ละช่วงเวลาที่กำหนดให้มีอัตราการเย็นตัวคงที่ (การเย็นตัวแบบขั้นบันได) ดังที่แสดงไว้ในหัวข้อ 4.3.2 ประกอบกับค่าคงที่ปฏิกิริยา สำหรับแต่ละอัตราการเย็นตัวที่แสดงไว้ในตารางที่ 4.3 หรือ

2. ใช้อุณหภูมิเฉลี่ยเหล่านี้ ร่วมกับค่าคงที่ปฏิกิริยาที่เป็นฟังก์ชันกับอุณหภูมิ ที่คำนวณได้จาก การทดลองแบบ Isothermal oxidation ดังนี้

ตารางที่ 4.6 การเย็นตัวแบบขั้นบันได (อัตราการเย็นตัวคงที่ในช่วงเวลาหนึ่งๆ) ณ ตำแหน่ง A

most fit cooling profile for position A				
Temp range [°C]	cooling rate [°C/min]	oxidation time [min]	average temp	
			[°C]	[K]
560-558	-10.4	0.10	559.00	832.00
558-552	-9.0	0.50	556.00	829.00
552-548	-7.2	0.90	550.00	823.00
548-541	-5.4	1.00	545.00	818.00
541-531	-3.6	1.50	537.00	810.00
531-511	-1.8	10.00	524.00	797.00
511-373	-0.6	166.00	422.00	695.00



ในการนี้ที่ต้องการทำนายปริมาณออกไซด์สเกลที่เกิดขึ้นระหว่างการเย็นตัวจากอุณหภูมิ 560 °C ถึงอุณหภูมิ 380 °C ณ ตำแหน่ง A แบบที่ 1 เริ่มด้วยการเลือกกราฟอัตราการเย็นตัวเฉลี่ยแบบขั้นบันไดซึ่งแสดงในภาพที่ 4.11A เพื่อความสะดวกในการอ่านค่าให้รวมไว้ในตารางที่ 4.6 อันประกอบไปด้วยอัตราการเย็นตัวเฉลี่ย ช่วงเวลาที่ใช้อัตราการเย็นตัวเฉลี่ยนี้เป็นตัวแทนอัตราการเย็นตัวจริง และอุณหภูมิเฉลี่ยในแต่ละช่วงเวลา จากนั้นเลือกค่าคงที่ B และ  $-Q/R$  ของอัตราการเย็นตัวที่ต้องการ (อัตราการเย็นตัวเฉลี่ยในตารางที่ 4.5) จากตารางที่ 4.2 แล้วใช้ความสัมพันธ์ดังสมการที่ 4.3.2 เพื่อคำนวณปริมาณออกไซด์สเกลที่เกิดขึ้นในแต่ละช่วงเวลา ผลการคำนวณแสดงโดยสรุปในตารางที่ 4.7

ตารางที่ 4.7 แสดงการคำนวณน้ำหนักที่เปลี่ยนไปต่อหน่วยพื้นที่ของการเย็นตัวตำแหน่ง A แบบที่ 1

cooling rate [ $^{\circ}\text{C}/\text{min}$ ]	B	Temp [K]	$\exp(-Q/RT)$	Oxidation time [min]	$\frac{W^2}{B*t*\exp(-Q/RT)}$	W [ $\text{mg/mm}^2$ ] [ $\times 10^{-3}$ ]
0.6	8.45088E-07	695	0.39475	166.00	5.53777E-05	7.441617
1.8	4.13421E-06	797	0.02861	10.00	1.18285E-06	1.087591
3.6	1.75248E-07	810	0.59210	1.50	1.55647E-07	0.394521
5.4	2.02282E-07	818	0.44577	1.00	9.0172E-08	0.300286
7.2	3.47008E-07	823	0.26983	0.90	8.42697E-08	0.290293
9	2.13896E-07	829	0.66557	0.50	7.1181E-08	0.266798
10.4	1.88307E-07	832	0.62106	0.10	1.1695E-08	0.108144

จากนั้นใช้ความสัมพันธ์ในสมการที่ 4.5.2 เพื่อคำนวณน้ำหนักที่เพิ่มขึ้นต่อหน่วยพื้นที่จาก การเกิดออกซิเดชันระหว่างการเย็นตัวจาก 560 °C ถึง 380 °C ณ ตำแหน่ง A ดังนี้

$$W_{total} = \sum \left[ \sqrt{W} \right] = \sum \left[ B_n t \exp \left( \frac{-Q_n}{RT} \right) \right]^{1/2}$$

$$\begin{aligned} W_{total} &= (7.441617 + 1.087591 + 0.394521 + 0.300286 + 0.290293 + 0.266798 + 0.108144) \times 10^{-3} \\ &= 9.8892 \times 10^{-3} \text{ mg/mm}^2 \end{aligned}$$

น้ำหนักที่เพิ่มขึ้นต่อหน่วยพื้นที่ระหว่างการเย็นตัวจาก 560°C ถึง 380°C ณ ตำแหน่ง A มีค่าเท่ากับ  $9.8892 \times 10^{-3} \text{ mg/mm}^2$

ในกรณีที่ต้องการทำนายปริมาณออกไซด์สเกลที่เกิดขึ้น ณ ตำแหน่ง A แบบที่ 2 เริ่มด้วยการเลือกกราฟอัตราการเย็นตัวเฉลี่ยแบบขั้นบันไดซึ่งแสดงในภาพที่ 4.11A หรือ ตารางที่ 4.6 ซึ่งจะใช้เวลาช่วงเวลา (Oxidation time) กับอุณหภูมิกองที่ในแต่ละช่วงเวลา จากนั้นหาค่าคงที่ปฏิกิริยาของแต่ละอุณหภูมิกองที่ ด้วยความสัมพันธ์ที่คำนวณได้จากการทดลองแบบ Isothermal oxidation

$$k [\text{mg/mm}^2 \text{ min}^{0.5}] = 0.13 \exp(-4305.2/T)$$

ผลการคำนวณแสดงโดยสรุปในตารางที่ 4.8

ตารางที่ 4.8 แสดงการคำนวณน้ำหนักที่เปลี่ยนไปต่อหน่วยพื้นที่ของการเย็นตัวตำแหน่ง A แบบที่ 2

Temp range [°C]	average temp		Oxidation time [min]	k(T)	W=kt <sup>1/2</sup>
	[°C]	[K]			
560-558	559.00	832.00	0.10	0.0007357	0.000232637
558-552	556.00	829.00	0.50	0.000722	0.000510541
552-548	550.00	823.00	0.90	0.0006952	0.000659514
548-541	545.00	818.00	1.00	0.0006733	0.000673312
541-531	537.00	810.00	1.50	0.0006392	0.000782865
531-511	524.00	797.00	10.00	0.0005861	0.00185349
511-373	422.00	695.00	166.00	0.0002653	0.003417796

จากนั้นใช้ความสัมพันธ์ในสมการที่ 4.5.1 เพื่อคำนวณน้ำหนักที่เพิ่มขึ้นต่อหน่วยพื้นที่จากการเกิดออกซิเดชัน

$$W_{total} = \sum \left[ B_n t^{1/2} \exp\left(\frac{-Q_n}{RT}\right) \right]$$

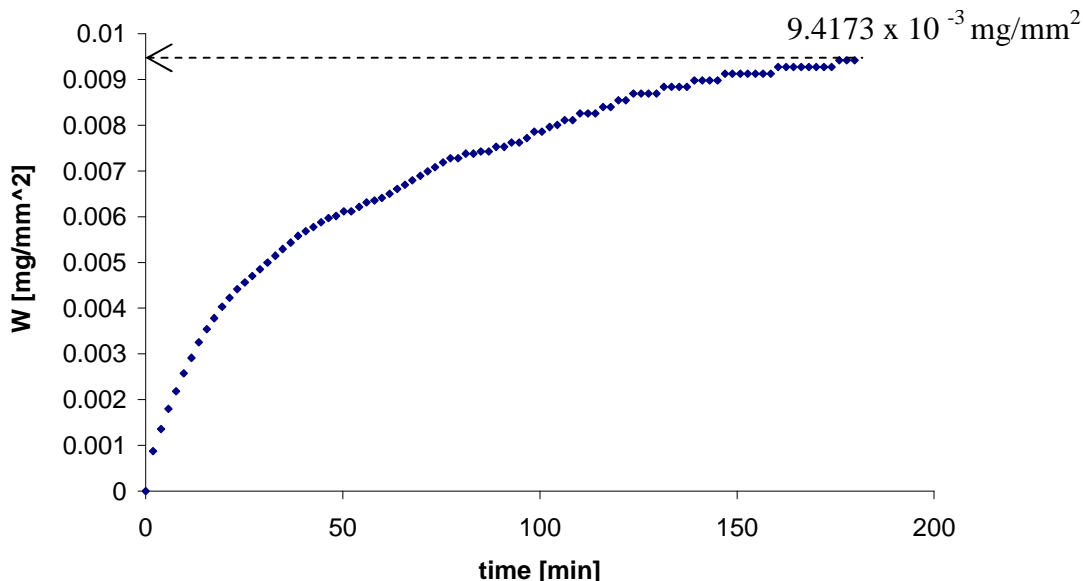
$$\begin{aligned} W_{total} &= (0.232637 + 0.510541 + 0.659514 + 0.673312 + 0.782865 + 1.853492 + 3.417796) \times 10^{-3} \\ &= 8.13 \times 10^{-3} \text{ mg/mm}^2 \end{aligned}$$

จากนั้นนำผลที่ได้จากการคำนวณโดยสมการเทียบกับผลจากการทดลองการเกิดออกซิเดชันภายใต้สภาวะการเย็นตัวต่อเนื่อง ซึ่งใช้ชุดอัตราการเย็นตัวในภาพที่ 4.11A เป็นสภาวะการทดลองดังแสดงในภาพที่ 4.20 ซึ่งมีปริมาณน้ำหนักต่อหน่วยพื้นที่ ( $W_{total}$ ) ที่เพิ่มขึ้นจากการเกิดออกซิเดชันมีค่าเท่ากับ  $9.4173 \times 10^{-3} \text{ mg/mm}^2$  พนวณผลที่ได้จากการคำนวณแบบที่ 1 (ใช้ค่าคงที่ปฏิกิริยาแบบ non-isothermal oxidation) มีความใกล้เคียงกับผลการทดลองจริง และมีความคลาดเคลื่อนจากผลการทดลองเพียง 5.01%

$$\frac{9.8892 \times 10^{-3} - 9.4173 \times 10^{-3}}{9.4173 \times 10^{-3}} \times 100 = 5.01\%$$

ในขณะที่ผลที่ได้จากการคำนวณแบบที่ 2 (ใช้ค่าคงที่ปฏิกิริยาแบบ Isothermal oxidation) มีความคลาดเคลื่อนจากผลการทดลอง 13.67%

$$\frac{9.4173 \times 10^{-3} - 8.13 \times 10^{-3}}{9.4173 \times 10^{-3}} \times 100 = 13.67\%$$



ภาพที่ 4.20 กราฟระหว่างน้ำหนักต่อหน่วยพื้นที่ (W) ที่เปลี่ยนไปเมื่อเวลาในการออกซิเดชันเพิ่มขึ้น

จากผลการตรวจวิเคราะห์ด้วยเทคนิค XRD ในหัวข้อ 4.7 แสดงให้เห็นว่าออกไซด์สเกลที่เกิดขึ้นมีลักษณะของแมgnีติตมากกว่า hematite ดังนั้นถ้าใช้สมมติฐานว่าปริมาณออกไซด์สเกลที่เกิดขึ้นทั้งหมดคือแมgnีติต จะสามารถหาค่าความหนาของออกไซด์สเกลได้ ดังนี้

$$\rho = \frac{m}{V} = \frac{m}{A * h} = \frac{W}{h} \quad (4.6)$$

เมื่อ  $\rho$  = ความหนาแน่นของออกไซด์สเกล [ $\text{mg}/\text{mm}^3$ ]

$m$  = น้ำหนักของออกไซด์สเกล [ $\text{mg}$ ]

$V$  = ปริมาตรของออกไซด์สเกล [ $\text{mm}^3$ ]

$A$  = พื้นที่ผิวของชิ้นงาน [ $\text{mm}^2$ ]

$h$  = ความหนาของสเกล [ $\text{mm}$ ]

$W$  = น้ำหนักต่อหน่วยพื้นที่ของออกไซด์สเกล [ $\text{mg}/\text{mm}^2$ ]

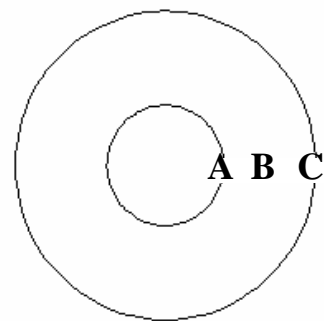
ความหนาของออกไซด์สเกลที่เกิดระหว่างการเย็นตัวจาก  $560^{\circ}\text{C}$  ถึง  $380^{\circ}\text{C}$  ที่ตำแหน่ง A ที่ประมาณจากสมการทำนายความหนาของออกไซด์สเกลแบบที่ 1 จะมีค่าเท่ากับ (ค่าความหนาแน่นของเอมาタイトเท่ากับ  $5.18 \text{ mg/mm}^3$ )

$$\begin{aligned} \text{ความหนาของออกไซด์สเกล} &= \frac{9.8892 \times 10^{-3}}{5.18} \\ &= 1.91 \text{ มิลลิเมตร} \end{aligned}$$

ในการนี้ที่ต้องการทำนายปริมาณออกไซด์สเกลที่เกิดขึ้นระหว่างการเย็นตัว จากอุณหภูมิ  $560^{\circ}\text{C}$  ถึงอุณหภูมิ  $380^{\circ}\text{C}$  ณ ตำแหน่งอื่นๆ เช่น ตำแหน่ง C เริ่มด้วยการเลือกราฟอัตราการเย็นตัวเฉลี่ยแบบขั้นบันไดซึ่งแสดงในภาพที่ 4.11C เพื่อความสะดวกในการอ่านค่าให้รวมไว้ในตารางที่ 4.9 อันประกอบไปด้วยอัตราการเย็นตัวเฉลี่ย, ช่วงเวลาที่ใช้อัตราการเย็นตัวเฉลี่ยนั้นเป็นตัวแทนอัตราการเย็นตัวจริง และอุณหภูมิเฉลี่ยในแต่ละช่วงเวลา จากนั้นเลือกค่าคงที่ B และ  $-Q/R$  ของอัตราการเย็นตัวที่ต้องการ (อัตราการเย็นตัวเฉลี่ยในตารางที่ 4.9) จากตารางที่ 4.3 แล้วใช้ความสัมพันธ์ดังสมการที่ 4.3.2 เพื่อคำนวณปริมาณออกไซด์สเกลที่เกิดขึ้นในแต่ละช่วงเวลา ผลการคำนวณแสดงโดยสรุปในตารางที่ 4.10

ตารางที่ 4.9 การเย็นตัวแบบขั้นบันได (อัตราการเย็นตัวคงที่ในช่วงเวลาหนึ่งๆ) ณ ตำแหน่ง C

most fit cooling profile for position C		
cooling rate [C/min]	oxidation time [min]	average temperature [C]
-9.0	0.24	558.75
-7.2	1.47	550.12
-3.6	3.78	525.41
-1.8	8.35	499.30
-0.9	41.35	459.40
-0.6	124.81	380.83



ตารางที่ 4.10 แสดงการคำนวณน้ำหนักที่เปลี่ยนไปต่อหน่วยพื้นที่ของการเย็นตัวตำแหน่ง C แบบที่ 1

Cooling rate [ $^{\circ}\text{C}/\text{min}$ ]	B	Temp [K]	$\exp(-Q/RT)$	Oxidation time [min]	$W^2$ $B*t*\exp(-Q/RT)$	W [ $\text{mg/mm}^2$ ] [ $\times 10^{-3}$ ]
0.6	8.45088E-07	653.83	0.37231	166.16	5.22802E-05	7.230508
1.8	4.13421E-06	772.30	0.02554	8.35	8.81545E-07	0.938906
3.6	1.75248E-07	798.41	0.58761	3.78	3.89257E-07	0.623905
7.2	3.47008E-07	823.12	0.26988	1.47	1.37667E-07	0.371034
9	2.13896E-07	831.75	0.66646	0.24	3.46745E-08	0.186211

จากนั้นใช้ความสัมพันธ์ในสมการที่ 4.4-4.5 เพื่อคำนวณน้ำหนักที่เพิ่มขึ้นต่อหน่วยพื้นที่จาก การเกิดออกซิเดชันระหว่างการเย็นตัวจาก 560°C ถึง 380°C ณ ตำแหน่ง C ดังนี้

$$W_{total} = \sum \left[ \sqrt{W} \right] = \sum \left[ B_n t \exp \left( \frac{-Q_n}{RT} \right) \right]^{1/2}$$

$$\begin{aligned} W_{total} &= (7.230508 + 0.938906 + 0.623905 + 0.371034 + 0.186211) \times 10^{-3} \text{ mg/mm}^2 \\ &= 9.350564 \times 10^{-3} \text{ mg/mm}^2 \end{aligned}$$

น้ำหนักที่เพิ่มขึ้นต่อหน่วยพื้นที่ระหว่างการเย็นตัวจาก 560°C ถึง 380°C ณ ตำแหน่ง C มี ค่าเท่ากับ  $9.350564 \times 10^{-3} \text{ mg/mm}^2$

สำหรับการทำนายปริมาณออกไซด์สเกลที่เกิดขึ้น ณ ตำแหน่ง C แบบที่ 2 เริ่มด้วยการเลือก กราฟอัตราการเย็นตัวเฉลี่ยแบบขั้นบันไดซึ่งแสดงในภาพที่ 4.11C หรือ ตารางที่ 4.9 ซึ่งจะใช้เวลาช่วงเวลา (Oxidation time) กับอุณหภูมิกองที่ในแต่ละช่วงเวลา จากนั้นหาค่าคงที่ปฏิกิริยาของแต่ละ อุณหภูมิกองที่ ด้วยความสัมพันธ์ที่คำนวณได้จากการทดลองแบบ Isothermal oxidation ผลการ คำนวณแสดงโดยสรุปในตารางที่ 4.11

ตารางที่ 4.11 การคำนวณน้ำหนักที่เปลี่ยนไปต่อหน่วยพื้นที่ของการเย็นตัวตำแหน่ง C แบบที่ 2

average temp [°C]	Oxidation time [min]	k(T)	$W=kt^{1/2}$
[K]			
559	832	0.24	0.000735662
556	829	1.47	0.000722014
550	823	3.78	0.000695189
545	818	8.35	0.000673312
537	810	41.35	0.000639207
524	797	124.81	0.000586125

จากนั้นใช้ความสัมพันธ์ในสมการที่ 4.5.1 เพื่อคำนวณน้ำหนักที่เพิ่มขึ้นต่อหน่วยพื้นที่จาก การเกิดออกซิเดชัน

$$W_{total} = \sum \left[ B_n t^{1/2} \exp \left( \frac{-Q_n}{RT} \right) \right]$$

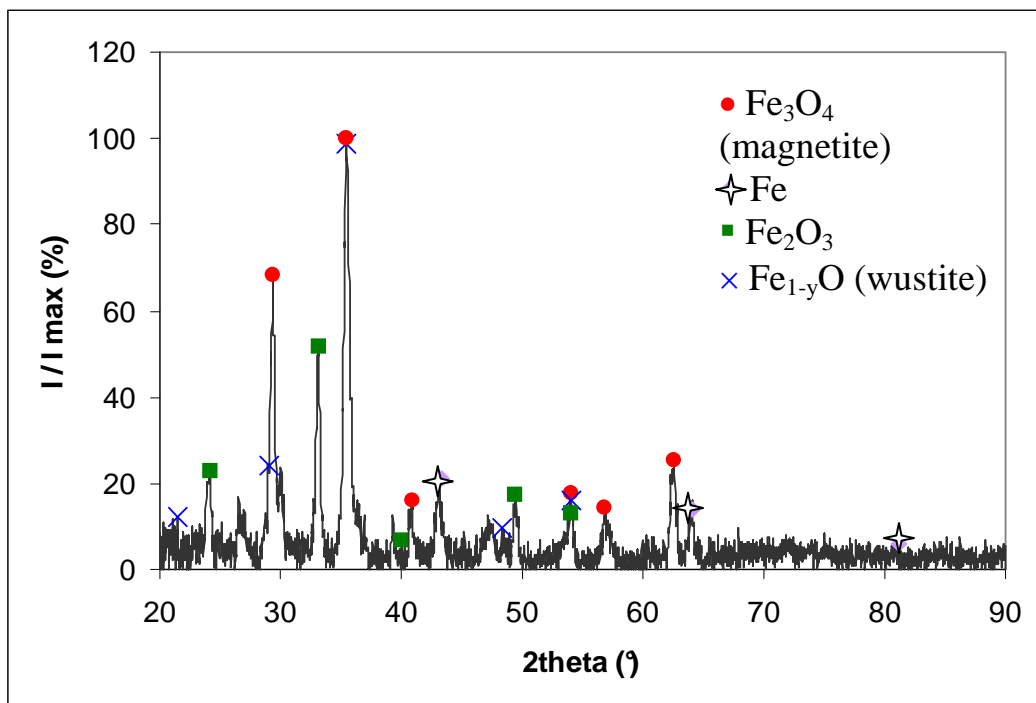
$$\begin{aligned} W_{total} &= (0.3604 + 0.8754 + 1.3516 + 1.9456 + 4.1104 + 6.5481) \times 10^{-3} \\ &= 15.1915^{-3} \text{ mg/mm}^2 \end{aligned}$$

จากผลการคำนวณปริมาณออกไซด์สเกลที่เกิดขึ้นโดยสมการทำนายปริมาณออกไซด์สเกล ที่ ตำแหน่ง A และ C ในแบบที่ 1 และ แบบที่ 2 พบว่าการคำนวณโดยใช้ค่าคงที่ปฏิกิริยาที่ได้จากการ ทดลองแบบ Non-isothermal oxidation หรือ แบบที่ 1 นั้น มีแนวโน้มของปริมาณออกไซด์สเกลที่

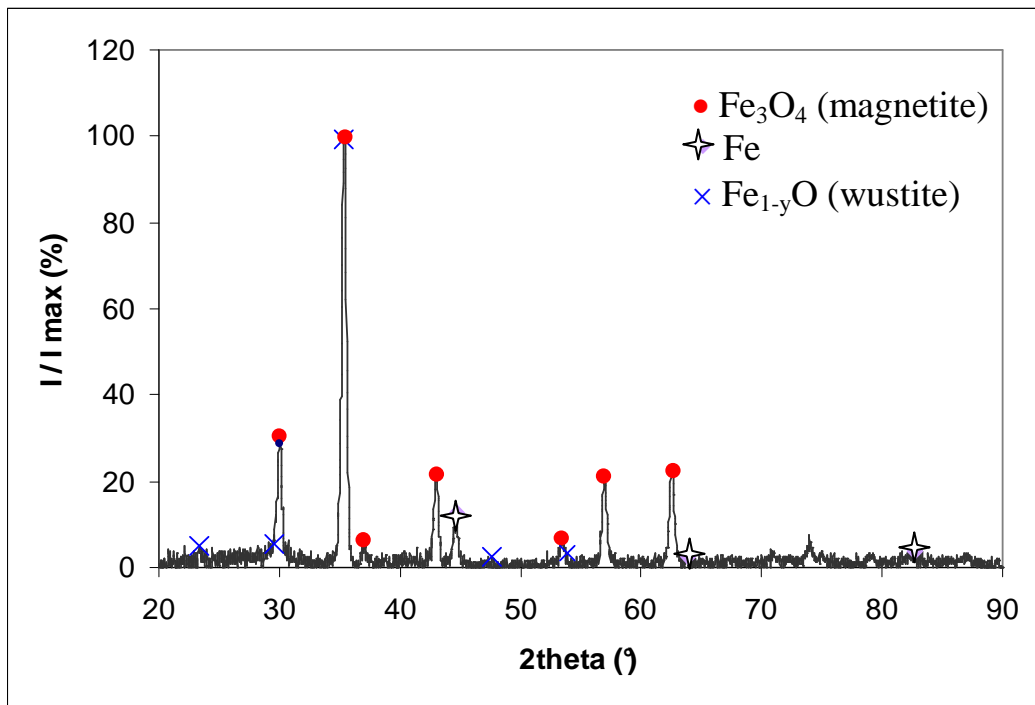
เพิ่มขึ้นที่ตำแหน่ง A และ C ตรงกับความเป็นจริง กล่าวคือ ที่ตำแหน่ง A มีความปริมาณออกไซด์สเกลที่เพิ่มขึ้นมากกว่าในตำแหน่ง C ในขณะที่การคำนวณโดยใช้ค่าคงที่ปฏิกิริยาแบบ Isothermal oxidation ให้ผลการคำนวณที่ผิดไปจากความเป็นจริง ดังนั้นสมการทำนายปริมาณออกไซด์สเกลแบบที่ 1 จึงมีความน่าเชื่อถือมากกว่า

#### 4.7 ผลการวิเคราะห์ออกไซด์สเกลที่ผิวของชิ้นงาน

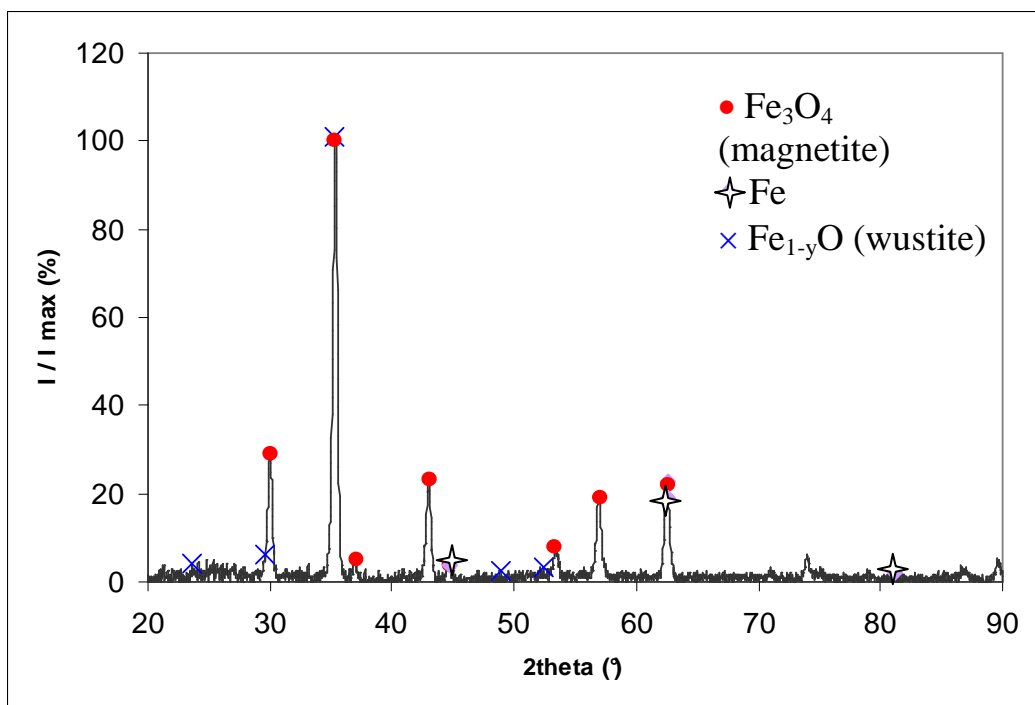
##### 4.7.1 วิเคราะห์ออกไซด์สเกลบนเหล็กแผ่นรีดร้อน เกรด HR1 (ตัวอย่างจากโรงงาน)



ภาพที่ 4.21 ชนิดของ oxide บริเวณขอบแผ่น



ภาพที่ 4.22 ชนิดของ oxide บริเวณ 1/4 ความกว้างของแผ่น



ภาพที่ 4.23 ชนิดของ oxide บริเวณกึ่งกลางแผ่น

ผลการวิเคราะห์ออกไซด์สเกลที่ผิวของชิ้นงานจากเครื่อง XRD ทำให้ทราบว่าโครงสร้างสเกลบนบริเวณขอบแผ่นนั้นแตกต่างจากบริเวณอื่นๆ คือมีเขม่าタイトพสมอยู่ด้วย ในขณะที่บริเวณอื่น

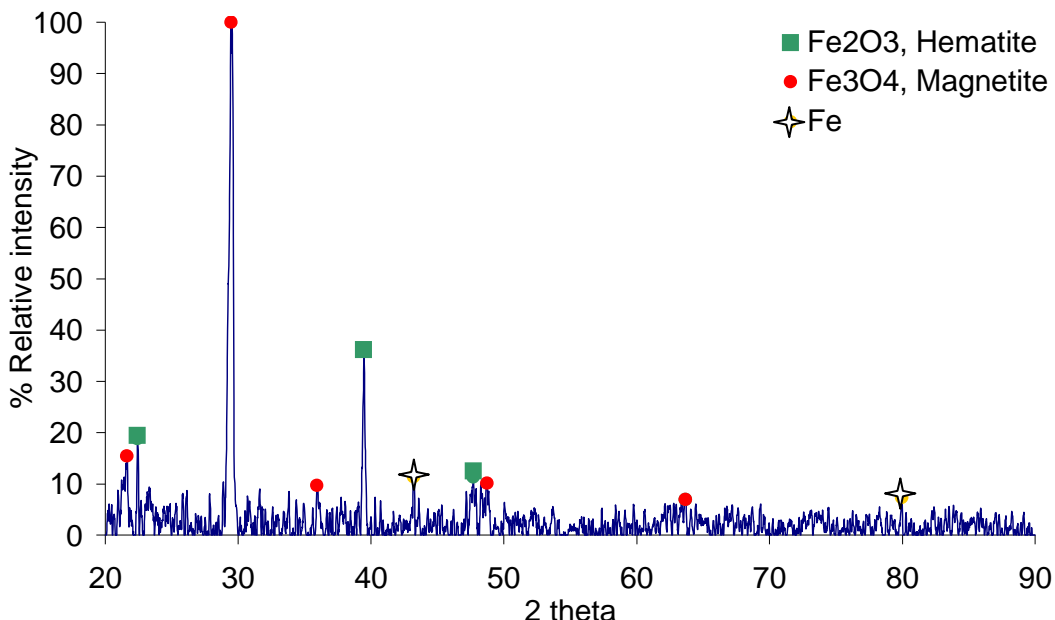
จะพบแต่เหล็ก และแมกนีไടต์ ดังภาพที่ 1-3 ส่วน  $Fe_{1-y}O$  นี้คือ วุส్టైต แต่สัดส่วนของสารประกอบไม่ตรงตามแผนภูมิสมดุล เนื่องจากปริมาณออกไซด์ในเหล็ก และการเย็นตัวที่รวดเร็ว

#### 4.7.2 วิเคราะห์ออกไซด์สเกลบนเหล็กแผ่นรีดร้อน เกรด HR1 ที่ผ่านการจำลองการเกิดออกซิเดชันด้วยเทคนิค TGA

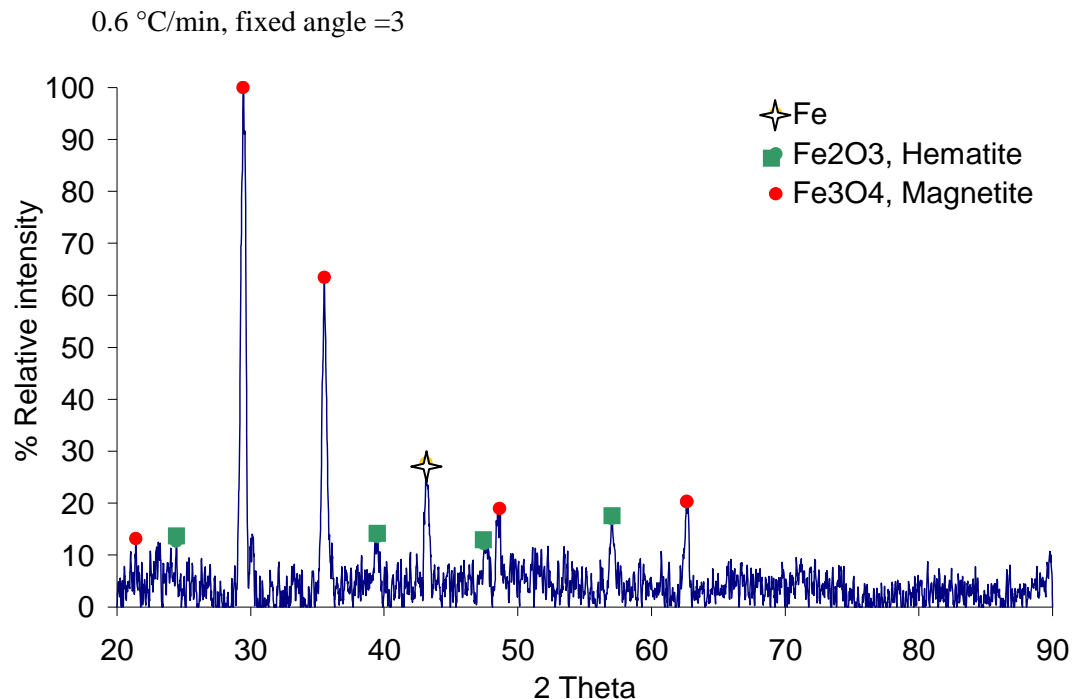
ผลการวิเคราะห์ออกไซด์สเกลที่เกิดบนผิวชิ้นงานที่ผ่านการจำลองการเกิดออกซิเดชันด้วยเทคนิค TGA ในสภาวะ non-isothermal ทำให้ทราบว่ามีออกไซด์สเกล 2 ชนิด ได้แก่ เอมาไทด์ และแมกนีไடต์ โดยมีแมกนีไตต์ในสัดส่วนที่มากกว่า<sup>[4]</sup> และที่อัตราการเย็นตัวต่ำเอมาไทด์จะมีปริมาณมากกว่าที่อัตราการเย็นตัวสูง (เทียบค่า relative intensity กับ magnetite) อีกทั้งไม่พบวุส్టైต เนื่องจากวุส్టైตไม่เสถียรที่อุณหภูมิต่ำกว่า 570 °C

สำหรับสภาวะ isothermal oxidation จะเห็นว่าถึงแม้จะทำการทดลองที่อุณหภูมิ 600 °C แต่ก็ไม่พบวุส్టైต ซึ่งน่าจะเป็นผลมาจากการแยกตัวของออกไซด์สเกลกับผิวเหล็กในขณะการออกซิเดชัน ทำให้ปริมาณ iron flux ลดน้อยลง ดังนั้นวุส్టైตที่อาจจะเกิดขึ้นมาแล้วจึงถูกออกซิไดซ์กลายเป็นแมกนีไตต์ที่อยู่ต่อระหว่างวุส్టైตกับแมกนีไตต์<sup>[13]</sup> ซึ่งการแยกตัวของออกไซด์สเกลกับผิวเหล็กนี้ยืนยันได้จากการทดลอง isothermal oxidation ที่ 700 °C และออกไซด์สเกลหลุดออกอย่างง่ายดายในขณะนำชิ้นงานออกจากเตา

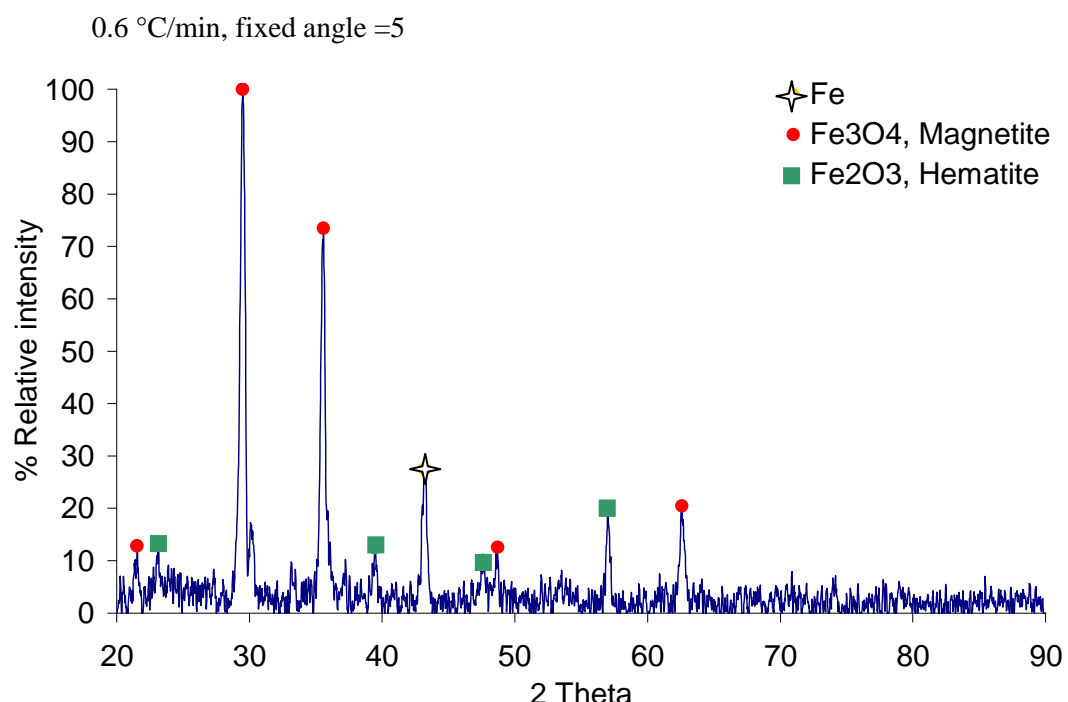
0.6 °C/min, fixed angle = 1



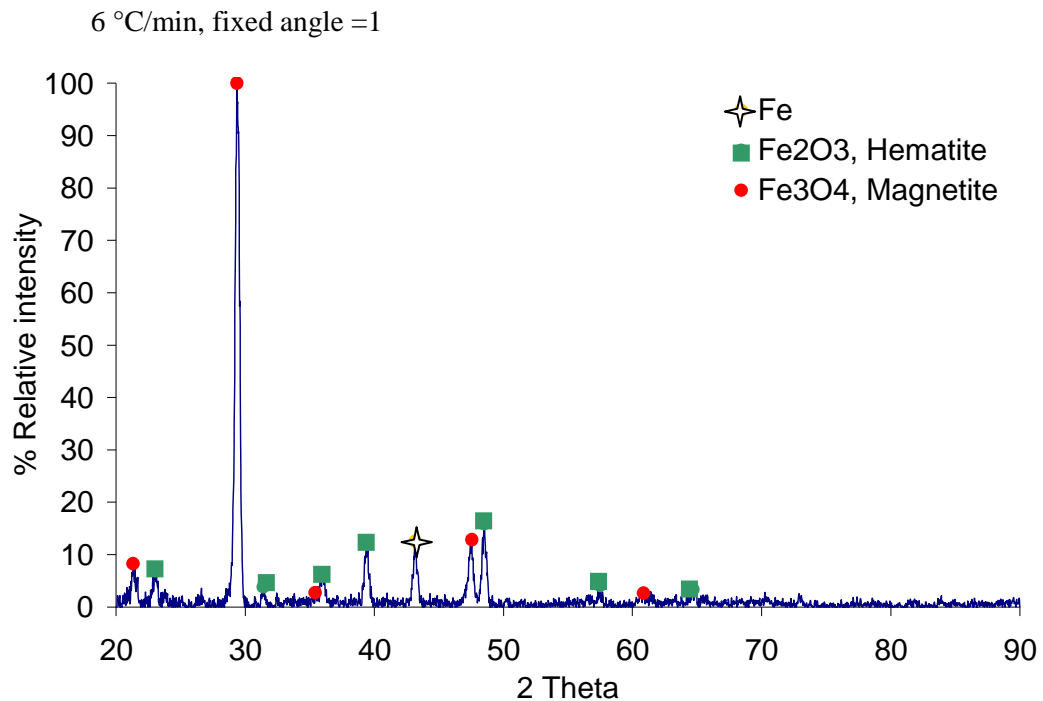
ภาพที่ 4.24 ชนิดของออกไซด์สเกลบนเหล็กแผ่นที่เย็นตัวจากอุณหภูมิ 560 °C ด้วยอัตราการเย็นตัว 0.6 °C/min, fixed angle = 1



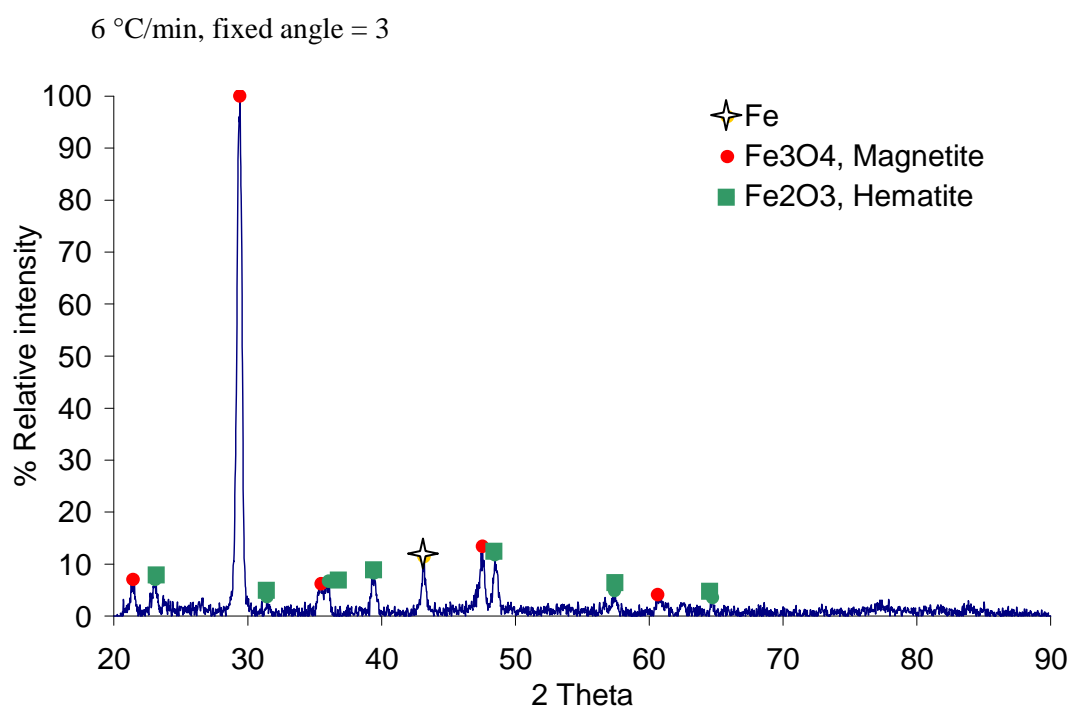
ภาพที่ 4.25 ชนิดของอوكไซด์สเกลบนเหล็กแผ่นที่เย็นตัวจากอุณหภูมิ 560 °C ด้วยอัตราการเย็นตัว 0.6 °C/min, fixed angle = 3



ภาพที่ 4.26 ชนิดของออกไซด์สเกลบนเหล็กแผ่นที่เย็นตัวจากอุณหภูมิ 560 °C ด้วยอัตราการเย็นตัว 0.6 °C/min, fixed angle = 5

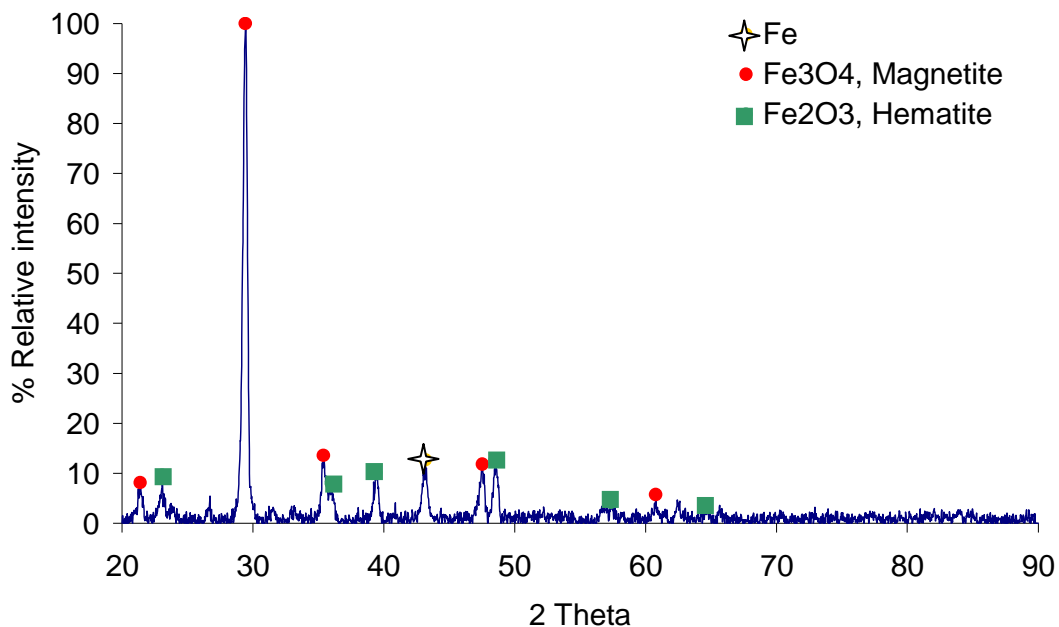


ภาพที่ 4.27 ชนิดของออกไซด์สเกลบนเหล็กแผ่นที่เย็นตัวจากอุณหภูมิ 560 °C ด้วยอัตราการเย็นตัว 6 °C/min, fixed angle = 1



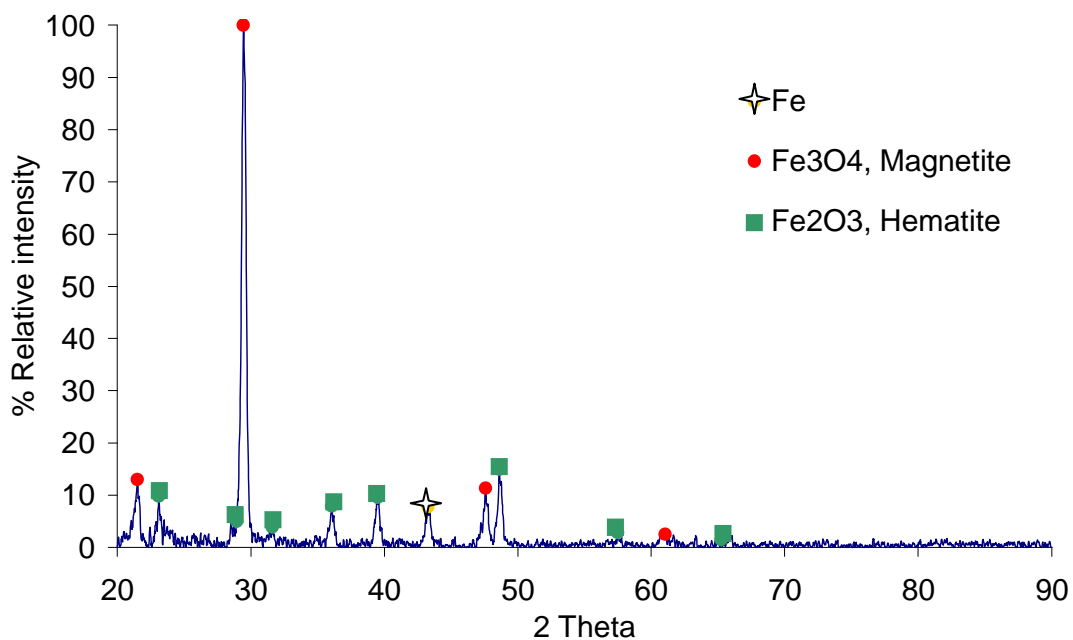
ภาพที่ 4.28 ชนิดของออกไซด์สเกลบนเหล็กแผ่นที่เย็นตัวจากอุณหภูมิ 560 °C ด้วยอัตราการเย็นตัว 6 °C/min, fixed angle = 3

6 °C/min, fixed angle = 5

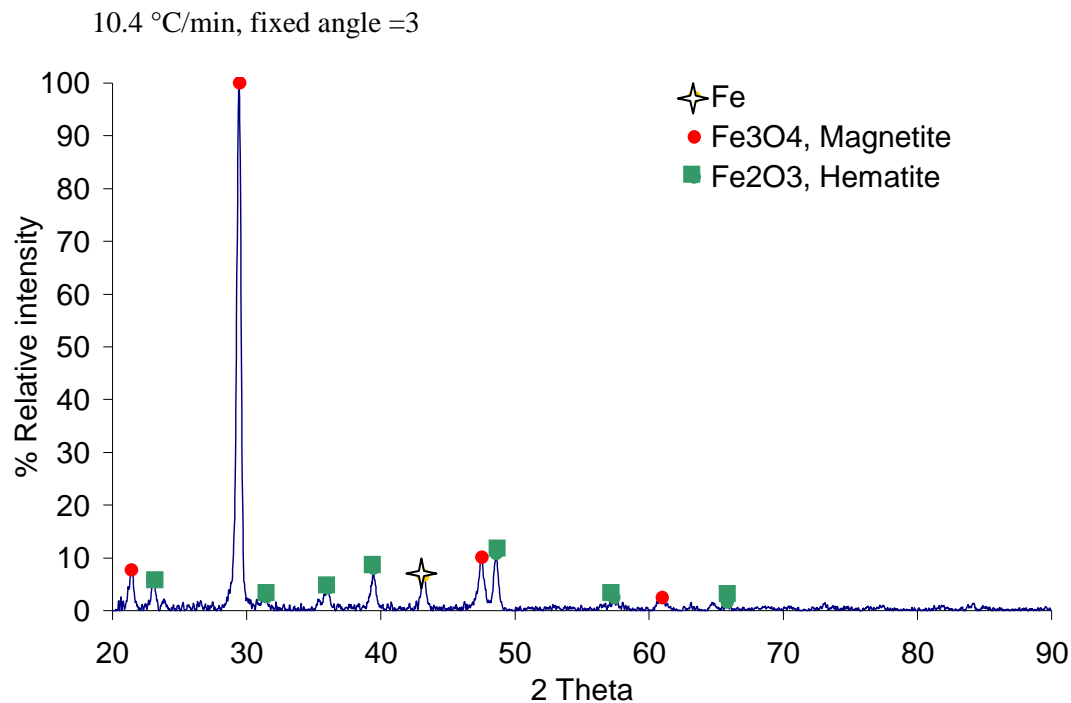


ภาพที่ 4.29 ชนิดของออกไซด์สเกลบนเหล็กแผ่นที่เย็นตัวจากอุณหภูมิ 560 °C ด้วยอัตราการเย็นตัว 6 °C/min, fixed angle = 5

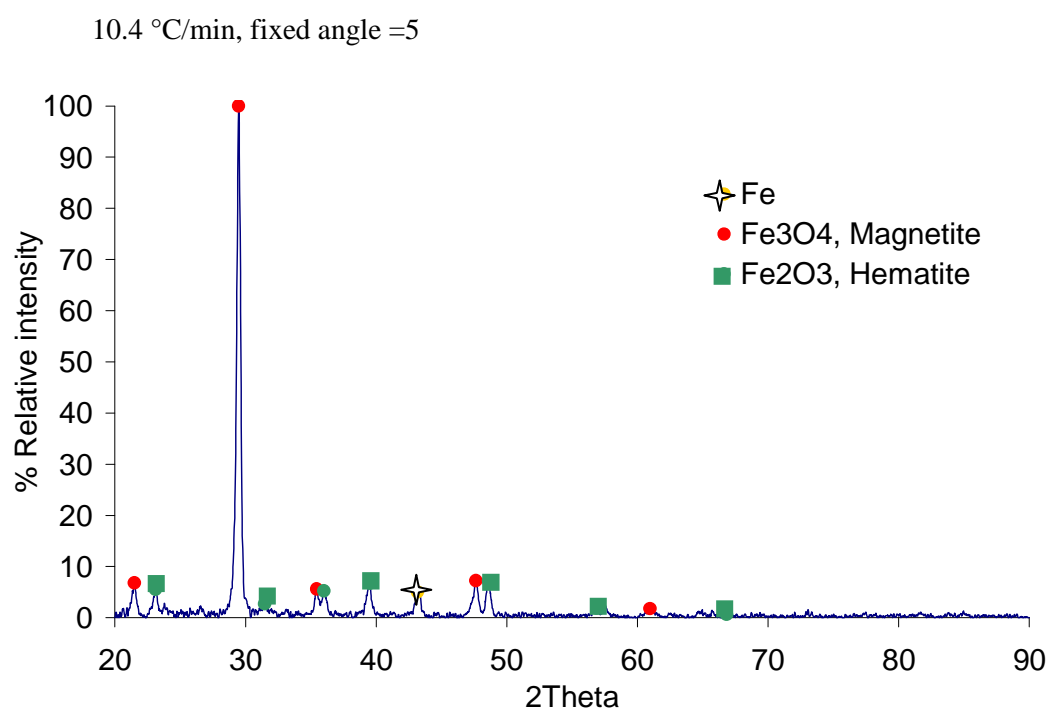
10.4 °C/min, fixed angle = 1



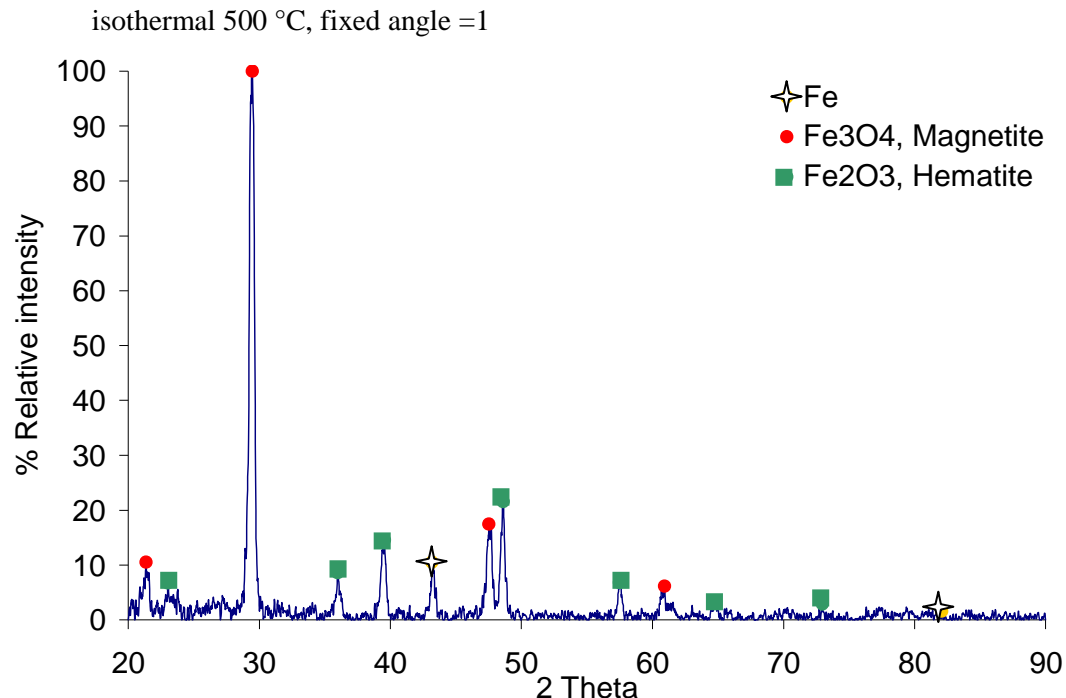
ภาพที่ 4.30 ชนิดของออกไซด์สเกลบนเหล็กแผ่นที่เย็นตัวจากอุณหภูมิ 560 °C ด้วยอัตราการเย็นตัว 10.4 °C/min, fixed angle = 1



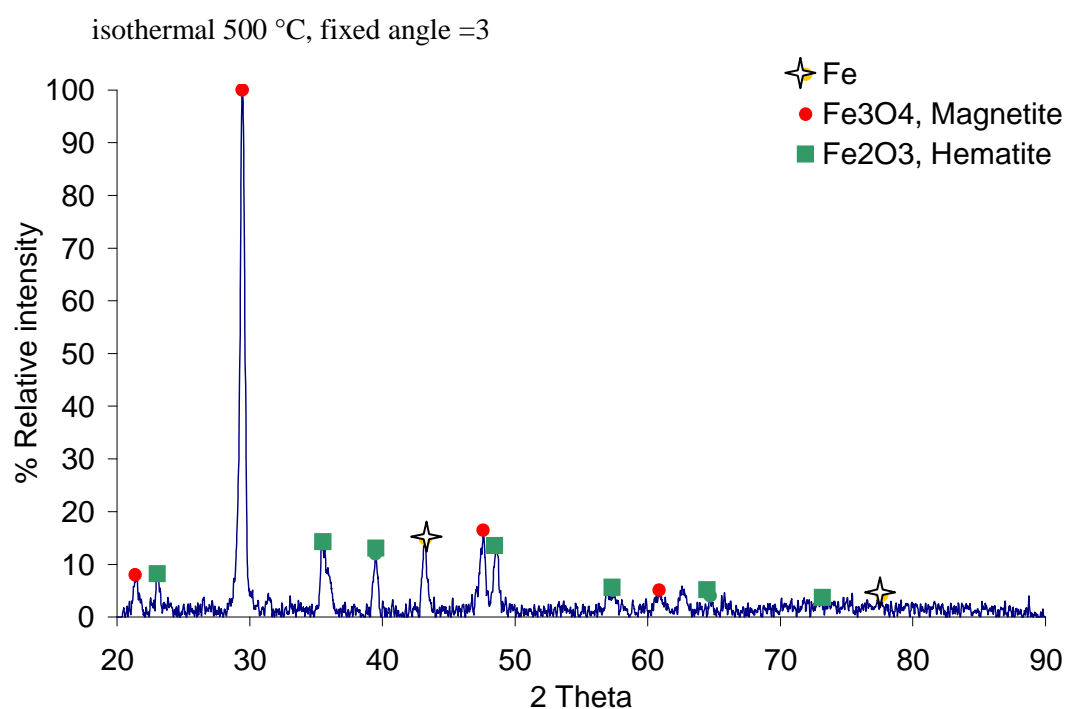
ภาพที่ 4.31 ชนิดของออกไซด์สเกลบนเหล็กแผ่นที่เย็นตัวจากอุณหภูมิ 560 °C ด้วยอัตราการเย็นตัว 10.4 °C/min, fixed angle = 3



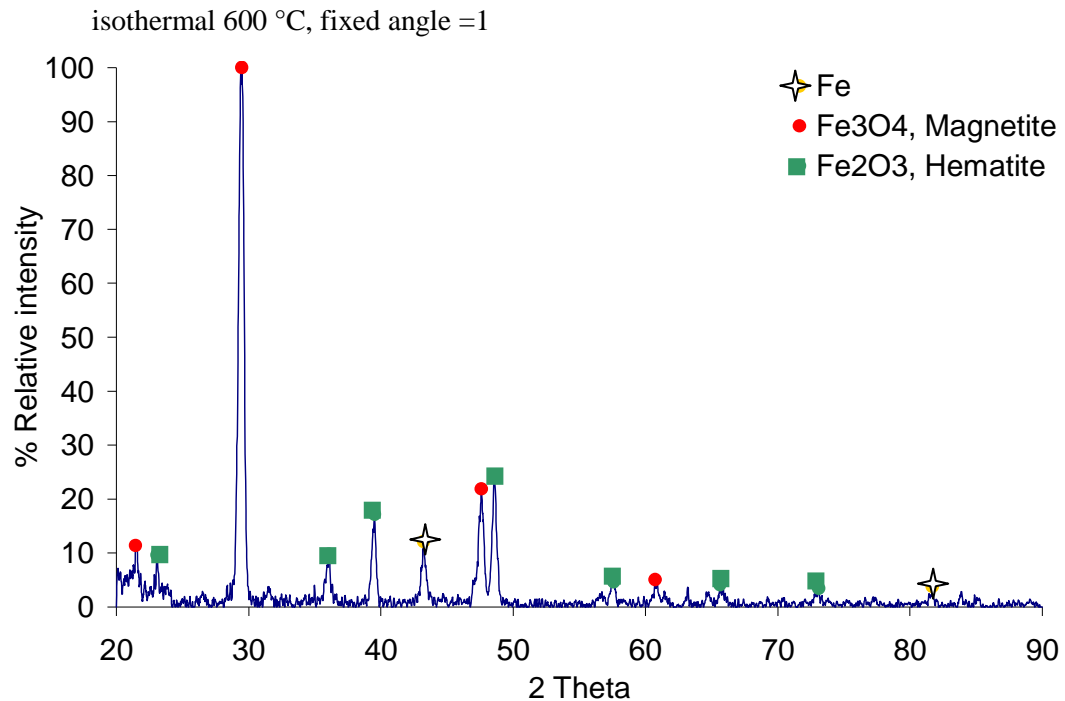
ภาพที่ 4.32 ชนิดของออกไซด์สเกลบนเหล็กแผ่นที่เย็นตัวจากอุณหภูมิ 560 °C ด้วยอัตราการเย็นตัว 10.4 °C/min, fixed angle = 5



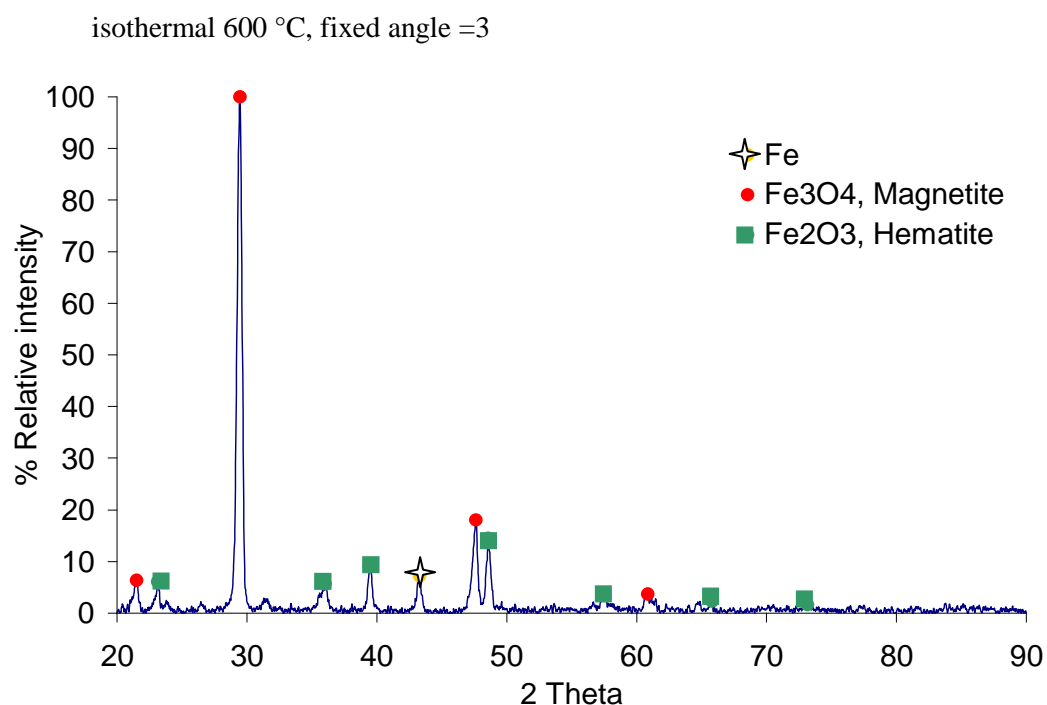
ภาพที่ 4.33 ชนิดของออกไซด์สเกลบนเหล็กแผ่นที่ออกซิเดชันที่อุณหภูมิ 500 °C, fixed angle = 1



ภาพที่ 4.34 ชนิดของออกไซด์สเกลบนเหล็กแผ่นที่ออกซิเดชันที่อุณหภูมิ 500 °C, fixed angle = 3

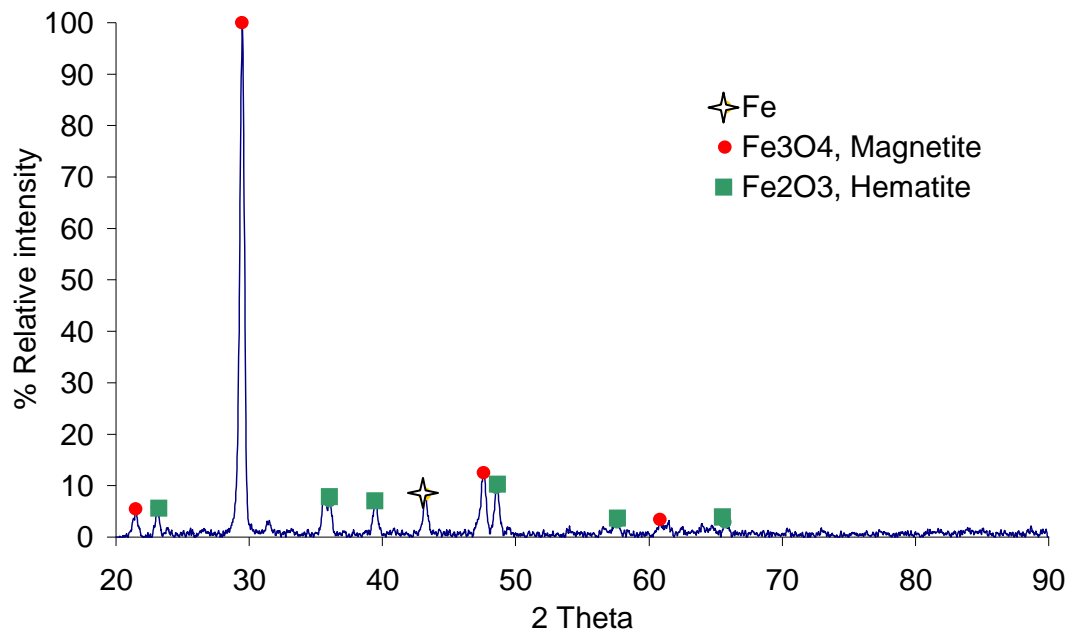


ภาพที่ 4.35 ชนิดของออกไซด์สเกลบนเหล็กแผ่นที่ออกซิเดชันที่อุณหภูมิ 600 °C, fixed angle = 1



ภาพที่ 4.36 ชนิดของออกไซด์สเกลบนเหล็กแผ่นที่ออกซิเดชันที่อุณหภูมิ 600 °C, fixed angle = 3

isothermal 600 °C, fixed angle =5



ภาพที่ 4.37 ชนิดของออกไซด์สเกลบนเหล็กแผ่นที่ออกซิเดชันที่อุณหภูมิ 600 °C, fixed angle = 5

## บทที่5

### สรุปผลการวิจัยและข้อเสนอแนะ

ในงานวิจัยนี้ได้ศึกษาผลของ(1) อัตราการเย็นตัว (2) อุณหภูมิม้วนเก็บ (3) เวลาที่ใช้ในการเกิดออกซิเดชัน และ (4) ตำแหน่งที่แตกต่างกันบนม้วนเหล็ก ต่อปริมาณออกไซด์สเกลที่เกิดบนผิวของเหล็กแผ่นรีดร้อนระหว่างเย็นตัวในบรรยายกาศภายหลังม้วนเก็บ และได้ทำการศึกษาจนผลศาสตร์ของการเกิดออกไซด์สเกลด้วย

ภายหลังกำหนดค่าตุ่ปะรังสก์ในการวิจัย ศึกษาข้อมูลเบื้องต้นเพื่อกำหนดแนวทางในการทดลอง และทำการทดลองแล้ว จะได้ผลการทดลองซึ่งสามารถใช้วิเคราะห์ และอธิบายเพื่อให้บรรลุวัตถุประสงค์ของงานวิจัย โดยมีข้อสรุปดังนี้

#### 5.1 สรุปผลการวิจัย

- 1) จากผลการวัดความหนาของออกไซด์สเกลบนชิ้นงานที่ได้จากโรงงานพบว่า ความหนาของออกไซด์สเกลที่ตำแหน่งที่ได้จากส่วนต้น (Head) มีความหนามากกว่า ออกไซด์สเกลบนชิ้นงานส่วนปลาย (Tail) และมากกว่าออกไซด์สเกลบนชิ้นงานส่วนกลาง (Middle) ตามลำดับ ในทุกๆตำแหน่ง และความหนาของออกไซด์สเกลมีแนวโน้มที่จะเพิ่มขึ้นเมื่อชิ้นงานอยู่ใกล้ขอบ (edge) มากขึ้น เมื่อกันทั้งส่วนต้น ส่วนกลาง และส่วนปลาย ซึ่งเป็นผลมาจากการอัตราการเย็นตัว และปริมาณออกซิเจนที่ต่างกันในแต่ละตำแหน่ง
- 2) จากการคำนวณอัตราการเย็นตัวโดยใช้แบบจำลองทางคณิตศาสตร์พบว่า อัตราการเย็นตัวที่ตำแหน่ง A ต่ำกว่าตำแหน่ง C และตำแหน่ง B มีอัตราการเย็นตัวต่ำที่สุด เนื่องจากตำแหน่ง B มีอัตราการถ่ายเทความร้อนต่ำที่สุด ในขณะที่ตำแหน่ง C ความร้อนสามารถถ่ายเทได้ต่ำสุด ส่วนในตำแหน่ง A ซึ่งเป็นผิวโคงค้านในของม้วนเหล็ก เนื่องจากมีลักษณะโคงเว้า อัตราการถ่ายเทความร้อนจึงต่ำกว่าลักษณะโคงนูนแบบบริเวณ C
- 3) ค่าสัมประสิทธิ์การถ่ายเทความร้อนที่เหมาะสมสำหรับปัญหาในงานวิจัยนี้ มีความสัมพันธ์กับอุณหภูมิ โดยมีค่าเท่ากับ

$$h(T) = 11.31 \Delta T^{1/3} - 48 \quad [W/m^2 \ ^\circ C]$$

- 4) จากการทดลองจำลองการเกิดออกไซด์สเกลด้วยเทคนิคเทอร์โมกราฟิเมทริกแบบ Isothermal พบร่วมกับค่าคงที่การเกิดปฏิกิริยาออกซิเดชันภายในภาวะอุณหภูมิกที่ที่ 400-600 °C มีค่าขึ้นกับอุณหภูมิ และมีความสัมพันธ์ดังสมการ

$$k(T) = 0.13 \exp(-4305.29/T) \quad [\text{mg/mm}^2 \text{ min}^{-1/2}]$$

- 5) ความหนาของชั้นออกไซด์สเกลเพิ่มขึ้นเมื่ออุณหภูมิในการเกิดออกซิเดชันภายในตัวสภาวะอุณหภูมิกคงที่ (Isothermal oxidation) เพิ่มขึ้น หรือเวลาในการเกิดออกซิเดชันภายในตัวสภาวะอุณหภูมิกคงที่ (Non-isothermal oxidation) เพิ่มขึ้น
- 6) สามารถใช้สมการทำนายปริมาณออกไซด์สเกลแบบที่สร้างขึ้นโดยใช้ค่าคงที่ปฏิกริยาจาก การทดลองแบบ Non-isothermal oxidation สำหรับการทำนายปริมาณออกไซด์สเกลได้ โดยมีค่าความคลาดเคลื่อนประมาณ 5.01%

## 5.2 ข้อเสนอแนะ

เปลี่ยนเป็นการใช้ชิ้นงานเหล็กวีดเย็นเพื่อลดภาระในการเตรียมผิวชิ้นงาน

## รายการอ้างอิง

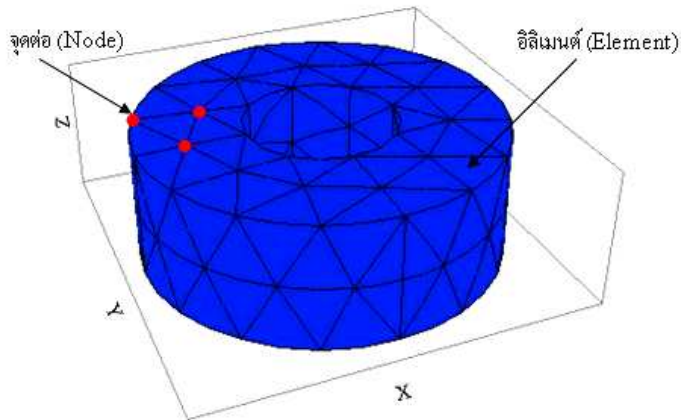
- [1] สหวิธยาอินดัสทรี จำกัด (มหาชน), ผลิตภัณฑ์ และการผลิต[Online].Available from:  
<http://www.ssi-steel.com/th/prdct/htclindex.html> [2004, May 1]
- [2] A.S. Khanna. High Temperature Oxidation and Corrosion. United State of America: ASM International, 2002.
- [3] PER KOFSTAD. High-Temperature Oxidation of Metal. United State of America: John Wiley & Sons, Inc., 1966.
- [4] D.R. Poirier และ G.H. Geiger. Transport phenomena in materials processing. United State of America: A Publication of the Minerals, Metals & Materials Society, 1994.
- [5] Weihua Sun. A study on the characteristics of oxide scale in hot rolling of steel. Doctoral dissertation, Materials and mechatronic engineering Faculty of engineering University of Wollongong, 2005.
- [6] Li Jian<sup>a</sup> และคณะ. Oxidation kinetics of Haynes 230 alloy in air at temperatures between 650 and 850 °C. Journal of Power Sources 159 [2006] : 641–645.
- [7] Bernhard Wunderlich. Thermal Analysis. United State of America: ACADEMIC PRESS, INC., 1990.
- [8] R. Y. Chen and W. Y. D. Yuen. Review of the High-Temperature Oxidation of Iron and Carbon Steels in Air or Oxygen. Oxidation of Metals Vol. 59 Nos. 5/6 [June, 2003]
- [9] Weihua Sun\*, A.K. Tieu และคณะ. Oxide scales growth of low-carbon steel at high temperatures. Journal of Materials Processing Technology 155–156 [2004] : 1300–1306
- [10] Martín Torres และ Rafael Colás. A model for heat conduction through the oxide layer of steel during hot rolling. Journal of Materials Processing Technology 105 (2000) : 258-263.
- [11] R. Y. Chen and W. Y. D. Yuen. A Study of the Scale Structure of Hot-Rolled Steel Strip by Simulated Coiling and Cooling. Oxidation of Metals Vol. 53 Nos. 5/6 (2000).
- [12] Taro KIZU, Yasunobu NAGATAKI และคณะ. Effects of Chemical Composition and Oxidation Temperature on the Adhesion of Scale in Plain Carbon Steels. ISIJ International Vol. 41 No.12 (2001): 1494–1501.
- [13] R. Y. Chen and W. Y. D. Yuen. Oxide-Scale Structures Formed on Commercial Hot-Rolled Steel Strip and Their Formation Mechanism. Oxidation of Metals Vol. 56 Nos. 1/2 (2001).

- [14] R. Y. Chen and W. Y. D. Yuen. Oxidation of low carbon, low silicon mild steel at 450-900 °C under condition relevant to hot-strip processing. Oxidation of Metals Vol. 57 Nos. 1/2 (February, 2002).
- [15] Jiefeng Cheng, Zhengdong Liu ແລະຄມະ. Analysis of the factors affecting thermal evolution of hot rolled steel during coil cooling. Journal of University of Science and Technology Beijing Vol.13 No.2 (April, 2006): 139.
- [16] W.W. Smeltzer and D.J. Young, Progr. Solid-State Chem. 10, 17 (1975).
- [17] Yildiz Bayazitoglu. Element of heat transfer. Singapore : McGraw-Hill Book Company, 1988
- [18] R. Bhattacharya ແລະຄມະ. Influence of cooling rate on the structure and formation of oxide scale in low carbon steel wire rods during hot rolling. Surface & Coatings Technology (2006).
- [19] R. Y. Chen and W. Y. D. Yuen. Examination of Oxide Scales of Hot Rolled Steel Products. ISIJ International Vol. 45 No.1 (2005): 52-59.
- [20] ຜຸດວິຊາການສຶກຍານອກໂຮງເຮືອນ, Activation energy [Online]. Available from: <http://ebook.nfe.go.th/ebook/html/023/132.htm> [2007, March 10]

ភាគុណវក

## ภาคผนวก ก

ระเบียบวิธีไฟไนต์อิลิเมนต์ (Finite Element Method)



ภาพที่ ๑ ก ภาพแสดงรูปจำลองม้วนเหล็กในแบบ ๓ มิติ (Domain), จุดต่อ และอิลิเมนต์

ระเบียบวิธีไฟไนต์อิลิเมนต์ (Finite Element Method) หรือ FEM เป็นวิธีการคำนวณเชิงตัวเลขชนิดหนึ่งสำหรับแก้สมการเชิงอนุพันธ์ ที่ต้องมีสมการควบคุมระบบ (Interpolation function) และใช้เงื่อนไขขอบเขต (Boundary condition) เพื่อแก้สมการ ภายหลังการกำหนดขอบเขตของปัญหา (Domain) แล้วจะมีการแบ่งโดเมนออกเป็นชิ้นส่วนย่อยเรียกว่า อิลิเมนต์ (Element) แต่ละอิลิเมนต์จะเชื่อมกันด้วยจุดต่อ (Node) นำสมการควบคุมระบบมาสร้างสมการไฟไนต์อิลิเมนต์สำหรับแต่ละอิลิเมนต์บนโดเมน นำสมการของทุกอิลิเมนต์มารวมเข้าด้วยกันจะได้ระบบสมการ (Finite element equation system) ที่ใช้ในการคำนวณค่าของตัวแปร แทนค่าต่างๆ เช่น เงื่อนไขขอบเขต (Boundary condition), เงื่อนไขเริ่มต้น (Initial condition) แล้วแก้ระบบสมการดังกล่าวซึ่งจะได้ผลเฉลยโดยประมาณที่จุดต่อบนโดเมน วิเคราะห์ผลที่ได้จากการคำนวณ

### 1. ขั้นตอนการแก้ปัญหาด้วยวิธีไฟไนต์อิลิเมนต์

แบ่งโดเมนของปัญหาออกเป็นชิ้นส่วนย่อย (Element)



สร้างสมการสำหรับแต่ละอิลิเมนต์จากสมการควบคุม สมการ(4) (Interpolation function)



นำสมการจากทุกอิลิเมนต์มารวมเป็นระบบสมการไฟไนต์อิลิเมนต์ สมการ(6) (Finite element equation system)



ให้เงื่อนไขของเขต (Boundary condition)

↓  
แก้ระบบสมการ ซึ่งจะได้ผลเฉลยที่จุดต่อぶนโดยmen

## 2. สมการควบคุมระบบ (Interpolation function)

$$\phi(x,y) = N_1(x,y)\phi_1 + N_2(x,y)\phi_2 + N_3(x,y)\phi_3 \quad (4)$$

หรือ

$$\phi(x, y) = [N_1 \ N_2 \ N_3] \begin{Bmatrix} \phi_1 \\ \phi_2 \\ \phi_3 \end{Bmatrix}$$

$\phi_{1,2,3}$  = nodal unknowns

$N_i(x,y)$  = element interpolation function;  $i = 1,2,3$

$$\begin{bmatrix} k_{11}k_{12}k_{13} \\ k_{21}k_{22}k_{23} \\ k_{31}k_{32}k_{33} \end{bmatrix}_e \begin{Bmatrix} \phi_1 \\ \phi_2 \\ \phi_3 \end{Bmatrix}_e = \begin{Bmatrix} f_1 \\ f_2 \\ f_3 \end{Bmatrix} \quad (5)$$

รวมสมการทุกอิเลเมนต์เป็นระบบสมการไฟฟ้านิตอิเลเมนต์ (Finite element equation system)

$$\sum(elementEquation) \rightarrow [K]_{sys} \{\phi\}_{sys} = \{F\}_{sys} \quad (6)$$

$$\begin{bmatrix} k_{11}k_{12}k_{13}k_{14} \\ k_{21}k_{22}k_{23}k_{24} \\ k_{31}k_{32}k_{33}k_{34} \\ k_{41}k_{42}k_{43}k_{44} \end{bmatrix}_e \begin{Bmatrix} \phi_1 \\ \phi_2 \\ \phi_3 \\ \phi_4 \end{Bmatrix}_e = \begin{Bmatrix} F_1 \\ F_2 \\ F_3 \\ F_4 \end{Bmatrix} \quad (7)$$

## ภาคผนวก ๖

ตารางที่ ๑๖ แสดงความหนาสเกลก่อนการเจลีย จากการทดลอง 4.1

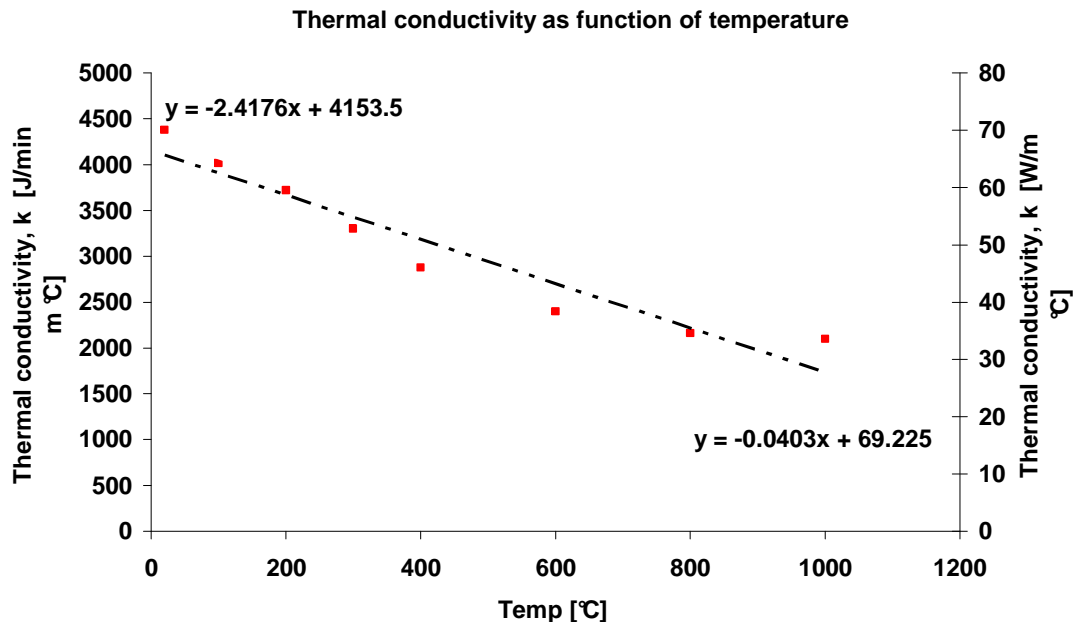
ชิ้นงาน	ตำแหน่ง	thickness in micron					average thickness
		1	2	3	4	เฉลี่ย	
H1	1.1	10.35	9.86	8.98	8.61	9.15	8.31
	1.2	10.98	11.1	9.98	10.11	10.05	
	1.3	8.92	8.17	8.3	7.67	8.05	
	1.4	9.04	9.17	7.92	8.67	8.54	
	1.5	8.61	8.73	7.98	7.98	8.33	
H2	2.1	9.07	8.02	9.02	7.64	8.23	8.47
	2.2	8.40	7.90	7.64	9.65	7.98	
	2.3	8.40	8.65	9.15	9.15	8.84	
	2.4	9.40	8.77	8.90	9.65	8.84	
	2.5	10.03	10.04	9.40	9.90	9.40	
H3	3.1	8.77	8.40	7.39	7.39	7.99	8.60
	3.2	9.27	9.27	7.52	8.27	8.58	
	3.3	10.40	9.90	10.4	11.15	10.23	
	3.4	10.15	8.15	8.90	9.15	8.73	
	3.5	7.27	6.52	6.77	7.02	6.90	
H4	4.1	7.90	8.15	9.90	12.41	10.15	8.63
	4.2	10.65	8.77	8.52	7.77	9.31	
	4.3	11.40	9.90	7.14	6.64	8.52	
	4.4	9.02	7.52	8.15	7.90	8.15	
	4.5	6.27	7.27	7.77	11.65	8.90	
H5	5.1	7.67	8.42	7.42	8.17	8.30	8.71
	5.2	7.98	7.17	6.18	7.73	7.86	
	5.3	8.86	9.36	8.05	8.55	8.71	
	5.4	9.36	8.36	9.11	7.73	8.64	
	5.5	9.17	9.73	8.73	7.98	9.21	
M1	1.1	8.15	8.40	7.90	8.65	8.28	6.69
	1.2	6.27	6.77	7.02	9.27	6.69	
M2	2.1	7.90	7.64	7.64	6.64	7.31	7.38
	2.2	8.40	7.77	8.90	8.90	7.77	
	2.3	8.15	8.15	7.40	8.90	7.40	
	2.4	7.39	7.90	7.90	8.90	7.39	
	2.5	7.90	7.02	8.15	9.40	7.02	
M3	3.1	7.64	7.64	6.39	6.89	7.64	7.50
	3.2	5.89	6.39	7.14	5.64	7.14	
	3.3	5.76	7.02	6.77	6.02	7.02	
	3.4	6.27	7.52	8.02	7.52	7.69	
	3.5	6.52	7.39	7.52	8.52	8.02	

ชื่นงาน	ตำแหน่ง	thickness in micron					average thickness
		1	2	3	4	เฉลี่ย	
M4	4.1	5.89	7.14	7.14	7.64	7.31	7.90
	4.2	8.40	7.90	8.27	7.77	7.98	
	4.3	7.9	7.90	8.65	10.90	7.90	
	4.4	8.15	9.90	9.90	11.15	8.15	
	4.5	8.02	8.90	7.52	9.4	8.15	
M5	5.1	6.02	6.27	7.27	5.64	6.52	8.04
	5.2	8.15	9.90	9.90	7.52	8.87	
	5.3	9.40	7.90	7.64	8.40	8.31	
	5.4	6.27	7.52	7.27	7.52	7.44	
	5.5	6.89	7.64	7.90	7.14	7.56	
T1	1.1	6.77	6.52	6.77	5.76	6.46	6.82
	1.2	5.39	5.39	5.64	5.14	5.39	
	1.3	6.77	6.89	7.64	6.39	6.92	
	1.4	7.52	8.65	8.90	7.64	8.18	
	1.5	6.89	7.64	7.64	6.39	7.14	
T2	2.1	8.90	8.65	8.15	7.64	7.90	7.77
	2.2	8.65	8.15	8.15	8.65	8.15	
	2.3	9.40	8.90	8.40	9.15	8.40	
	2.4	8.15	7.90	7.90	8.15	7.90	
	2.5	9.15	8.65	7.14	10.9	7.14	
T3	3.2	8.40	8.65	7.14	8.65	8.21	7.97
	3.3	8.15	8.15	7.90	7.64	7.96	
	3.4	8.90	8.40	7.90	7.64	8.21	
	3.5	8.65	9.40	8.15	7.90	8.53	
T4	4.1	8.65	8.65	7.39	9.65	8.59	8.21
	4.2	8.90	8.40	9.40	8.65	8.84	
	4.3	7.64	8.65	6.89	7.39	7.64	
	4.4	7.77	9.78	8.02	6.77	8.09	
	4.5	9.27	8.27	7.52	6.52	7.90	
T5	5.1	7.64	8.40	6.27	7.64	7.44	8.24
	5.2	8.40	8.90	8.64	8.40	8.59	
	5.3	9.40	9.65	9.40	9.15	9.48	
	5.4	6.02	10.53	7.27	9.40	8.31	
	5.5	7.39	7.52	7.27	7.52	7.43	

### ภาคผนวก ๑

ตารางที่ ๑ ค สาระสำคัญของการนำความร้อนที่เป็นพิจารณาชั้นกับอุณหภูมิ [16]

Thermal conductivity, k		
Temp [°C]	k [W/m °C]	k [J/min m °C]
20	73	4380
100	67	4020
200	62	3720
300	55	3300
400	48	2880
600	40	2400
800	36	2160
1000	35	2100



ภาพที่ ๑ ค กราฟแสดงค่า Thermal conductivity ที่เป็น function กับอุณหภูมิ

## ภาคผนวก ๑

### **linear regression**

การคำนวณหาสมการแทนชุดข้อมูลโดยวิธี linear regression

กราฟแสดงความสัมพันธ์ระหว่างนำหนักที่เพิ่มขึ้นต่อพื้นที่ กับเวลาในปฏิกริยาออกซิเดชัน มีลักษณะเป็นเส้นямilog มีสมการความสัมพันธ์คือ

$$\begin{aligned}y^a &\equiv kt \\y &= \text{นำหนักที่เพิ่มขึ้นต่อหน่วยพื้นที่} \\k &= \text{ค่าคงที่อัตราการเกิดปฏิกริยา} \\t &= \text{เวลาในการเกิดออกซิเดชัน}\end{aligned}$$

$$a \log y \equiv \log k + \log t$$

$$\log y \equiv \frac{1}{a} \log t + \frac{1}{a} \log k$$

take log:

$$y \equiv mx + c$$

สร้างกราฟความสัมพันธ์ระหว่าง  $\log y$  กับ  $\log t$  จะได้กราฟเส้นตรงที่มีจุดตัดแกนตั้ง  $\frac{1}{a} \log k$

และความชัน  $\frac{1}{a}$

การหาสมการเส้นตรงที่เป็นตัวแทนของชุดแต่ละชุด โดยการหาสมการความถดถอยเชิงเส้น (linear regression)

ให้  $\log y = y^*$

$\log t = x^*$

$$\sum_1^n y^* = b \sum x + nc$$

$$\sum xy = b \sum x^2 + c \sum x$$

แก้สมการหาค่า  $b$  และ  $c$  แล้วแทนลงใน  $\log y = b \log t + c$

## ภาคผนวก จ

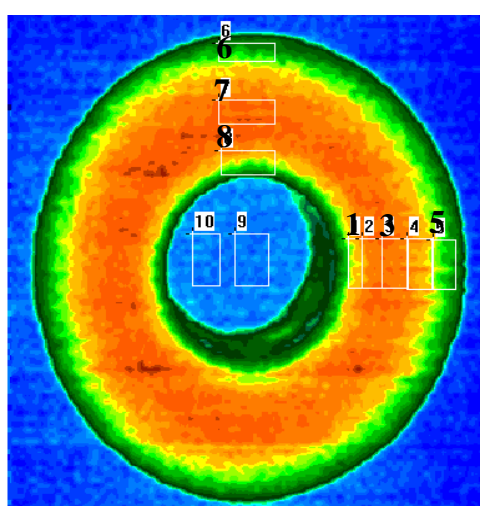
### สัมประสิทธิ์การตัดสินใจ (Coefficient of determination)

ผลต่างของ 1 กับอัตราส่วนของ Sum of square error (SSE) กับ Sum of square total (SST) ซึ่งสามารถหาได้จากสมการที่ ๑๙ โดยที่ค่าสัมประสิทธิ์การตัดสินใจ ( $R^2$ ) มีค่าอยู่ระหว่าง ๐ ถึง ๑ หรืออาจนิยามทำเป็นเปอร์เซ็นต์มีค่าอยู่ระหว่าง ๐ ถึง ๑๐๐% ถ้า  $R^2$  มีค่าใกล้ ๑ หรือ ๑๐๐% แปลว่า ข้อมูลที่ทำการเปรียบเทียบกันนั้นมีความใกล้เคียงกันมาก

$$R^2 = 1 - \frac{\sum_{i=1}^n (y_i - \hat{y}_i)^2}{\sum_{i=1}^n (y_i - \bar{y})^2} \quad \text{สมการที่ ๑๙}$$

$R^2$  = สัมประสิทธิ์การตัดสินใจ  
 $y_i$  = ข้อมูลที่ได้จากการทดลอง  
 $\hat{y}_i$  = ข้อมูลที่ได้จากการคำนวณ  
 $\bar{y}_i$  = ค่าเฉลี่ยของข้อมูลที่ได้จากการทดลอง

ประเมินความถูกต้องของสมมติฐานม้วนเหล็กมีสมมาตรในการถ่ายเทความร้อนในแนวรัศมี



ภาพที่ ๑๙ ภาพถ่ายความร้อนของม้วนเหล็กพร้อมระบุอุณหภูมิ

ตารางที่ ๑๒ ประยุบเที่ยบตำแหน่ง ๑ กับ ๘

time [min]	Position No.1 (1)	Position No.1 (8)	(observe-y bar) <sup>2</sup>	(observe-predict) <sup>2</sup>
	predict	observe		
0	560	560	12095.50042	0
5	510.1	510.1	3609.551782	0
7	506.7	511.2	3742.936782	20.25
9	507.6	503	2806.832237	21.16
11	504.2	504.2	2935.423146	0
13	504.6	504.6	2978.926782	0
15	500.9	500.9	2588.728146	0
17	502.1	502.1	2712.279055	0
19	503.1	503.1	2817.438146	0
21	508.5	503.7	2881.4936	23.04
23	507.6	507.6	3315.404055	0
25	498.6	503.5	2860.061782	24.01
32	490.2	485	1223.5686	27.04
35	491.4	486.3	1316.205418	26.01
40	481.3	481.3	978.4099638	0
45	473	487.3	1389.764509	204.49
50	466.5	474.6	604.1540548	65.61
55	457.5	460.4	107.7349638	8.41
60	456.6	456.6	43.29041839	0
65	451.7	457.5	55.94360021	33.64
70	450.9	450.9	0.773600207	0
75	442.4	442.4	58.07132748	0
80	440.4	446.4	13.10769112	36
85	433.7	439.9	102.4236002	38.44
90	437.6	434.5	240.8845093	9.61
95	427.9	431.1	357.9836002	10.24

## ประยุบเที่ยบตำแหน่ง 1 กับ 8 (ต่อ)

time [min]	Position No.1 (1)	Position No.1 (8)	(observe-y bar) <sup>2</sup>	(observe-predict) <sup>2</sup>
	predict	observe		
100	427.7	427.7	498.2026911	0
105	429.1	419.2	949.9004184	98.01
110	425.6	415.6	1184.767691	100
115	412.3	422.6	751.8813275	106.09
120	408.6	419	962.2686002	108.16
125	414.4	417.8	1038.157691	11.56
130	407.4	403.7	2145.584509	13.69
135	409	405.3	1999.919055	13.69
140	401.4	397.7	2737.429964	13.69
145	397.9	397.9	2716.541782	0
150	398.2	398.2	2685.359509	0
155	398.2	390.6	3530.790418	57.76
160	390.6	386.6	4022.154055	16
165	392.8	396.6	2853.744964	14.44
170	388.9	398.4	2664.671327	90.25
175	394.3	390.5	3542.684509	14.44
180	382.6	382.6	4545.517691	0
185	390.8	382.7	4532.0436	65.61
		Mean 450.0204545	SST 95198.51159	SSE 1271.34

$$R^2 = 1 - (SSE/SST) = 0.986645379$$

ตารางที่ ๒๖ เปรียบเทียบตำแหน่ง 3 กับ 7

time [min]	Position No.2 (3)	Position No.2 (7)	(observe-y bar) <sup>2</sup>	(observe-predict) <sup>2</sup>
	predict	observe		
0	560	560	10420.2336	0
5	500.9	505.5	2263.813146	21.16
7	506.7	511.2	2838.709964	20.25
9	507.6	512.2	2946.269055	21.16
11	504.2	504.2	2141.796327	0
13	504.6	509.3	2639.857691	22.09
15	500.9	500.9	1847.241327	0
17	502.1	502.1	1951.832237	0
19	503.1	507.8	2487.969055	22.09
21	508.5	508.5	2558.290418	0
23	507.6	502.8	2014.1736	23.04
25	503.5	498.6	1654.825418	24.01
32	485	485	733.301782	0
35	491.4	486.3	805.3986002	26.01
40	481.3	486.5	816.7904184	27.04
45	475.6	480.9	528.0595093	28.09
50	471.9	477.2	371.7008729	28.09
55	465.9	471.5	184.4040548	31.36
60	462.4	462.4	20.06632748	0
65	460.4	457.5	0.176782025	8.41
70	459.6	453.8	16.97814566	33.64
75	451.4	451.4	42.51632748	0
80	449.4	455.1	7.954963843	32.49
85	442.9	445.9	144.4913275	9
90	443.7	443.7	202.2213275	0
95	440.5	443.5	207.9495093	9

## เปรียบเทียบตำแหน่ง 3 กับ 7 (ต่อ)

time [min]	Position No.2 (3)	Position No.2 (7)	(observe-y bar) <sup>2</sup>	(observe-predict) <sup>2</sup>
	predict	observe		
100	434	440.3	310.4804184	39.69
105	432.2	435.4	507.1708729	10.24
110	432	435.2	516.2190548	10.24
115	429.1	432.3	656.4076911	10.24
120	428.8	425.6	1044.611782	10.24
125	424.5	424.5	1116.926782	0
130	421.3	421.3	1341.057691	0
135	415.9	419.4	1483.825418	12.25
140	415.6	415.6	1791.020873	0
145	412.4	415.8	1774.132691	11.56
150	412.6	412.6	2053.9436	0
155	409.1	409.1	2383.436782	0
160	405.5	409.1	2383.436782	12.96
165	404	407.6	2532.148146	12.96
170	404	400.4	3308.602691	12.96
175	401.8	409.1	2383.436782	53.29
180	405.7	405.7	2726.975873	0
185	402.1	405.7	2726.975873	12.96
		Mean 457.9204545	SST 596.52	SSE 70887.83159

$$R^2 = 1 - (SSE/SST) = 0.991585016$$

ตารางที่ ๓๒ เปรียบเทียบตำแหน่ง 5 กับ 6

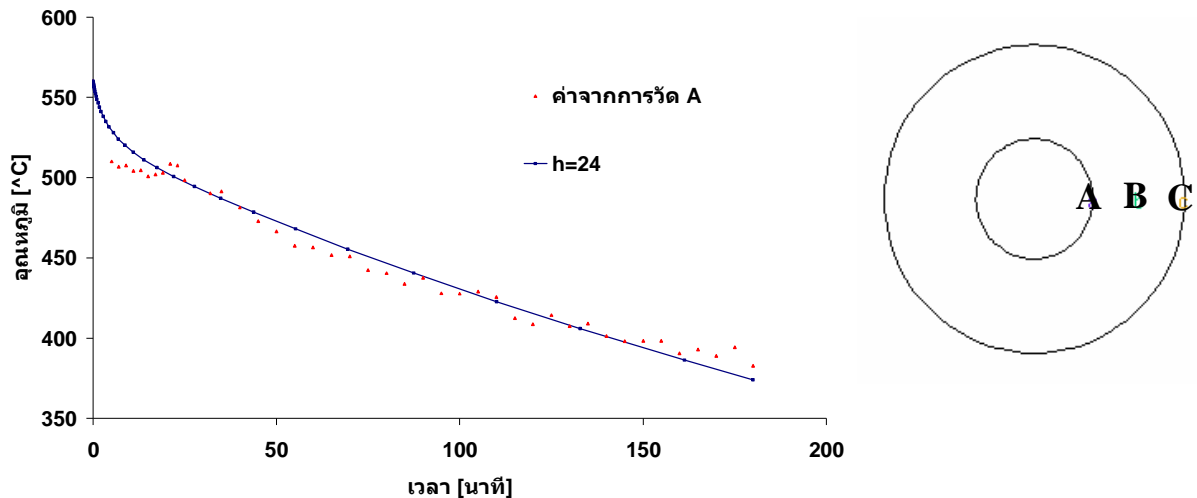
time [min]	Position No.3 (5)	Position No.3 (6)	(observe-y bar) <sup>2</sup>	(observe-predict) <sup>2</sup>
	predict	observe		
0	560	560	13662.95331	0
5	476.8	486.7	1899.96922	98.01
7	492.7	502.1	3479.65922	88.36
9	493.6	498.4	3056.833311	23.04
11	494.8	499.6	3190.966038	23.04
13	495.1	504.6	3780.852402	90.25
15	491.1	496	2797.207856	24.01
17	497.3	497.3	2936.408311	0
19	493.3	498.2	3034.757856	24.01
21	498.9	498.9	3112.371947	0
23	497.9	497.9	3001.794675	0
25	493.6	498.6	3078.988765	25
32	479.7	485	1754.657856	28.09
35	481	486.3	1865.258311	28.09
40	475.9	475.9	1075.094675	0
45	475.6	478.3	1238.240129	7.29
50	460.9	469.2	680.6169473	68.89
55	454.6	460.4	298.8969473	33.64
60	450.8	456.6	181.943311	33.64
65	448.8	454.6	131.9887655	33.64
70	441.9	453.8	114.2469473	141.61
75	439.4	442.4	0.506038223	9
80	437.3	446.4	10.81512913	82.81
85	430.5	433.7	88.5737655	10.24
90	431.4	428.2	222.3487655	10.24
95	424.6	427.9	231.3855837	10.89

## เปรียบเทียบตำแหน่ง 5 กับ 6 (ต่อ)

time [min]	Position No.3 (5)	Position No.3 (6)	(observe-y bar) <sup>2</sup>	(observe-predict) <sup>2</sup>
	predict	observe		
100	417.7	424.4	350.1151291	44.89
105	408.8	408.8	1177.269675	0
110	405	408.6	1191.03422	12.96
115	415.8	412.3	949.3401291	12.25
120	408.6	405	1452.476038	12.96
125	407.3	410.9	1037.571947	12.96
130	403.7	392.5	2561.510129	125.44
135	394.2	394.2	2392.321493	0
140	386.1	390.1	2810.204675	16
145	382.3	382.3	3698.021947	0
150	386.5	386.5	3204.846493	0
155	382.5	386.5	3204.846493	16
160	382.5	374.1	4762.568311	70.56
165	380.7	376.5	4437.073765	17.64
170	380.8	367.9	5656.74922	166.41
175	386.5	382.4	3685.869675	16.81
180	386.7	382.6	3661.625129	16.81
185	382.7	374.3	4735.003765	70.56
		Mean 443.1113636	SST 105895.7843	SSE 1506.04

$$R^2 = 1 - (SSE/SST) = 0.985778093$$

### ประเมินความถูกต้องของค่า heat transfer coefficient



ภาพที่ ๒๒ ความสัมพันธ์ระหว่างอุณหภูมิกับเวลา ณ ตำแหน่ง A เปรียบเทียบระหว่างค่าจากการคำนวณ (น้ำเงิน) กับค่าจากการวัด (แดง)

ตารางที่ ๔๙ ตำแหน่ง A เปรียบเทียบระหว่างค่าจากการคำนวณ (flex) กับค่าจากการวัด (real)

Flex [°C]	Real [°C]	SE	ST
560	560	7.94E-10	7542.923
521.3855	510.1	127.3627	1365.303
517.2228	506.7	110.7295	1125.603
512.8907	507.6	27.99108	1186.803
508.3628	504.2	17.32881	964.1025
503.6076	504.6	0.984792	989.1025
498.5699	502.1	12.46187	838.1025
493.1408	508.5	235.9053	1249.623
487.1388	498.6	131.3598	647.7025
480.3187	491.4	122.7947	333.0625
472.4132	473	0.344357	0.0225
463.1878	457.5	32.35086	244.9225
452.4849	450.9	2.51198	495.0625
440.236	433.7	42.71989	1556.302
429.1635	425.6	12.69861	2261.002
416.6079	409	57.87973	4115.222
402.5794	390.6	143.5049	6814.502
392.593	382.6	99.86004	8199.302
	Mean 473.15	SSE 1178.789	SST 39928.67

$$R^2 = 0.970478$$

ตารางที่ ๕จ ตัวแหน่งB เปรียบเทียบระหว่างค่าจากการคำนวณ (flex) กับค่าจากการวัด (real)

Flex [°C]	Real [°C]	SE	ST
560	560	3.60001E-15	6828.268
538.8828	500.9	1442.691735	553.8178
535.7019	506.7	841.1104327	860.4444
532.0423	507.6	597.4237342	914.0544
527.7963	504.2	556.7839471	720.0278
522.8397	504.6	332.6884184	741.6544
517.0492	502.1	223.4795057	611.7378
510.3184	508.5	3.306614019	969.2844
502.5644	503.5	0.875259902	682.9511
493.7228	491.4	5.395423904	196.9344
483.7373	475.6	66.21585049	3.121111
472.5545	465.9	44.28205256	131.4844
460.1255	459.6	0.276111953	315.6544
446.4107	442.9	12.32527934	1187.951
434.3312	432	5.434425369	2058.134
420.8527	415.9	24.52926651	3778.151
405.9592	405.5	0.210826886	5164.818
395.1792	405.7	110.6866885	5136.111
Mean 477.3667		SSE 4267.715573	SST 30854.6

$$R^2 = 0.861683$$

ตารางที่ ๖จ ตัวแหน่งC เปรียบเทียบระหว่างค่าจากการคำนวณ (flex) กับค่าจากการวัด (real)

Flex [°C]	Real [°C]	SE	ST
560	560	2.54016E-11	9186.158
517.4302	476.8	1650.810229	159.882
511.7167	492.7	361.6353341	814.7853
505.7426	493.6	147.4428496	866.9753
499.5273	494.8	22.34693152	939.082
493.0589	495.1	4.166236905	957.5586
486.2893	497.3	121.2359184	1098.554
479.1352	498.9	390.6455647	1207.176
471.4872	493.6	488.9750911	866.9753
463.2248	481	315.9587127	283.7353
454.2347	475.6	456.4745887	130.9753
444.4257	454.6	103.5167622	91.30864
433.7302	441.9	66.7452095	495.3098
422.0911	430.5	70.70949746	1132.696
411.9254	405	47.96101114	3499.38
400.6117	394.2	41.11033122	4893.78
388.0877	382.5	31.22235463	6667.63
378.9885	386.7	59.46788171	5999.363
Mean 464.1556		SSE 4380.424505	SST 39291.32

$$R^2 = 0.888514$$

ประเมินความถูกต้องของแบบจำลองการเย็นตัวแบบขั้นบันได

ตารางที่ ๑๖ การเย็นตัวที่ตำแหน่ง A

cooling rate [°C/min]		SE	ST
Observe	Predict		
-10.66673085	-10.4	0.071145347	35.95697009
-10.66673085	-10.4	0.071145347	35.95697009
-10.56188732	-10.4	0.026207505	34.71059203
-10.43194309	-10.4	0.001020361	33.19632656
-10.27177856	-10.4	0.016440737	31.37636325
-10.07554313	-10.4	0.105272259	29.21646143
-9.836818508	-9	0.700265215	26.69273008
-9.548922914	-9	0.301316365	23.80078834
-9.2054189	-9	0.042196924	20.56714244
-8.800872032	-9	0.039651947	17.06147868
-8.331866635	-9	0.446402194	13.40694023
-7.798207661	-9	1.444304827	9.783695291
-7.20412904	-7.2	1.7049E-05	6.420199651
-6.55922217	-7.2	0.410596228	3.567959907
-5.878757347	-5.4	0.229208597	1.460326259
-5.183151086	-5.4	0.047023452	0.26299803
-4.496501961	-5.4	0.816308707	0.030211929
-3.844227735	-3.6	0.059647186	0.682424713
-3.249794827	-3.6	0.122643663	2.017885377
-2.730627919	-3.6	0.755807815	3.76239664
-2.294101614	-1.8	0.244136405	5.646403128
-1.935879905	-1.8	0.018463349	7.47715033
-1.642994463	-1.8	0.024650739	9.164686288
-1.401188437	-1.8	0.159050663	10.68720647
-1.201916131	-1.8	0.357704315	12.02980979
-1.043769762	-0.6	0.196931601	13.15185031
-0.927773183	-0.6	0.107435259	14.00663984
-0.851235545	-0.6	0.063119299	14.58538889
-0.805210528	-0.6	0.042111361	14.93905384
-0.776675576	-0.6	0.031214259	15.16044938
-0.753034361	-0.6	0.023419516	15.34510915
-0.725888127	-0.6	0.015847821	15.55852505
-0.692282684	-0.6	0.008516094	15.82476299
-0.653378715	-0.6	0.002849287	16.13579922
-0.611814137	-0.6	0.000139574	16.47145158
-0.577479449	-0.6	0.000507175	16.75132536
-0.564001599	-0.6	0.001295885	16.86183234
		Mean -4.67031775	SSE 7.004014328
		SST 559.728305	

$$R^2 = 0.987486761$$

ตารางที่ ๔ จ การเย็นตัวที่ตำแหน่ง B

cooling rate [°C/min]		SE	ST
Observe	Predict		
-6.052447689	-6	0.00275076	11.10002581
-6.052447689	-6	0.00275076	11.10002581
-5.95871479	-6	0.001704469	10.48423746
-5.843923334	-6	0.024359926	9.754039485
-5.704694736	-6	0.087205199	8.903761673
-5.537568823	-5.4	0.018925181	7.934312983
-5.339401025	-5.4	0.003672236	6.857188818
-5.107910264	-5.4	0.085316414	5.698402514
-4.842395301	-5.4	0.310923	4.50126181
-4.544573304	-3.6	0.892218726	3.32623089
-4.219392878	-3.6	0.383647538	2.245847852
-3.875540877	-3.6	0.075922775	1.333478302
-3.525244644	-3.6	0.005588363	0.647167279
-3.182974832	-3.6	0.17390999	0.213626312
-2.862924584	-3.6	0.543280169	0.020205775
-2.575759694	-3.6	1.049068204	0.021030183
-2.325919698	-1.8	0.276591529	0.155912737
-2.11112108	-1.8	0.096796327	0.371681031
-1.924942302	-1.8	0.015610579	0.633353768
-1.761380768	-1.8	0.001491445	0.920442218
-1.618372505	-1.8	0.032988547	1.215296921
-1.497512584	-1.2	0.088513738	1.496377218
-1.400172075	-1.2	0.04006886	1.743998864
-1.323467175	-1.2	0.015244143	1.952476331
-1.259716429	-1.2	0.003566052	2.134699649
-1.199737128	-1.2	6.91016E-08	2.313564016
-1.137005309	-1.2	0.003968331	2.508334565
-1.069580383	-1.2	0.017009277	2.72645214
-0.999168965	-0.9	0.009834484	2.963936178
-0.928807774	-0.9	0.000829888	3.211155736
-0.860941611	-0.9	0.001525558	3.458989783
-0.796835493	-0.9	0.010642916	3.701553105
-0.73710626	-0.6	0.018798126	3.934951854
-0.682271998	-0.6	0.006768682	4.155504953
-0.632411341	-0.6	0.001050495	4.361273493
-0.595136981	-0.6	2.3649E-05	4.518347899
-0.581247645	-0.6	0.000351651	4.577588288
	Mean -2.720777567	SSE 4.302918052	SST 137.1967337

$$R^2 = 0.968636877$$

ตารางที่ ๕ จ) การเย็บตัวที่ตำแหน่ง C

cooling rate [°C/min]		SE	ST
Observe	Predict		
-9.373384836	-9	0.139416236	22.0673973
-9.373384836	-9	0.139416236	22.0673973
-9.312185698	-9	0.09745991	21.49616512
-9.236310903	-9	0.055842843	20.79835096
-9.14273042	-9	0.020371973	19.95355676
-9.027941218	-9	0.000780712	18.94122027
-8.888021435	-9	0.012539199	17.74289371
-8.718738427	-9	0.079108072	16.34543203
-8.515734467	-7.2	1.731157187	14.74517355
-8.274805505	-7.2	1.155206874	12.95291265
-7.992272815	-7.2	0.627696213	10.9990583
-7.665423705	-7.2	0.216619225	8.937909721
-7.292971969	-7.2	0.008643787	6.849641487
-6.875476213	-7.2	0.105315688	4.838619461
-6.41567295	-7.2	0.615168921	3.0271927
-5.918733897	-3.6	5.376526883	1.544909544
-5.392502591	-3.6	3.213065539	0.513676946
-4.847719771	-3.6	1.556804627	0.029559848
-4.298055981	-3.6	0.487282153	0.142682985
-3.759543559	-3.6	0.025454147	0.83950753
-3.249036383	-3.6	0.12317546	2.035625867
-2.78182972	-3.6	0.669402607	3.587085521
-2.369249097	-1.8	0.324044534	5.320130912
-2.017177383	-1.8	0.047166016	7.068221018
-1.725880253	-1.8	0.005493737	8.701967485
-1.490784836	-1.8	0.095614018	10.14425786
-1.303785765	-1.8	0.246228568	11.37041253
-1.154902575	-0.6	0.307916868	12.39664822
-1.034042977	-0.6	0.188393306	13.26232134
-0.932490075	-0.6	0.11054965	14.01229429
-0.84398278	-0.6	0.059527597	14.68274653
-0.765337765	-0.6	0.027336577	15.29163664
-0.696120587	-0.6	0.009239167	15.83776859
-0.636986445	-0.6	0.001367997	16.31193411
-0.587470562	-0.6	0.000156987	16.71435578
-0.552956546	-0.6	0.002213087	16.99775564
-0.540584849	-0.6	0.00353016	17.09992159
	Mean -4.675789994	SSE 17.88523276	SST 425.6683421

$$R^2 = 0.957983174$$

## ກາດພນວກ ຜ

ຄໍາສັ່ງທີ່ໃຊ້ໃນການສ້າງແບນຈໍາລອງທາງຄົນຕາສຕ່ຽວຂ່າຍໂປຣແກຣມ Flex PDE

**TITLE** Heat conduction\_Steel coil'

**COORDINATES**

Cartesian3

**SELECT**

regrid=off { use fixed grid }  
ngrid=5 { smaller grid for quicker run }

**VARIABLES**

Temp (threshold=300)

**DEFINITIONS**

Ts = 560 {starting temp, all Temp is in degree celcius}

Tf = 350 {final temp}

Rn = 0.74/2 {0.74 meter is inner diameter of coil}

a = 0.003 {0.003 meter, 'a' is steel thickness}

w = 1.2 {1.2meter, 'w' is width of steel coil}

m = 171 {171 layers, 'm' is number of layer}

R = Rn + m\*a {R is radius of steel coil at layer m}

rho = 7880 {density 7897 kg/m^3, for pure iron at temp = 20C}

k = -2.4176\*Temp + 4153.5  
{Thermal conductivity of pure iron, J/m min C, k is temperature dependent and its value varies from 35 at temp1000C to 73 W/m C at temp 20C, }

cp = 452 {heat capacity, J/kg C, pure iron at temp 20C}

Tout = 65

Tin = 200

h\_in = (678.6\*(Temp-Tin)^(1/3))-2880 {h between layer and air gap, J/min m^2 C}

h\_out = (678.6\*(Temp-Tout)^(1/3))-2880 {h between coil surface and air, J/min m^2 C}

alpha = k/(rho\*cp)

**INITIAL VALUES**

Temp = Ts

**EQUATIONS**

div(-k\*grad(Temp)) + dt(Temp)\*rho\*cp =0  
{heat conduction equation, rectangular coordinate k\*d^2Temp/dx^2 = rho\*cp\*dTemp/dtime}

**EXTRUSION**

z = 0,w/2

**BOUNDARIES**

surface 1 natural(Temp) = 0

{natural(Temp) is heat flux,  $q=-kdTemp/dz$ ,  $q=0$  at halfwidth section}surface 2 natural(Temp) =  $h_{in}*(Temp-Tout)$  { $q=h*(T-T_{fluid})$ , Newton's law of cooling, heating}region 'outer'

layer 1

start (R,0)

layer 1 natural(Temp) =  $h_{in}*(Temp-Tout)$ 

arc (center = 0,0) angle = 360 to close

region 'inner'

layer 1 void

start (Rn,0)

layer 1 natural(Temp) =  $h_{in}*(Temp-T_{in})$ 

arc (center = 0,0) angle = 360 to close

time 0 to 60\*3

{60 min. \* 3 hrs.}

**MONITORS**

for cycle =1

contour(Temp) on z =w/2

contour(Temp) on z =w/4

contour(Temp) on z =0

**PLOTS**{elevation(Temp)}

elevation(Temp) from (Rn,0,w/2) to (R,0,w/2) as 'axis Temperature across A, B, C at side surface section, z=0.6'

elevation(Temp) from (Rn,0,w/4) to (R,0,w/4) as 'axis Temperature across A, B, C at quarter width z=0.3'

elevation(Temp) from (Rn,0,0) to (R,0,0) as 'axis Temperature across A, B, C at halfwidth, z=0'

elevation(dt(Temp)) from (Rn,0,w/2) to (R,0,w/2) as 'axis dTemp\_dt at z=0.6'

{history(Temp)}

{at z=w/2}

history(Temp) at(Rn,0,w/2) as 'Temperature[^C]' export format "#T#b#1" file="fnT9Temp at A\_w2.txt"

history(Temp) at(Rn+85\*a,0,w/2) as 'Temperature[^C]' export format "#T#b#1" file="fnT9Temp at B\_w2.txt"

history(Temp) at(Rn+170\*a,0,w/2) as 'Temperature[^C]' export format "#T#b#1" file="fnT9Temp at C\_w2.txt"

history(dt(Temp)) at(Rn,0,w/2) as 'cooling rate[^C/min]' export format "#T#b#1" file="dTemp\_dt at A\_w2.txt"

history(dt(Temp)) at(Rn+85\*a,0,w/2) as 'cooling rate[^C/min]' export format "#T#b#1" file="dTemp\_dt at B\_w2.txt"

history(dt(Temp)) at(Rn+170\*a,0,w/2) as 'cooling rate[^C/min]' export format "#T#b#1" file="dTemp\_dt at C\_w2.txt"

## ประวัติผู้เขียนวิทยานิพนธ์

ชื่อ นางสาวเกตุนนิกา สุวรรณวิทย์ เกิดเมื่อวันที่ ๒๕ ธันวาคม พ.ศ.๒๕๒๕ ที่ โรงพยาบาลกรุงเทพคริสต์เทียน เป็นชาวกรุงเทพมหานคร โดยกำเนิด เข้าศึกษาระดับปริญญาบัณฑิต ที่คณะวิศวกรรมศาสตร์ จุฬาลงกรณ์มหาวิทยาลัย เมื่อปี พ.ศ.๒๕๔๔ และเข้าเรียนในสาขา วิศวกรรมโลหการ ในปี พ.ศ.๒๕๔๖ ได้รับทุนจากบริษัท สาหริยาสตีล อินดัสตรี จำกัด (มหาชน) เพื่อศึกษาต่อในระดับปริญญามหาบัณฑิต สาขาวิศวกรรมโลหการ จุฬาลงกรณ์ มหาวิทยาลัย ปีการศึกษา ๒๕๔๙